

**MINISTERUL EDUCAȚIEI SI INVATAMINTULUI
INSTITUTUL POLITEHNIC "TRAIAN VUIA" TIMIȘOARA**

ing. ADRIAN CHIRIAC

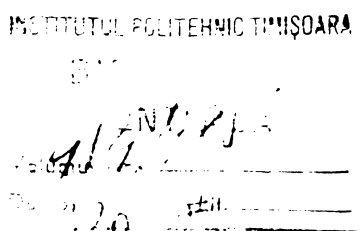
**STUDIUL INTERACȚIUNII DINTRE SISTEMELE VIBRANTE
SI MOTOARELE DE ACTIONARE ELECTRICE CU PUTERE
LIMITATA**

- Teză de doctorat -

BIBLIOTECA CENTRALĂ
UNIVERSITATEA "POLITEHNICA"
TIMIȘOARA

**Conducător științific:
Prof.em.dr.doc.ing. GHEORGHE SILAS**

**- TIMIȘOARA -
1981**



CAP. 1. INTRODUCERE

§ 1.1. Generalități. În condițiile revoluției științifice și tehnice contemporane, știința a devenit o forță nemijlocită de producție, având menirea să realizeze pentru industrie mașini și utilaje moderne, de înaltă performanță, prin aplicarea imediată în tehnică a celor mai noi cuceriri științifice [1,2]. În acest mod are loc o permanentă modernizare și diversificare a mașinilor și utilajelor care efectuează operații legate de procesele productive, de transportul materiilor prime și al produselor fabricate, de procesele de transformare a energiei; dispozitivele moderne mai sunt destinate, de asemenea și realizării operațiilor de măsură și control, operațiilor de comandă a sistemelor aflate în mișcare, operațiilor logice și.a.m.d.

Fiecare mașină sau utilaj își îndeplinește funcția tehnologică prin intermediul unui proces de mișcare, astfel încât problema fundamentală care se pune în dinamica mașinilor constă în studiul mișcării mașinii aflate sub acțiunea diferențierelor forțe ce acționează asupra ei, sau stabilirea condițiilor în care se asigură realizarea unei anumite legi de mișcare. În legătură cu aceste aspecte ale dinamicii mașinilor, problemele se pot împărți în două mari grupe.

În prima grupă intră problemele care tratează metode cu ajutorul cărora se pot stabili ecuațiile diferențiale care descriu mișcarea mașinii și problemele care stabilesc metode de integrare a acestor ecuații pentru regimuri de mișcare staționare și nestaționare.

În a doua grupă intră problemele care tratează metode de calcul a volanților cu care se asigură un anumit grad de neuniformitate al mișcării. Tot aici trebuie considerate și problemele legate de comanda prin program și reglarea automată a mașinilor. Comanda automată a mașinilor în prezent a luat o asemenea ampioare prin aplicarea unor metode specifice de studiu, încât problema reglării și comenzi auto-mate a mașinilor s-a separat din problematica generală a studiului dinamicii mașinilor și a devenit o teorie de sine stătoare a reglării și comenzi automate a mașinilor.

Dintre sistemele mecanice folosite în mașinile moderne, cele mai importante și mai răspindite sunt acelea având structura din fig. 1.1, în care I este motorul de acționare, II este transmisia, iar III este dispozitivul executor, adică mașina de lucru. Un asemenea sistem mecanic se numește agregat de mașini. Studiul mișcării unui agregat de mașini trebuie să se facă privindu-l ca un sistem unitar în care au loc interacțiuni între caracteristicile și parametrii elementelor com-

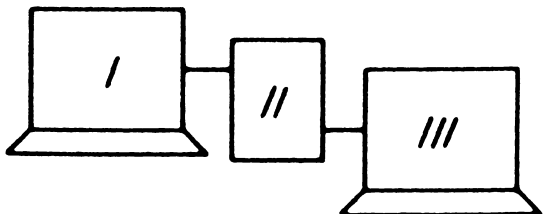


Fig.1.1

ponente: caracteristica mecanică a motorului de acționare, caracteristica de sarcină a mașinii de lucru, geometria mașelor, aflate în mișcare, raportul de transmisie al transmisiei.

Motorul de acționare al agregatului de mașini poate fi cu ardere internă, electric,

hidraulic sau pneumatic.

Avinde în vedere profilul de inginer electromecanic al autorului prezentei teze de doctorat, cît și faptul că acționarea agregatelor de mașini industriale se face în prezent aproape în exclusivitate cu motoare electrice, a fost ales ca subiect al tezei studiul dinamicii agregatelor de mașini acționate cu motoare electrice.

Denumirea de "agregate de mașini" pentru sistemele cu structura din fig.1.1 s-a răspândit în literatura de specialitate în ultimii zece ani. În momentul în care a fost formulat subiectul tezei, prin "sisteme vibrante aflate în interacțiune cu motoarele electrice de acționare" s-au înțeles, desigur, ceea ce în prezent se cheamă "agregate de mașini acționate cu motoare electrice". De aceea, în continuare se va adopta termenul de agregat de mașini pentru sistemele electromecanice la care se referă titlul tezei.

În cadrul catedrei de Mecanică și Rezistență Materialelor a Institutului politehnic "Traian Vuia" din Timișoara, sub îndrumarea tov. prof.em.dr.doc.ing. Gheorghe Silag, au fost inițiate de mai mulți ani cercetări asupra mișcărilor sistemelor vibrante și vibropercutante, care au condus la rezultate teoretice valoroase care și-au găsit aplicații multiple în diverse ramuri industriale. Prin numeroasele și valoroase lucrări științifice publicate în revistele de specialitate din țară și străinătate, colectivul de cadre didactice și cercetători în domeniul vibrațiilor mașinilor din această catedră, din care are cînstea să facă parte și autorul, și-a făurit un puternic prestigiu, atât pe plan intern cât și internațional.

Realizarea acestei teze de doctorat este consecința preocupărilor de mai mulți ani ale autorului în domeniul dinamicii agregatelor de mașini cu motoare electrice, preocupări inițiate și încurajate de tov. prof.em.Gheorghe Silag, sub o cărui conducere a fost elaborată lucrarea. De-a lungul anilor în care a fost realizată teza, o bună parte a conținutului ei a fost publicată sub forma a zece lucrări științifice [87-96].

Tin să exprim mulțumiri deosebite tov. prof.em.Gheorghe Silaș pentru îndrumarea permanentă și sprijinul pe care mi le-a acordat la elaborarea prezentei teze.

Mulțumesc tuturor colegilor de catedră pentru sprijinul dat la realizarea lucrării. Mulțumesc, de asemenea, conducerii întreprinderii I.M.A.I.A. Timișoara pentru condițiile create pentru efectuarea părții experimentale a tezei, cît și colectivului Centrului de Calcul Electronic al Institutului politehnic Timișoara pentru promptitudinea cu care mi-au fost rulate programele FORTRAN.

Deoarece fiecare mașină sau utilaj industrial este un agregat de mașini sau un ansamblu de agregate de mașini, problema studiului dinamicii agregatelor de mașini este în atenția multor cercetători din întreaga lume, rezultatul fiind apariția unui mare număr de lucrări în literatura de specialitate [3, 4, 7-9, 11-13, 15-31, 34, 37, 38, 41-44, 48-53, 56, 59, 60, 62, 63, 67-79, 81-83, 86-90, 92-98, 101, 103, 104, 106-109, 119, 121, 124-126, 129, 134, 136, 140-142, 144, 148-163, 169, 170, 173, 174, 180, 181, 183-191, 193, 195, 197-201, 204-221, 224-234, 236-239, 241, 242, 244, 246-264, 267-270, 272, 273, 275-278, 283, 288-290, 299, 307-309, 312-320, 322-325, 327, 329, 332, 334-339, 354-357, 359-364, 367-371, 373, 374, 379, 381, 382, 384-389, 392-419, 424-430].

In continuare se vor prezenta principalele probleme care se pun în domeniul dinamicii agregatelor de mașini, cît și lucrările în care acestea au fost formulate.

In primul rînd trebuie remarcată contribuția deosebită adusă în domeniul dinamicii agregatelor de mașini de către cercetătorul sovietic I.I.Artobolevskij (lucrările [16-19]). In lucrările sale fundamentale [20] și [22] a pus bazele metodei energetice de studiu a dinamicii agregatelor de mașini, și anume, metoda bazată pe construirea diagramei energie cinetică - masă redusă (moment de inertie redus); cu această metodă se pot aborda problemele care forțele (momentele) sunt date ca funcții de poziție.

O metodă originală de studiu a mișcării agregatelor de mașini, cît și o metodă de determinare a momentului de inertie a volantului sunt prezentate în lucrarea [276] elaborată de N.I.Mercalov.

In lucrarea [17], I.I.Artobolevskij inițiază o nouă metodă de calcul a volanților bazată pe construirea diagramei forțelor tangențiale, metodă îmbunătățită apoi de V.A.Zinov'ev în lucrarea [428].

Cercetătorul M.V.Semenov a adus completări la metoda lui I.I.Artobolevskij bazată pe diagrama energie cinetică - masă care au condus la simplificarea studiului mișcărilor staționare ale agregatelor de mașini [339].

In lucrarea [224], Ju.Ja.Kovylin a analizat din punct de vedere al preciziei metoda de calcul a volanilor a lui Mercalov și a comparat-o sub aspectul preciziei cu alte metode.

Metodele de studiu a dinamicii agregatelor de mașini semnalate pînă aici suferă de o limitare importantă prin faptul că presupun că forțele și momentele ce acționează asupra elementelor agregatelor sunt funcții numai de poziție. La foarte multe agregate de mașini însă, forțele și momentele mai pot fi funcții și de viteză, și de timp. Este suficient să se aibă în vedere faptul că în prezent, mașinile și utilajele din toate ramurile industriale sunt agregate de mașini acționate cu motoare electrice, al căror moment motor este funcție de viteză unghiulară, ca să se înțeleagă că metodele de studiu amintite pînă acum nu erau aplicabile tocmai acestor agregate care sunt cele mai importante. De aceea, în continuare, în problematica dinamicii agregatelor de mașini s-a impus necesitatea elaborării unor metode de calcul care să țină seama de dependența reală a forțelor și momentelor de poziție, viteză și timp. Un inceput în acest sens, l-a constituit lucrarea [312] a lui V.K.Popov în care s-au formulat și s-au rezolvat cîteva probleme ale agregatelor de mașini acționate de motoare electrice, avînd însă un caracter foarte particular.

Problema studiului mișcărilor agregatelor de mașini sub acțiunea forțelor depinzînd de poziție, viteză și timp a fost pusă la general și rezolvată cu o metodă aproksimativă, bazată pe teorema energiei cinetice de către V.A.Zinov'ev [426] și M.A.Skuridin [362]. Fundamentarea matematică a problemei mișcării agregatelor de mașini aflate sub acțiunea forțelor depinzînd de poziție, viteză și timp, a fost realizată în lucrarea [16] de către I.I.Artobolevskij; în această lucrare au fost obținute ecuațiile generale de mișcare ale agregatelor de mașini și s-a scos în evidență caracterul lor neliniar.

In lucrarea [23], I.I.Artobolevskij și B.M.Abramov au obținut o nouă formă a ecuației de mișcare a agregatelor de mașini, cu ajutorul căreia au pus la punct o metodă de studiu a mișcării agregatelor de mașini în cazul forțelor depinzînd de viteză. Tot pentru agregatelor de mașini în care momentele sunt funcții de viteză, A.N.Irošnikov, în lucrarea [173], a realizat o metodă grafică aproksimativă de construire a soluției ecuației diferențiale a mișcării.

M.I.Bat', în lucrarea [41] obține soluția periodică a ecuației de mișcare a unui agregat de mașini sub forma dezvoltării ei în serie după puterile unui parametru mic, în cazul în care forțele depind de poziție și viteză.

In lucrarea [197], V.P.Kazakov a formulat condițiile în care ecuația de mișcare a unui agregat de mașini se integrează în cuadraturi,

cu ajutorul funcțiilor elementare, în cazul forțelor depinzînd de poziție și de viteză. G.P.Vjatkin în lucrarea [415] și L.V.Korostelev în lucrarea [221], tratează, de asemenea, mișcările periodice ale unui agregat de mașini în cazul forțelor funcție de poziție și viteză, iar S.G.Kislicyn studiază în lucrarea [195], tot pentru cazul forțelor depinzînd de poziție și viteză, mișcarea stationară a unui agregat de mașini, cu metoda aproximățiilor succesive. Se mai pot menționa aici și lucrările [238, 239] ale lui L.I.Kremenștejn și lucrarea [179] a lui A.I.Jasjulenis unde se tratează mișcarea agregatelor de mașini în situațiile complexe în care forțele depind de poziție, viteză și timp.

Se remarcă apoi lucrările care studiază dinamica agregatelor de mașini cu referiri concrete la diferite mașini-unelte, cum ar fi lucrările: [13] de Ju.M.Andruševič, [230, 231] de S.I.Koževnikov și V.I.Bol'sakov, [259] de V.P.Lomakin și alții, [268] de H.Mäkelt, [299] de M.B. Palej, [329] de I.I.Rivin, [332] de M.Rossion, [368] de A.D.Spirakovskij și alții, [379] de V.Tabără, [393-395] de V.L.Vejc, [398] de V.L.Vejc și Ju.M.Andruševič, [399], [400] de V.L.Vejc și V.L.Dobroslavskij, [401] de V.L.Vejc și alții și [416] de D.P.Volkov și D.A.Kaminskaja.

În lucrarea [106], N.N.Diženko elaborează o metodă analitică de integrare a ecuației diferențiale a mișcării agregatelor de mașini.

Studiul calitativ al ecuației diferențiale a mișcării unui agregat de mașini și evaluarea regimului limită de mișcare periodică au fost întreprinse de V.A.Lošchinin în lucrarea [260].

În lucrarea [50] A.P.Bessonov analizează metoda planului fazelor în scopul aplicării ei la studiul dinamicii agregatelor de mașini.

V.A.Zinov'ev, în lucrarea [429] a elaborat o metodă de studiu a mișcării unui agregat de mașini cu ajutorul teoremei energiei cinetice în formă diferențială.

În lucrarea [78], E.Bugajewski se ocupă de problema reducerii maselor și momentelor la un agregat de mașini.

Problema importantă a determinării momentelor de inertie a volanilor din agregatele de mașini, în cazul în care forțele sunt funcție de poziție și viteză a fost tratată de V.A.Zinov'ev [427], M.I.Bat' [43], G.P.Vjatkin [415], S.G.Kislicyn [195].

În lucrările [17, 18] de I.I.Artobolevskij sunt studiate regimurile stationare de mișcare ale agregatelor de mașini, ținând seama de coeficientul de neuniformitate al mișcării.

În majoritatea studiilor întreprinse asupra agregatelor de mașini acționate cu motoare electrice, pentru motorul electric se ia în considerare caracteristica mecanică statică. Totuși, în unele regimuri de mișcare, caracteristica mecanică statică nu mai poate exprima în mod corect comportarea motorului în cadrul agregatului, deoarece nu ține

seama de fenomenele electromagnetice tranzitorii ce au loc în motor. În acest sens, o importantă contribuție aduce M.L.Byhovskij în lucrarea [81] în care se elaborează o metodă care permite determinarea influenței proceselor electromagnetice tranzitorii dintr-un motor electric de curenț continuu asupra mișcării agregatului de mașini. Problema regimurilor tranzitorii din acțiunările electrice ale agregatelor de mașini a fost tratată în continuare de P.S.Pinčuk [309], S.P.Lebedev [246], K.M.Ragul'skis [324], pînă cînd V.L.Vejc, în lucrarea [397] a definit o caracteristică mecanică dinamică a motorului electric, care ține seama de fenomenele electromagnetice tranzitorii din motor.

In lucrările [15] de A.M.Antovil', [37] de G.G.Baranov, [9] de B.M. Abramov, studiul mișcărilor agregatelor de mașini se face cu luarea în considerare a frecvenților din cuplurile cinematice.

In lucrarea [4], B.M.Abramov a aplicat ecuațiile lui Appell la stabilirea ecuației de mișcare a unui agregat cu două grade de libertate.

Un mare număr de lucrări sunt consacrate studiului dinamicii agregatelor de mașini la care mașina de lucru execută mișcări cu caracter vibratoriu, excitată inertial. Printre acestea se pot enumera lucrările lui I.I.Blehman [57], V.V.Gortinskij [144], A.P. Bessonov [48, 49]. Aprofundarea studiului acestui tip de agregate de mașini prin luarea în considerare a interacțiunii reciproce care apare între motorul electric de putere limitată și mașina de lucru a fost făcută de V.D. Kononenko în lucrarea [215] unde pentru rezolvarea acestor probleme se aplică metoda esimptotică Krylov-Bogoliubov. Tot aici se remarcă teza de doctorat [147] a tov. prof.dr.ing. Iosif Groșanu din catedra noastră, în care se aduce o contribuție valoroasă prin punerea în evidență atât pe cale teoretică cât și experimentală a unor variații periodice ale vitezelor unghiulare în jurul unor valori medii.

O problemă interesantă care se pune în dinamica mașinilor vibratoare este funcționarea în grup a vibratoarelor. În acest caz este absolut necesar ca vibratoarele să funcționeze sincron și sinfazic. Studiul problemelor privind funcționarea sincronă a vibratoarelor, fără ca acestea să fie cuplate între ele prin angrenaje cu roți dințate, lanțuri, curele de transmisie etc, adică fenomenul de autosincronizare a fost întreprins de către I.I.Blehman în lucrările [56, 59, 61]. Problema a fost rezolvată și cu ajutorul motoarelor electrice de acționare sincrone (I.I.Blehman [60]).

Un alt aspect care a deschis un cîmp larg de cercetare a fost luarea în considerare a elasticității elementelor componente ale agregatelor de mașini; S.N.Koženikov [227, 228], M.I.Bat' [42], A.N. Golubencev [141], F.L.Litvin [251, 252]. În plus, Ja. Kožešnik abordează și problema calculului volantului la agregate de mașini cu elemente elastice. [225].

O altă problemă interesantă este studiul dinamicii agregatelor de mașini cu masă variabilă: V.S.Rakita[357], V.T. Kosticyn[223]. Această problemă prezintă o mare importanță practică deoarece multe din agregatele de mașini întâlnite în industrie își modifică geometria în timpul funcționării, astfel că prezintă un moment de inertie redus variabil: V.K.Gruzinov[163], I.I.Artobol evskij și A.P.Bessonov[24], A.P.Bessonov [51].

Problema vibrațiilor proprii ale mecanismului în raport cu poziția statică de echilibru este tratată de K.M.Ragul'skis[321].

In sfîrșit, studiul dinamicii agregatelor de mașini cu legături elastice, cu luarea în considerare a frecărilor și a vibropercuțiilor datorate jocurilor din cuplurile cinematice a fost tratat de A.E.Kobrinskij[197-199], K.M.Ragul'skis[323 , 324].

Din cele prezentate mai sus se poate observa faptul că problema dinamicii agregatelor de mașini este foarte largă și diversificată, constituind un domeniu de cercetare de mare actualitate și de mare importanță practică datorită implicațiilor directe ce le are în ridicarea performanțelor mașinilor și utilajelor industriale.

Cu toate acestea însă, studiul dinamicii agregatelor de mașini constituie numai o direcție de cercetare în cadrul domeniului deosebit de vast al vibrațiilor mecanice.

Pe plan mondial, literatura în domeniul vibrațiilor mecanice este foarte bogată; de aceea, se semnalează aici numai lucrările care abordează în mod fundamental teoria generală a vibrațiilor mecanice : [4, 5, 10, 32, 33, 35, 37, 39, 40, 45, 55, 57, 58, 61, 64-66, 80, 99, 102, 105, 111, 116-118, 120, 122, 123, 130-133, 138, 139, 143, 145, 146, 165, 167, 168, 171, 172, 175, 176, 179, 182, 192, 202, 203, 222, 235, 245, 266, 271, 274, 279, 286, 287, 296, 298, 300- 306, 321, 326, 331, 372, 375-377, 380, 383, 391, 420-422] .

Între lucrările de specialitate apărute în țară se remarcă lucrările tov.prof.em. Gheorghe Silaș[340-343], inițiatorul și conducătorul a ceea ce în țară și străinătate se numește - Școala de vibrații de la Timișoara - școală la care s-a format și autorul prezentei teze.

Teza de doctorat și dizertația de docentură ale tov.prof.Silaș, prin înaltul lor nivel științific și prin monumentalitatea lor, constituie lucrări de referință în teoria fundamentală a vibrațiilor și vibropercuțiilor.

Se remarcă, de asemenea, lucrările elaborate de colective de cadre didactice din catedră, având o bogată activitate de cercetare științifică în domeniul vibrațiilor întâlnite în ingineria mecanică,

în frunte cu tot. prof.em.Gheorghe Silag [344-360].

După această trecere în revistă a literaturii științifice de specialitate, în încheierea capitolului introductiv se va prezenta foarte pe scurt conținutul tezei.

§ 1.2. Conținutul lucrării. Prezența lucrare cuprinde contribuțiile aduse de autor la studiul dinamicii agregatelor de mașini acționate cu motoare electrice.

Conținutul teoretic este sistematizat în cadrul capitolelor 2,3 și 4, după cum urmează:

In capitolul 2 se formulează și se rezolvă cîteva probleme referitoare la dinamica agregatelor de mașini în general; este vorba de probleme care se pun și ale căror soluții au valabilitate la toate tipurile de agregate de mașini sau cel puțin, la clase foarte largi de agregate de mașini.

In capitolul 3 se abordează probleme ale dinamicii unei categorii particulare de agregate de mașini - agregatelor cu volanți. Atenția autorului s-a oprit asupra acestui tip de agregat de mașini deoarece, aşa cum s-a arătat la începutul paragrafului precedent, studiul dinamicii agregatelor de mașini cu volanți constituie o problemă fundamentală în dinamica agregatelor; interesul de prim rang pe care cercetătorii îl acordă acestui tip de agregat de mașini este atât de natură științifică, cît și de natură economică. Printre alte avantaje pe care le aduce echiparea cu volanți a agregatelor de mașini, avantaje care vor fi prezentate pe larg în paragraful respectiv, se numără și micșorarea considerabilă a puterii necesare a motorului electric de acționare. Aceasta are drept consecință realizarea unei duble economii: un motor de putere mai mică este, în primul rînd, mai ieftin și totodată, în timpul funcționării, aduce o economie permanentă de energie electrică.

La studiul dinamicii agregatelor de mașini cu volanți se pune totdeauna problema determinării momentului de inertie al volantului ținând seama de tipul motorului electric de acționare, de tipul transmisiiei dintre motor și mașina de lucru, de aspectul diagramei de sarcină a mașinii de lucru, de coeficientul de neuniformitate al mișcării agregatului, de faptul că momentul de inertie redus al agregatului este constant sau funcție de poziția agregatului. Problemele tratate în capitolul 3 se înscriu și ele pe această linie.

Capitolul 4 este, de asemenea, consacrat studiului dinamicii unei clase particulare de agregate de mașini și anume, cele care conțin în structura lor un variator de turatie.

Prezența variatorului de turatie în agregatul de mașini cere, prin raportul său de transmisie care este funcție de timp, constituie o le-

gătură neolonomă, complică în mod considerabil studiul dinamicii agregatelor de acest tip. Dificultățile apar chiar de la început, la stabilirea ecuației diferențiale a mișcării agregatului, pentru care nu se mai pot aplica ecuațiile lui Lagrange de speță a II-a, datorită existenței legăturii neolonomice; este nevoie să se recurgă la ecuațiile lui Lagrange cu multiplicatori nedeterminați sau la ecuațiile lui Appell.

In studiul dinamicii agregatelor de mașini cu variator de turăție, se poate defini o problemă "directă" și o problemă "inversă". Problema directă constă în determinarea legii de mișcare a agregatului de mașini corespunzătoare unei anumite legi date de reglare în timp a raportului de transmisie al variatorului. Problema inversă determină legea de reglare a raportului de transmisie necesară realizării unei legi de mișcare impuse a agregatului de mașini.

In cadrul acestui capitol se tratează probleme din ambele categorii de mai sus.

Capitolul 5 cuprinde determinările experimentale care au fost efectuate la Intreprinderea I.M.A.-I.A. din Timișoara. Încercările experimentale au fost făcute pe o instalație industrială care constituie standul de probă al variatoarelor produse de această întreprindere.

Din punct de vedere al dinamicii mașinilor, acest stand de probă este un agregat de mașini format dintr-un motor electric asincron, care prin intermediul unui variator de turăție antrenează o "mașină de lucru" constituită dintr-un generator electric de curent continuu. În circuitul de sarcină al generatorului se pot conecta rezistențe reglabile în trepte și continuu, ceea ce conduce la modificarea corespunzătoare a momentului rezistent al mașinii de lucru. În ceea ce privește variatorul de turăție, acesta este de tipul cu reglare manuală a raportului de transmisie.

Pe această instalație au fost create regimuri de mișcare dintre cele studiate în partea teoretică a lucrării. Completând instalația industrială cu aparete de măsură și înregistrare din dotarea Laboratorului de Vibrații al catedrei, au fost măsurăți, respectiv înregistrati parametrii acestor mișcări.

In vederea comparării rezultatelor experimentale cu cele teoretice, a apărut problema efectuării unor calcule numerice deosebit de complexe și voluminoase, problemă care a putut fi soluționată numai pe calculatorul electronic de mare capacitate. În acest scop, tot în capitolul 5 se prezintă schemele logice și programele FORTRAN, întocmite în baza lor, care au fost apoi rulate la calculatorul FELIX C-256 de la Centrul de Calcul Electronic al Institutului Politehnic Timișoara. Între rezultatele teoretice astfel obținute și rezultatele experimentale

- 10 -

S-a constat o concordanță satisfăcătoare; diferențele care au apărut au o sursă care a fost stabilită la paragraful respectiv.

In capitolul 6 cu care se încheie lucrarea se prezintă în mod sintetic principalele probleme care au fost puse și rezolvate în teză și contribuțiile aduse la studiul dinamicii agregatelor de mașini.

La sfîrșitul lucrării se dă o bibliografie cuprinzînd un număr de 430 de referiri bibliografice și un set de 20 de anexe reprezentate de listingurile programelor FORTRAN rulate pe calculatorul electronic.

CAP.2. PROBLEME ALE DINAMICII AGREGATELOR DE MASINI,
IN GENERAL

§ 2.1. Alegerea caracteristicii mecanice a motorului electric de actionare din agregatul de masini. In calculul dinamic al agregatelor de masini, totdeauna trebuie precizata caracteristica mecanica a motorului electric de actionare, adica relatiile dintre momentul cuplului produs de motorul electric si viteza unghiulara a arborelui acestuia. Aspectul caracteristicii mecanice diferă în mod substanțial în funcție de tipul motorului electric. In agregatele de masini moderne, cele mai răspândite tipuri de motoare electrice sunt cele analizate mai jos. Cele mai economice și cu cea mai ridicată fiabilitate [112-115, 135] sunt motoarele asincrone cu rotor în scurtcircuit. Aceste motoare, la puteri mici și mijlocii, prezintă și importantul avantaj că se pornesc prin conectare directă la rețea. Toate aceste calități au făcut ca în prezent, mașinile unelte așchietoare, care pentru mișcarea principală și mișcările de avans, necesită tocmai motoare de puteri mici și mijlocii, să fie echipate aproape în exclusivitate cu motoare electrice asincrone cu rotor în scurtcircuit. Reglarea turatiei la aceste motoare se poate face prin modificarea tensiunii de la rețea sau a frecvenței rețelei. Ambele metode comportă instalații electrice complexe cu care nu este rentabil să se înzestreze mașinile unelte obisnuite. De aceea se recurge la procedee mecanice de modificare a turatiei; dacă procesul tehnologic căruia îi este destinată mașina unealtă se poate realiza cu o reglare în trepte a turatiei, se folosesc cutii de viteză; dacă este necesară o reglare continuă a turatiei, atunci se folosesc variatoare de turatie de diferite tipuri. La freze și strunguri speciale, strunguri automate se mai folosesc motoare cu rotor în scurtcircuit cu două, trei și chiar patru turatii diferite care se realizează conectând corespunzător bobinele din infășurarea statorică a motorului în scopul modificării numărului de perechi de poli din stator. In sfîrșit, în cazul unor mașini unelte cu totul speciale cum ar fi unele mașini de rectificat la care sunt necesare turatii de lucru de ordinul zecilor de mii de rotații pe minut, se folosesc convertizoare rotative de frecvență, care însă sunt cele mai costisitoare. In concluzie, în privința motoarelor electrice cu rotor în scurtcircuit se poate afirma că acoperă în bună parte necesitățile de actionare a agregatelor de masini întâlnite în toate ramurile industriale, de la indus-

tria minieră și constructoare de mașini și pînă la industria textilă și alimentară [12, 44, 68, 221, 228, 230, 231, 259, 267, 268, 299, 309, 329, 332, 368, 379, 393-395, 398, 399, 401, 416].

In prezent, în agregatele de mașini la care sunt necesare motoare electrice de putere mare și foarte mare au primit o largă întrebunțare și motoare sincrone: în industria metalurgică la antrenarea lăminelor mari, în industria hîrtiei la acționarea liniiilor de confecționarea hîrtiei, în industria cimentului la antrenarea cupoarelor rotative de ciment [180].

Cu tot progresul însemnat realizat în domeniul acționării electrice în curent alternativ, acționarea electrică în curent continuu rămîne încă esențială la agregatele de mașini care necesită o reglare continuă a turăției într-un domeniu larg. Dintre motoarele de curent continuu, cele mai răspîndite în agregatele de mașini sunt cele cu excitație independentă. Reglarea turăției motoarelor de curent continuu cu excitație independentă se face comod, prin mijloace simple și ieftine, și anume, prin modificarea rezistenței din circuitul rotorului prin intermediul unui reostat sau prin modificarea fluxului de magnetizare statică cu ajutorul unui reostat în montaj potențiometric. [1, 81, 134, 233, 334, 361, 373, 381, 382].

O ultimă categorie de acționare a agregatelor de mașini care realizează operațiuni tehnologice deosebit de complexe și variate este aceea realizată cu mașini electrice amplificatoare (amplidine) [335], cu amplificatoare magnetice sau cu amplificatoare electronice.

Comportarea motoarelor electrice în regim staționar este definită de caracteristica statică a motorului care se numește "statică" pentru faptul că nu conține influența proceselor electromagnetice tranzitorii din motor, legate de operațiile de pornire sau de frânare, operațiile de aplicare, înălțurare bruscă sau modificare bruscă a sarcinii, operațiile de reversare a sensului de rotație.

Cum au dovedit însă cercetările experimentale, procesele electromagnetice tranzitorii din motor, în anumite condiții, pot avea o influență importantă asupra fenomenelor dinamice din agregatul de mașini.

In literatura de specialitate, studiul fenomenelor electromagnetice tranzitorii din motoarele electrice de diferite tipuri este destul de bine tratat; astfel, pentru motoarele electrice asincrone se pot cita lucrările [36, 44, 112-115, 135, 177, 194, 293, 309, 366, 423], pentru motoarele sincrone lucrările [81, 84, 85, 137, 178], iar pentru motoarele de curent continuu lucrările [1, 81, 134, 233, 334, 361, 373, 381, 383].

Considerarea exactă a proceselor electromagnetice tranzitorii din motorul electric conduce însă la sisteme de ecuații diferențiale neli-

niare complicate, a căror cercetare calitativă și integrare aproimativă este foarte dificilă. De aceea, o asemenea manieră de studiu este limitată în practica calculelor ingineresti a agregatelor de mașini.

Pentru reducerea acestor dificultăți de calcul, în literatura de specialitate se recurge la diverse forme de aproximare a caracteristicii mecanice a motorului electric, care, de la caz la caz, pot exprima suficient de bine fenomenele din agregatul de mașini.

Modalitatea cea mai simplă de tratare a problemei constă în considerarea motorului electric ca o sursă ideală de energie, adică având putere infinită; în această situație în agregatul de mașini, între motor și mașina de lucru nu are loc nici o interacțiune și astfel momentul motor rămâne constant, oricără de violente ar fi procesele dinamice din mașina de lucru [362].

O altă posibilitate se bazează pe aproximarea caracteristicii mecanice a motorului electric prin funcții de timp polinomiale având însă forme specifice pentru diferitele regimuri dinamice (accelerare, frânare) [205]. Prezentarea momentului motorului sub forma unei funcții de timp nu mai reprezintă de fapt caracteristica mecanică, ci aproximarea soluției ecuației diferențiale a mașinii agregatului de mașini care, în realitate este departe de a fi polinomială.

De o largă răspândire în studiul agregatelor de mașini se bucură folosirea caracteristicii mecanice statice a motorului electric. Această caracteristică, săa cum s-a arătat, nu cuprinde fenomenele electromagnetice tranzitorii din motor, dar exprimă în mod fidel comportarea motorului electric în regim de lucru staționar [147, 215].

În sfîrșit, rezultate foarte bune se obțin prin studierea aproximativă a proceselor electromagnetice tranzitorii din motorul electric cu ajutorul ecuațiilor diferențiale liniare rezultate în urma linierizării ecuațiilor diferențiale exacte. În acest fel s-a ajuns la o caracteristică mecanică care ține seama și de procesele electromagnetice tranzitorii din motor și din acest motiv se numește caracteristică mecanică "dinamică"; ea constituie soluția unei ecuații diferențiale liniare în raport cu momentul motorului și viteza unghiulară și a primit confirmări experimentale depline [81, 309, 397].

Dacă folosirea caracteristicii mecanice dinamice asigură precizia maximă la nivel de calcul ingineresc, trebuie însă avut în vedere că aplicarea ei comportă calcule destul de dificile. De aceea, de la caz la caz și în funcție de precizia cerută, se alege caracteristica mecanică dinamică, caracteristica mecanică statică sau se consideră motorul electric ca o sursă ideală de energie care furnizează moment constant pe tot domeniul de viteză unghiulară de lucru ale agregatului

de mașini.

Din cele prezentate mai sus se iese deci problema deosebit de importantă a alegerii tipului caracteristicii mecanice a motorului electric atunci cînd se face studiul dinamicii unui agregat de mașini, astfel încît erorile să se încadreze în limitele prescrise. Paragraful de față își propune tocmai rezolvarea acestei probleme; se cercează influența alegerii uneia sau altăia din caracteristicile mecanice enumerate mai sus asupra preciziei studiului dinamicii unui agregat de mașini. Se face o delimitare a domeniilor de aplicabilitate a fiecărei caracteristici mecanice, evaluindu-se și erorile corespunzătoare.

Ca element definitoar al proceselor dinamice din agregatul de mașini s-a ales coeficientul de dinamicitate deoarece în expresia lui intervin toți parametrii mecanici și electrici ai agregatului de mașini, astfel încât acesta caracterizează în modul cel mai complet fenomenele tranzitorii din agregatul de mașini.

Se consideră schema de calcul din fig.2.1. la care se reduc majoritatea agregatelor de mașini industriale: I - motorul electric de acționare, II - mașina de lucru, III - transmisia elastică formată din arborii rigizi ai motorului electric și mașinii de lucru, cuplați între ei cu o cuplă cu proprietăți elastice și de amortizare liniare.

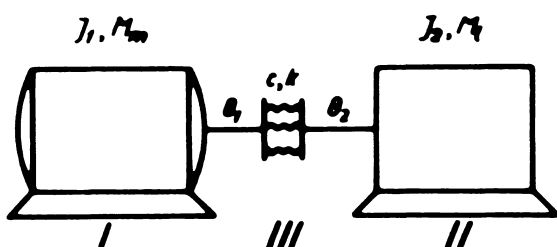


Fig.2.1.

Mișcările agregatului de mașini sunt

$$\begin{aligned} J_1 \ddot{\theta}_1 + c(\dot{\theta}_1 - \dot{\theta}_2) + k(\theta_1 - \theta_2) &= M_m, \\ J_2 \ddot{\theta}_2 - c(\dot{\theta}_1 - \dot{\theta}_2) - k(\theta_1 - \theta_2) &= -M_l. \end{aligned} \quad (2.1)$$

unde J_1, J_2 - momentele de inertie reduse ale motorului electric și mașinii de lucru; θ_1, θ_2 - unghiurile de rotație ale arborilor motorului electric și mașinii de lucru; c, k - coeficientul de amortizare viscoasă și constanta elastică ale couplei; M_m, M_l - momentul motor și momentul rezistent. Momentul rezistent, pentru a conferi o largă generalitate problemei, se consideră o funcție periodică de timp, $M_l = M_l(t)$, avînd pulsări fundamentală ω .

Dacă se introduce coordonata relativă $\psi = \theta_1 - \theta_2$, atunci momentul din cuplă este $M_c = c\dot{\psi} + k\psi$.

Pentru agregatele de mașini care au intercalată o transmisie elastică între motor și mașina de lucru (în cazul agregatului consi-

ecuațiile diferențiale ale

derat aici, transmisia este constituită de cuplă) se definește un coeficient de dinamicitate cu ajutorul momentului care apare în transmisie (momentul din cuplă, în cazul de față) și al momentului rezistent provenind de la mașina de lucru. Prin urmare, semnificația coeficientului de dinamicitate este de a exprima măsura în care momentul care apare în mașina de lucru se reflectă sub forma momentului dinamic care solicită transmisia.

Ecuatia diferențială liniară din care rezultă caracteristica mecanică dinamică a motorului electric este de forma [397]

$$\frac{1}{\nu} \left(\tau \frac{dM_m}{dt} + M_m \right) = s, \quad (2.2)$$

unde $\nu = \frac{dM_m}{ds}$ este panta caracteristicii mecanice statice a motorului electric, în regim de mers ideal în gol, ω_0 fiind viteza unghiulară a motorului electric în acest regim, τ este constanta de timp electromagnetica, iar s este viteza unghiulară relativă a motorului electric, $s = \omega_0 - \dot{\theta}_1$.

Notând $\dot{\varphi} = \dot{\theta}_1 - \omega_0 = -s$ și ținând seama de precizările de mai sus, sistemul de ecuații (2.1), în formă operațională, devine

$$\begin{aligned} p^2 J_1 \dot{\Phi} + M_c &= -p \frac{\nu}{1+p\tau} \dot{\Phi}, \\ p^2 J_2 (\dot{\Phi} - \frac{M_c}{pc+k}) - M_c &= -M_1, \end{aligned} \quad (2.3)$$

în care p este variabila operațională, iar $\dot{\Phi}$, M_c și M_1 sunt transformatele Leplace, respectiv ale lui $\dot{\varphi}$, M_c și M_1 . Semnificația lui $\dot{\varphi}$ este aceea de abatere unghiulară față de regimul de mers ideal în gol.

Luând variabila operațională de formă $p=i\omega$ [14], în care i este simbolul imaginari, din (2.3) rezultă coeficientul de dinamicitate

$$k_d = \left| \frac{M_c}{M_1} \right| = \left| \frac{(k+i\omega)[\omega^2 J_1 + +i\omega(\omega^2 \tau J_1 - \nu)]}{[\omega^2 J_1 + i\omega(\omega^2 \tau J_1 - \nu)][(k - \omega^2 J_2 + i\omega c) + [k - -\omega^2 c \tau + i\omega(c + k \tau)] \omega^2 J_2]} \right|. \quad (2.4)$$

In legătură cu formula de mai sus de definiție a coeficientului de dinamicitate trebuie făcută observația că în cazul agregatelor de mașini cu transmisie rigidă între motor și mașina de lucru, nu există un moment dinamic în transmisie și deci, nu se poate defini coeficientul de dinamicitate.

Folosind momentul de inertie echivalent $J = \frac{J_1 J_2}{J_1 + J_2}$, precum și noțiile $\omega_n = \sqrt{\frac{k}{J}}$, $\omega = \alpha \omega_n$, $\beta = \omega_n \tau$, $r = \frac{J_2}{J_1}$, $\delta = \frac{\nu}{\omega_n J_1}$, $\varepsilon = \frac{c}{2\omega_n J}$, expresia (2.4) capătă forma :

$$k_d = \sqrt{\frac{(1+4\varepsilon^2\alpha^2)[\alpha^2 + \{(\tau+1)[\alpha^4\beta - \alpha^2(\beta+\delta'+2\varepsilon)] + \delta'\}^2 + \alpha^2[(\tau+1)(1+2\beta\varepsilon)\alpha^2 -$$

$$\frac{+(\alpha^2\beta-\delta)^2}{-(r+1+2\delta\varepsilon)]^2} \quad (2.5)$$

Un interes deosebit prezintă studiul comportării agregatului de mașini în zona rezonanței principale cind $\omega \approx \omega_n$, adică pentru $\alpha = 1$. Starea de rezonanță a sistemului trebuie să fie considerată cu prioritate deoarece se caracterizează prin valori maxime ale momentului care solicită cupla, M_c , moment care intră în expresia coeficientului de dinamicitate. În acest caz, pentru coeficientul de dinamicitate (2.5) rezultă expresia

$$k_{d_r} = \sqrt{\frac{(1+4\varepsilon^2)[1+(\beta-\delta)^2]}{[r\delta + 2(r+1)\varepsilon]^2 + 4[\delta-(r+1)\beta]^2 \varepsilon^2}} \quad (2.6)$$

Procesele electromagnetice tranzitorii din motorul electric intervin în expresia coeficientului de dinamicitate prin intermediul constantei de timp electromagnetice τ , deci a parametrului β . De aceea, în fig.2.2 s-a reprezentat grafic dependența $k_d = k_d(\beta)$ pentru valorile parametrilor din tabelul 2.1.

Tabelul 2.1

Nr. curbei	δ	r	ε
1	0,05	0,5	0,05
2	0,1	0,5	0,05
3	0,3	0,5	0,05
4	0,05	0,5	0,1
5	0,1	0,5	0,1
6	0,3	0,5	0,1
7	0,05	2	0,1
8	0,1	2	0,1
9	0,3	2	0,1

Cele 9 curbe trasate pentru diferite combinații de valori ale parametrilor δ , r , ε au o altură vizibil asemănătoare, ceea ce face posibil să se presupună că și pentru alte combinații de valori ale parametrilor, se obțin curbe de aceeași formă.

Valorile acestor parametri s-au ales astfel încât să fie acoperitoare pentru agregatele de mașini întâlnite în utilajele industriale obisnuite.

Astfel, domeniul de valori pentru δ a rezultat după cum urmează:

- δ fiind panta caracteristicii mecanice statice în regim de mers ideal în gol, are valori cuprinse în intervalul 1 - 1,73, corespunzătoare unor unghiuri de înclinare obisnuite de 45° - 60° ale caracteristicii mecanice în acest regim;

- ω_n are valori în domeniul $12-25 \text{ s}^{-1}$, corespunzătoare unei frecvențe proprii de ordinul hertilor, cît au în mod obisnuit utilajele industriale;

- J_1 , pentru motoarele electrice de putere medie cu care sunt echipate agregatele industriale, are valori în jur de 1 kg.m^2 .

Pentru aceste valori ale mărășilor care intră în expresia sa, parametrul δ cupăță valori cuprinse în domeniul 0,05 - 0,3.

In privința lui r , domeniul de valori 0,5 - 2 este de asemenea acoperitor. Intr-adevăr, dacă r ar fi sub 0,5, ar însemna că momentul de inertie al mașinii de lucru ar reprezenta mai puțin de jumătate din momentul de inertie al rotorului motorului electric, adică moto-

rul ar fi exagerat de mare în raport cu mașina de lucru, ceea ce ar fi total neeconomic. Invers, dacă γ ar depăși valoarea 2, mașina de lucru s-ar țovedi prea mare în comparație cu motorul, situația uzuale fiind cînd cele două momente de inertie au valori apropiate.

Referitor la parametrul ϵ , acesta se exprimă cu ajutorul coeficientului de smotrizare viscoasă c . Acesta fiind, de fapt, un coefficient de frecare de alunecare între două suprafete lubrificate (cele două semicuple), are valori mici, subunitare, astfel încît parametrul ϵ care se obține prin împărțirea lui c cu factorul $2\omega_n J$, să aibă sprijin că nu poate depăși valoarea 0,1.

Din aspectul curbelor din fig.2.2 rezultă o concluzie valabilă pentru întreaga familie de curbe și anume că, pentru $\beta < 0,8$ și $\beta \geq 5$, coefficientul de dinamicitate la rezonanță, practic nu depinde de β .

In cazul în care în locul caracteristicii mecanice dinamice a motorului electric se ia în considerare caracteristica mecanică statică, coefficientul de dinamicitate la rezonanță se obține din (2.6) pentru $\gamma = 0$, adică pentru $\beta = 0$. De asemenea, se poate neglija și produsul $\delta^2 \epsilon^2$:

$$k_d'_{r} = \frac{1}{r\delta + 2(r+1)} \sqrt{\delta^2 + 1 + 4\epsilon^2} . \quad (2.7)$$

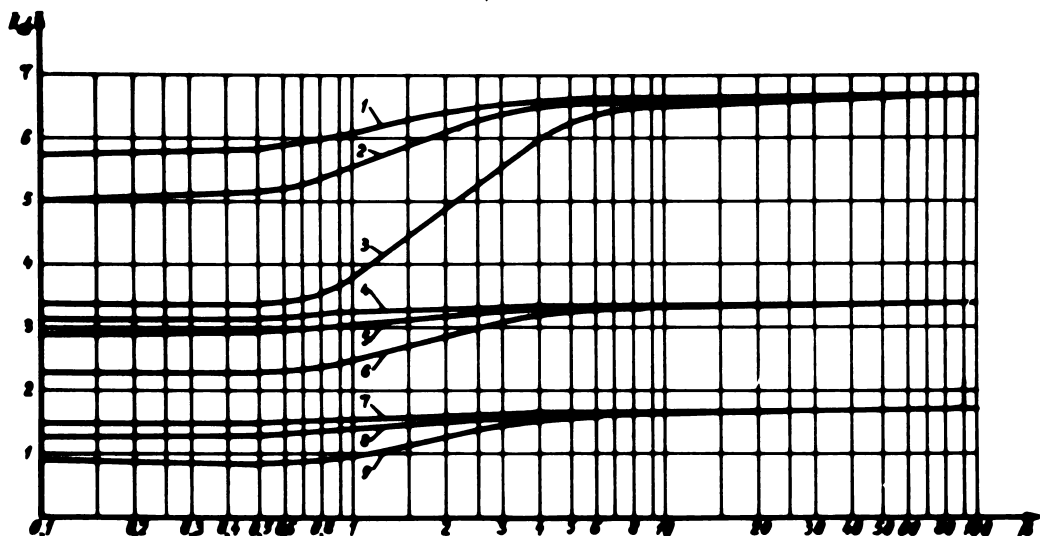


Fig.2.2.

In sărșit, dacă nu se ține seama nici de caracteristica mecanică statică a motorului, ci se consideră că acesta dezvoltă un cuplu motor de moment constant la orice viteză uniformitară, adică are o caracteristică mecanică orizontală cu panta nulă ($\gamma = 0$), rezultă din (2.7) expresia coeficientului de dinamicitate la rezonanță pentru $\delta = 0$:

$$k_d''_{r} = \frac{1}{2(r+1)\epsilon} \sqrt{1 + 4\epsilon^2} . \quad (2.8)$$

14/15
320 F

Pentru a se putea trage concluziile, în tabelul 2.2 s-au calculat coeficientii de dinamicitate la rezonanță cu cele trei formule (2.6), (2.7) și (2.8) pentru diferite valori ale parametrilor, precum și erorile relative respective.

Din analiza curbelor din fig.2.2 și a datelor din tabelul 2.2, rezultă următoarele concluzii:

1. Pentru $\beta \in [0 ; 0,8]$, adică atunci cind constanta electromagnetică de timp este foarte mică, cu o eroare relativă e' care nu depășește 3,5% (tabelul 2.2), se poate folosi caracteristica mecanică statică a motorului electric.

$\frac{ k_{dr} _{\rho=0} - k_{dr}}{k_{dr} _{\rho=0}} \cdot 100$	$e' = \frac{ k_{dr} _{\rho=5} - k''_{dr}}{k''_{dr} _{\rho=5}} \cdot 100$
1,676	1,025
1,884	2,196
3,490	8,204
0,570	0,681
0,476	1,402
3,260	4,680
1,152	1,380
1,157	2,238
2,778	9,530

Tabelul 2.2.

2. Pentru $\beta \in [5, 100]$, adică atunci cind ω_n , care are semnificație de pulsăție proprie a sistemului în lipsă amortizării, este mare, cu o eroare relativă e'' de cel mult 10% (tabelul 2.2), se poate neglija influența caracteristicii mecanice a motorului. Într-adevăr, dacă pulsăția proprie a sistemului este mare, acest fapt presupune un moment de inertie redus relativ mic; momentul de inertie fiind mic, fenomenele dinamice din agregatul de mașini au o influență neglijabilă asupra funcționării motorului electric de acționare, aceasta putând fi considerat ideal, adică cu cuplu motor constant, indiferent de turatăie.

3. Pentru $\beta \in (0,8 ; 5)$, studiul dinamicii agregatului de mașini trebuie să se facă luând în considerare caracteristica mecanică dinamică a motorului electric; în caz contrar, erorile relative sunt inadmisibile mari.

§ 2.2. O nouă evaluare a coeficientului de dinamicitate a funcționării unui agregat de mașini. Pentru caracterizarea neuniformității mișcării elementului conducător al unui agregat de mașini aflat în regim de mișcare staționară se folosește coeficientul de neuniformitate al mișcării [20, 22] :

$$\delta = \frac{\omega_M - \omega_m}{\omega_{med}}, \quad (2.9)$$

în care : δ - coeficientul de neuniformitate al mișcării; ω_M , ω_m ,

ω_{med} - respectiv, viteza unghiulară maximă, viteza unghiulară minimă și viteza unghiulară medie a elementului conducător, pe durata unui ciclu al mișcării staționare.

Prin element conducător al agregatului de mașini se înțelege arborele motorului electric în cazul unui agregat de mașini la care mașina de lucru este cuplată direct de motorul de acționare; atunci cînd între motor și mașina de lucru se află o transmisie (reductor de turatie, cutie de viteză, variator de turatie etc.), arborele de ieșire din transmisie constituie elementul conducător.

Viteza unghiulară medie se poate bine aproxima prin expresia [20, 22]

$$\omega_{med} \approx \frac{\omega_M + \omega_m}{2}. \quad (2.10)$$

Din relațiile (2.9) și (2.10) rezultă că variația maximă a vitezei unghiulare a elementului conducător pe durata unui ciclu al mișcării staționare este

$$\Delta\omega = \omega_M - \omega_m = d\omega_{med}. \quad (2.11)$$

Notînd cu Δt intervalul de timp din durata unui ciclu al mișcării staționare în care are loc variația maximă a vitezei unghiulare a elementului conducător (viteza unghiulară putînd să varieze de la ω_m la ω_M sau invers), accelerarea unghiulară medie pe un ciclu va fi

$$\varepsilon_{med} = \frac{\Delta\omega}{\Delta t}. \quad (2.12)$$

Pentru majoritatea agregatelor de mașini, un ciclu al mișcării staționare corespunde unei rotații complete a elementului conducător. În acest caz, durata unui ciclu al mișcării staționare va fi egală cu perioada T a mișcării elementului conducător,

$$T = \frac{2\pi}{\omega_{med}}. \quad (2.13)$$

Considerînd, de exemplu, o lege de variație a vitezei unghiulare a elementului conducător ca aceea din fig.2.3, semnificația mărimalor $\Delta\omega$, Δt și T rezultă din figură.

Se vede că totdeauna Δt va fi mai mic decît jumătate din durata T a ciclului sau cel mult egal cu $\frac{T}{2}$ (în cazul unei diagrame simetrice a vitezei unghiulare pe cele două semiperioade). De aceea se poate scrie că

$$\Delta t = \lambda \frac{T}{2}, \quad (2.14)$$

în care coeficientul $\lambda \leq 1$. Tinînd seama de relațiile (2.11), (2.13) și (2.14), expresia (2.12) a accelerării unghiulare medie devine

$$\varepsilon_{med} = \frac{d\omega_{med}^2}{\lambda \pi}. \quad (2.15)$$

Dacă se presupune, în plus, că ciclul mișcării staționare cuprinde și intervale de timp în care elementul conducător execută mișcări

uniforme după atingerea vitezelor unghiulare extreme ω_m și ω_M (fig. 2.3), atunci, pe intervalul Δt acceleratia unghiulară va avea o dia-

gramă de forma din fig. 2.4 și se va putea lua acceleratia unghiulară maximă $\varepsilon_M \approx 2\varepsilon_{med}$. (2.16)

$$\text{adică } \varepsilon_M = \frac{2d\omega_{med}^2}{\lambda \pi}. \quad (2.17)$$

In cazul în care diagrama vitezei unghiulare prezintă mai multe maxime și minime pe o perioadă a ciclului mișcării staționare, (fig. 2.5), trebuie calculată, după metoda expusă, acceleratia unghiulară maximă pentru fiecare interval de timp Δt_i în care viteză unghiulară prezintă variații mari

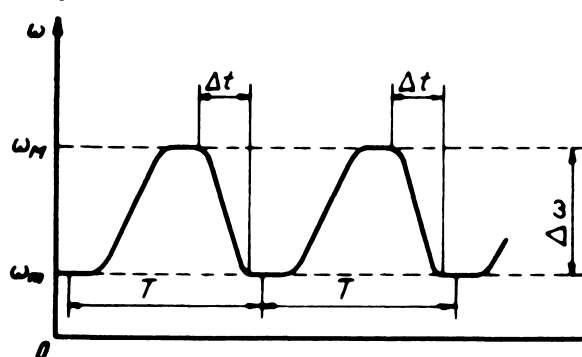


Fig. 2.3.

diagrama vitezei unghiulare prezintă mai multe maxime și minime pe o perioadă a ciclului mișcării staționare, (fig. 2.5), trebuie calculată, după metoda expusă, acceleratia unghiulară maximă pentru fiecare interval de timp Δt_i în care viteză unghiulară prezintă variații mari

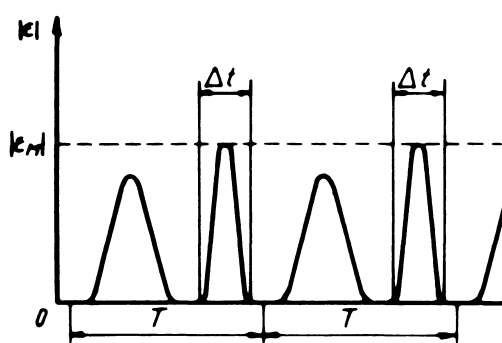


Fig. 2.4.

$$\varepsilon_{im} = \frac{2d_i \omega_{im}^2}{\lambda_i \pi}, \quad (i=1,2,\dots,n) \quad (2.18)$$

unde n este numărul intervalelor de timp cu acceleratii unghiulare mari dintr-o perioadă T.

Dintre acceleratiile maxime ε_{im} astfel determinate se va alege cea mai mare și aceasta va fi considerată ca acceleratia maximă pentru întregul ciclu al mișcării staționare.

Formula (2.17) este aproximativă, caracterul ei aproximativ provenind din relațiile (2.10) și (2.16) care au folosit la deducerea ei. Datorită faptului că ipotezele în care a fost dedusă sunt tipice pentru functionarea majorității agregatelor de mașini întâlnite în industrie, ea are totuși o largă aplicabilitate. Formula (2.17) permite o evaluare rapidă și simplă a acceleratiei unghiulare maxime și deci a solicitării maxime de natură inertială la care va fi supus elementul conducător, lucru foarte util pentru proiectarea preliminară a agregatului de mașini.

In teoria mecanismelor se folosește și un coeficient de dinamicitate al mișcării unui agregat de mașini definit pe baza parametrilor cinematici ai mișcării. Acest coeficient de dinamicitate este diferit de cel din § 2.1, care se utilizează în dinamica mașinilor.

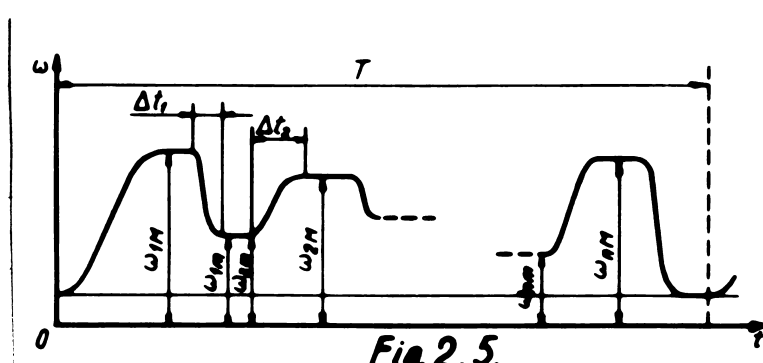


Fig. 2.5.

El este expresia [20, 22]

$$\chi = \frac{\varepsilon_M}{\omega_{med}^2}, \quad (2.19)$$

care, ținând seama de (2.17), capătă forma:

$$\chi = \frac{2d}{\lambda \pi}. \quad (2.20)$$

Formulele (2.17)

și (2.20) permit un calcul aproksimativ dar foarte simplu și deci util în practica inginerescă, al momentelor de inertie ale elementelor agregatelor de mașini, necesare pentru realizarea unei anumite neuniformități a mișcării staționare a agregatului de mașini. Formula (2.17) atrage atenția că solicitările de natură inertială sunt proporționale cu pătratul vitezei unghiulare medii a elementului conducător, ceea ce trebuie avut în vedere mai ales în situația unor viteze de funcționare tot mai mari ale agregatelor de mașini actuale.

§ 2.3. O nouă metodă aproksimativă grafo-numerică de rezolvare a ecuației de mișcare a unui agregat de mașini. Se consideră agregatul de mașini cu cea mai largă răspindire în industrie, format dintr-un motor electric asincron (I) care, prin intermediul unei couple rigide (II) antrenează mașina de lucru (III), fig.2.6.

Ecuatia diferențială a mișcării agregatului de mașini este

$$J \frac{d\omega}{dt} = M_m - M_r, \quad (2.21)$$

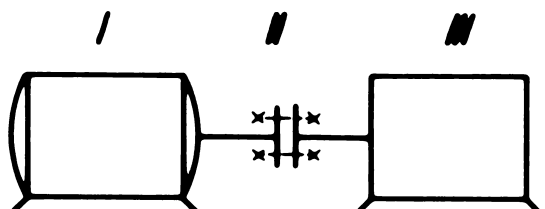


Fig.2.6.

în care J este momentul de inertie al întregului agregat de mașini, redus la arborele motorului, ω este viteză unghiulară a arborelui motorului, iar M_m și M_r sunt respectiv momentul motor furnizat de motorul electric și momentul

rezistent care apare în funcționarea mașinii de lucru.

Asupra parametrilor agregatului de mașini se fac următoarele precizări:

Momentul de inertie redus al agregatului de mașini este constant.

Pentru momentul motor, se ia în considerare caracteristica mecanică statică (fig.2.7), a cărei portiune de lucru AB se linierizează (linie întreruptă în fig.2.7). Ecuatia caracteristicii statice liniarizate a motorului electric se poate scrie

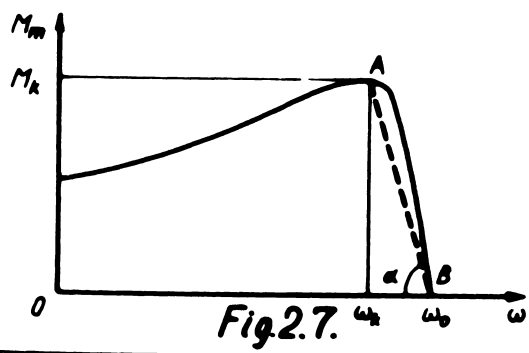


Fig. 2.7.

$$M_m = M_k - \lambda(\omega - \omega_k), \quad (2.22)$$

unde M_k , ω_k sunt, respectiv momentul cuplului critic ("de răsturnare") al motorului electric și viteza unghiulară critică, iar λ este panta caracteristicii mecanice statice linierizate,

$$\lambda = \operatorname{tg} \alpha = \frac{M_k}{\omega_0 - \omega_k}. \quad (2.23)$$

în care ω_0 este viteza unghiulară de sincronism a motorului electric.

Momentul rezistent al mașinii de lucru se consideră o funcție periodică de unghiul de rotație θ al agregatului de mașini,

$$M_r(\theta) = M_r(\theta + \psi), \quad (2.24)$$

unde ψ este perioada unghiulară a momentului rezistent. O astfel de caracteristică este caracteristică pentru multe din agregatele de mașini întâlnite în industrie.

Tinând seama de precizările făcute, ecuația de mișcare (2.21) devine

$$J \frac{d\omega}{dt} = M_k - \lambda(\omega - \omega_k) - M_r(\theta). \quad (2.25)$$

Trecind de la variabila t la variabila θ , ecuația (2.25) capătă forma

$$\omega(J \frac{d\omega}{d\theta} + \lambda) = M_k + \lambda \omega_k - M_r. \quad (2.26)$$

Procedeul grafic constă în reprezentarea grafică a momentului re-

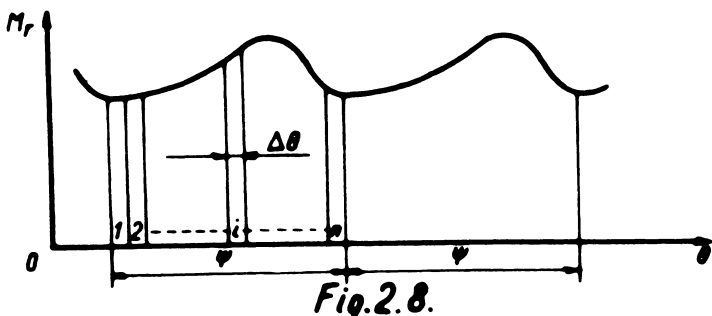


Fig. 2.8.

zistent ca funcție de θ și împărțirea perioadei ψ a momentului rezistent în n părți egale,
 $\Delta\theta = \frac{\psi}{n}$ (fig. 2.8).

Numărul de n intervale va fi cu atât mai mare cu cât mo-

mentul rezistent prezintă variații mai brusce pe parcursul unei perioade, și cu cât gradul de precizie necesar este mai mare. În orice caz, n va fi astfel ales încât pe un interval $\Delta\theta$ să se poată considera momentul rezistent constant, și anume, egal cu valoarea sa medie pe intervalul respectiv.

Pentru un interval oarecare i , valoarea medie corespunzătoare a momentului rezistent este M_{ri} și ecuația (2.26) se scrie

$$\omega(J \frac{d\omega}{d\theta} + \lambda) = M_k + \lambda \omega_k - M_{ri}. \quad (2.27)$$

- 23 -

Făcind notanțile $\frac{\lambda}{J} = p$, $\frac{M_k + \lambda \omega_k - q_i}{J} = q_i$ și separând variabilele în ecuația (2.27), aceasta devine:

$$\frac{\omega}{p\omega - q_i} d\omega = - d\theta . \quad (2.28)$$

Caracterul numeric al metodei este dat de integrarea numerică a membrului stîng al ecuației (2.28) prin metoda trapezelor [14]. Astfel, dacă se notează

$$f(\omega) = \frac{\omega}{p\omega - q_i} ,$$

atunci integrala membrului stîng al ecuației (2.28) este

$$I = \int_{\omega_i}^{\omega_{i+1}} f(\omega) d\omega , \quad (2.29)$$

în care ω_i și ω_{i+1} sunt valorile vitezei unghiulare la capetele unui interval oarecare i în care s-a împărțit perioada momentului rezistent. Integrala (2.29) fiind egală cu aria măsurată (fig.2.9), care poate fi apăroximată printr-un trapez, se poate scrie

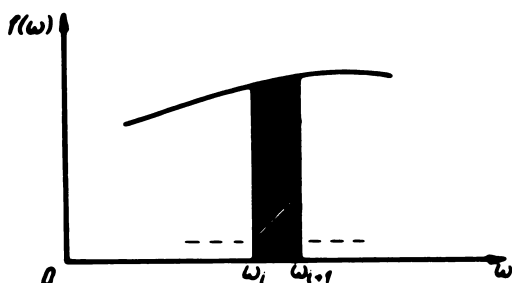


Fig.2.9.

$$\begin{aligned} I &= \left[f(\omega_{i+1}) + f(\omega_i) \right] \frac{\omega_{i+1} - \omega_i}{2} = \\ &= \left(\frac{\omega_{i+1}}{p\omega_{i+1} - q_i} + \frac{\omega_i}{p\omega_i - q_i} \right) \cdot \\ &\quad \cdot \frac{\omega_{i+1} - \omega_i}{2} . \end{aligned} \quad (2.30)$$

Tinind seama de (2.30), soluția ecuației (2.28) este

$$\left(\frac{\omega_{i+1}}{p\omega_{i+1} - q_i} + \frac{\omega_i}{p\omega_i - q_i} \right) \frac{\omega_{i+1} - \omega_i}{2} = - \Delta \theta . \quad (2.31)$$

Din soluția (2.31) se obține relația de recurență

$$\omega_{i+1} = \omega_i - \frac{\omega_i + p\Delta\theta + \sqrt{(\omega_i + p\Delta\theta)^2 + 2q_i\Delta\theta}}{\frac{2p\omega_i - q_i}{p\omega_i - q_i}} , \quad (2.32)$$

care dă viteza unghiulară ω_{i+1} de la sfîrșitul unui interval $\Delta\theta$, în funcție de viteza unghiulară de la începutul intervalului i ; evident, ω_{i+1} constituie, totodată, viteza unghiulară de la începutul intervalului următor, $i+1$.

In felul acesta, formula (2.32) poate fi privită ca soluție grafică-numerică a ecuației de mișcare (2.26).

Revenind la notațiile inițiale, formula (2.32) capătă forma

$$\omega_{1+1} = \omega_1 - \frac{Jn\omega_1 + \lambda\psi + \sqrt{(Jn\omega_1 - \lambda\psi)^2 + 2Jn(M_k - M_{ri})\psi}}{Jn(2\lambda\omega_1 - M_k + M_{ri})} \quad (2.33)$$

$$\frac{\lambda\omega_1 - M_k + M_{ri}}{M_k + M_{ri}}$$

Se observă că în formula (2.33) toate mărimele care intervin sunt fie cunoscute, fie alese.

§ 2.4. Un criteriu grafo-analitic al legăturii dintre procesele mecanice și electrice dintr-un agregat de mașini. În acest paragraf se studiază dinamica unui agregat de mașini cu transmisie elastică pentru care se stabilește un criteriu din care rezultă necesitatea luării în considerare a fenomenelor electromagnetice tranzitorii din motorul electric.

Marea majoritate a agregatelor de mașini întâlnite în industrie se reduc la schema de calcul din fig. 2.10. Conform modelului din a-

ceastă figură, agregatul de mașini este format din motorul electric de acționare (M) și mașina de lucru ($M.L.$) care îndeplinește funcția tehnologică căreia îi este destinată. Între motor

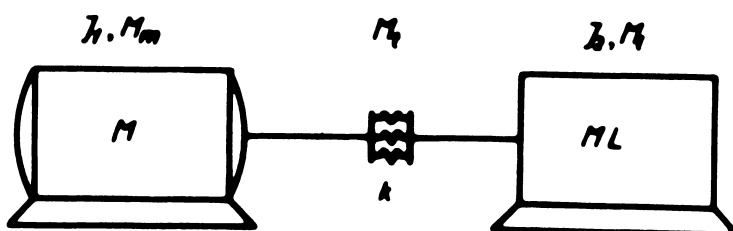


Fig. 2.10.

și mașina de lucru se află o transmisie elastică.

Funcționarea unor agregate de mașini cum ar fi marile lăminoare din industria metalurgică, vehiculele cu tracțiune electrică, este caracterizată de regimuri tranzitorii dure, provocate la aplicarea și înlăturarea bruscă a sarcinii, la accelerări și frânări brusce, la reversarea sensului de rotație al acționării electrice. Asemenea regimuri de funcționare cer din partea motorului electric de acționare posibilitatea reglării continue și în limite largi a turării, cît și un cuplu de pornire cît mai mare. Toate aceste calități sunt excelente întrunite de către motorul electric de curent continuu cu excitare independentă, fapt care îl face de neînlocuit în aggregate-

le de mașini mai sus amintite.

Ecuăția diferențială care descrie procesele electromagnetice ne-staționare dintr-o acțiune cu motor electric de curent continuu cu excitație independentă este [12, 76, 312]

$$U = R i_e + L \frac{di_e}{dt} + E , \quad (2.34)$$

în care: U - tensiunea la bornele motorului electric; i_e - curentul din circuitul rotoric al motorului electric; E - tensiunea electromotoare de inducție a motorului electric; R - rezistența circuitului rotoric al motorului electric; L - inductivitatea îmfășurării rotorice a motorului electric.

Ecuăția diferențială a mișcării părții motoare a agregatului de mașini este

$$J_1 \cdot \frac{d\omega_1}{dt} = M_m - M_t , \quad (2.35)$$

unde: J_1 - momentul de inerție al părții motoare a agregatului de mașini, reduse la arborele motorului electric; ω_1 - viteza unghiulară a arborelui motorului electric; M_m - momentul motor furnizat de motorul electric; M_t - momentul elastic din transmisie.

Tinând seama de faptul că momentul motor este proporțional cu curentul electric,

$$M_m = k_m i_e , \quad (2.36)$$

din (2.35) rezultă

$$\omega_1 = \frac{1}{J_1} \int_0^t (k_m i_e - M_t) dt . \quad (2.37)$$

Tensiunea electromotoare de inducție a motorului electric este proporțională cu viteza unghiulară,

$$E = k_e \omega_1 , \quad (2.38)$$

deci

$$E = \frac{k_e}{J_1} \int_0^t (k_m i_e - M_t) dt . \quad (2.39)$$

Introducind expresia (2.39) în ecuația (2.34), aceasta devine

$$U = R i_e + L \frac{di_e}{dt} + \frac{k_e}{J_1} \int_0^t (k_m i_e - M_t) dt . \quad (2.40)$$

Derivând ecuația (2.40) în raport cu timpul, se obține

$$\frac{dU}{dt} = R \frac{di_e}{dt} + L \frac{d^2 i_e}{dt^2} + \frac{k_e k_m}{J_1} (k_m i_e - M_t). \quad (2.41)$$

Tensiunea U de alimentare a motorului s-a luat ca funcție de timp, și nu constantă pentru a cuprinde astfel posibilitatea de reglare a turării motorului electric prin varierea tensiunii la borne, modalitate frecvent folosită în acționările electrice cu motocare electrice de curent continuu.

Ordonind ecuația diferențială (2.41), aceasta capătă forma

$$\frac{d^2 i_e}{dt^2} + \frac{R}{L} \frac{di_e}{dt} + \frac{k_e k_m}{L J_1} i_e = \frac{k_m M_t}{L J_1} + \frac{1}{L} \frac{dU}{dt}. \quad (2.42)$$

Tinând seama de expresiile constanțelor de timp ale acționării electrice [312], $\frac{L}{R} = T_e$ - constanta de timp electromagnetică, $\frac{J_1 R}{k_e k_m} = T_m$ - constanta de timp electromecanică, ecuația (2.42) devine:

$$\frac{d^2 i_e}{dt^2} + \frac{1}{T_e} \frac{di_e}{dt} + \frac{1}{T_e T_m} i_e = \frac{1}{T_e T_m k_m} M_t + \frac{1}{L} \frac{dU}{dt}. \quad (2.43)$$

Introducind notățiile $\frac{1}{T_e} = a_1$, $\frac{1}{T_e T_m} = a_2$, $\frac{1}{T_e T_m k_m} = a_3$, $\frac{1}{L} \frac{dU}{dt} = P$, ecuația (2.43) se poate scrie

$$\frac{d^2 i_e}{dt^2} + a_1 \frac{di_e}{dt} + a_2 i_e - a_3 M_t = P. \quad (2.44)$$

Ecuația diferențială a miscării agregatului de mașini este [228]

$$\frac{d^2 M_t}{dt^2} = k \left(-\frac{J_1 + J_2}{J_1 J_2} M_t + \frac{J_2 M_m + J_1 M_l}{J_1 J_2} \right), \quad (2.45)$$

în care: J_2 - momentul de inerție al mașinii de lucru reduse la arborele motorului electric; k - constanta elastică la torsion a transmisiiei elastice; M_l - momentul aplicat mașinii de lucru în procesul tehnicologic în care este folosit agregatul de mașini.

Tinând seama de expresia (2.36) a momentului motor, ecuația (2.45) devine

$$\frac{d^2 M_t}{dt^2} + \frac{k(J_1 + J_2)}{J_1 J_2} M_t - \frac{k k_m}{J_1} i_e = \frac{k}{J_2} M_l. \quad (2.46)$$

Folosind notățiile $\sqrt{\frac{k(J_1 + J_2)}{J_1 J_2}} = r$ - pulsărija proprie a părții mecanice a agregatului de mașini, considerată izolată, $\frac{k k_m}{J_1} = b_1$,

$\frac{k}{J_2} = b_2$, ecuația (2.46) ia forma

$$\frac{d^2 M_t}{dt^2} + r^2 M_t - b_1 i_e = b_2 \Gamma. \quad (2.47)$$

Comportarea dinamică a agregatului de mașini este caracterizată atât din punct de vedere electric cât și mecanic de sistemul de ecuații (2.44), (2.47). Pentru studiul sistemului de ecuații (2.44), (2.47), fiind un sistem de ecuații diferențiale liniare, se aplică metoda calculului operațional. Pentru aceasta se introduc transformatele Laplace ale funcțiilor de timp care intervin în sistemul de ecuații diferențiale (2.44), (2.47): $\Phi(p)$ pentru $i_e(t)$, $\Psi(p)$ pentru $M_t(t)$, $\Pi(p)$ pentru $P(t)$ și $\Gamma(p)$ pentru $M_1(t)$.

Considerind condițiile inițiale nule,

$$t = 0 \left\{ \begin{array}{l} i_e(0) = 0, \quad \left. \frac{di_e}{dt} \right|_{t=0} = 0, \\ M_t(0) = 0, \quad \left. \frac{dM_t}{dt} \right|_{t=0} = 0, \end{array} \right. \quad (2.48)$$

sistemul de ecuații (2.44), (2.47), în formă operațională devine:

$$\begin{aligned} (p^2 + a_1 p + a_2) \Phi - a_3 \Psi &= \Pi, \\ -b_1 \Phi + (p^2 + r^2) \Psi &= b_2 \Gamma. \end{aligned} \quad (2.49)$$

Pulsăriile proprii ale vibrațiilor libere ale sistemului electro-mecanic se determină din ecuația caracteristică a sistemului (2.49)

$$\Delta(p) = \begin{vmatrix} p^2 + a_1 p + a_2 & -a_3 \\ -b_1 & p^2 + r^2 \end{vmatrix} = 0, \quad (2.50)$$

$$\text{sau } p^4 + d_3 p^3 + d_2 p^2 + d_1 p + d_0 = 0, \quad (2.51)$$

în care s-au făcut notările $d_3 = a_1$, $d_2 = r^2 + a_2$, $d_1 = r^2 a_1$, $d_0 = r^2 a_2 - b_1 a_3$.

Pentru ecuația caracteristică (2.51) se iau rădăcini complexe conjugate de forma

$$\begin{aligned} p_{1,2} &= -c_1 \pm i \lambda_1, \\ p_{3,4} &= -c_2 \pm i \lambda_2, \end{aligned} \quad (2.52)$$

în care părțile reale rezintă coeeficienții de amortizare a vibrațiilor și s-au luat negative pentru a asigura stabilitatea vibra-

ților sistemului electromecanic, iar părțile imaginare sunt pulsăriile vibraților libere ale acestui sistem.

Introducind rădăcinile (2.52) în ecuația caracteristică (2.51), rezultă

$$c_{1,2} = \frac{a_1}{4} \left[1 \pm \sqrt{1 + 4 \frac{a_3 b_1}{(r^2 - a_2)^2}} \right], \quad (2.53)$$

$$\lambda_{1,2}^2 = \frac{1}{2} \left[r^2 + a_2 \pm (r^2 - a_2) \sqrt{1 + 4 \frac{a_3 b_1}{(r^2 - a_2)^2}} \right]. \quad (2.54)$$

Introducind notația

$$4 \frac{a_3 b_1}{(r^2 - a_2)^2} = \alpha \quad (2.55)$$

și dezvoltând expresiile cu radical în serie binomială, pentru $\alpha < 0,1$, se pot reține numai primii doi termeni ai dezvoltărilor; al treilea termen, în care apare α^2 și termenii următori se pot neglija, fără a introduce astfel o eroare mai mare de 1%. Într-adevăr, în formulele (2.53) și (2.54) apar expresiile $\sqrt{1+\alpha}$, $\sqrt{1-\alpha}$, $\frac{1}{\sqrt{1+\alpha}}$, având dezvoltările în serie binomială :

$$\sqrt{1+\alpha} = (1+\alpha)^{\frac{1}{2}} = 1 + \frac{1}{2}\alpha - \frac{1}{2 \cdot 4}\alpha^2 + \frac{1 \cdot 3}{2 \cdot 4 \cdot 6}\alpha^3 - \dots,$$

$$\sqrt{1-\alpha} = (1-\alpha)^{\frac{1}{2}} = 1 - \frac{1}{2}\alpha - \frac{1}{2 \cdot 4}\alpha^2 - \frac{1 \cdot 3}{2 \cdot 4 \cdot 6}\alpha^3 + \dots,$$

$$\frac{1}{\sqrt{1+\alpha}} = (1+\alpha)^{-\frac{1}{2}} = 1 - \frac{1}{2}\alpha + \frac{1 \cdot 3}{2 \cdot 4}\alpha^2 - \frac{1 \cdot 3 \cdot 5}{2 \cdot 4 \cdot 6}\alpha^3 + \dots.$$

Eroarea este sub 1% deoarece din dezvoltările în serie se neglijă termenii de ordin superior, începînd cu termenii în α^2 . Prin considerarea și a termenilor în α^2 , α luîndu-se $\alpha < 0,1$ și deci $\alpha^2 < 0,01$, s-ar aduce o corecție de cel mult o sutime.

Făcînd aceste transformări, expresiile (2.53), (2.54) devin:

$$c_1 = \frac{a_1}{8} \alpha, \\ c_2 = \frac{a_1}{2} \left(1 - \frac{1}{4}\alpha \right), \quad (2.56)$$

$$\lambda_1^2 = r^2 + \frac{1}{4}(r^2 - a_2)\alpha, \\ \lambda_2^2 = a_2 + \frac{1}{4}(r^2 - a_2)\alpha.$$

In afară de pulsăria proprie r a părții mecanice considerate izolată și de coeficientii de amortizare $c_{1,2}$ și pulsăriile proprii $\lambda_{1,2}$ date de (2.56) ale întregului agregat de mașini, considerat

ca un sistem electromecanic, se mai poate defini un coeficient de amortizare c_e și o pulsărie proprie λ_e a vibrațiilor libere ale părții electrice a agregatului de mașini [12] :

$$c_e = \frac{1}{2T_e} , \quad (2.57)$$

$$\lambda_e = \sqrt{\frac{1}{T_e^2} - \frac{1}{4} \frac{1}{T_e^2}} . \quad (2.58)$$

Dacă parametrii unui agregat de mașini sunt de așa natură încât pulsăriile și coeficienții de amortizare ai părților mecanică și electrică, considerate separate sunt apropiate de pulsăriile proprii și coeficienții de amortizare ai întregului agregat de mașini calculate în ipoteza $\alpha < 0,1$, atunci rezultă posibilitatea studiului dinamicii agregatului de mașini privindu-l ca un sistem pur mecanic.

De aici se poate afirma că condiția $\alpha < 0,1$ reprezintă un criteriu pe baza căruia se poate stabili dacă fenomenele dinamice dintr-un agregat de mașini pot fi studiate fără a lua în considerare și procesele electromagnetice din motorul electric și aceasta, cu o eroare de cel mult 1%. Condiția $\alpha < 0,1$ va fi denumită criteriu "α".

Tinând seama de notăriile făcute, criteriul "α" capătă forma

$$\alpha = \frac{\frac{k_e k_m}{kL}}{\frac{J_1}{J_2} + 1 - \frac{k_e k_m}{kL}} < 0,1 . \quad (2.59)$$

Introducind notăriile

$$\frac{k_e k_m}{kL} = r , \quad \frac{J_1}{J_2} = s , \quad (2.60)$$

criteriul "α" devine $0,1(s+1-r)^2 > 4r$. (2.61)

In fig.2.11 s-a reprezentat grafic condiția (2.61). Punctele din zona închisă satisfac criteriul "α". Pentru un agregat de mașini se pot calcula, cu ajutorul relațiilor (2.60), coordonatele s,r ale punctului reprezentativ al agregatului de mașini și se poate reprezenta acest punct în sistemul de axe s,r. Dacă punctul reprezentativ al agregatului de mașini va fi situat în zona închisă, rezultă că agregatul de mașini poate fi considerat ca un sistem pur mecanic, erarea dată acestei ipoteze simplificatoare fiind de cel mult 1%. In caz con-

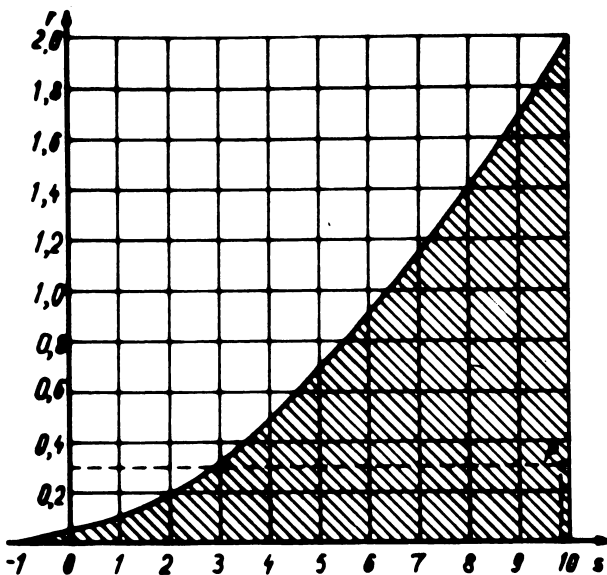


Fig.2.11.

$$\cdot 10^2 \text{ N.m.A}^{-1}, k_e = 1,22 \cdot 10^2 \text{ V.s.}$$

Cu formulele (2.60) se calculează coordonatele s, r ale punctului reprezentativ al agregatului de mașini. Se obține $s = 9,8$; $r = 0,299$. Punctul reprezentativ P al agregatului de mașini cu aceste coordonate este situat în zona neagră a planului s, r , deci în conformitate cu criteriul " α ", acest agregat de mașini poate fi studiat fără luarea în considerare a proceselor electromagnetice din motorul electric.

Ca verificare se calculează pulsărea proprie τ a părții mecanice a agregatului de mașini și coeficienții a_1, a_2, a_3, b_1, b_2 , cu ajutorul formulelor corespunzătoare și se găsește: $\tau = 96,2 \text{ s}^{-1}$, $a_1 = -5,915 \text{ s}^{-1}$, $a_2 = 2,569 \text{ s}^{-2}$, $a_3 = 2,112 \text{ A.N}^{-1} \cdot \text{m}^{-1} \cdot \text{s}^{-2}$, $b_1 = 1,042 \cdot 10^5 \text{ N.m.A}^{-1} \cdot \text{s}^{-2}$, $b_2 = 8,398 \cdot 10^3 \text{ s}^{-2}$. Cu formula (2.55) se calculează α și se obține $\alpha = 0,01087$, deci $\alpha < 0,1$, iar cu formulele (2.56) se calculează coeficienții de amortizare și pulsăriile proprii ale agregatului de mașini: $c_1 = 0,00803 \text{ s}^{-1}$, $c_2 = 2,94948 \text{ s}^{-1}$, $\lambda_1 = 96,3 \text{ s}^{-1}$, $\lambda_2 = 16,7 \text{ s}^{-1}$. Apoi, cu formulele date se calculează constantele de timp $T_e = 0,16905 \text{ s}$, $T_m = 0,023027 \text{ s}$, iar cu formulele (2.57) și (2.58) se calculează coeficientul de amortizare și pulsărea proprie a părții electrice a agregatului de mașini: $c_e = 2,94985 \text{ s}^{-1}$, $\lambda_e = 15,75 \text{ s}^{-1}$.

Din analiza valorilor obținute se constată că pulsărea proprie τ a agregatului de mașini privit ca un sistem pur mecanic este foarte apropiată de pulsărea proprie λ_1 a agregatului de mașini considerat ca un sistem electromecanic. În privința amortizării, aceasta a fost neglijată la scrierea ecuației (2.45) a vibrațiilor sistemului pur me-

trar, fenomenele dinamice din agregat trebuis să fie studiate cu luarea în considerare a proceselor electromagnetice din motorul electric de curent continuu cu excitare independentă.

Exemplu: să se aplique criteriul " α " unui agregat de mașini cu motor electric de curent continuu cu excitare independentă, având următorii parametri: $J_1 = 4,444 \cdot 10^4 \text{ N.m.s}^2$, $J_2 = 4,532 \cdot 10^3 \text{ N.m.s}^2$, $k = 3,806 \cdot 10^7 \text{ N.m}$, $R = 7,69 \cdot 10^{-3} \Omega$, $L = 1,3 \cdot 10^{-3} \text{ H}$, $k_m = 1,216$.

canic și se observă că și coeficientul de amortizare c_1 al sistemului electromecanic este neglijabil. De asemenea, coefficientul de amortizare c_e și pulsăria proprie λ_e a părții electrice sunt foarte apropriate de valorile c_2 , respectiv λ_2 ale întregului agregat de mașini. Deci, într-adevăr, acest agregat de mașini poate fi studiat fără considerarea fenomenelor electromagnetice din motorul electric, fără a comite astfel o eroare mai mare de 1%.

In înceiere trebuie reamintit că studiul efectuat în acest paragraf și concretizat prin elaborarea criteriului " α ", privitor la considerarea sau neglijarea proceselor electromagnetice tranzistorii din motorul electric este valabil numai pentru tipul de agregat de mașini descris la începutul paragrafului, adică actionat de motor electric de curent continuu cu excitație independentă și cu cuplă elastică între motor și mașina de lucru.

De asemenea, mai trebuie observat faptul că problema fenomenelor electromagnetice tranzistorii din motorul electric a fost atinsă în mod indirect și în paragraful 2.1 în cadrul criteriului stabilit pe baza coefficientului de *dinamicitate* κ_{dr} . Într-adevăr, din cele trei căzuri tipice analizate acolo de considerare a motorului electric și anume, ca o sursă ideală de energie (care furnizează cuplu motor constant), prin intermediul caracteristicii mecanice statice sau prin intermediul caracteristicii mecanice dinamice, numai în aceasta din urmă se cuprind și fenomenele electromagnetice tranzistorii. Metoda din paragraful 2.1 este, din punct de vedere al motorului, mai generală ca metoda din paragraful 2.4 decarece motorul electric poate fi de orice tip; ca o limitare a generalității metodei se poate aminti cerința ca momentul rezistent să fie o funcție periodică de timp.

§2.5. Studiul dinamicii unui agregat de mașini cu cuplă elastică neliniară. În acest paragraf se tratează vibrațiile unghiulare la rezonanță într-un agregat de mașini la care transmisia mișcării de la motorul electric la mașina de lucru se face prin intermediul unei cuplări elastică cu proprietăți neliniare.

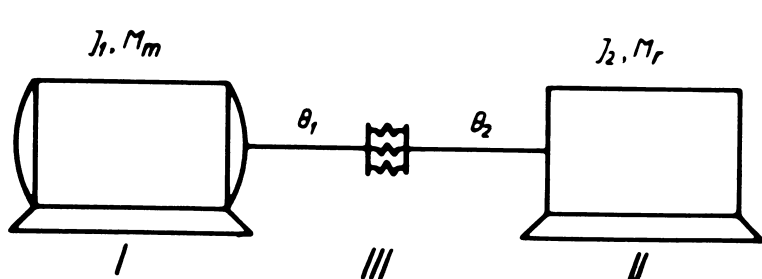


Fig.2.12.

Schema de calcul a agregatului de mașini se prezintă în fig.2.12, în care I este motorul electric, II este mașina

de lucru, iar III este cupla cu caracteristică elastică neliniară. Această schemă de calcul este tipică pentru un mare număr de agregate de mașini întâlnite în industrie și, pentru a menține o valabilitate largă a studiului întreprins în acest paragraf, se va considera și tipul cel mai răspândit de motor electric - motorul asincron. Comportarea motorului electric în timpul funcționării este caracterizată de dependența momentului motor M_m de viteza unghiulară a arborelui motorului, adică de caracteristica mecanică. Dacă θ_1 este unghiul de rotație al arborelui motorului (fig. 2.12), atunci viteza unghiulară este $\dot{\theta}_1$. Pentru motorul electric asincron, caracteristica mecanică are aspectul din fig. 2.13. În care numai porțiunea AB corespunde regimurilor de funcționare stabilă ale motorului.

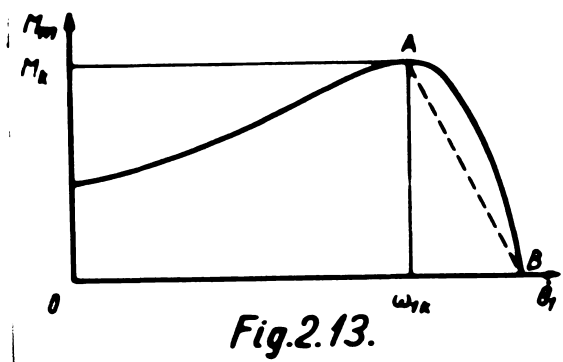


Fig. 2.13.

In lucrarea [161] s-a studiat dinamica unui agregat de mașini cu cuplă neliniară luând porțiunea de lucru a caracteristicii mecanice liniarizată (linie întreruptă în fig. 2.13). În studiul care se va face în acest paragraf, porțiunea de lucru AB a caracteristicii mecanice se va aproxima într-un mod mult mai fidel, printr-un arc de parabolă,

$$M_m = M_k - \lambda(\dot{\theta}_1 - \omega_{lk})^2, \quad (2.62)$$

în care M_k este valoarea maximă ("critică") a momentului motor, ω_{lk} este viteza unghiulară critică a motorului, iar λ este o constantă pozitivă.

In privința mașinii de lucru, se presupune că în funcționarea acesteia apare un moment rezistent M_r armonic,

$$M_r = M_{r0} \cos \omega t, \quad (2.63)$$

unde M_{r0} este valoarea maximă a momentului rezistent iar ω este pulsula lui.

Cupla se presupune ca o caracteristică elastică ce prezintă o neliniaritate cubică și cu proprietăți de amortizare de natură viscoasă.

Cu aceste precizări, sistemul de ecuații diferențiale ale mișcării agregatului de mașini are forma

$$\begin{aligned} J_1 \ddot{\theta}_1 + c(\dot{\theta}_1 - \dot{\theta}_2) + k(\theta_1 - \theta_2) + k_1 (\theta_1 - \theta_2)^3 &= M_k - \lambda(\dot{\theta}_1 - \omega_{lk})^2, \\ J_2 \ddot{\theta}_2 - c(\dot{\theta}_1 - \dot{\theta}_2) - k(\theta_1 - \theta_2) - k_1 (\theta_1 - \theta_2)^3 &= M_{r0} \cos \omega t, \end{aligned} \quad (2.64)$$

în care : J_1 - momentul de inerție al roturului motorului electric; J_2 - momentul de inerție al elementelor în mișcare ale mașinii în lucru, reduse la arborele de intrare al mașinii de lucru; c - coeficientul de amortizare viscoasă al cuplei; k , k_1 - constantele elastice ale cuplei.

Pentru integrarea sistemului (2.64) se aplică metoda variației constantelor [340].

În acest scop se introduc notările

$$\begin{aligned} \frac{k}{J_1} &= \omega_{n1}^2, \quad \frac{k}{J_2} = \omega_{n2}^2, \\ 2a_1 &= \frac{c}{\mu J_1}, \quad a_1 = \frac{k}{\mu J_1}, \quad b_1 = \frac{k_1}{\mu J_1}, \quad e_1 = \frac{\lambda}{\mu J_1}, \quad f_1 = \frac{2\lambda\omega_{1k}}{\mu J_1}, \quad (2.65) \\ 2a_2 &= \frac{c}{\mu J_2}, \quad a_2 = \frac{k}{\mu J_2}, \quad b_2 = \frac{k_1}{\mu J_2}, \\ \frac{M_k - \lambda\omega_{1k}^2}{\mu J_1} &= d_1, \quad \frac{M_{1o}}{\mu J_2} = d_2, \end{aligned}$$

în care este un parametru mic, adimensional. Cu ajutorul notărilor (2.65), sistemul de ecuații (2.64) capătă forma:

$$\begin{aligned} \ddot{\theta}_1 + \omega_{n1}^2 \theta_1 + \mu [2a_1(\dot{\theta}_1 - \dot{\theta}_2) - a_1 \theta_2 + b_1 (\theta_1 - \theta_2)^3 - d_1 + e_1 \dot{\theta}_1^2 - f_1 \dot{\theta}_1] &= 0, \\ \ddot{\theta}_2 + \omega_{n2}^2 \theta_2 + \mu [-2a_2(\dot{\theta}_1 - \dot{\theta}_2) - a_2 \theta_1 - b_2 (\theta_1 - \theta_2)^3 + d_2 \cos \omega t] &= 0. \quad (2.66) \end{aligned}$$

Pentru cazul $\mu = 0$, sistemul de ecuații (2.66) care este neliniar, devine liniar și admite "soluția generatoare" de forma

$$\begin{aligned} \theta_1 &= A_1 \cos(\omega_{n1} t + \varphi_1) = A_1 \cos \psi_1, \\ \theta_2 &= A_2 \cos(\omega_{n2} t + \varphi_2) = A_2 \cos \psi_2, \quad (2.67) \end{aligned}$$

în care A_1 , A_2 , φ_1 , φ_2 sunt constantele de integrare. Esența metodei variației constantelor constă în a presupune pe A_1 , A_2 , φ_1 , φ_2 ca funcții de timp. În această accepțiune, derivata soluției generatoare (2.67) se scrie:

$$\begin{aligned} \dot{\theta}_1 &= \dot{A}_1 \cos \psi_1 - A_1 \omega_{n1} \sin \psi_1 - A_1 \dot{\varphi}_1 \sin \psi_1, \\ \dot{\theta}_2 &= \dot{A}_2 \cos \psi_2 - A_2 \omega_{n2} \sin \psi_2 - A_2 \dot{\varphi}_2 \sin \psi_2. \quad (2.68) \end{aligned}$$

În expresiile (2.68), funcțiiile de timp A_1 , A_2 , φ_1 , φ_2 se aleg astfel încât să satisfacă condițiile

$$\begin{aligned}\dot{A}_1 \cos \psi_1 - A_1 \dot{\varphi}_1 \sin \psi_1 &= 0, \\ \dot{A}_2 \cos \psi_2 - A_2 \dot{\varphi}_2 \sin \psi_2 &= 0.\end{aligned}\quad (2.69)$$

Tinind seama de condițiile (2.69), derivata (2.68) a soluției generatoare devine

$$\begin{aligned}\dot{\theta}_1 &= - A_1 \omega_{nl} \sin \psi_1, \\ \dot{\theta}_2 &= - A_2 \omega_{n2} \sin \psi_2.\end{aligned}\quad (2.70)$$

Derivind expresiile (2.70) și introducindu-le în sistemul de ecuații (2.66), se obține

$$\begin{aligned}-\dot{A}_1 \omega_{nl} \sin \psi_1 - \dot{\varphi}_1 \omega_{nl} A_1 \cos \psi_1 &= - \mu [2a_1 (-A_1 \omega_{nl} \sin \psi_1 + \\ &+ A_2 \omega_{n2} \sin \psi_2) - a_1 A_2 \cos \psi_2 + b_1 (A_1 \cos \psi_1 - A_2 \cos \psi_2)^3 - \\ &- d_1 + e_1 A_1^2 \omega_{nl}^2 \sin^2 \psi_1 + f_1 A_1 \omega_{nl} \sin \psi_1], \\ -\dot{A}_2 \omega_{n2} \sin \psi_2 - \dot{\varphi}_2 \omega_{n2} A_2 \cos \psi_2 &= - \mu [-2a_2 (-A_1 \omega_{nl} \sin \psi_1 + \\ &+ A_2 \omega_{n2} \sin \psi_2) - a_2 A_1 \cos \psi_1 - b_2 (A_1 \cos \psi_1 - A_2 \cos \psi_2)^3 + \\ &+ d_2 \cos \omega t].\end{aligned}\quad (2.71)$$

Se rezolvă acum ecuațiile (2.69) și (2.71) în raport cu $\dot{A}_1, \dot{A}_2, \dot{\varphi}_1, \dot{\varphi}_2$. Se obține:

$$\begin{aligned}\dot{A}_1 &= \mu \frac{1}{\omega_{nl}} [2a_1 (-A_1 \omega_{nl} \sin \psi_1 + A_2 \omega_{n2} \sin \psi_2) - a_1 A_2 \cos \psi_2 + \\ &+ b_1 (A_1 \cos \psi_1 - A_2 \cos \psi_2)^3 - d_1 + \\ &+ e_1 A_1^2 \omega_{nl}^2 \sin^2 \psi_1 + f_1 A_1 \omega_{nl} \sin \psi_1] \sin \psi_1, \\ \dot{A}_2 &= \mu \frac{1}{\omega_{n2}} [-2a_2 (-A_1 \omega_{nl} \sin \psi_1 + A_2 \omega_{n2} \sin \psi_2) - a_2 A_1 \cos \psi_1 - \\ &- b_2 (A_1 \cos \psi_1 - A_2 \cos \psi_2)^3 + d_2 \cos \omega t] \sin \psi_2, \\ \dot{\varphi}_1 &= \mu \frac{1}{A_1 \omega_{nl}} [2a_1 (-A_1 \omega_{nl} \sin \psi_1 + A_2 \omega_{n2} \sin \psi_2) - \\ &- a_1 A_2 \cos \psi_2 + b_1 (A_1 \cos \psi_1 - A_2 \cos \psi_2)^3 - d_1 + e_1 A_1^2 \omega_{nl}^2 \sin^2 \psi_1 + \\ &+ f_1 A_1 \omega_{nl} \sin \psi_1] \cos \psi_1, \\ \dot{\varphi}_2 &= \mu \frac{1}{A_2 \omega_{n2}} [-2a_2 (-A_1 \omega_{nl} \sin \psi_1 + A_2 \omega_{n2} \sin \psi_2) -\end{aligned}\quad (2.72)$$

$$\begin{aligned}\dot{\varphi}_1 &= \frac{3}{8} \frac{b_1}{\omega_{nl}} A_{10}^2 e^{-2(h_1 - \tilde{\pi} f_1 \omega_{nl})t} + \frac{3}{2} \frac{b_1}{\omega_{nl}} A_{20}^2 e^{-2h_2 t} \cos^2(\omega_{n2} t + \varphi_2), \\ \dot{\varphi}_2 &= \frac{3}{8} \frac{b_2}{\omega_{n2}} A_{20}^2 e^{-2h_2 t} + \frac{3}{2} \frac{b_2}{\omega_{n2}} A_{10}^2 e^{-2(h_1 - \tilde{\pi} f_1 \omega_{nl})t} \cos^2(\omega_{nl} t + \varphi_1).\end{aligned}\quad (2.79)$$

Pentru integrarea sistemului de ecuații (2.79) se aplică metoda aproximăriilor successive [164].

Pentru fazele inițiale φ_{10} și φ_{20} , sistemul (2.79) se scrie sub forma:

$$\begin{aligned}\varphi_1(t) &= \varphi_{10} + \int_0^t \left[\frac{3}{8} \frac{b_1}{\omega_{nl}} A_{10}^2 e^{-2(h_1 - \tilde{\pi} f_1 \omega_{nl})\gamma} + \frac{3}{2} \frac{b_1}{\omega_{nl}} A_{20}^2 e^{-2h_2 \gamma} \right. \\ &\quad \cdot \cos^2(\omega_{n2} \gamma + \varphi_2(\gamma)) \Big] d\gamma, \\ \varphi_2(t) &= \varphi_{20} + \int_0^t \left[\frac{3}{8} \frac{b_2}{\omega_{n2}} A_{20}^2 e^{-2h_2 \gamma} + \frac{3}{2} \frac{b_2}{\omega_{n2}} A_{10}^2 e^{-2(h_1 - \tilde{\pi} f_1 \omega_{nl})\gamma} \right. \\ &\quad \cdot \cos^2(\omega_{nl} \gamma + \varphi_1(\gamma)) \Big] d\gamma,\end{aligned}\quad (2.80)$$

în care γ are semnificație de timp.

Aproximația de ordinul zero a soluției sistemului (2.72) este deci

$$\begin{aligned}\varphi_1(t) &= \varphi_{10}, \\ \varphi_2(t) &= \varphi_{20}.\end{aligned}\quad (2.81)$$

Aproximația de ordinul unu este (2.80), care după efectuarea integralelor, [330], devine:

$$\begin{aligned}\varphi_1(t) &= \varphi_{10} - \frac{3}{16} \frac{b_1}{\omega_{nl}} A_{10}^2 \frac{e^{-2(h_1 - \tilde{\pi} f_1 \omega_{nl})t}}{h_1} + \frac{3}{4} \frac{b_1}{\omega_{nl}} A_{20}^2 \frac{e^{-2h_2 t}}{\omega_{n2}^2 + h_2^2} \cdot \\ &\quad \cdot \left[\frac{1}{2} \sin 2\varphi_{20} + \omega_{n2} \cos \varphi_{20} \right] \sin 2\omega_{n2} t + \\ &\quad + \frac{1}{2} \omega_{n2}^2 \sin 2\varphi_{20} \cos 2\omega_{n2} t - 2h_2^2 (\sin^2 \varphi_{20} \sin^2 \omega_{n2} t + \\ &\quad + \cos^2 \varphi_{20} \cos^2 \omega_{n2} t) - \omega_{n2}^2 \Big] \\ \varphi_2(t) &= \varphi_{20} - \frac{3}{16} \frac{b_2}{\omega_{n2}} A_{20}^2 \frac{e^{-2h_2 t}}{2h_2} + \frac{3}{4} \frac{b_2}{\omega_{n2}} A_{10}^2 \frac{e^{-2(h_1 - \tilde{\pi} f_1 \omega_{nl})t}}{\omega_{nl}^2 + h_1^2} \cdot \\ &\quad \cdot \left[\frac{1}{2} \sin 2\varphi_{10} + \omega_{nl} \cos \varphi_{10} \right] \sin 2\omega_{nl} t + \\ &\quad + \frac{1}{2} \omega_{nl}^2 \sin 2\varphi_{10} \cos 2\omega_{nl} t - 2h_1^2 (\sin^2 \varphi_{10} \sin^2 \omega_{nl} t + \\ &\quad + \cos^2 \varphi_{10} \cos^2 \omega_{nl} t) - \omega_{nl}^2 \Big].\end{aligned}\quad (2.82)$$

In urma efectuării integralelor (2.74), rezultă [330] :

$$\begin{aligned}\dot{A}_1 &= -\mu A_1(n_1 - \tilde{\pi} f_1 \omega_{nl}), \\ \dot{A}_2 &= -\frac{1}{\mu^2 \pi \omega_{n2}} \left[2n_2 \tilde{\pi} A_2 \omega_{n2} + \frac{d_2}{(\frac{\omega}{\omega_{n2}})^2 - 1} \left(\frac{\omega}{\omega_{n2}} \sin 2 - \frac{\omega}{\omega_{n2}} \tilde{\pi} \sin \varphi_2 + \right. \right. \\ &\quad \left. \left. + \cos 2 - \frac{\omega}{\omega_{n2}} \tilde{\pi} \cos \varphi_2 - \cos \varphi_2 \right) \right], \\ \dot{\varphi}_1 &= \mu \frac{b_1}{2 \omega_{nl}} \left[\frac{3}{4} A_1^2 + 3 A_2^2 \cos^2(\beta_2 + \varphi_2) \right], \\ \dot{\varphi}_2 &= \frac{1}{\mu^2 \pi A_2 \omega_{n2}} \left[3b_2 A_1^2 A_2 \tilde{\pi} \cos^2(\beta_1 + \varphi_1) + b_2 A_2^3 \frac{3}{4} \tilde{\pi} + \right. \\ &\quad \left. + \frac{d_2}{(\frac{\omega}{\omega_{n2}})^2 - 1} \left(\frac{\omega}{\omega_{n2}} \sin 2 - \frac{\omega}{\omega_{n2}} \tilde{\pi} \cos \varphi_2 - \cos 2 - \frac{\omega}{\omega_{n2}} \tilde{\pi} \sin \varphi_2 + \sin \varphi_2 \right) \right].\end{aligned}\quad (2.75)$$

In cazul rezonanței, $\omega \approx \omega_{n2}$ și sistemul de ecuații (2.75) căpătă forma:

$$\begin{aligned}\dot{A}_1 + (n_1 - \tilde{\pi} f_1 \omega_{nl}) A_1 &= 0, \\ \dot{A}_2 + n_2 A_2 &= 0, \\ \dot{\varphi}_1 - \frac{3}{8} \frac{b_1}{\omega_{nl}} A_1^2 - \frac{3}{2} \frac{b_1}{\omega_{nl}} A_2^2 \cos^2(\omega_{n2} t + \varphi_2) &= 0, \\ \dot{\varphi}_2 - \frac{3}{8} \frac{b_2}{\omega_{n2}} A_2^2 - \frac{3}{2} \frac{b_2}{\omega_{n2}} A_1^2 \cos^2(\omega_{nl} t + \varphi_1) &= 0.\end{aligned}\quad (2.76)$$

Primele două ecuații diferențiale din sistemul (2.76) se pot integra independent de restul sistemului, prezentind soluțiile generale

$$\begin{aligned}A_1 &= C_1 e^{-(n_1 - \tilde{\pi} f_1 \omega_{nl}) t}, \\ A_2 &= C_2 e^{-n_2 t}.\end{aligned}$$

Dacă A_{10} și A_{20} sunt valorile inițiale ale amplitudinilor A_1 și A_2 , rezultă

$$\begin{aligned}A_1 &= A_{10} e^{-(n_1 - \tilde{\pi} f_1 \omega_{nl}) t}, \\ A_2 &= A_{20} e^{-n_2 t}.\end{aligned}\quad (2.78)$$

Introducind expresiile (2.78) în ultimele două ecuații din sistemul (2.76), acestea devin:

$$\begin{aligned}\dot{\varphi}_1 &= \frac{3}{8} \frac{b_1}{\omega_{nl}} A_{10}^2 e^{-2(h_1 - \tilde{\pi} f_1 \omega_{nl})t} + \frac{3}{2} \frac{b_1}{\omega_{nl}} A_{20}^2 e^{-2h_2 t} \cos^2(\omega_{n2} t + \varphi_2), \\ \dot{\varphi}_2 &= \frac{3}{8} \frac{b_2}{\omega_{n2}} A_{20}^2 e^{-2h_2 t} + \frac{3}{2} \frac{b_2}{\omega_{n2}} A_{10}^2 e^{-2(h_1 - \tilde{\pi} f_1 \omega_{nl})t} \cos^2(\omega_{nl} t + \varphi_1).\end{aligned}\quad (2.79)$$

Pentru integrarea sistemului de ecuații (2.79) se aplică metoda aproximăriilor succesive [164].

Pentru fazele inițiale φ_{10} și φ_{20} , sistemul (2.79) se scrie sub forma:

$$\varphi_1(t) = \varphi_{10} + \int_0^t \left[\frac{3}{8} \frac{b_1}{\omega_{nl}} A_{10}^2 e^{-2(h_1 - \tilde{\pi} f_1 \omega_{nl})\gamma} + \frac{3}{2} \frac{b_1}{\omega_{nl}} A_{20}^2 e^{-2h_2 \gamma} \right.$$

$$\left. \cdot \cos^2(\omega_{n2} \gamma + \varphi_2(\gamma)) \right] d\gamma, \quad (2.80)$$

$$\varphi_2(t) = \varphi_{20} + \int_0^t \left[\frac{3}{8} \frac{b_2}{\omega_{n2}} A_{20}^2 e^{-2h_2 \gamma} + \frac{3}{2} \frac{b_2}{\omega_{n2}} A_{10}^2 e^{-2(h_1 - \tilde{\pi} f_1 \omega_{nl})\gamma} \right.$$

$$\left. \cdot \cos^2(\omega_{nl} \gamma + \varphi_1(\gamma)) \right] d\gamma,$$

în care γ are semnificație de timp.

Aproximația de ordinul zero a soluției sistemului (2.72) este deci

$$\begin{aligned}\varphi_1(t) &= \varphi_{10}, \\ \varphi_2(t) &= \varphi_{20}.\end{aligned}\quad (2.81)$$

Aproximația de ordinul unu este (2.80), care după efectuarea integralelor, [330], devine:

$$\varphi_1(t) = \varphi_{10} - \frac{3}{16} \frac{b_1}{\omega_{nl}} A_{10}^2 \frac{e^{-2(h_1 - \tilde{\pi} f_1 \omega_{nl})t}}{h_1} + \frac{3}{4} \frac{b_1}{\omega_{nl}} A_{20}^2 \frac{e^{-2h_2 t}}{\omega_{n2}^2 + h_2^2}.$$

$$\begin{aligned}&\cdot \left[\omega_2 \left(\frac{1}{2} \sin 2\varphi_{20} + \omega_{n2} \cos \varphi_{20} \right) \sin 2\omega_{n2} t + \right. \\ &\left. + \frac{1}{2} \omega_{n2}^2 \sin 2\varphi_{20} \cos 2\omega_{n2} t - 2\omega_2^2 (\sin^2 \varphi_{20} \sin^2 \omega_{n2} t + \right. \\ &\left. + \cos^2 \varphi_{20} \cos^2 \omega_{n2} t) - \omega_{n2}^2 \right].\end{aligned}\quad (2.82)$$

$$\varphi_2(t) = \varphi_{20} - \frac{3}{16} \frac{b_2}{\omega_{n2}} A_{20}^2 \frac{e^{-2h_2 t}}{2h_2} + \frac{3}{4} \frac{b_2}{\omega_{n2}} A_{10}^2 \frac{e^{-2(h_1 - \tilde{\pi} f_1 \omega_{nl})t}}{\omega_{nl}^2 + h_1^2}.$$

$$\begin{aligned}&\cdot \left[\omega_1 \left(\frac{1}{2} \sin 2\varphi_{10} + \omega_{nl} \cos \varphi_{10} \right) \sin 2\omega_{n2} t + \right. \\ &\left. + \frac{1}{2} \omega_{nl}^2 \sin 2\varphi_{10} \cos 2\omega_{nl} t - 2\omega_1^2 (\sin^2 \varphi_{10} \sin^2 \omega_{nl} t + \right. \\ &\left. + \cos^2 \varphi_{10} \cos^2 \omega_{nl} t) - \omega_{nl}^2 \right].\end{aligned}$$

Desigur, în principiu, şirul aproximărilor ar putea fi continuat, însă chiar aproximarea de ordinul doi comportă nişte complicaţii de calcul care nu justifică imbunătăţirea adusă soluţiei.

Limitând calculul la aproximarea de ordinul unu, soluţia sistemului de ecuaţii diferențiale ale mişcării agregatului de maşini este de forma soluţiei generatoare (2.67), în care pentru amplitudinile A_1, A_2 se iau expresiile (2.78), iar pentru fazele φ_1, φ_2 , expresiile (2.82).

CAP.3. PROBLEME ALE DINAMICII AGREGATELOR DE MASINI CU VOLANT

§ 3.1. Determinarea momentului de inerție al volantului unui agregat de mașini în cazul unui moment rezistent funcție periodică de poziție. Într-o serie de ramuri industriale, prelucrarea tehnologică a materiilor prime sau a semifabricatelor se face cu mașini de lucru cu funcționare periodică, având grafice de sarcină care prezintă vîrfuri pronunțate, succedate de intervale relativ mari de sarcină reușă sau chiar de pauză de sarcină; perioada diagramei de sarcină este mică și anume, de ordinul secundelor sau minutelor. Astfel de mașini de lucru se întâlnesc în industria metalurgică - lăminăriile, în industria constructoare de mașini - presele, în industria forestieră - gaterele etc. Agregatele de mașini în compoziția căroră intră asemenea mașini de lucru se echipează, de obicei, cu volanți.

Rolul volantului în agregatele de mașini cu mașini de lucru care produc încărcări cu variații mari de sarcină constă în uniformizarea sarcinii ce revine motorului electric de acționare. Acest efect al volantului se realizează prin aceea că în timpul în care sarcina la mașina de lucru este foarte mică sau nulă, volantul înmagazinează energie cinetică pe care o cedează apoi în timpul vîrfului de sarcină.

Trebuie, de asemenea scos în evidență și rolul volantului în reducerea șocurilor de încărcare ce se transmit rețelei electrice de la care este alimentat agregatul de mașini. Astfel, în timpul vîrfurilor de sarcină, în cazul unui agregat de mașini fără volant, rețeaua de alimentare cu energie electrică suportă șocuri importante de putere, respectiv de curent. Printre consecințele neplăcute ce le însoțesc, se numără variația tensiunii de alimentare, care în rețelele energetice slabă poate deranja funcționarea celorlalți consumatori conecți, și la aceleași rețele. Oscilațiile de tensiune, evident, sint cu atit mai pronunțate cu cit puterea sursei de alimentare cu energie electrică este mai mică în raport cu puterea motorului electric de acționare. În unele cazuri se poate ajunge la pericolitarea stabilității în funcționare a rețelei de alimentare, dacă șocurile brusă de energie cerute rețelei depășesc rezervele de energie cinetică ale ge-

neratoarelor electrice.

In condițiile actuale, cind agregatele de mașini nu se mai alimentează de la surse de energie electrică independente de putere mică ci sunt conectate la sistemul energetic național care dispune de mari rezerve de putere și este deosebit de stabil, rolul volantului în atenuarea șocurilor de curent și de putere aplicate rețelei nu mai este atât de important. Instalarea volantului rămâne însă recomandabilă și în continuare pe considerentul reducerii puterii nominale a motorului electric, ceea ce reprezintă reducerea costului instalației și a cheltuielilor de exploatare pe seama scăderii consumului de energie electrică.

Așadar, din cele expuse mai sus rezultă că în cazul agregatelor de mașini în care au loc mari variații de sarcină, echiparea acestora cu volant este totdeauna o măsură utilă. În practică însă, introducerea volantului nu este totdeauna avantajoasă. Pentru agregatele de mașini în care motorul și mașina de lucru sunt cuplate prin cuplaje permanente, într-adevăr, echiparea cu volant aduce numai avantaje. În cazul agregatelor de mașini la care însă condițiile tehnologice de exploatare impun cuplarea intermitentă a mașinii de lucru la motorul electric prin intermediul unor cuplaje mecanice de tip ambreiaj sau a unor cuplaje electromagnetice, introducerea volantului, pe lîngă efectele favorabile evidențiate mai sus, ridică probleme tocmai din punct de vedere al cuplajelor; astfel, parametrul esențial al unui volant este momentul său de inerție axial care, pentru o bună eficiență a volantului, trebuie să fie cît mai mare; acest moment de inerție foarte mare al volantului conduce la apariția unui cuplu inertial de asemenea foarte mare, căruia trebuie să-i facă față cuplajele mai sus amintite; se poate ajunge astfel la situația în care introducerea volantului să necesite un cuplaj foarte eficient dar în aceeași măsură și costisitor, care ar depăși cu mult economia de energie realizată pe seama volantului. De aceea, de la caz la caz, luând în considerare și aspectele economice ale problemei, se stabilește oportunitatea sau inoportunitatea echipării cu volant a agregatului de mașini. Un exemplu în acest sens îl constituie foarfecele metalurgice folosite la rezarea capetelor blumurilor la ieșirea din bluming; aceste foarfeci sunt acționate de motoare electrice de curent continuu cu care sunt cuplate prin intermediul unor cuplaje electromagnetice și, din motivele expuse mai sus, cu toate că sunt un exemplu tipic de agregate cu variații violente de încărcare, în general nu sunt echipate cu volant;

din această cauză motoarele electrice necesare au o putere triplă față de acelea din situația în care s-ar prevedea volant și tetuani se dovedesc mai rentabile dacăt eciparea acestor utilaje cu volanți și niște cuplaje electromagnetice prea costisitoare.

Problema de bază care se pune la studiul dinamicii agregatelor de mașini cu volant este determinarea corectă a momentului de inerție al volantului, în funcție de tipul de motor electric cu care este echipat agregatul de mașini și de aspectul diagramei de sarcină care apare în funcționarea mașinii de lucru. În aceste preocupări se înscrie și acest capitol al tezei în care sunt expuse cîteva noi metode de calcul a volanilor și ale agregatelor de mașini. Metodele elaborate se pot clasifica în două categorii: metode aplicabile la agregate cu moment de inerție constant și metode destinate agregatelor care își schimbă structura în timpul funcționării și deci au momentul de inerție redus variabil. Din prima categorie face parte și metoda care constituie titlul acestui prim pargraf.

Se consideră un agregat de mașini prevăzut cu volant, avind modelul mecanic din fig.3.1, în care 1 - este motorul electric de acționare, 2 - volantul, iar 3 - mașina de lucru.

Asupra elementelor componente ale agregatului de mașini și asupra parametrilor lor se fac următoarele precizări:

Motorul electric se consideră de tip asincron cu rotorul bobinat sau de curent continuu, cu excitare în paralel sau în serie, acestea fiind tipurile de motoare care se folosesc în agregatele de mașini echipate cu volant [74, 140]. În acest fel, valabilitatea acestei metode de calcul al momentului de inerție al volantului este foarte largă din punctul de vedere al motorului electric, ea având caracter specific numai în privința diagramei de sarcină. Aceste trei tipuri diferențiate de motoare electrice se pot trata totuși împreună deoarece caracteristicile lor mecanice se prezintă foarte bine a fi liniarizate pe porțiunile lor de lucru. Într-adevăr, în figurile 3.2, 3.3, 3.4 se prezintă [413] caracteristicile mecanice $M_m = K_m(\omega)$, în care K_m este momentul motor, iar ω

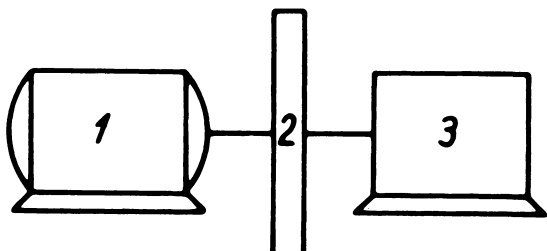


Fig.3.1.

este viteza unghiulară, ale unui motor asincron, respectiv de curent continuu cu excitație în paralel și în serie.

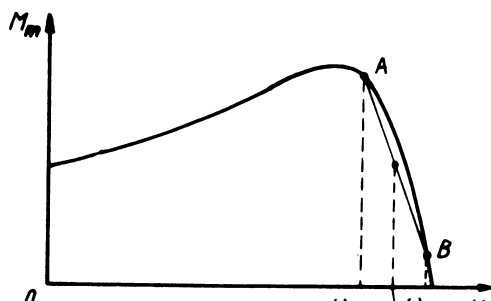


Fig. 3.2.

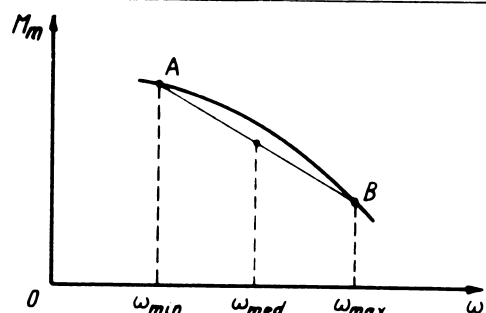


Fig. 3.3.

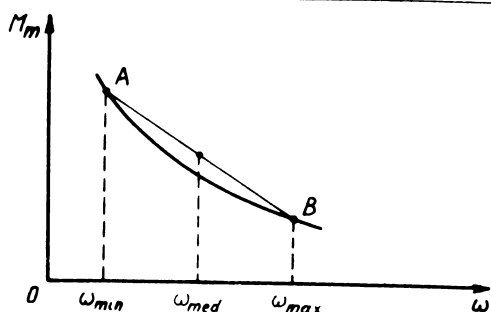


Fig. 3.4.

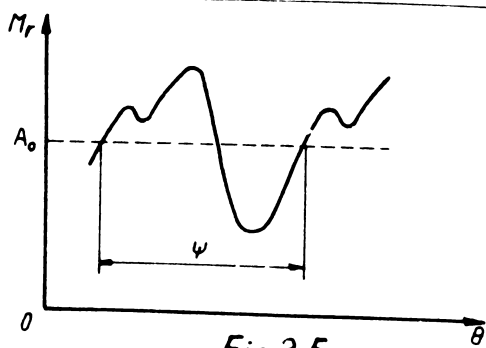


Fig. 3.5.

Poziunea de lucru AB a caracteristicii fiind delimitată de valorile extreme ω_{\max} și ω_{\min} ale vitezei unghiulare ce pot apărea în timpul funcționării, se observă că abatările caracteristicilor mecanice de la liniaritate sunt nesemnificative, astfel încât pentru momentul motor se va lua expresia

$$M_m = a - b \omega, \quad (3.1)$$

în care a și b sunt coeficienți constanți pozitivi.

Nărina de lucru introduce un moment rezistent $M_r = M_r(\theta)$ care este o funcție periodică de poziție, adică de unghiul de rotație θ al agregatului de mașini. Si această ipoteză corespunde realității pentru o mare parte din aggregatele de mașini întâlnite în industrie. Reprezentarea grafică a acestei funcții constituie diagrama de sarcină și poate avea aspectul din fig. 3.5. Funcția fiind periodică cu perioada unghiulară ψ , se poate dezvolta în serie Fourier

$$M_r(\theta) = A_0 + \sum_{i=1}^n A_i \cos i\theta + \sum_{i=1}^n B_i \sin i\theta, \quad (3.2)$$

în care A_0 este valoarea medie a momentului rezistent; iar $\sqrt{\frac{A_1^2}{2} + B_1^2}$ este amplitudinea armonicii de ordinul 1.

Volantul are momentul de inerție J care este mult mai mare ca momentele de inerție reduse ale rotorului motorului electric și al mașinii de lucru. De aceea, indiferent dacă acestea din urmă sunt constante sau variabile, ele se pot neglijă în raport cu momentul de inerție al volantului.

Transmisibile dintre motorul electric și volant și dintre volant și mașină de lucru sunt rigide.

Cu aceste precizări, ecuația diferențială a mișcării agregatului de la ini este

$$J\ddot{\omega} = F_m - b_r \cdot \quad (3.3)$$

Înțind seama de expresiile (3.1) și (3.2) ale momentelor motor și rezistent, ecuația (3.3) devine

$$J\ddot{\omega} + b\dot{\omega} = a - A_0 - \sum_{i=1}^n A_i \cos i\theta - \sum_{i=1}^n B_i \sin i\theta. \quad (3.4)$$

Considerind că în decursul funcționării agregatului de la ini, variația vitezei unghiulare nu este prea mare, se poate lua $t = \omega_{med}t$, ω_{med} fiind valoarea medie a vitezei unghiulare (fig. 3.2, 3.3, 3.4).

Soluția ecuației (3.4) este de forma

$$\begin{aligned} \omega &= \frac{1}{b} (a - A_0) - \sum_{i=1}^n \frac{B_i b - iA_i \omega_{med} J}{b^2 + i^2 \omega_{med}^2 J^2} \sin i\omega_{med} t - \\ &- \sum_{i=1}^n \frac{A_i b - iB_i \omega_{med} J}{b^2 + i^2 \omega_{med}^2 J^2} \cos i\omega_{med} t, \end{aligned} \quad (3.5)$$

care se poate pune și sub forma

$$\omega = \omega_{med} - \sum_{i=1}^n \sqrt{\frac{A_i^2 + B_i^2}{b^2 + i^2 \omega_{med}^2 J^2}} \sin(i\omega_{med} t + \varphi_i), \quad (3.6)$$

în care: $\omega_{med} = \frac{1}{b} (a - A_0)$,

$$\operatorname{tg} \varphi_i = \frac{A_i b - iB_i \omega_{med} J}{B_i b + iA_i \omega_{med} J}.$$

Rezinfind armonica fundamentală din expresia (3.6) a vitezei unghiulare, aceasta devine

$$\omega = \omega_{med} - \sqrt{\frac{A_1^2 + B_1^2}{b^2 + \omega_{med}^2 J^2}} \sin(\omega_{med} t + \varphi_1). \quad (3.7)$$

Având în vedere expresia coeficientului de neuniformitate al mi-

cării [20, 22], $\delta = \frac{\omega_{\max} - \omega_{\min}}{\omega_{\text{med}}}$, în care $\omega_{\max, \min} = \omega_{\text{med}}$ +

$\pm \sqrt{\frac{A_1^2 + B_1^2}{b^2 + \omega_{\text{med}}^2 J^2}}$, rezultă mărimea căutată a momentului de inerție al volantului

$$J = \frac{\sqrt{(2\sqrt{A_1^2 + B_1^2})^2 - (b\omega_{\text{med}}\delta)^2}}{\omega_{\text{med}}^2 \delta}. \quad (3.8)$$

În felul acesta a rezultat o expresie a momentului de inerție al volantului în care intervin parametrii diagramei de sarcină a mașinii de lucru (A_1, B_1), elementele regimului de funcționare ($\omega_{\text{med}}, \delta$) și panta b a caracteristicii mecanice a motorului electric.

În continuare, pentru studiul influenței caracteristicii mecanice a motorului asupra mărimii necesare a momentului de inerție al volantului, se introduce parametrul adimensional

$$\gamma = \frac{\omega_N}{\omega_0}, \quad (3.9)$$

în care ω_N este viteza unghiulară nominală a motorului electric, iar ω_0 este viteza unghiulară de sincronism pentru motorul electric asincron, respectiv viteza unghiulară de mers în gol ideal pentru motorul electric de curent continuu.

Din analiza relației (3.9) se observă că, cu cât este mai mare pantă b a caracteristicii mecanice liniarizate, cu atât mai mare este și valoarea parametrului adimensional γ . Prin urmare, parametrul γ corespunde, într-o formă adimensională, cu panta caracteristicii mecanice liniarizate a motorului electric. Tinând seama de expresia alunciarii nominale [109], $s_N = 1 - \frac{\omega_N}{\omega_0}$, parametrul adimensional γ devine $\gamma = 1 - s_N$. Relația dintre γ și b se stabilește cu ajutorul

figurii 3.6 în care s-a reprezentat caracteristica mecanică liniarizată, luând $\omega_{\max} = \omega_0$, $\omega_{\text{med}} = \omega_N$. Din asemănarea triunghiurilor formate rezultă

$$\begin{aligned} \gamma &= \frac{\omega_N}{\omega_0} = \frac{\omega_{\text{med}}}{\omega_{\max}} = \\ &= \frac{b\omega_{\text{med}}}{b\omega_{\text{med}} + M_N}. \end{aligned} \quad (3.10)$$

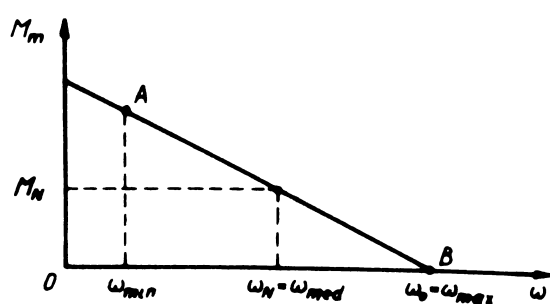


Fig. 3.6.

Tinând seama de relațiile (3.10), expresia (3.8) a momentului de inerție devine:

$$J = \frac{\sqrt{(2\sqrt{A_1^2 + B_1^2})^2 - (\frac{r}{1-r} M_N \omega_{\text{med}})^2}}{\omega_{\text{med}}^2 \delta} \quad (3.11)$$

In fig.3.7 s-a reprezentat grafic variația momentului de inerție în funcție de parametrul adimensional r , $J=J(r)$, pentru valori ale lui $r \in (0,1)$, fiindcă acestea sunt valorile pe care le poate lua acest parametru, în conformitate cu expresia (3.10).

Intr-adevăr, pentru M_N tînzind la zero, rezultă $r \rightarrow 1$. Pentru M_N tînzind la infinit, $r \rightarrow 0$. Rezultă că pentru valorile obișnuite ale momentului nominal M_N , care nu poate fi nici nul, nici infinit, pentru r se obțin valori cuprinse între 0 și 1.

Pe graficul din fig.3.7 se disting două zone. În zona I, pentru $r \in (0 ; 0,8)$ momentul de inerție al volantului rămîne

practic invariabil, influențata pantei caracteristicii mecanice a motorului electric fiind neglijabilă. În această situație se încadrează majoritatea agregatelor de mașini echipate cu motoare electrice de curent continuu cu excitare în paralel și în serie la care alunecarea nominală, care aici se numește viteză unghiulară relativă nominală, are valori mari, astfel încît parametrul $r=1-s_N$ se înscrie în intervalul amintit. Înseamnă că pentru aceste agregate de mașini, la determinarea momentului de inerție al volantului nu este necesar să se țină seama de influența caracteristicii mecanice a motorului electric.

În zona II însă, pentru $r \in [0,8 ; 1]$, momentul de inerție variază foarte mult în funcție de parametrul r . În această zonă intră motoarele electrice asincrone care au alunecare nominală $s_N < 0,2$ [109], astfel încît parametrul r ia valori apropiate de unitate. Rezultă că la agregatele de mașini acționate cu motoare electrice de acest tip, influența caracteristicii mecanice a motorului electric asupra valo-

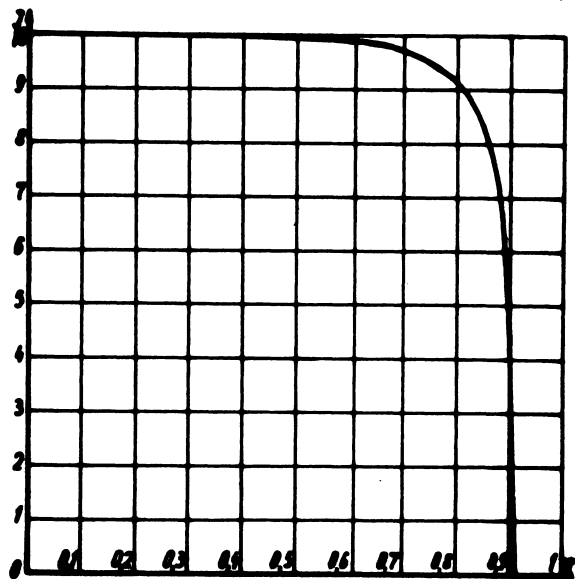


Fig.3.7

ră relativă nominală, are valori mari, astfel încît parametrul $r=1-s_N$ se înscrie în intervalul amintit. Înseamnă că pentru aceste agregate de mașini, la determinarea momentului de inerție al volantului nu este necesar să se țină seama de influența caracteristicii mecanice a motorului electric.

În zona II însă, pentru $r \in [0,8 ; 1]$, momentul de inerție variază foarte mult în funcție de parametrul r . În această zonă intră motoarele electrice asincrone care au alunecare nominală $s_N < 0,2$ [109], astfel încît parametrul r ia valori apropiate de unitate. Rezultă că la agregatele de mașini acționate cu motoare electrice de acest tip, influența caracteristicii mecanice a motorului electric asupra valo-

rii necesare a momentului de inerție al volantului este importantă.

Asupra modului cum se manifestă această influență, se observă din fig.3.7 că, cu cît caracteristica mecanică a motorului electric este mai abruptă (γ mare), este necesar un volant cu moment de inerție mai mic. Explicația acestei interdependențe trebuie căutată în capacitatea de autoreglare a regimului de funcționare pe care o are motorul electric asincron. În fig.3.2 se vede că o creștere accidentală a vitezei unghiulare provoacă scăderea momentului motor; scăderea momentului motor, la același moment rezistent, rezultatul este scăderea vitezei unghiulare și reducerea ei la valoarea de regim. Aceeași fenomen de autoreglare a vitezei unghiulare se produce și în cazul unei scăderi a vitezei unghiulare. Acest fenomen de autoreglare este cu atât mai evident cu cît este mai mare panta caracteristicii mecanice a motorului electric. Cum însă menirea unui volant într-un agregat de mașini este tocmai nivelarea fluctuațiilor vitezei unghiulare, înseamnă că un motor electric asincron cu caracteristica mecanică abruptă, suplineste într-o carecare măsură acțiunea unui volant și deci este necesar un volant cu atât mai mic cu cît panta caracteristiciei (γ) este mai mare. Această explicație confirmă pe deplin aspectul curbei $J(\gamma)$ din zona II (fig.3.7).

In continuare, se pune formula (3.8) sub o altă formă. Pentru aceasta se regine prima armonică din expresia (3.2) a momentului rezistent

$$M_r(\theta) = A_0 + A_1 \cos \theta + B_1 \sin \theta = A_0 + \sqrt{A_1^2 + B_1^2} \sin(\theta + \psi_1), \quad (3.12)$$

iar momentul motor se exprimă și el în funcție de unghiul θ , introducind în (3.1) expresia (3.7) a lui ω și pe J din formula (3.8):

$$\frac{M_m(\omega)}{M_r} = a - b \omega_{\text{med}} + \frac{b \omega_{\text{med}} \delta}{2} \sin(\theta + \varphi_1). \quad (3.13)$$

Tinând seama de expresia (3.12), în formula (3.8) se constată că primul termen de sub radical este egal cu pătratul dublului amplitudinii părții variabile a momentului rezistent și totodată reprezintă pătratul lucrului mecanic L_r pe o semiperioadă a acestei părții a momentului rezistent, dacă faza inițială ψ_1 este nulă. De asemenea, îninind seama de expresia (3.13), în formula (3.8), rezultă în mod analog că al doilea termen de sub radicalul din (3.8) reprezintă pătratul lucrului mecanic L_m pe o semiperioadă a părții variabile a momentului motor, astfel încit expresia (3.8) a momen-

tului de inerție al volantului devine

$$J = \frac{\sqrt{L_r^2 - L_m^2}}{\omega_{\text{med}}^2} . \quad (3.14)$$

Din teoria mecanismelor se știe că $\sqrt{L_r^2 - L_m^2} = \Delta E_c$ constituie pierderea maximă de energie cinetică ce apare pe parcursul funcționării agregatului de mașini [20, 22], pierdere care trebuie acoperită pe seama energiei cinetice înmagazinate de volant. Astfel, formula (3.14) capătă forma

$$J = \frac{\Delta E_c}{\omega_{\text{med}}^2} , \quad (3.15)$$

care este bine cunoscută în teoria mecanismelor [20, 22]. În acest fel, formula (3.8) dedusă mai sus capătă o bună confirmare.

§ 3.2: O metodă analitică aproximativă de determinare a momentului de inerție al volantului unui agregat de mașini. Metoda de calcul a volantului elaborată în acest paragraf este aplicabilă agregatelor de mașini care au momentul de inerție redus variabil.

In lucrarea [20] se prezintă o metodă grafo-analitică de calcul a momentului de inerție al volantului pentru un agregat de mașini atunci cind este dat coeficientul de neuniformitate al mișcării agregatului. În prezentul paragraf s-a conceput o metodă de determinare a momentului de inerție al volantului pe seama coeficientului de dinamicitate χ , având expresia la care s-au mai făcut referiri și în paragraful 2.2, [20, 22]

$$\chi = \frac{\varepsilon_{\max}}{\omega_{\text{med}}^2} , \quad (3.16)$$

unde ε_{\max} este accelerația unghiulară maximă, iar ω_{med} este viteza unghiulară medie pe un ciclu al mișcării agregatului de mașini. Parametrii de mișcare care intervin în expresia (3.16) a coeficientului de dinamicitate se pot determina pe baza diagramei vitezei unghiulare ca funcție de timp; această diagramă sau, cel puțin, valorile extreme ale vitezei unghiulare într-un ciclu al mișcării, intră în categoria "datelor problemei" de calcul al volantului, fiind deci cunoscute.

Agregatul de mașini are structura din fig.3.1. În legătură cu elementele componente ale agregatului se fac următoarele presupunerile:

Motorul electric poate fi de orice tip; el funcționează în regim staționar nominal furnizind la arbore cuplul nominal constant, de mo-

ment J_M . Momentul de inerție al rotorului motorului J_M în raport cu arborele său este, evident, constant.

Volantul are momentul de inerție față de arborele motorului de mărime constantă J_V , a cărui valoare trebuie determinată.

Mașina de lucru are momentul de inerție J_{ML} redus la arborele motorului, care este o funcție periodică de unghiul de rotație θ al arborelui, $J_{ML} = J_{ML}(\theta)$. De asemenea, din operațiunile tehnologice efectuate de mașina de lucru, apare un cuplu rezistent, funcție periodică de unghiul θ , $M_R = M_R(\theta)$, cu aceeași perioadă unghiulară ca $J_{ML}(\theta)$.

Ecuația diferențială a mișcării agregatului de mașini se obține din teorema energiei cinetice în forma diferențială,

$$dE_c = dL, \quad (3.17)$$

în care: $E_c = (J_M + J_V + J_{ML}) \frac{\omega^2}{2}$ - energia cinetică a agregatului de mașini; $dL = (M_H - M_R) \omega dt$ - lucrul mecanic elementar.

In continuare se vor introduce mărurile $J_A = J_M + J_{ML}$ - momentul de inerție al agregatului de mașini fără volant care, datorită lui $J_{ML} = J_{ML}(\theta)$ va fi, de asemenea funcție de unghiul θ , și $M = M_H - M_R$ - momentul resultant care, prin intermediul lui $M_R = M_R(\theta)$, este funcție de θ . Tinind seama de cele de mai sus, ecuația (3.17) capătă forma

$$\frac{dJ_A}{d\theta} \frac{\omega^2}{2} + (J_A + J_V) \frac{d\omega}{dt} = M. \quad (3.18)$$

Cei doi termeni din membrul stîng, luati cu semnul minus, au semnificația de momente ale forțelor de inerție. Dintre acestia,

$$M_d = - \frac{dJ_A}{d\theta} \frac{\omega^2}{2}, \quad (3.19)$$

în dinamica agregatelor de mașini, se numește "momentul dinamic" [20, 22]. Tinind seama de expresia (3.19) și de faptul că $\frac{d\omega}{dt} = \varepsilon$, ecuația (3.18) devine

$$(J_A + J_V) = M + M_d. \quad (3.20)$$

In general, acceleratia unghiulară are valoarea maximă ε_{max} atunci cînd viteza unghiulară trece prin valoarea sa medie ω_{med} și aceasta are loc în momentele de timp în care momentul resultant trece prin zero.

Intr-adevăr, dacă de exemplu, într-un ciclu al mișcării viteza unghiulară prezintă o variație ca în figura 3.8, atunci, acceleratia unghiulară fiind derivata vitezei unghiulare, este numeric egală cu panta diagramei vitezei unghiulare, care este maximă în punctele A și B corespunzătoare vitezei unghiulare medii.

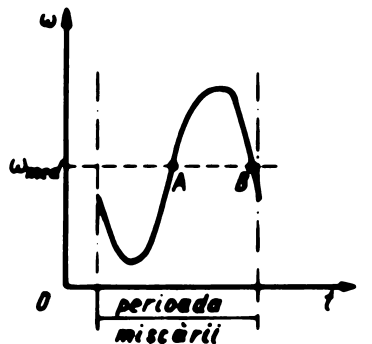


Fig.3.8.

In această situație, din ecuația (3.20) rezultă

$$\varepsilon_{\max} = \left| \frac{M_d}{J_A + J_V} \right|_{\max}, \quad (3.21)$$

în care

$$|M_d|_{\max} = \frac{dJ_A}{d\theta} \frac{\omega_{\text{med}}^2}{2} \quad (3.22)$$

și astfel, coeficientul de dinamicitate (3.16) capătă expresia

$$\chi = \frac{\left| \frac{M_d}{J_A + J_V} \right|_{\max}}{\omega_{\text{med}}^2}. \quad (3.23)$$

Având în vedere că momentul de inerție J_V al volantului trebuie să fie mult mai mare ca momentul de inerție J_A al agregatului de mașini, fiindcă numai astfel volantul și poate îndeplini rolul de nivelator al neregularității mișcării, se poate lua pentru momentul de inerție al agregatului de mașini, care este o funcție de poziție, valoarea sa medie pe o perioadă a mișcării, $J_{A_{\text{med}}}$, și

$$J_A + J_V \approx J_{A_{\text{med}}} + J_V. \quad (3.24)$$

Tinând seama de relația (3.24), din ecuația (3.23) rezultă pentru momentul de inerție al volantului expresia

$$J_V = \frac{\left| M_d \right|_{\max}}{\omega_{\text{med}}^2 \chi} - J_{A_{\text{med}}}, \quad (3.25)$$

care constituie expresia căutată în care intervine coeficientul de dinamicitate χ .

Se observă că în formula finală (3.25) de calcul a momentului de inerție al volantului nu intervine momentul rezistent. Acest lucru se datorează faptului că parametrii care apar în formulă se calculează cu ajutorul vitezei unghiulare medie, care se obține atunci cind momentul rezistent este echilibrat de către momentul motor.

§ 3.3. Determinarea momentului de inerție al volantului unui agregat de mașini. În cazul unei diagrame de sarcină cu porțiuni armonice și porțiuni constante. Metoda de calcul a volantului prezentată în acest paragraf a fost elaborată pentru cazul agregatelor de mașini cu moment de inerție redus constant.

Se consideră agregatul de mașini având structura din fig.3.1. Între elementele agregatului de mașini se află o transmisie rigidă.

Metoda de determinare a momentului de inerție al volantului propusă în acest paragraf se referă la situația în care diagrama de sarcină a mașinii de lucru are aspectul din fig. 3.9.

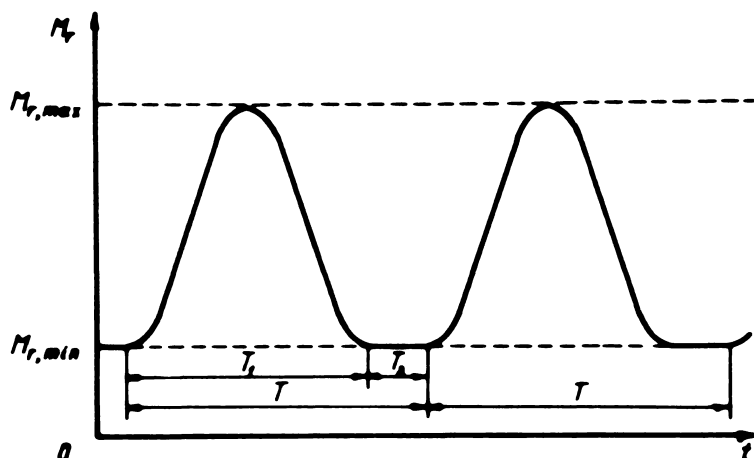


Fig. 3.9.

In prezent, problema determinării momentului de inerție al volantului este complet rezolvată în cazul unei diagrame de sarcină armonice [140, 312]. Astfel, de exemplu, în lucrarea "Acționarea electrică" [140], autorul sovietic Golovan stabilește expresia momentului de inerție al volantului în ca-

zul unei sarcini armonice, pornind de la considerente de supraîncălzire și suprasarcină pentru motorul electric; formula de calcul a momentului de inerție al volantului la care se ajunge este similară formulai care în acest paragraf se va numera cu (3.43). La o mare parte din agregatele de mașini, momentul rezistent M_r la arborele mașinii de lucru are o variație în timp periodică, cu perioada T , formată dintr-o porțiune armonică, cu durata T_1 , care corespunde cursei active a mașinii de lucru și o porțiune constantă, corespunzătoare cursei de întoarcere în gol. Desigur că la agregatele de mașini reale, variația momentului rezistent pe porțiunea T_1 în general nu este perfect armonică, dar această aproximare este acceptabilă pentru calculele ingineresti.

In privința motorului electric de acționare, acesta poate fi de orice tip, deoarece, pentru a nu afecta valabilitatea generală a metodei, se admite ipoteza frecvent întâlnită în calculele ingineresti de dinamică a mașinilor, conform căreia caracteristicile mecanice ale motoarelor electrice pot fi considerate liniare. Într-adevăr, caracteristicile mecanice ale motoarelor electrice de curent continuu, pentru toate ierurile de excitație, sunt aproape rectilinii, iar cele ale motoarelor electrice de curent alternativ, au porțiunea de funcționare stabilă, de asemenea, aproape liniară [413].

Ecuția diferențială a mișcării agregatului de mașini al cărui motor electric are caracteristica mecanică liniară este [312]

$$\frac{dM_m}{dt} + \frac{1}{T_{em}} M_m = \frac{1}{T_{em}} M_r , \quad (3.26)$$

unde M_m este momentul dezvoltat de motorul electric, iar T_{em} este constanta de timp electromecanică a agregatului de mașini având expresia [312]

$$T_{em} = \frac{J \omega_0 s_N}{M_N} , \quad (3.27)$$

în care J este momentul de inerție redus al agregatului de mașini, ω_0 este viteza unghiulară de mers în gol ideal pentru un motor electric de curent continuu, respectiv viteza unghiulară de sincronism pentru un motor electric de curent alternativ, s_N este viteza unghiulară relativă nominală pentru motorul electric de curent continuu, respectiv alunecarea nominală pentru motorul electric asincron, iar M_N este momentul cuplului dezvoltat de motorul electric în regimul nominal de funcționare.

În legătură cu J se consideră că momentul de inerție al rotorului motorului electric și momentul de inerție redus al mașinii de lucru sunt neglijabile față de acela al volantului, astfel încât în cele ce urmează, prin J se va înțelege momentul de inerție al volantului, aceasta fiind mărimea care trebuie să fie determinată.

Pe intervalul de timp T_1 , momentul rezistent are expresia

$$M_{rl} = \frac{1}{2}(M_{r,max} + M_{r,min}) - \frac{1}{2}(M_{r,max} - M_{r,min}) \cos \frac{2\pi}{T_1} t , \quad (3.28)$$

și astfel, ecuația (3.26) capătă forma

$$\begin{aligned} \frac{dM_{ml}}{dt} + \frac{1}{T_{em}} M_{ml} &= \frac{1}{2T_{em}} (M_{r,max} + M_{r,min}) - \\ &- \frac{1}{2T_{em}} (M_{r,max} - M_{r,min}) \cos \beta t , \end{aligned} \quad (3.29)$$

unde $\beta = \frac{2\pi}{T_1}$ este pulsăria momentului rezistent.

Soluția generală a ecuației diferențiale (3.29) este de forma

$$\begin{aligned} M_{ml} &= C_1 e^{-\frac{1}{T_{em}}t} + \frac{1}{2}(M_{r,max} + M_{r,min}) - \\ &- \frac{M_{r,max} - M_{r,min}}{2(T_{em}^2 \beta^2 + 1)} (\cos \beta t + T_{em} \beta \sin \beta t) , \end{aligned} \quad (3.30)$$

în care C_1 este constanta de integrare.

Pentru diagrama de sarcină considerată, variația corespunzătoare în timp a momentului motor M_m se prezintă ca în fig. 3.10 (linie continuă).

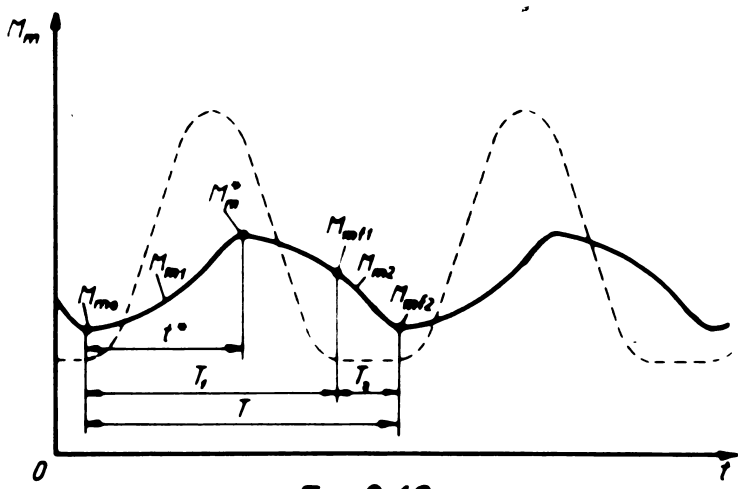


Fig. 3.10.

Pentru condiția inițială $t=0$, $M_{m1} = M_{mo}$, unde M_{mo} este valoarea inițială a momentului motor de la începutul fiecărui ciclu, din (3.30) se obține soluția particulară

$$M_{m1} = \left[M_{mo} + \frac{1}{2(T_{em}^2 \beta^2 + 1)} (M_{r,max} - M_{r,min}) - \frac{1}{2}(M_{r,max} + M_{r,min}) \right] e^{-\frac{1}{T_{em}} t} + \frac{1}{2}(M_{r,max} + M_{r,min})$$

$$- \frac{M_{r,max} - M_{r,min}}{2(T_{em}^2 \beta^2 + 1)} (\cos \beta t + T_{em} \beta \sin \beta t). \quad (3.31)$$

Ecuația (3.31) dă expresia momentului dezvoltat de motorul electric, $M_{m1} = M_{m1}(t)$, pe parcursul intervalului de timp T_1 .

În intervalul de timp T_2 , momentul rezistent are expresia (fig. 3.9):

$$M_{r2} = M_{r,min}, \quad (3.32)$$

iar ecuația (3.26) devine

$$\frac{dM_{m2}}{dt} + \frac{1}{T_{em}} M_{m2} = \frac{1}{T_{em}} M_{r,min}. \quad (3.33)$$

Soluția generală a ecuației (3.33) are forma

$$M_{m2} = C_2 e^{-\frac{1}{T_{em}} t} + M_{r,min}, \quad (3.34)$$

în care C_2 este constanta de integrare.

Pentru determinarea constantei de integrare se pune condiția inițială $t=0, M_{m2}=M_{mf1}$, (fig.3.10), unde M_{mf1} este valoarea finală a momentului motor M_{ml} , adică la $t=T_1$:

$$M_{mf1} = \left[M_{mo} + \frac{1}{2(T_{em}^2/\beta^2 + 1)} (M_{r,max} - M_{r,min}) - \right. \\ \left. - \frac{1}{2}(M_{r,max} + M_{r,min}) \right] e^{-\frac{1}{T_{em}} T_1} + \frac{1}{2} (M_{r,max} + M_{r,min}) - \\ - \frac{M_{r,max} - M_{r,min}}{2(T_{em}^2/\beta^2 + 1)}. \quad (3.35)$$

După determinarea constantei de integrare și înlocuirea ei în soluția (3.24), aceasta devine:

$$M_{m2} = (M_{mf1} - M_{r,min}) e^{-\frac{1}{T_{em}} t} + M_{r,min}. \quad (3.36)$$

Asupra valorii inițiale M_{mo} a momentului motor nu s-a făcut nici o precizare pînă acum. Ea însă poate fi determinată în funcție de elementele diagramei de sarcină și de parametrii agregatului de mașini. Pentru aceasta se va observa că valoarea inițială a momentului motor este egală cu valoarea finală M_{mf2} de la sfîrșitul perioadei T . Această condiție este pe deplin adevărată în regimul de funcționare staționară al agregatului de mașini, cînd momentul motor are și el o variație periodică în timp, așa cum s-a și presupus. Valoarea M_{mf2} se obține din relația (3.36) pentru $t = T_2$:

$$M_{mf2} = (M_{mf1} - M_{r,min}) e^{-\frac{1}{T_{em}} T_2} + M_{r,min}. \quad (3.37)$$

Eliminînd pe M_{mf1} între ecuațiile (3.35) și (3.37), se obține valoarea inițială a momentului motor

$$M_{mo} = \frac{T_{em}^2/\beta^2}{2(T_{em}^2/\beta^2 + 1)} (M_{r,max} - M_{r,min}) + \\ + \frac{\frac{1}{T_{em}} T_1}{\frac{1}{T_{em}} T_2 - \frac{1}{T_{em}} T_1} (M_{mf2} - M_{r,min}). \quad (3.38)$$

Determinarea valorii necesare a momentului de inerție al volanului se face în legătură cu valoarea de vîrf M_m^* a momentului motor

și la momentului de timp t^* (fig.3.10) cind motorul este obligat să dezvolte cuplul maxim. Acest lucru se petrece, în orice casă, pe parcursul intervalului de timp T_1 al cursei active. De aceea, se revine la ecuația (3.31) a momentului motor din perioada T_1 , în care se introduce expresia (3.38) a momentului motor initial. Se obține

$$M_{ml} = \frac{1}{2(T_{em}^2\beta^2+1)} (M_{r,max} - M_{r,min}) \left\{ T_{em}^2\beta^2 \left[1 + \frac{\left(\frac{1}{T_{em}} T_2 \right)_e - \frac{1}{T_{em}} t}{\frac{1}{T_{em}} T_2 - e^{-\frac{1}{T_{em}} T_1}} \right] - (\cos \beta t + T_{em}\beta \sin \beta t) + 1 \right\} + M_{r,min} . \quad (3.39)$$

Pentru aflarea momentului t^* la care motorul electric dezvoltă cuplul maxim, se anulează derivata în raport cu timpul a expresiei (3.39):

$$(\sin \beta t^* - T_{em}\beta \cos \beta t^*) - T_{em}\beta \frac{\left(\frac{1}{T_{em}} T_2 \right)_e - \frac{1}{T_{em}} t^*}{\frac{1}{T_{em}} T_2 - e^{-\frac{1}{T_{em}} T_1}} = 0 . \quad (3.40)$$

Rezolvarea pe cale analitică a ecuației (3.40) este dificilă; în schimb, ecuația se pretează la o rezolvare grafică comodă. Pentru aceasta se pune ecuația sub forma

$$\frac{\frac{1}{T_{em}} T_2}{\frac{e^{\frac{1}{T_{em}} T_2} - 1}{e^{\frac{1}{T_{em}} T_2} - e^{-\frac{1}{T_{em}} T_1}}} = (\cos 2\pi \frac{t^*}{T_1} - \frac{1}{2\pi T_{em}} T_1 \sin 2\pi \frac{t^*}{T_1}) e^{\frac{1}{T_{em}} t^*} . \quad (3.41)$$

Pentru a se păstra și în continuare valabilitatea generală a metodei, se introduc parametrii adimensionali $u = \frac{T_1}{T_{em}}$, $v = \frac{T_2}{T_1}$, $w = \frac{t^*}{T_1}$, cu ajutorul căror ecuația (3.41) devine

$$\frac{e^{uv} - 1}{e^{uv} - e^{-u}} = (\cos 2\pi w - \frac{1}{2\pi} usin 2\pi w) e^{uw} . \quad (3.42)$$

Pentru rezolvarea grafică a ecuației se notează $f_1(u,v) = \frac{e^{uv} - 1}{e^{uv} - e^{-u}}$ și $f_2(u,w) = (\cos 2\pi w - \frac{1}{2\pi} usin 2\pi w) e^{uw}$. Se reprezintă

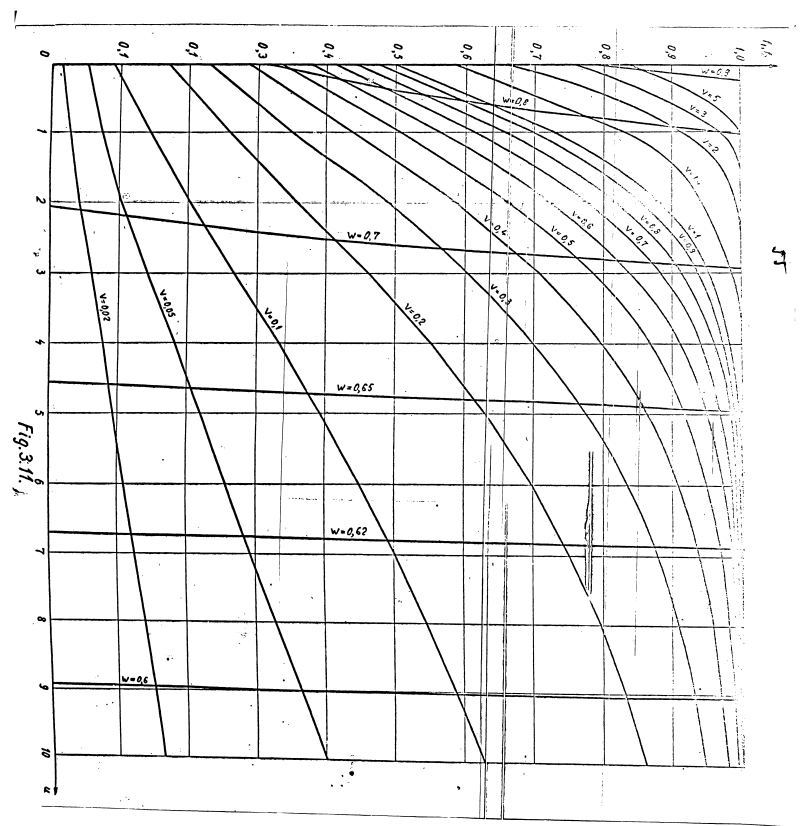
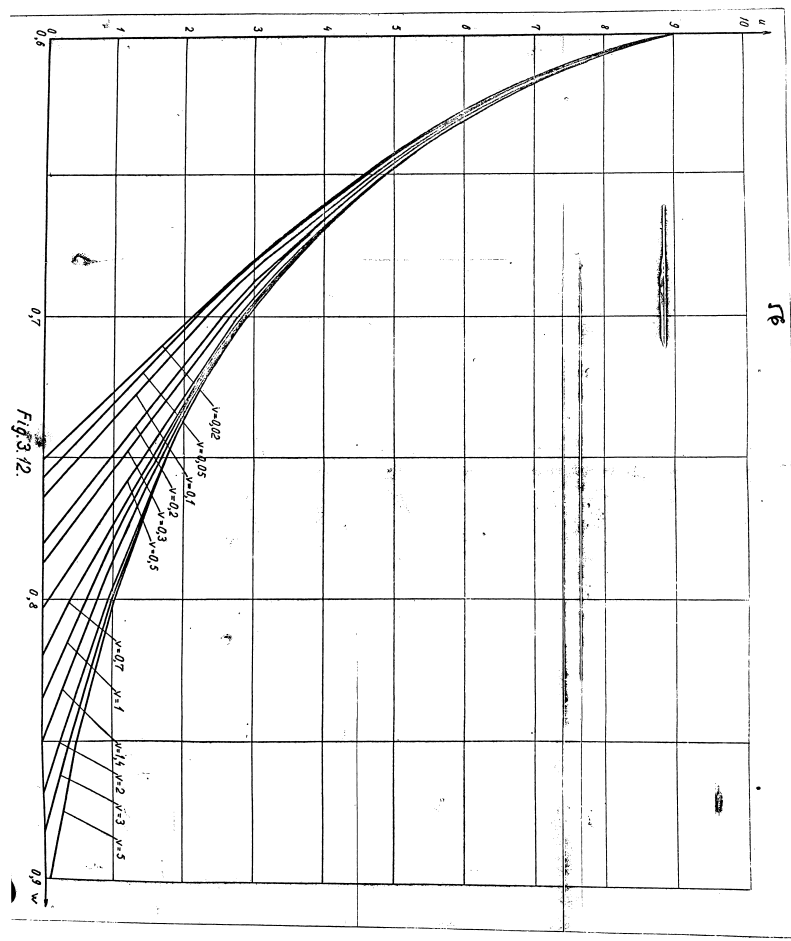


Fig. 3.16.

Anexo 1

Anexo 1



tă grafic cele două familii de curbe $f_1(u,v)$ și $f_2(u,w)$, (fig.3.11), luând pe u ca variabilă și considerind pe v , respectiv pe w ca parametri. Calculele necesare pentru aceste reprezentări grafice au fost efectuate pe calculatorul electronic "Texas Instruments" aflat în dotarea catedrei; în cazul lui $f_1(u,v)$, pentru $u=0$ s-a ajuns la nedeterminarea $f_1(0,v) = \frac{0}{0}$, pentru ridicarea căreia s-a aplicat regula lui L'Hopital [120].

Pentru o diagramă de sarcină dată, înseamnă că valoarea parametrului adimensional $v = \frac{T_2}{T_1}$ este cunoscută. Acestei valori a lui v , în diagrama din fig.3.11 îi corespunde o curbă $f_1(u,v)$. Se alege acum o curbă $f_2(u,w)$ care, în diagrama din fig.3.11 să intersecteze curba $f_1(u,v)$, găsită mai înainte. Curbei $f_2(u,w)$ alese îi corespunde o anumită valoare a parametrului adimensional w , în a cărui expresie intră momentul de timp t^* la care momentul motor este maxim. Alegerea curbei $f_2(u,w)$ poate fi considerată ca fiind corectă dacă valoarea corespunzătoare a lui t^* satisfacă inegalitatea $t^* < T_1$, (fig.3.10). În cazul în care această inegalitate nu este satisfăcută, se repetă alegerea și verificarea curbei $f_2(u,w)$, pînă cînd se găsește o curbă corespunzătoare. Cînd această curbă s-a găsit înseamnă că, practic, s-a determinat o valoare a parametrului w , care să corespundă valorii parametrului v rezultată din diagrama de sarcină dată. Intersectind acum cele două curbe $f_1(u,v)$ și $f_2(u,w)$, se obține un punct pe diagrama din fig.3.11, care are ca abscisă o anumită valoare a variabilei u .

Cu valoarea lui u astfel găsită, din notația făcută, rezultă $T_{em} = \frac{T_1}{u}$ și, înînd seama de expresia constantei de timp electromecanice, rezultă valoarea necesară a momentului de inerie al volantului

$$J = \frac{T_1 M_N}{u \omega_0 s_N} . \quad (3.43)$$

Relația (3.43) permite determinarea momentului de inerie al volantului în funcție de parametrii motorului electric (ω_0, s_N, M_N), ai întregului agregat de mașini (u) și ai diagramei de sarcină (T_1).

Metoda elaborată conține ca un caz particular posibilitatea de determinare a momentului de inerie al volantului în cazul unei diagrame de sarcină armonice. Pentru aceasta, din diagrama de sarcină din fig.3.9 trebuie să lipsească intervalele de timp T_2 cînd sarcina este constantă, adică $T_2 = 0$. Dacă $T_2 = 0$, atunci și $v=0$, iar $f_1(u,v)|_{v=0} = u$. Rezultă $f_2(u,w) = 0$ și deci

$$(cos 2\pi w - \frac{1}{2\pi} u \sin 2\pi w) e^{uw} = 0 . \quad (3.44)$$

Deoarece $e^{uw} \neq u$ pentru orice valori ale parametrilor u și w , rezultă

$$\cos 2\pi w - \frac{1}{2\pi} u \sin 2\pi w = 0, \quad (3.45)$$

de unde

$$u = 2\pi \operatorname{ctg} 2\pi w = 2\pi \operatorname{ctg} 2\pi \frac{t^*}{T_1}, \quad (3.46)$$

în care t^* se alege și aici astfel încât să satisfacă inegalitatea $t^* < T_1$.

Cu valoarea lui u astfel determinată, se calculează momentul de inerție al volantului cu formula (3.43). Se observă că în cazul unei diagrame de sarcină armonice, momentul de inerție al volantului se poate calcula în mod exact, pe cale analitică, fără a mai fi necesară construcția grafică din fig.3.11.

La rindul ei însă, și metoda grafo-analitică prezentată pentru diagrama de sarcină ~~cu armonice~~^{periodice} și constante, mai poate fi simplificată în vederea utilizării ei în calculele ingineresci. Pentru aceasta se observă că diagramele din fig.3.11 oferă valorile necesare construirii punct cu punct a familiei de curbe $u=u(w,v)$, considerând pe w ca variabilă și pe v ca parametru al familiei de curbe (fig.3.12). În felul acesta, fiind date valorile lui v și w , din fig.3.12 rezultă imediat valoarea lui u , cu care se calculează momentul de inerție al volantului cu ajutorul formulei (3.43).

§ 3.4. Determinarea masei reduse a volantului unui agregat de mașini cu masa redusă variabilă. În lucrările [20, 22] se prezintă două metode de calcul al masei volantului, una bazată pe construirea diagramei energetice, adică a dependenței dintre energia cinetică a agregatului de mașini și masa lui redusă și alta pe baza forței excedentare. În paragraful de față se elaborează o metodă combinată a celor menionate mai sus și se aplică la calculul masei reduse a volantului unui agregat de mașini cu masa redusă variabilă.

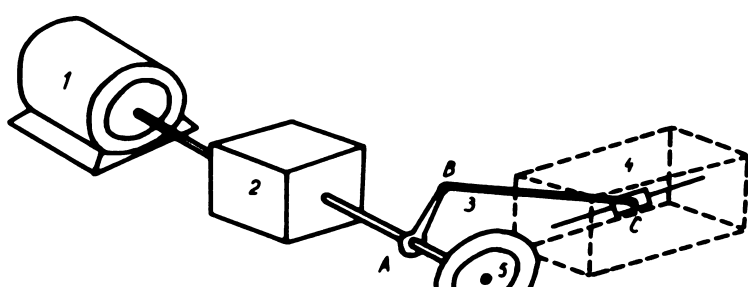


Fig.3.13.

Ca agregat de mașini cu masă redusă variabilă se consideră cel din fig.3.13, format din motorul electric de acționare 1, transmisia 2, mecanismul bielă-mâner 3, mașina de lucru 4

și volantul 5. Agregatul de mașini are masa redusă variabilă deoare-

ce masa redusă a biiei și a unor elemente ale transmisiei și mașinii de lucru sănt funcție de poziția mecanismului.

In continuare, pentru agregatul de mașini se va luta schema de calcul din fig.3.14, în care 1 este manivela avind centrul de greutate în punctul C_1 ; 2 este biela avind centrul de greutate în C_2 ,

masa m_2 și momentul de inerție J_2 față de o axă perpendiculară pe planul mecanismului și trecind prin punctul C_2 ; 3 este culisa cu masa m_3 .

Efectuind analiza cinematică a mecanismului, re-

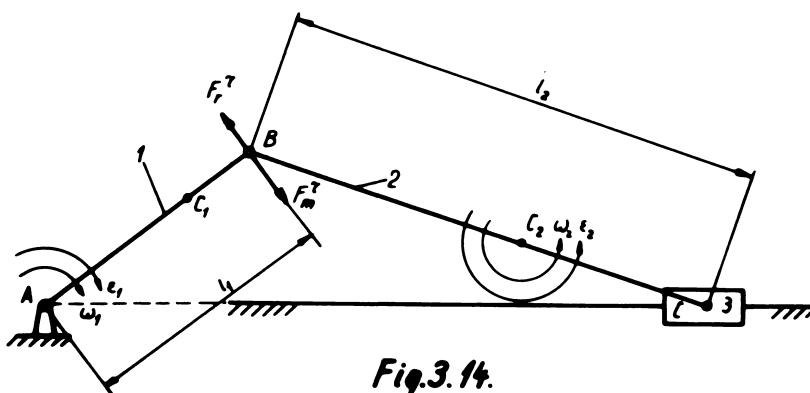


Fig.3.14.

zultă planul vitezelor din fig.3.15 și planul accelerăriilor din fig. 3.16, în care indicii "n" și "T" au semnificațiile respectiv de "normal" și "tangențial".

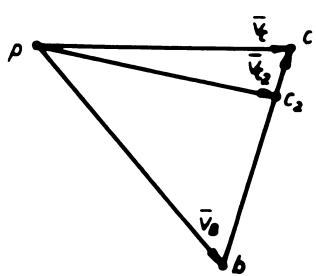


Fig.3.15.

Ca punct de reducere al maselor și forțelor, se alege punctul B de articulație dintre manivelă și bielă.

Pentru studiul mișcării agregatului de mașini se folosește teorema energiei cinetice în formă diferențială

$$dE_C = dL, \quad (3.47)$$

în care E_C este energia cinetică a întregului agregat de mașini iar dL este lucrul mecanic elementar al tuturor forțelor.

Pentru schema de calcul considerată, ecuația (3.47) are forma

$$d \frac{m_{red} v_L^2}{2} (F_m^T - F_r^T) ds, \quad (3.48)$$

unde: m_{red} - masa redusă a agregatului de mașini; F_m^T , F_r^T - forțele tangențiale motoare și rezistență, reduse în punctul B; s - arcul de cerc descris de punctul de reducere.

Impărțind cu dt ecuația (3.48) și introducind forța excentrică tangențială, $\Delta F^T = F_m^T - F_r^T$, se obține

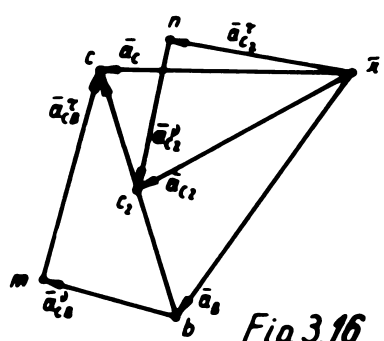


Fig.3.16.

$$\frac{dm_{red}}{ds} \frac{v_B^2}{2} + m_{red} a_B^\gamma = \Delta F^\gamma. \quad (3.49)$$

Masa redusă a agregatului de mașini se compune din masa redusă a volantului m_{vol} care este constantă și masa redusă a celorlalte elemente, m_{mec} , care este funcție de poziția mecanismului:

$$m_{red}(s) = m_{mec}(s) + m_{vol}. \quad (3.50)$$

Tinând seama de relația (3.50), ecuația (3.49) devine

$$\frac{dm_{mec}}{ds} \frac{v_B^2}{2} + (m_{mec} + m_{vol}) a_B^\gamma = \Delta F^\gamma. \quad (3.51)$$

In acele poziții ale punctului de reducere în care acesta atinge valorile extreme ale vitezei, v_{Bmax} și v_{Bmin} , accelerația tangențială a_B^γ este nulă. Valorile corespunzătoare ale forței excedentare tangențiale sunt

$$\Delta F^{\gamma\max} = \left(\frac{dm_{mec}}{ds} \right)_{s=s_{\max}} \frac{v_{Bmax}^2}{2}, \quad (3.52)$$

$$\Delta F^{\gamma\min} = \left(\frac{dm_{mec}}{ds} \right)_{s=s_{\min}} \frac{v_{Bmin}^2}{2}. \quad (3.53)$$

Masa redusă a agregatului de mașini fără volant, care intervine în expresiile (3.51) - (3.53), se determină din egalitatea dintre energia cinetică a agregatului de mașini și energia cinetică a punctului de reducere:

$$\frac{J_1 \omega_1^2}{2} + \frac{m_2 v_{c2}^2}{2} + \frac{J_2 \omega_2^2}{2} + \frac{m_3 v_c^2}{2} = \frac{m_{mec} v_B^2}{2}, \quad (3.54)$$

în care J_1 este momentul de inerție al rotorului motorului electric, transmisiei și manivelei față de axul A.

Tinând seama că $\omega_1 = \frac{v_B}{r_1}$, din (3.54) rezultă masa redusă a agregatului de mașini fără volant

$$m_{mec} = \frac{J_1}{r_1^2} + \frac{1}{v_B^2} (m_2 v_{c2}^2 + J_2 \omega_2^2 + m_3 v_c^2). \quad (3.55)$$

iar derivata ei în raport cu arcul de cerc, în pozițiile în care viteză v_B are valorile extreme constante v_{Bmax} , v_{Bmin} , este

$$\frac{dm_{mec}}{ds} = \frac{2(m_2 v_{c2} a_{c2}^\gamma + J_2 \omega_2 \epsilon_2 + m_3 v_{c2} a_c)}{v_B^3}. \quad (3.56)$$

Planul vitezelor și planul accelerăriilor din figurile 3.15 și 3.16 au fost construite pentru poziția mecanismului din fig. 3.14 în ipoteza că manivela se rotește cu o viteză unghiulară medie pe un cercu al mișcării, $\omega_{1 \text{ med}}$; scările la care au fost reprezentate cele două plane sunt

$$\mu_{v \text{ med}} = \omega_{1 \text{ med}} \frac{(AB)}{(pb)} \mu_l , \quad (3.57)$$

$$\mu_{a \text{ med}} = \omega_{1 \text{ med}}^2 \frac{(AB)}{(\tilde{x} b)} \mu_l ,$$

în care $\mu_l = \frac{l_1}{(AB)} = \frac{l_2}{(BC)}$ este scara la care au fost reprezentate lungimile elementelor mecanismului în schema de calcul din fig. 3.14. Dacă în reprezentările din figurile 3.14 - 3.16, segmentele (AB), (pb) și (\tilde{x} b) se iau egale, rezultă

$$\mu_{v \text{ med}} = \omega_{1 \text{ med}} \mu_l , \quad (3.58)$$

$$\mu_{a \text{ med}} = \omega_{1 \text{ med}}^2 \mu_l .$$

În realitate însă manivela nu se rotește uniform. Dacă într-o poziție oarecare are viteză unghiulară momentană ω_1 , scările vitezelor și accelerăriilor sunt

$$\mu_v = \frac{\omega_1}{\omega_{1 \text{ med}}} \mu_{v \text{ med}} , \quad (3.59)$$

$$\mu_a = \frac{\omega_1^2}{\omega_{1 \text{ med}}^2} \mu_{a \text{ med}} .$$

Cu ajutorul expresiilor (3.59) și al planelor vitezelor și accelerăriilor, relația (3.56) devine

$$\frac{dm_{\text{nec}}}{ds} = \frac{2 \left[m_2 (\tilde{x} n) (nc_2) + \frac{J_2}{l_2^2} (bc)(mc) + m_3 (pc)(\tilde{x} c) \right]}{v_B^3} \mu_v / \mu_a . \quad (3.60)$$

Tinând seama de realitatea (3.60), expresiile (3.52) și (3.53) ale forței excentricare tangențiale se scriu

$$\Delta F^{T\max} = \frac{m_2 (\tilde{x} n) (nc_2) + \frac{J_2}{l_2^2} (bc)(mc) + m_3 (pc)(\tilde{x} c)}{v_{B\max}} \mu_{v\max} / \mu_{a\max} , \quad (3.61)$$

$$\Delta F^{T\min} = \frac{m_2 (\tilde{x} n) (nc_2) + \frac{J_2}{l_2^2} (bc)(mc) + m_3 (pc)(\tilde{x} c)}{v_{B\min}} \mu_{v\min} / \mu_{a\min} . \quad (3.62)$$

In expresiile factorilor de scară $\mu_{v_{max}}$, $\mu_{a_{max}}$, $\mu_{v_{min}}$, $\mu_{a_{min}}$ intervin valorile extreme corespunzătoare ale vitezei unghiulare ω_1 , respectiv ω_{1max} și ω_{1min} .

După cum se observă din expresia (3.51), forța excedentară tangențială depinde de poziție. Fie, de exemplu, ca pe parcursul unui ciclu al mișcării, forțele tangențiale motoare și rezistență să aibă variația din fig.3.17a. Forța excedentară tangențială ΔF^{τ} corespunzătoare s-a reprezentat în fig.3.17b.

Dacă masa redusă a agregatului de mașini ar fi constantă, atunci pozițiile în care punctul de reducere ar atinge viteza minimă și viteza maximă ar fi cele definite respectiv de arcele s_0 și s_1 . În cazul agregatului de mașini cu masă redusă variabilă, cele două poziții sunt decalate față de cele de mai sus.

Pentru determinarea lor exactă este necesar să se cunoască valorile ΔF^{τ}_{max} și ΔF^{τ}_{min} ale forței excedentare. Întrucât aceste valori însă nu sunt cunoscute, se recurge la artificiul introducerii a două funcții auxiliare de poziție s , având expresiile

$$\Delta F^{\tau}_{max}(s) = \frac{dm_{mec}}{ds} \frac{v_B^{max}}{2},$$

$$\Delta F^{\tau}_{min}(s) = \frac{dm_{mec}}{ds} \frac{v_B^{min}}{2}.$$

In fig.3.17b s-au reprezentat și aceste funcții. In expresiile lor intervine masa redusă a mecanismului ca funcție de poziție $m_{mec} = m_{mec}(s)$. Această dependență se poate stabili cunoscind structura geometrică a mecanismului, precum și masele și momentele de inerție ale elementelor componente. Din formulele lor de definiție rezultă că cele două funcții au valori proporționale în fiecare poziție a punctului de reducere, lucru care se poate observa și în fig.3.17b. Utilitatea introducerii acestor funcții auxiliare constă în faptul că în pozițiile în care viteza punctului de reducere atinge valorile extreme, aceste funcții au ca valori tocmai forțele excedentare respective, ΔF^{τ}_{max} și ΔF^{τ}_{min} . Aceste valori ale forței excedentare sunt, de asemenea, proporționale. Factorul lor de proporționalitate se poate determina din compararea expresiilor (3.61) și (3.62)

$$\frac{\Delta F^{\tau}_{max}}{\Delta F^{\tau}_{min}} = \frac{\frac{\mu_{v_{max}}}{\mu_{a_{max}}} \frac{v_B^{max}}{v_B^{min}}}{\frac{\mu_{v_{min}}}{\mu_{a_{min}}} \frac{v_B^{max}}{v_B^{min}}} = \left(\frac{1 + \frac{d}{2}}{1 - \frac{d}{2}} \right)^2, \quad (3.63)$$

unde $d = \frac{\omega_{1max} - \omega_{1min}}{\omega_{1med}}$ este coeficientul de neuniformitate al mișcării agregatului de mașini. Expresia (3.63) este importantă de-

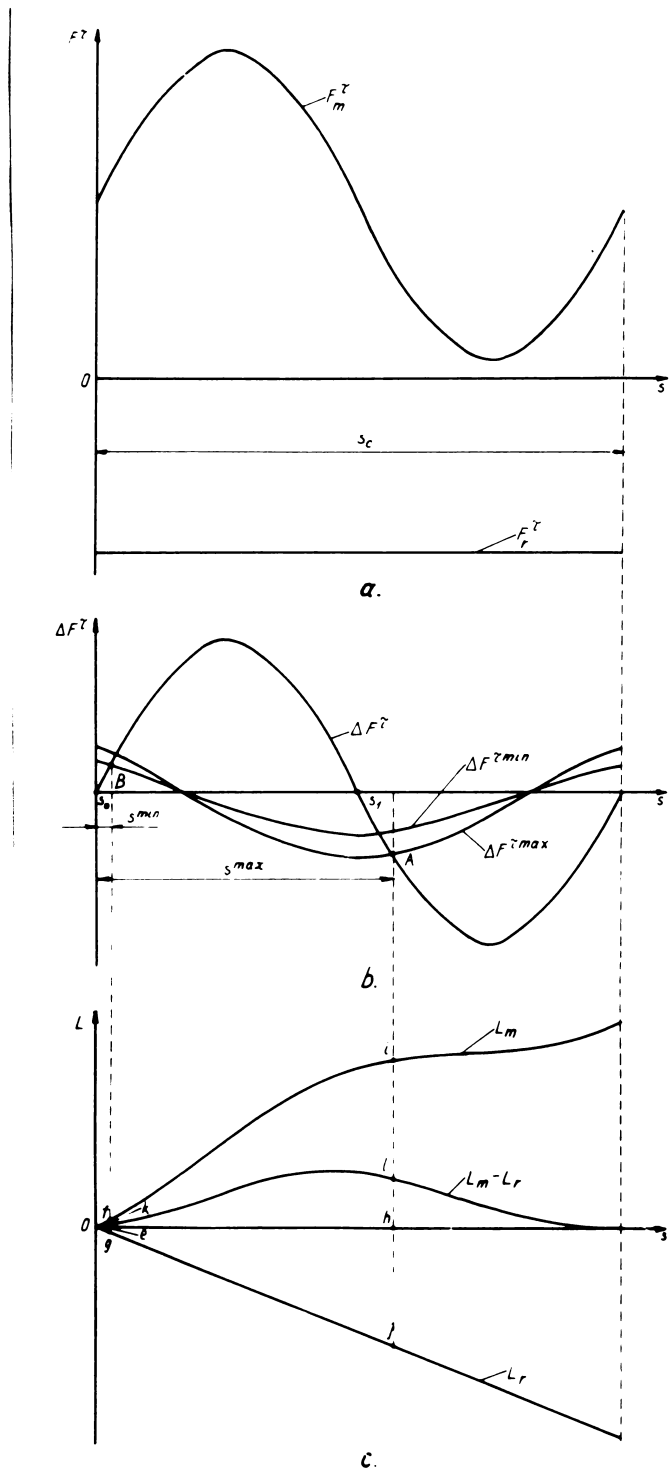


Fig. 3.17.

oarece în ea intervine coeficientul de neuniformitate al mișcării care este un parametru important și, de obicei, cunoscut al agregatului de mașini care urmează a fi prevăzut cu volant. Pe baza relației (3.63) este suficientă construirea graficului numai al uneia din funcțiile auxiliare $\Delta F^{\max}(s)$ sau $\Delta F^{\min}(s)$, graficul celeilalte obținindu-se din acesta prin proporționalitate.

După reprezentarea celor trei grafice (fig.3.17b), pozițiile în care viteza punctului de reducere are valori extreme se determină precis ca abscise ale punctelor de intersecție dintre curbele $\Delta F^{\max}(s)$,

$\Delta F^{\min}(s)$ și curba ΔF . Astfel, în fig.3.17b, aceste puncte sunt A și B; abscisa s^{\max} a punctului A corespunde poziției în care viteza este maximă, iar abscisa s^{\min} a punctului B, poziției în care viteza este minimă.

In sfîrșit, pentru determinarea masei reduse a volantului, se aplică teorema energiei cinetice în formă finită între aceste două puncte

$$(\frac{m_{\text{mec}} + m_{\text{vol}}}{2}) \frac{v_{B\max}^2}{2} - (\frac{m_{\text{mec}} + m_{\text{vol}}}{2}) \frac{v_{B\min}^2}{2} = L_m - L_r , \quad (3.64)$$

în care: m_{mec}^{\max} , m_{mec}^{\min} - masele reduse ale agregatului de mașini fără volant în pozițiile cu viteze extreme; L_m , L_r - lucrurile mecanice ale forțelor tangențiale motore și rezistență în deplasarea mecanismului între cele două poziții.

Din (3.64) rezultă masa redusă a volantului

$$m_{\text{vol}} = 2 \frac{L_m - L_r}{\frac{v_{B\max}^2 - v_{B\min}^2}{m_{\text{mec}}^{\max} - m_{\text{mec}}^{\min}}} = \frac{m_{\text{mec}}^{\max} v_{B\max}^2 - m_{\text{mec}}^{\min} v_{B\min}^2}{v_{B\max}^2 - v_{B\min}^2} . \quad (3.65)$$

În formula de mai sus, masele m_{mec}^{\max} și m_{mec}^{\min} se determină cu formula (3.55), în care lui v_B i se atribuie valorile extreme, iar lui v_{c2} , ω_2 și v_c , valorile corespunzătoare pozițiilor în care v_B este maximă, respectiv minimă.

Pentru evaluarea membrului drept din relația (3.64), în fig.3.17c s-au construit curbele $L_m(s)$ și $L_r(s)$. Din această figură rezultă

$$L_m - L_r = \{(h_i) - (e_f)\} - \{(a_j) - (e_g)\} / \mu_F / \mu_s , \quad (3.66)$$

în care μ_F și μ_s sunt scările de reprezentare ale forțelor tangențiale și arcului de cerc.

Tot în fig.3.17c s-a reprezentat și curba $L_m - L_r$. Cu ajutorul ei, relația (3.66) devine

$$L_m - L_r = [(h_i) - (e_k)] / \mu_L , \quad (3.67)$$

în care $\mu_L = \mu_F/\mu_l$ este scara de reprezentare a lucrului mecanic.

Dacă în expresia (3.65) se neglijeză al doilea termen, iar primul se scrie cu ajutorul coeicientului de neuniformitate al mișcării, atunci masa redusă a volantului capătă forma simplificată

$$m_{vol} = \frac{L_m - L_0}{\int v_{Bmed}^2}, \quad (3.68)$$

care este o formulă cunoscută în literatura de specialitate [20, 22], unde $v_{Bmed} \approx \frac{v_{Bmax} + v_{Bmin}}{2}$ este viteza medie a punctului de reducere, pe un ciclu al mișcării. Formula (3.65) este, desigur, mai precisă decât formula (3.68), datorită termenului al doilea. În legătură cu acest al doilea termen din expresia (3.65), încel intervine masa redusă a agregatului de mașini fără volant, în pozițiile în care viteza punctului de reducere are valori extreme, m_{mec}^{max} , m_{mec}^{min} . Acest termen se poate neglija dacă masa redusă a agregatului fără volant este neglijabilă sau, cel puțin, relativ mică în raport cu masa redusă a volantului. Această situație este destul de obișnuită în practică, decarece, în general, aceasta este condiția ca prezența volantului să se facă simțită în comportarea dinamică a agregatului.

După determinarea masei reduse a volantului, se determină momentul de inerție al volantului, redus la arborele motorului,

$$J_{vol} = l_1^2 m_{vol}.$$

In legătură cu indicii "max" și "min", se accentuează faptul că în notatiile v_{Bmax} , v_{Bmin} , ω_{lmax} , ω_{lmin} , ei atribuie mărimea respective semnificația de valori extreme, în schimb în notatiile $\Delta F^{\gamma max}$, $\Delta F^{\gamma min}$, m_{mec}^{max} , m_{mec}^{min} , s^{max} , s^{min} nu reprezintă valori extreme, ci valori corespunzătoare pozițiilor în care punctul de reducere B are viteze extreme. Pentru a nu crea confuzii între cele două situații, indicii "max" și "min" s-au amplasat în partea inferioară, respectiv superioară a notatiilor pe lină care stau.

• § 3.5. Determinarea momentului de inerție al volantului în casul unui agregat de mașini cu reductor de turatie și moment de inerție variabil. Se consideră un agregat de mașini având schema de calcul din fig.3.18, în care I este motorul electric de acționare, II este un reductor de turatie, III este mașina de lucru și IV este volantul.

Asupra elementelor componente ale agregatului se fac următoarele precizări:

Motorul electric este de tip asincron, acesta fiind tipul de mo-

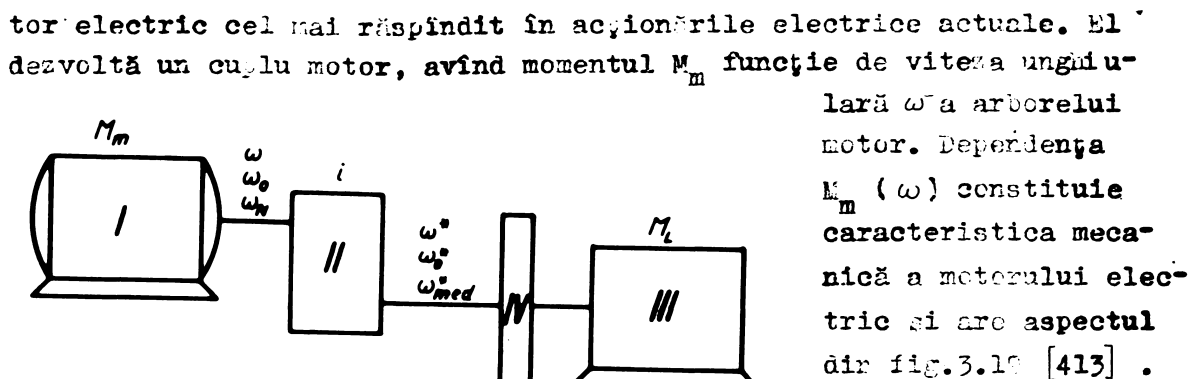


Fig. 3.18.

liniară. De aceea, în cele ce urmează, aceasta se va liniariza, mai ales că ecuația porțiunii de lucru liniarizate a caracteristicii mecanice se poate scrie pe baza datelor de catalog ale motorului electric.

Astfel, în orice catalog de motoare electrice se indică turăția de sincronism cu care se poate determina viteza unghiulară de sincronism ω_0 corespunzătoare punctului A, unde momentul motor este nul. De asemenea, se indică turăția nominală pe baza căreia se calculează viteza unghiulară nominală ω_N și se mai indică și momentul motor nominal M_m^N corespunzător punctului de funcționare nominală C al motorului (fig. 3.19). Scriind ecuația dreptei prin cele două puncte A și C, se obține ecuația porțiunii de lucru liniarizate a caracteristicii mecanice a motorului:

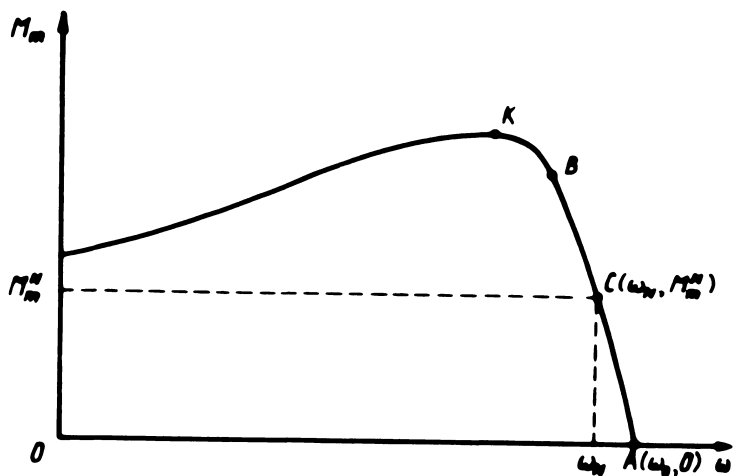


Fig. 3.19.

Reductorul de turăție II transmite mișcarea de la motorul electric la mașina de lucru, realizând un raport de transmisie 1,

$$M_m = -\frac{M_m^N}{\omega_0 - \omega_N} \omega + \frac{M_m^N \omega_0}{\omega_0 - \omega_N}. \quad (3.69)$$

Reductorul de turăție II transmite mișcarea de la motorul electric la mașina de lucru, realizând un raport de transmisie 1,

$$i = \frac{\omega}{\omega^*} = \frac{\omega_0}{\omega_0^*} = \frac{\omega_N}{\omega_N^*} , \quad (3.70)$$

în care ω^* - viteza unghiulară a arborelui mașinii de lucru, care constituie elementul de reducere pentru toți parametrii cinematici și dinamici care caracterizează mișcarea agregatului de mașini; ω_0^*, ω_N^* - viteza unghiulară de sincronism, respectiv viteza unghiulară nominală a motorului electric, reduse la arborele mașinii de lucru.

Deoarece randamentul reductoarelor de turăție este foarte ridicat, $\gamma = 96\text{-}98\%$, se va presupune că puterea motorului electric se transmite integral prin reductorul de turăție la mașina de lucru. Astfel, puterea motorului electric care se aplică la intrarea în reductorul de turăție este $P = M_m \omega$, iar puterea la ieșirea din reductorul de turăție este $P^* = M_m^* \omega^*$, în care M_m^* este momentul motor redus la arborele mașinii de lucru; din egalitatea $P=P^*$, rezultă

$$i = \frac{M_m^*}{M_m} . \quad (3.71)$$

Evident, relația este valabilă și în cazul puterii nominale a motorului electric, deci

$$i = \frac{M_m^N}{M_m} . \quad (3.72)$$

M_m^N fiind momentul nominal al motorului electric, redus la arborele mașinii de lucru.

Mașina de lucru III este un utilaj industrial. În procesul tehnologic pe care îl realizează, apare un moment rezistent M_L care în multe cazuri practice (mașini de rabotat, transportoare vibrante, utilaje automatizate din industria ușoară etc.) este o funcție periodică de poziția elementului executor, deci de unghiul de rotație θ al arborelui mașinii de lucru, $M_L = M_L(\theta)$. Pentru realizarea procesului tehnic cîruiua fi este destinată mașina de lucru, unele piese ale acestaia execută mișcări în care își modifică poziția față de arborele mașinii, ceea ce face ca o parte J a momentului de inerție redus al mașinii de lucru să fie funcție periodică de unghiul θ , $J = J(\theta)$, cu aceeași perioadă unghiulară θ_T , ca și momentului rezistent M_L .

Volantul IV este plasat pe arborele mașinii de lucru și are momentul de inerție J_v care trebuie să fie determinat, astfel încît coeficientul de neuniformitate δ al mișcării [20, 22] să nu depășească valoarea prescrisă.

Regimul de funcționare periodic al mașinii de lucru face ca și vi-

teza unghiulară ω^* să varieze periodic între o valoare minimă ω_{\min}^* și una maximă ω_{\max}^* , și anume $\omega_{\min}^* \approx (1 - \frac{f}{2}) \omega_{\text{med}}^*$, $\omega_{\max}^* \approx (1 + \frac{f}{2}) \omega_{\text{med}}^*$ [20,22], în care ω_{med}^* este valoarea medie a vitezei unghiulare ω^* , pe parcursul unei perioade unghiulare θ_T . Scriind teorema energiei cinetice pentru mișcarea agregatului de mașini între poziția θ^{\min} în care viteza unghiulară este minimă și poziția θ^{\max} în care viteza unghiulară este maximă, se obține

$$(J_C + j^{\max}) \frac{\omega_{\max}^{*2}}{2} - (J_C + j^{\min}) \frac{\omega_{\min}^{*2}}{2} = L^{\min-\max}, \quad (3.73)$$

în care: $J_C = J_V + J_{ca}$ - partea constantă a momentului de inerție redus al agregatului de mașini, incluzând momentul de inerție al volanțului J_V și momentul de inerție J_{ca} al celorlalte componente ale agregatului de mașini cu momentul de inerție constant (rotorul motorului electric, reductorul de turatie, o parte a mașinii de lucru); j^{\min} și j^{\max} - valorile lui j , respectiv în pozițiile θ^{\min} și θ^{\max} ; $L^{\min-\max}$ - lucrul mecanic total în mișcarea agregatului de mașini între pozițiile θ^{\min} și θ^{\max} .

Tinând seama de expresiile valorilor extreme ale vitezei unghiulare, rezultă pentru momentul de inerție al volanțului expresia

$$J_V = \frac{1}{\delta \omega_{\text{med}}^{*2}} L^{\min-\max} - J_{ca} - \frac{1}{8} (j^{\max} - j^{\min}) \frac{4 + f^2}{f} - \frac{1}{2} (j^{\max} + j^{\min}). \quad (3.74)$$

In expresia găsită pentru momentul de inerție al volanțului intervin ca mărimi cunoscute coeficientul de neuniformitate al mișcării f care este impus, viteza unghiulară medie $\omega_{\text{med}}^* = \frac{\omega_{\max}^* + \omega_{\min}^*}{2}$ a elementului de reducere și J_{ca} care se poate calcula folosind parametrii geometrici constructivi ai agregatului de mașini. Mai trebuie determinat lucrul mecanic total $L^{\min-\max}$ și valorile j^{\min} și j^{\max} . Pentru acestea trebuie găsite pozițiile θ_m și θ_M în care viteza unghiulară are extremitate, și, corespunzătoare lor, valorile j^{\min} și j^{\max} , dependenți de $j(\theta)$ fiind cunoscute.

Pentru determinarea valorilor θ^{\min} și θ^{\max} se scrie pentru mișcarea agregatului de mașini teorema energiei cinetice în formă diferențială:

$$dE_C = dL. \quad (3.75)$$

Aici, E_C este energia cinetică a agregatului de mașini, $E_C = \frac{J \omega^*^2}{2}$, în care J este momentul de inerție al întregului agregat de mașini, redus la arborele mașinii de lucru; decarece atât J cât și ω^* sint funcții de unghiul θ , rezultă că și energia cinetică a agregatului de

mașini este funcție de ω . Tot în ecuația (3.75), dL este lucrul mecanic elementar, $dL = (M_m^* - M_L)d\theta$. Cu aceste precizări, ecuația (3.75) devine

$$d\left(\frac{J\omega^*}{2}\right) = (M_m^* - M_L)d\theta, \quad (3.76)$$

sau

$$\omega_m^* = M_L + \frac{d}{d\theta} \left(\frac{J\omega^*}{2} \right). \quad (3.77)$$

Relația (3.77) reprezintă dependența momentului motor redus de unghiul θ de rotație al arborelui mașinii de lucru; într-adevăr, M_L , J și ω^* fiind funcții periodice de θ , cu aceeași perioadă unghiulară θ_T , rezultă că și M_m^* este o funcție periodică de θ , cu perioada unghiulară θ_T . Tot din analiza relației (3.77) rezultă că momentul motorului electric trebuie să acopere atât momentul rezistent M_L al mașinii de lucru, cum este cazul la agregatele de mașini cu moment de inerție constant, cit și o componentă suplimentară datorată faptului că momentul de energie este variabil cu poziția; în unele poziții însă, această componentă devine negativă și ajută astfel motorul.

In orice caz, membrul drept al ecuației (3.77) va fi considerat ca momentul rezistent total,

$$M_{rez} = M_L + \frac{d}{d\theta} \left(\frac{J\omega^*}{2} \right)$$

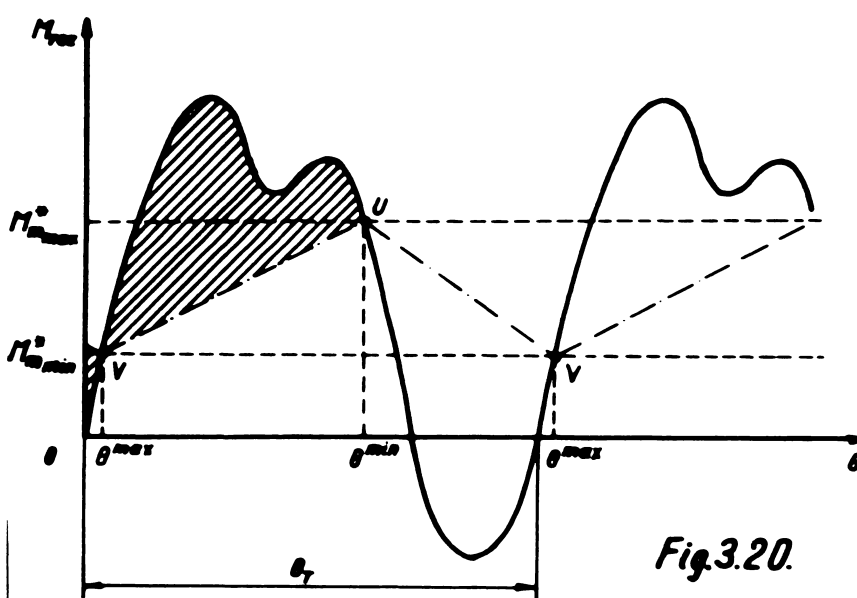


Fig.3.20.

și, așa cum s-a arătat, el este o funcție periodică de θ . Fie ca dependența lui de θ să aibă aspectul din fig.3.20 (curba trăsă cu linii continue).

Datorită faptului că porțiunea liniarizată AB a caracteristicii mecanice a motorului electric (fig.3.19) are panta negativă, rezultă că în poziția θ^{max} în care viteza unghiulară redusă este maximă,

ω^{*}_{max} , momentul motor redus este minim, M_{mmin}^* și evident, în poziția θ^{min} în care viteza unghiulară redusă este minimă, ω^{*}_{min} , momentul motor redus este maxim, M_{mmax}^* . De asemenea, în aceste poziții în care viteza unghiulară are extreme, accelerația unghiulară redusă $\frac{d\omega^*}{dt}$ este nulă.

Tinind seama de aceste observații, în pozițiile amintite, ecuația (3.77) devine:

$$M_{m\max}^* = M_L^{\min} + \frac{\omega_{\min}^2}{2} \left(\frac{dJ}{d\theta} \right)_{\theta=\theta^{\min}}, \quad (3.78)$$

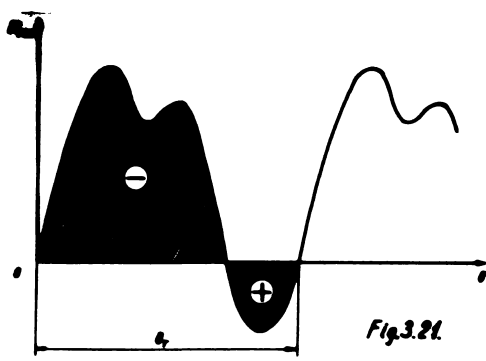
$$M_{m\min}^* = M_L^{\max} + \frac{\omega_{\max}^2}{2} \left(\frac{dJ}{d\theta} \right)_{\theta=\theta^{\max}}, \quad (3.79)$$

în care M_L^{\max} și M_L^{\min} sunt valorile momentului rezistent al mașinii de lucru în pozițiile θ^{\max} și θ^{\min} .

Ecuatiile (3.78) și (3.79) sunt acelea care permit determinarea pozițiilor θ^{\max} și θ^{\min} ale agregatului de mașini în care viteza unghiulară are extreame. Astfel, de exemplu, membrul drept al ecuației (3.78) reprezintă ordinata punctului U de pe curba momentului rezistent total (fig.3.20), egală, conform ecuației, cu valoarea maximă $M_{m\max}^*$ a momentului motor redus; după cum s-a arătat mai sus, valoarea maximă a momentului motor îi corespunde viteza unghiulară minimă; astfel, abscisa punctului U trebuie să fie valoarea unghiului θ^{\min} ; în mod analog, cu ajutorul ecuației (3.79) se determină valoarea θ^{\max} ca abscisă a punctului V.

Pentru aplicarea acestei metode la determinarea lui θ^{\max} și θ^{\min} este necesară construirea curbei momentului rezistent total M_{rez} , în funcție de θ , (fig.3.20), care apare în membrul drept al ecuației (3.77). Acest lucru este posibil deoarece din funcționarea mașinii de lucru se cunoaște dependența momentului ei rezistent în funcție de poziție, $M_L(\theta)$, iar din construcția mașinii se cunoaște momentul de inerție relativ ca funcție de θ , $J(\theta)$; pentru viteza unghiulară redusă care intervine și ea în expresia momentului rezistent total nu se cunoaște dependența ei de θ , dar se cunosc valorile extreme ω_{\min}^* și ω_{\max}^* și atunci, pentru construcția curbei din fig.3.20, se poate lua pentru ω^* valoarea ei medie ω_{med}^* .

Tot pentru folosirea ecuațiilor (3.78) și (3.79) la determinarea valorilor θ^{\max} și θ^{\min} mai sunt necesare și valorile extreme $M_{m\min}^*$, $M_{m\max}^*$ ale momentului motor redus. Pentru determinarea acestora trebuie mai întâi să fie ales motorul electric de acționare. Evaluarea puterii necesare a motorului electric se face pe baza puterii medii pe o perioadă θ_T , absorbite de agregatul de mașini $P = \frac{L_{rez} \omega_{med}^*}{\theta_T}$, în care L_{rez} este lucrul mecanic al momentului rezistent total pe parcursul unei perioade, egal cu aria delimitată de curba momentului rezistent total, luată cu sensul corespunzător (fig.3.21). Din catalogul de motoare electrice se alege un motor având puterea nominală P_N egală cu puterea P determinată mai sus. Cum însă motoarele electrice se produc în game de puteri standardizate, numai cu totul întimplător se poate găsi un motor cu puterea egală cu cea necesară. De aceea, din



catalog se alege un motor electric avind puterea nominală imediat mai mare decât cea necesară. Motorul electric astfel ales cu o putere mai mare decât cea necesară va antrena agregatul de mașini cu o viteză unghiulară

medie ω_{med}^{*} mai mare decât cea dată. Evident, și valorile extreme ale vitezei unghiulare reduse care intervin în ecuațiile (3.78) și (3.79) se vor majora la valorile $\omega_{\min}^{*} \approx (1 - \frac{\delta}{2}) \omega_{\text{med}}^{*}$ și $\omega_{\max}^{*} \approx (1 + \frac{\delta}{2}) \omega_{\text{med}}^{*}$.

Revenind la determinarea valorilor extreme ale momentului motor redus, se porneste de la ecuația (3.69) a caracteristicii mecanice liniarizate a motorului electric, care însă trebuie să ea să fie redusă la arborele mașinii de lucru, care constituie elementul de reducere pentru tot agregatul de mașini. Tinând seama de relațiile de reducere (3.70) - (3.72), ecuația (3.69) devine

$$M_m^* = - \frac{M_m^{N*}}{\omega_0^* - \omega_N^*} \omega^* + \frac{M_m^{N*} \omega_0^*}{\omega_0^* - \omega_N^*}. \quad (3.80)$$

Din punct de vedere al turăției motorului electric ales, este de dorit ca viteză unghiulară nominală redusă a acestuia, ω_N^* să fie egală cu viteză unghiulară medie ω_{med}^* a arborelui mașinii de lucru. Astfel, ecuația caracteristicii mecanice reduse a motorului electric se mai poate scrie

$$M_m^* = - \frac{M_m^{N*}}{\omega_0^* - \omega_{\text{med}}^*} \omega^* + \frac{M_m^{N*} \omega_0^*}{\omega_0^* - \omega_{\text{med}}^*}. \quad (3.81)$$

Alegerea unui motor electric cu puterea nominală imediat mai mare decât cea calculată conduce la valori momentane ale momentului motor redus M_m^{*} și ale vitezei unghiulare ω^* , de asemenea mai mari decât cele calculate; viteză unghiulară de sincronism rămâne însă aceeași, decarece ea nu depinde de puterea motorului electric, ci de numărul de perechi de poli ai infășurării statorice a motorului ($\omega_0 = \frac{\pi}{30} \frac{3000}{p}$, în care p este numărul de perechi de poli); evident, motorul electric astfel ales va avea și momentul motor majorat. Tinând seama de aceste observații, ecuația (3.81) a caracteristicii mecanice reduse a motorului electric ales din catalog capătă

forma

$$M_m^{*'} = \frac{L_m^{N*'}}{\omega_0^* - \omega_{med}^{*'}} \omega^{*'} + \frac{L_m^{N*'} \omega_0^*}{\omega_0^* - \omega_{med}^{*'}} . \quad (3.82)$$

Introducind în ecuația (3.82) ncile valori extreme majorate ω_{min} și ω_{max} ale vitezei unghiulare, vor rezulta valorile extreme ale momentului motor:

$$M_m^{*'}_{max} = \frac{\omega_0^* - \omega_{min}}{\omega_0^* - \omega_{med}^{*'}} L_m^{N*'} , \quad (3.83)$$

$$M_m^{*'}_{min} = \frac{\omega_0^* - \omega_{max}}{\omega_0^* - \omega_{med}^{*'}} L_m^{N*'} . \quad (3.84)$$

In sfîrșit, pentru calculul volantului cu formula (3.74), mai este necesar să se determine lucrul mecanic total $L^{min-max}$ în mișcarea agregatului de mașini între pozițiile θ^{min} și θ^{max} . Pentru aceasta, trebuie observat faptul că în fig.3.20, punctele U și V sunt puncte de extrem ale curbei momentului motor redus, M_m^* ca funcție de poziția θ a agregatului de mașini; această dependență nu este cunoscută, dar unind punctele U și V cu segmente de dreaptă (représentate cu linie-punct în fig.3.20) se obține o reprezentare liniarizată a curbei $M_m^*(\theta)$. Rezultă că diferența dintre ariile delimitate de curba momentului rezistent total și cea a momentului motor (suprafața nașurată din fig.3.20), reprezintă tocmai lucru mecanic total $L^{min-max}$ în mișcarea agregatului de mașini între pozițiile θ^{min} și θ^{max} .

Dupa ce s-au determinat toate mărimele care intervin în relația (3.74) de calcul a momentului de încrucișare al volantului, mai trebuie făcute unele observații. Astfel, în urma calculului momentului motor maxim cu formula (3.83), poate rezulta o valoare egală sau mai mare decât momentul critic al motorului electric, adică momentul corespunzător punctului K de pe caracteristica mecanică a motorului electric (fig.3.19), în care funcționarea motorului este instabilă. În această situație va trebui să se aleagă un alt motor electric, care la aceeași putere, să aibă o viteză unghiulară de sincronism ω_0^* mai mare ca a motorului electric necorespunzător; în acest fel, diferența $\omega_0^* - \omega_{med}^{*'}$ va fi mai mare și astfel va rezulta un moment motor maxim mai mic. Nouă motor electric însă, având porțiunea de lucru a caracteristicii mecanice cu o pantă mai moale, înseamnă că va avea un răncuire mai scăzut ca vechiul motor electric.

De asemenea, valoarea momentului motor minim calculată cu formula (3.84) ar putea rezulta negativă dacă viteză unghiulară maximă $\omega_{max}^{*'}$ ar depăși valoarea vitezei unghiulare de sincronism ω_0^* a

motorului electric. În acest caz va trebui să se adopte pentru agregatul de mașini o viteză unghiulară maximă mai mică, fapt care va conduce și la un coeiccient de neuniformitate al mișcării și mai mic decât cel presupus inițial. Această intervenție va avea ca rezultat și necesitatea unui volant cu moment de inerție mai mare [formula (3.74)].

In concluzie trebuie subliniat faptul că un agregat de mașini are momentul de inerție variabil, trebuie să fie luat în considerare la calculul momentului de inerție al volantului dacă momentul suplimentar $\frac{d}{d\theta} \left(\frac{J \omega^2}{2} \right)$ care apare din acest motiv, are valoare comparabilă cu momentele exterioare aplicate agregatului de mașini (momentul motorului electric, momentul rezistent al mașinii de lucru).

Se observă, de asemenea, că această metodă de calcul a volantului este valabilă și în cazul în care din structura agregatului de mașini lipsește reductorul de turatie.

CAP.4. PROBLEME ALE DINAMICII AGREGATELOR DE MASINI CU VARIATOR DE TURATIE

§ 4.1. Ecuatia diferențială a mișcării unui agregat de mașini cu variator de turatie. În agregatele de mașini din industrie la care se pune problema reglării continue și în limite largi a turatiei, se recurge la folosirea variatoarelor de turatie. Acestea sunt dispozitive mecanice sau hidraulice care, în cadrul unui agregat de mașini se plasează între motorul electric de acionare și mașina de lucru și permit reglarea raportului de transmisie a mișcării după legea cerută de procesul tehnologic căruia îi este destinat agregatul de mașini.

In paragraful de față se stabilește ecuația diferențială a mișcării unui agregat de mașini echipat cu variator de turatie. Pentru aceasta se consideră schema de calcul din fig.4.1, în care I este motorul electric de acionare, II este variatorul de turatie, iar III este mașina de lucru. La această schemă de calcul se reduce majoritatea agregatelor de mașini cu variator de turatie

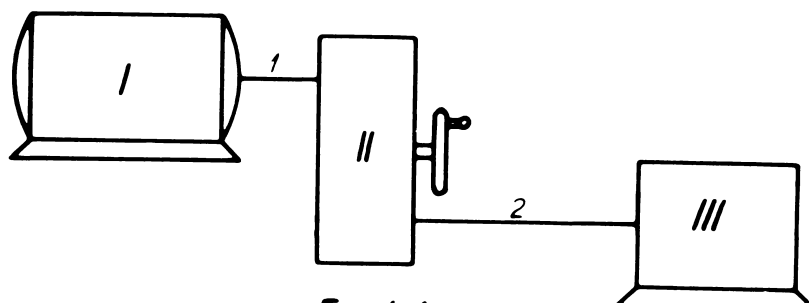


Fig.4.1

întâlnite în practică.

Se introduc următoarele notări: θ_1 - unghiul de rotație al arborelui conducător 1 ; θ_2 - unghiul de rotație al arborelui condus 2 ; $\omega_1 = \dot{\theta}_1$, $\omega_2 = \dot{\theta}_2$ - vitezele unghiulare ale arborilor respectivi; J_1 - momentul de inerție al tuturor elementelor de la motorul electric pînă la arborele conducător al variatorului de turatie inclusiv, reduse la arborele 1; J_2 - momentul de inerție al tuturor elementelor situate după arborele conducător al variatorului de turatie, pînă la mașina de lucru inclusiv, reduse la arborele 2.

Motorul electric poate fi de orice tip, avînd caracteristica mecanică exprimată sub forma momentului motor M_m ca funcție de viteză unghiulară $M_m = M_m(\omega_1)$.

Mașina de lucru introduce un moment rezistent M_r , care, în majoritatea agregatelor de mașini în care se folosesc variatoare de tur-

tie, este constant. Uneori, momentul rezistent este funcție de unghiul de rotație al arborelui mașinii de lucru, $M_r = M_r(\theta_2)$.

Variatorul de turărie realizează raportul de transmisie necesar

$$i = \frac{\omega_1}{\omega_2}. \quad (4.1)$$

Raportul de transmisie se va considera în continuare o funcție de timp independentă cunoscută, $i=i(t)$. Condiția ca raportul de transmisie să fie o funcție de timp independentă, presupune ca acțiunile de reglare ale variatorului de turărie să nu afecteze cu nimic viteza unghiulară a arborelui conducător, respectiv a motorului electric de acționare. Practic, această condiție se poate realiza prin reglarea manuală a variatorului de turărie sau prin reglarea automată cu ajutorul unui servomotor auxiliar. În cazul comandării variatorului de turărie cu ajutorul motorului principal de acționare, pentru respectarea condiției de mai sus, motorul electric trebuie să fie de tip sincron deoarece la acesta viteza unghiulară este strict constantă în orice condiții sau poate să fie de orice tip dacă puterea folosită pentru comandă reprezintă o fracțiune mică din puterea totală a motorului electric de acționare.

În privința variatorului de turărie se fac următoarele ipoteze: raportul de transmisie nu este influențat de sarcină, adică de momentul rezistent; între elementele variatorului de turărie nu există alunecări care ar modifica în mod necontrolabil raportul de transmisie; elementele variatorului de turărie sunt perfect rigide deoarece deformațiile lor elastice ar duce și ele la mici modificări ale raportului de transmisie.

Prezența variatorului de turărie în agregatul de mașini complică și înțitor studiul comportării dinamice a agregatului. În primul rînd, spre deosebire de agregatele de mașini fără variator de turărie, unde pentru studiul dinamic, masele și forțele se reduc la un singur arbore, de obicei arborele motorului, în cazul agregatului de mașini cu variator de turărie, reducerea trebuie să fie făcută la doi arbori conducător și condus. Relația dintre mișcările celor doi arbori este dată de raportul de transmisie realizat de variatorul de turărie, $i = i(t)$, astfel că acesta trebuie privit ca o legătură. Aceasta este tocmai principala particularitate a agregatelor de mașini cu variator de turărie, faptul că această legătură este neolonomă și deci, deducerea ecuației diferențiale a mișcării nu se poate face cu ajutorul ecuațiilor lui Lagrange de speță a II-a, ci cu alte metode mai dificile, cum ar fi ecuațiile lui Lagrange cu multiplicatori nedeterminate.

minăi sau ecuațiile lui Appell.

Prezența legăturii neolonomice este aceea care obligă reducerea tuturor maselor și forțelor la doi arbori și nu la unul, fiindcă efectuarea reducerii maselor și forțelor prin legătura neolonomă este greșită.

Cu aceste precizări se trece la stabilirea ecuației diferențiale $\dot{\varphi}_j$ a agregatului de mașini cu variator de turatie, cu ajutorul celor două metode amintite mai sus.

4.1.1. Aplicarea ecuațiilor lui Lagrange cu multiplicatori neterminate la stabilirea ecuației de miscare a unui agregat de mașini cu variator de turatie. Aceste ecuații sunt de forma [390]

$$\sum_{j=1}^n \left(\dot{\Phi}_j + \sum_{k=1}^n \lambda_k a_{kj} \right) \dot{q}_j = 0, \quad (4.2)$$

la care se adaugă ecuațiile legăturilor

$$\sum_{j=1}^n a_{kj} \ddot{q}_j + a_k = 0, \quad (k=1,2,\dots,m) \quad (4.3)$$

în care : $\dot{\Phi}_j$ - rezultantele forțelor generalizate direct aplicate și de inerie; λ_k - multiplicatorii lui Lagrange; q_j - coordonatele generalizate; \dot{q}_j - deplasări virtuale compatibile cu legăturile; a_{kj} , a_k - coeficienți, funcții de coordonatele generalizate și de timp; n - numărul coordonatelor generalizate; m - numărul legăturilor.

In cazul problemei studiate, se iau θ_1 și θ_2 drept coordonate generalizate, deci $n=2$, iar legătura este una singură ($m=1$) și este dată de raportul de transmisie,

$$i(t) = \frac{\theta_1}{\theta_2}. \quad (4.4)$$

Comparind expresia generală (4.3) a legăturii cu expresia concretă (4.4), rezultă pentru coeficienții a_{kj} și a_k , următoarele valori: $a_{11}=1$, $a_{12}=-i$, $a_1=0$.

Astfel, sistemul de ecuații (4.2), (4.3) devine:

$$(M_m - J_1 \ddot{\theta}_1 + \lambda_1) \dot{\theta}_1 + (-M_r - J_2 \ddot{\theta}_2 - \lambda_1 i) \dot{\theta}_2 = 0, \quad (4.5)$$

$$\dot{\theta}_1 - i \dot{\theta}_2 = 0. \quad (4.6)$$

Ecuația (4.2) trebuie să fie satisfăcută pentru orice valori ale multiplicatorilor lui Lagrange. Se aleg însă în așa fel valorile multiplicatorilor, încit parantezele care înmulțesc deplasările virtuale să fie nule:

$$\begin{aligned} M_m - J_1 \ddot{\theta}_1 + \lambda_1 &= 0, \\ M_r + J_2 \ddot{\theta}_2 + \lambda_1 i &= 0. \end{aligned} \quad (4.7)$$

Eliminînd multiplicatorul λ_1 din cele două ecuații (4.7), rezultă

$$J_2\ddot{\theta}_2 + iJ_1\ddot{\theta}_1 = iM_m - M_r . \quad (4.8)$$

Tinînd seama de relația de legătură (4.6), rezultă ecuația diferențială a mișcării agregatului de mașini cu variator de turatie, în raport cu unghiul de rotație al arborelui condus:

$$(J_1i^2 + J_2)\ddot{\theta}_2 + J_1ii\dot{\theta}_2 = iM_m - M_r . \quad (4.9)$$

Evident, ecuația se scrie în mod analog și în raport cu unghiul de rotație al arborelui conductor.

4.1.2. Aplicarea ecuațiilor lui Appell la stabilirea ecuației de mișcare a unui agregat de mașini cu variator de turatie. Aceste ecuații sint de forma [310]

$$\frac{\partial A}{\partial \ddot{q}_j} = Q_j , \quad (j = 1, 2, \dots, n-m) \quad (4.10)$$

în care A este "energia de accelerare",

$$A = \frac{1}{2} \sum_{j=1}^n m_j \ddot{q}_j^2 , \quad (4.11)$$

m_j fiind masele generalizate, iar Q_j forțele generalizate. Ecuațiile (4.10) li se adaugă și aici ecuațiile (4.3) ale legăturilor, care trebuie să fie numai neclonome.

Păstrînd aceleasi coordonate generalizate de la metoda precedentă, energia de accelerare devine:

$$A = \frac{1}{2} (J_1\ddot{\theta}_1^2 + J_2\ddot{\theta}_2^2) . \quad (4.12)$$

Se scriu atîtea ecuații de tipul (4.10) cîte grade de libertate are sistemul. În cazul studiat, cele două coordonate generalizate, fiind legate prin ecuația legăturii (4.6), numai una din ele este independentă și deci sistemul are un singur grad de libertate. Se va lăsa θ_2 drept cooronață independentă și se va scrie, în consecință, o singură ecuație diferențială, în raport cu această cooronață ($j=2$).

Tinînd seama de relația (4.6), energia de accelerare capătă forma

$$A = \frac{1}{2} \left[J_1(i\theta_2 + i\ddot{\theta}_2)^2 + J_2\ddot{\theta}_2^2 \right] . \quad (4.13)$$

Pentru determinarea forței generalizate Q_2 , se dă sistemului o deplasare virtuală compatibilă cu legătura, în care forțele exterioare efectuează lucrul mecanic elementar virtual dL . Atunci,

$$Q_2 = \frac{dL}{d\theta_2} = \frac{M_m d\theta_1 - M_r d\theta_2}{d\theta_2} . \quad (4.14)$$

Din relația (4.4) rezultă $d\theta_1 = id\theta_2$, astfel că din relația (4.14) se obține

$$Q_2 = iM_m - M_r . \quad (4.15)$$

Efectuind operațiile din ecuația (4.10) și ținând seama de expresia (4.15), se obține ecuația diferențială a mișcării agregatului de mașini cu variator de turatie,

$$(J_1 i^2 + J_2) \ddot{\theta}_2 + J_1 i i \dot{\theta}_2 = i M_m - M_r ,$$

care se observă că este identică cu ecuația (4.9), obținută cu ajutorul ecuațiilor lui Lagrange cu multiplicatori nedeterminate.

Aplicând ecuațiile lui Lagrange de spătă a II-a, se obține următoarea ecuație diferențială a mișcării (deducerea ei nu se reproduce aici, fiind cea obișnuită):

$$(J_1 i^2 + J_2) \ddot{\theta}_2 + 2J_1 i i \dot{\theta}_2 = i M_m - M_r . \quad (4.16)$$

Așa cum s-a arătat, folosirea ecuațiilor lui Lagrange de spătă II-a este incorectă în acest caz, ele fiind aplicabile numai la sistemele cu legături olonome. Într-adevăr, se constată în ecuația (4.16) un coeficient de amortizare dublu față de cel din ecuația (4.9). Această eroare este deosebit de gravă mai ales cind se pune problema proiectării unui variator de turatie, decarece, luând în calcul un coefficient de amortizare dublu față de cel real, în variator se vor produce fenomene tranzitorii mult mai violente decât cele prevăzute prin calcul, fapt care poate duce la distrugerea mecanismului.

De altfel, și în literatura de specialitate [31] se întîlnesc ecuații analoge cu ecuația (4.9).

§ 4.2. Determinarea legii de reglare a raportului de transmisie al variatorului de turatie într-un agregat de mașini, în cazul unei diafragme de sarcină liniare. Se consideră un agregat de mașini având structura din fig.4.1 .

Ecuația diferențială a mișcării agregatului de mașini prevăzut cu variator de turatie este cea din paragraful precedent,

$$(J_1 i^2 + J_2) \frac{d\omega}{dt} + J_1 i \frac{di}{dt} \omega = M_m i - M_r , \quad (4.17)$$

în care: J_1 - momentul de inerție al rotorului motorului electric și a părții conducătoare a variatorului de turatie reduse la arborele de intrare al variatorului; J_2 - momentul de inerție al mașinii de lucru și al părții conduse a variatorului de turatie, reduse la arborele de ieșire al variatorului; $i = \frac{\omega_1}{\omega}$ - raportul de transmisie al variatorului de turatie, ω_1 și ω fiind vitezele unghiulare, respectiv a arborelui conducerător și a arborelui condus; M_m - momen-

produs de
tul motorului electric; M_r - momentul rezistent al mașinii de lucru.

In lucrarea [29] s-a determinat legea de reglare a raportului de transmisie al variatorului de turatie care asigura o viteza unghiulara constanta a arborelui condus, in conditiile in care momentul motor este o functie liniara de viteza unghiulara a arborelui conducator, iar momentul rezistent este constant.

In acest paragraf se considera aceiasi problema pentru cazul cind momentul motor este constant $M_m = M_N$, unde M_N este momentul nominal al motorului electric, iar momentul rezistent este o functie liniara de pozitia arborelui condus, $M_r = k\theta$, unde $\theta = \omega t$ este unghiul de rotatie al acestui arbore, iar k este un coefficient de proportionalitate.

Tinand seama ca scopul reglarii variatorului de turatie este menținerea unei viteze unghiulare constante, $\omega = \omega_0$, ecuația de miscare (4.17) devine

$$J_1 i \omega_0 \frac{di}{dt} = M_N i - k \omega_0 t, \quad (4.18)$$

In care functia necunoscuta este raportul de transmisie $i = i(t)$. Ecuația (4.18) se poate transforma intr-o ecuație diferențială cu variabilele separabile prin intermediul schimbării de functie [333]

$$i = tz, \quad (4.19)$$

unde z este noua functie necunoscuta. Operind substitutia (4.19) si separind variabilele, ecuația (4.18) capata forma

$$-\frac{1}{t} \frac{dz}{dt} = \frac{s}{z^2 - \frac{M_N}{J_1 \omega_0} z + k} dz. \quad (4.20)$$

Integrala membrului drept depinde de natura radacinilor trinomului de gradul doi de la numitor. Casul in care radacinile sunt imaginare nu se da in considerare deoarece, din relatia (4.19) ar rezulta si raportul de transmisie tot imaginari, ceea ce nu are sens. De aceea, se studiază cazul radacinilor reale si distinse. Dacă $z_1 > z_2 > 0$ sunt aceste radacini, integrind membru cu membru ecuația (4.20) se obine [365] :

$$\ln \frac{1}{t} + A = \ln \frac{(z - z_1)^{\frac{z_1}{z_1 - z_2}}}{(z - z_2)^{\frac{z_1}{z_1 - z_2}}}, \quad (4.21)$$

unde A este constanta de integrare.

Nevenind la raportul de transmisie prin intermediul substitutiei (4.19), din ecuația (4.21) rezultă

$$\frac{\frac{z_1}{z_1 - z_2}}{(i - z_1 t)} = B, \quad (4.22)$$

$$\frac{\frac{z_1}{z_1 - z_2}}{(i - z_2 t)} \quad \quad \quad$$

în care B este noua constantă de integrare. Pentru determinarea constantei de integrare se pune condiția inițială la $t=0$, $i=i_0$, unde $i_0 = \frac{\omega_1}{\omega_0}$. Această condiție inițială presupune că la momentul inițial de la care se studiază mișcarea, arborele condus al variatorului de turatie avea viteza unghiulară ω_0 , care în continuare, trebuie să fie menținută constantă. Introducind condiția inițială în ecuația (4.22) rezultă $B=i_0$ și deci

$$\frac{\frac{z_1}{z_1 - z_2}}{(i - z_1 t)} = i_0. \quad (4.23)$$

$$\frac{\frac{z_1}{z_1 - z_2}}{(i - z_2 t)} \quad \quad \quad$$

Ecuția (4.23) reprezintă legea de reglare căutată a raportului de transmisie al variatorului de turatie, care asigură viteza unghiulară constantă a arborelui condus. Sub forma (4.23) însă este dificil să se facă un studiu calitativ al legii de reglare. De aceea, pentru a se obține o formă mai simplă, se recurge la transformarea liniară

$$\begin{aligned} i - z_1 t &= \alpha, \\ i - z_2 t &= \beta. \end{aligned} \quad (4.24)$$

Tinând seama de (4.24), relația (4.23) capătă forma

$$\beta = i_0 - \frac{z_1}{z_2} \alpha \frac{z_1}{z_2}. \quad (4.25)$$

Așind în vedere că s-a presupus $z_1 > z_2 > 0$, rezultă că ecuația (4.25) definește o curbă cu caracter de parabolă; de asemenea, întrucât o transformare liniară nu are influență calitativă asupra funcției căreia îi este aplicată, înseamnă că și dependența $i=i(t)$ se prezintă tot ca o parabolă.

Așadar, în condițiile menționate, pentru asigurarea unei viteză unghiulară constante a arborelui condus al variatorului de turatie, legea de reglare a raportului de transmisie trebuie să fie parabolică.

I trebuie remarcat faptul că panta k a diagramei de sarcină are o importanță importantă asupra rezultatelor. Astfel, dacă panta k este mică, tinsind către zero, din (4.20) rezultă $z_1 \approx 0$ și $z_2 \approx \frac{J_N}{J_1 \omega}$.

Introducind aceste valori în legea de reglare (4.23), aceasta capătă forma

$$i = i_0 + z_2 t . \quad (4.26)$$

Rezultă că în cazul unui moment rezistent cu o variație foarte lentă, pentru menținerea unei viteze unghiulare constante a arborelui condus al variatorului de turăție, legea de reglare a raportului de transmisie, în conformitate cu relația (4.26), trebuie să fie liniară.

In general însă, momentul rezistent al mașinii de lucru dintr-un agregat de mașini poate să varieze după o lege oarecare, diferită de cea liniară. În acest caz, studiul se poate face liniarizând pe porțiuni, adică împărțind diagrama de sarcină în intervale suficient de mici, astfel încât pe parcursul intervalelor respective, momentul rezistent să poată fi considerat ca liniar. Pe un interval oarecare, pentru momentul rezistent se ia expresia

$$M_r = k\theta + l , \quad (4.27)$$

în care l este valoarea momentului rezistent de la sfârșitul intervalului anterior. Faptul că în expresia momentului rezistent a apărut termenul constant l , nu aduce nici o schimbare calitativă a procedurii expuse mai sus.

In privința reglării raportului de transmisie al variatorului după o lege parabolică în timp, aceasta se poate realiza, mai ales în cazul unei diagrame de sarcină neliniare dar liniarizate pe porțiuni, numai prin comandă automată cu ajutorul unui calculator de proces.

§ 4.3. Comportarea variatorului de turăție ca un sistem de urmărire automată într-un agregat de mașini. În acest paragraf, pentru un agregat de mașini cu variator de turăție, în casul unei legi liniare de reglare a raportului de transmisie și al unei variații liniare a momentului rezistent, se determină legea de mișcare a arborelui condus al variatorului de turăție și se stabilește o analogie între comportarea variatorului în agregat și un sistem de urmărire automată.

Se consideră agregatul de mașini având structura din fig.4.1.

Ecuația diferențială a mișcării agregatului de mașini este cea dedusă în paragraful 4.1, analogă cu ecuația întilnită în lucrarea [28]

$$(J_1 i^2 + J_2) \frac{d^2\theta}{dt^2} + J_1 i \frac{di}{dt} \frac{d\theta}{dt} = M_m i - M_r , \quad (4.28)$$

unde: J_1 - momentul de inerție rezultat prin reducerea la arborele conducător al variatorului de turăție a roterului motorului electric și a elementului conducător al variatorului; J_2 - momentul de inerție obținut prin reducerea la arborele condus al variatorului de turăție a părții conduse a variatorului și a mașinii de lucru; $i = \frac{\omega_1}{\omega_2}$ - raportul de transmisie al variatorului de turăție, ω_1 și ω_2 fiind vitezele unghiulare ale celor doi arbori; θ - unghiul de rotație al

arborelui condus al variatorului; M_m - momentul motor produs de motorul electric; M_r - momentul rezistent al masinii de lucru.

Asupra parametrilor agregatului de masini se fac următoarele precizări:

Momentele de inerție J_1 și J_2 sunt constante. Raportul de transmisie este o funcție liniară de timp

$$i = a + bt, \quad (4.29)$$

a fiind valoarea inițială a raportului de transmisie, iar b panta (fig.4.2).

Momentul motor este constant, iar momentul rezistent este o funcție liniară de poziție,

$$M_r = p + q\theta, \quad (4.30)$$

unde p și q sunt constante pozitive. Dacă momentul rezistent nu este o funcție liniară de poziție, studiul se poate face liniarizând pe porțiuni diaograma de sarcină.

Introducând expresiile (4.29) și (4.30) în ecuația diferențială (4.28), aceasta devine

$$\left[J_1(a+bt)^2 + J_2 \right] \frac{d^2\theta}{dt^2} + J_1 b(a+bt) \frac{d\theta}{dt} + q\theta = M_{m1}(a+bt) - p. \quad (4.31)$$

Ecuția diferențială (4.31) se poate apăra la o integrare analitică exactă prin intermediul schimbării de variabilă [14]

$$a + bt = \frac{1}{n} \sin z, \quad (4.32)$$

unde z este noua variabilă, iar $n = \sqrt{\frac{J_1}{J_2}}$. Cu ajutorul acestei schimbări de variabilă, din ecuația (4.31) dispare termenul care conține derivata de ordinul întâi. Introducând și notatiile $\frac{q}{b^2 J_2} = \Omega^2$,

$$\frac{M_{m1}}{b^2 J_2} = F, \quad \frac{p}{b^2 J_2} = r, \text{ ecuația (4.31) capătă forma}$$

$$\frac{d^2\theta}{dz^2} + \Omega^2 \theta = F \frac{\sin z}{n} - r. \quad (4.33)$$

Soluția generală a ecuației (4.33) este

$$\theta = A \cos \Omega z + B \sin \Omega z + F \frac{\sin z}{(\Omega^2 + n^2)n} - \frac{r}{\Omega^2}. \quad (4.34)$$

Revenind la variabila t prin intermediu substituției (4.32),

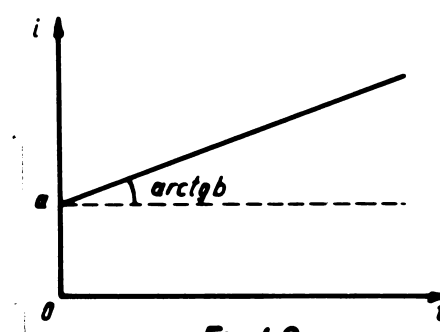


Fig.4.2

devine

$$\theta = A \cos \left[\frac{\Omega}{n} \arg \sin(a+bt) \right] + B \sin \left[\frac{\Omega}{n} \arg \sin(a+bt) \right] + \\ + F \frac{a+bt}{\Omega^2+n^2} - \frac{x}{\Omega^2}. \quad (4.35)$$

Constantele de integrare A și B se determină din condițiile initiale, $t=0$, $\theta = \theta_0$, $\omega_2 = \omega_{20}$, unde

$$\omega_2 = \frac{d\theta}{dt} = - b \frac{\Omega}{\sqrt{1+n^2(a+bt)^2}} \left\{ A \sin \left[\frac{\Omega}{n} \arg \sin(a+bt) \right] - \right. \\ \left. - B \cos \left[\frac{\Omega}{n} \arg \sin(a+bt) \right] \right\} + F \frac{b}{\Omega^2+n^2}. \quad (4.36)$$

Punind condițiile initiale, rezultă constantele de integrare

$$A = \left(\frac{x}{\Omega^2} - F \frac{a}{\Omega^2+n^2} + \theta_0 \right) \cos \left(\frac{\Omega}{n} \arg \sin(a) \right) - \\ - \frac{\sqrt{1+n^2a^2}}{\Omega} \left(\frac{\omega_{20}}{b} - F \frac{1}{\Omega^2+n^2} \right) \sin \left(\frac{\Omega}{n} \arg \sin(a) \right), \quad (4.37)$$

$$B = \left(\frac{x}{\Omega^2} - F \frac{a}{\Omega^2+n^2} + \theta_0 \right) \sin \left(\frac{\Omega}{n} \arg \sin(a) \right) + \\ + \frac{\sqrt{1+n^2a^2}}{\Omega} \left(\frac{\omega_{20}}{b} - F \frac{1}{\Omega^2+n^2} \right) \cos \left(\frac{\Omega}{n} \arg \sin(a) \right). \quad (4.38)$$

Introducind constantele de integrare în expresia (4.35) și revenind la notările initiale, se obține

$$\theta = K \sin \left[\frac{1}{b} \sqrt{\frac{q}{J_1}} \arg \sin \sqrt{\frac{J_1}{J_2}} (a+bt) + \psi \right] - \frac{p}{q} + \\ + (a+bt) \frac{\frac{M_m}{q+b^2J_1}}{q+b^2J_1}, \quad (4.39)$$

unde $K = \sqrt{A^2 + B^2}$ și $\tan \psi = \frac{A}{B}$.

Legea de mișcare $\theta = \theta(t)$ a elementului condus al variatorului de turăție este reprezentată în fig.4.3.

Comparind legile de variație (4.29) și (4.39) și diagramele corespunzătoare din figurile 4.2 și 4.3, se poate afirma că în condițiile stabilite, adică atunci cînd momentul motor este constant, iar momentul rezistent este o funcție liniară de poziție, în cadrul agregatului de magini, variatorul de turăție se comportă ca un sistem de urmărire automată. Într-adevăr, folosind terminologia din automată, un sistem de urmărire automată primește la intrare o anumită mărimie pe care o transformă într-un anumit mod, caracterizat prin funcția sa de transfer și o furnizează apoi la ieșire (fig.4.4). Dacă sis-

temul de urmărire este ideal, nu introduce nici un fel de eroare, adică transformă mărimea de intrare în strictă conformitate cu funcția sa de transfer:

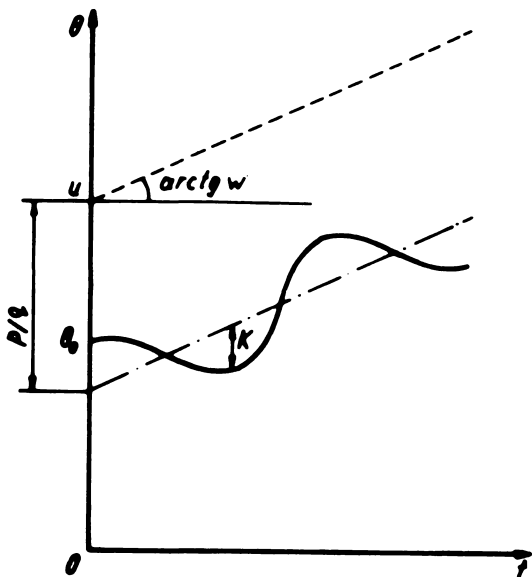


Fig. 4.3.

$$\text{mărimea de ieșire} = \text{mărimea de intrare} \times \text{funcția de transfer.} \quad (4.40)$$

Dacă în membrul drept al ecuației (4.40) mai intervin și alți termeni, aceștia constituie eroarea sistemului de urmărire automată.

Revenind la relațiile (4.29) și (4.39), pentru variatorul de turăție se poate face schema din fig.4.5, în care mărimea de intrare este raportul de transmisie, iar mărimea de ieșire este unghiul de rotație al arborelui condus.

Funcția de transfer o constituie constanta $\frac{M_m}{q+b^2 J_1}$.

Dacă în relația (4.39) ar figura numai ultimul termen din membrul drept care, asa cum s-a arătat mai sus reprezintă mărimea de intrare ($a+bt$) multiplicată cu funcția de transfer ($\frac{M_m}{q+b^2 J_1}$),

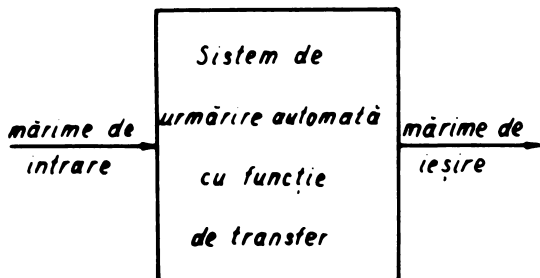


Fig. 4.4.

variatorul de turăție s-ar comporta ca un sistem de urmărire ideal. În afară de acest termen însă, în ecuația (4.39) mai apare termenul constant ($-\frac{p}{q}$) care, pentru faptul că este constant se numește eroare statică și termenul sinusoidal cu amplitudinea K , și cu "perioada" funcție de timp, care fiind variabil, se numește eroarea dinamică a sistemului de urmărire automată.

In fig.4.3 s-a reprezentat cu linie intreruptă variația mărimi de ieșire θ , neafectată de erorile sistemului de urmărire automată, și cu linie continuă, variația reală. S-au făcut notațiile $u = a + \frac{M_m}{q+b^2 J_1}$ și



Fig. 4.5.

BUPT

$$w = b \frac{M_m}{q + b^2 J_1} .$$

§ 4.4. Determinarea randamentului mecanic al unor agregate de mașini cu structură complexă, conținând variatoare de turatie și volanți. În acest paragraf de încheiere a părții teoretice a tezei se tratează problema determinării randamentului transmitemi energiei cinetice în cîteva tipuri de agregate de mașini în a căror componentă, pe lîngă elementele de bază, motorul electric de acționare și mașina de lucru, mai intră volanți și transmisii complexe formate din couple hidraulice și electromagnetice, cutii de viteze și variatoare de turatie.

Problema determinării randamentului mecanic global al agregatelor de mașini complexe aşa cum se întâlnesc în industria modernă, deși prezintă importanță atât teoretică cât și practică (din punct de vedere economic), se constată că în literatura de specialitate este total neglijată. De aceea s-a considerat ca oportun studiul întreprins în acest paragraf .

Se consideră întîi un agregat de mașini cu schema de calcul din fig.4.6, în care I este motorul electric de acționare, II este cutia de viteze, III este variatorul de turatie, IV este volantul, V este mașina de lucru.

Motorul electric este de tip asincron și funcționează în regim nominal, adică se rotește cu viteza unghiulară nominală ω_N și produce cuplul nominal de moment M_N (fig.4.6).

Cutia de viteze modifică în trepte viteza unghiulară a motorului electric. Atunci cînd cutia de viteze este cuplată în treapta de viteză j, momentul și viteza unghiulară arborele condus al cutiei de viteze sunt M_{lj} , respectiv ω_{lj} (fig.4.6) și

$$M_{lj} \omega_{lj} = \eta_{cvj} M_N \omega_N , \quad (4.41)$$

unde η_{cvj} este randamentul cutiei de viteze în treapta j de viteză.

Acest randament este funcție de viteza unghiulară a arborelui conductor al cutiei de viteze care, în schema din fig.4.6 este viteza unghiulară nominală a motorului electric, ω_N . Dependența randamentului cutiei de viteze de viteza unghiulară a arborelui conductor, pentru fiecare treaptă de viteze , ar trebui să figureze în cartea tehnică a fiecărei cutii de viteze. În caz contrar, această dependență se poate stabili experimental cu un stand avînd structura din fig.4.7. Acesta este compus din motorul electric I, care este de curent continuu, cu posibilitatea reglării în limite largi a vitezei unghiu-

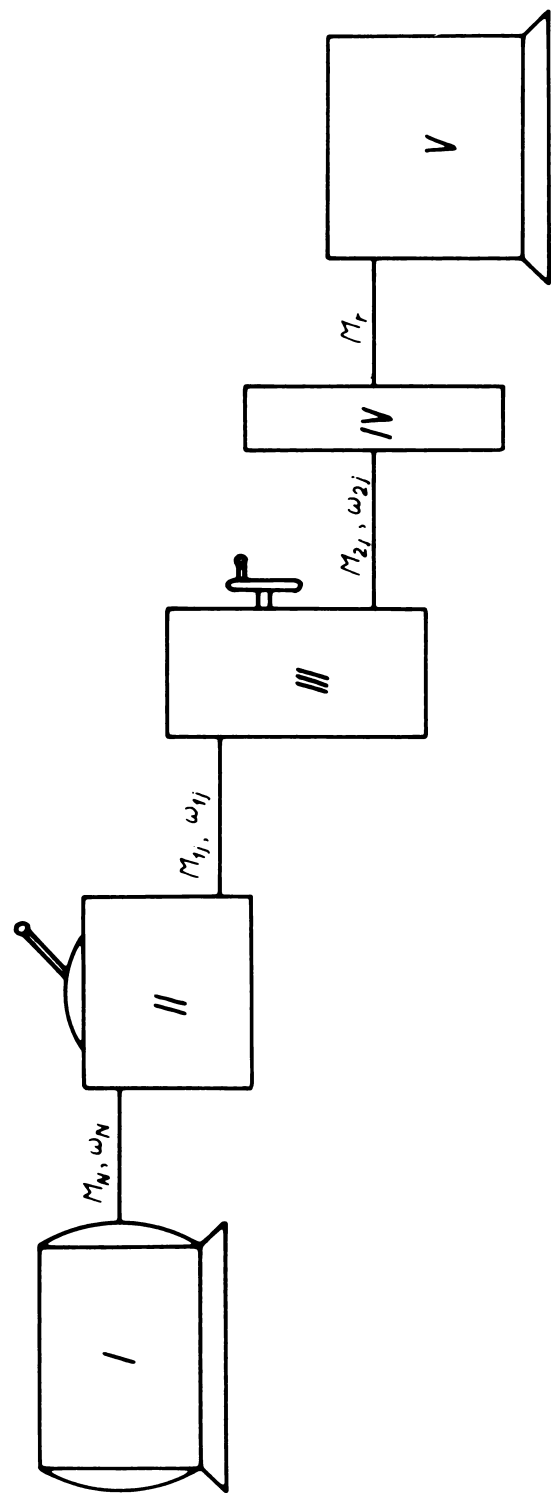


Fig. 46.

lare ω_m ; arborele motorului constituie arborele conducer al cutiei

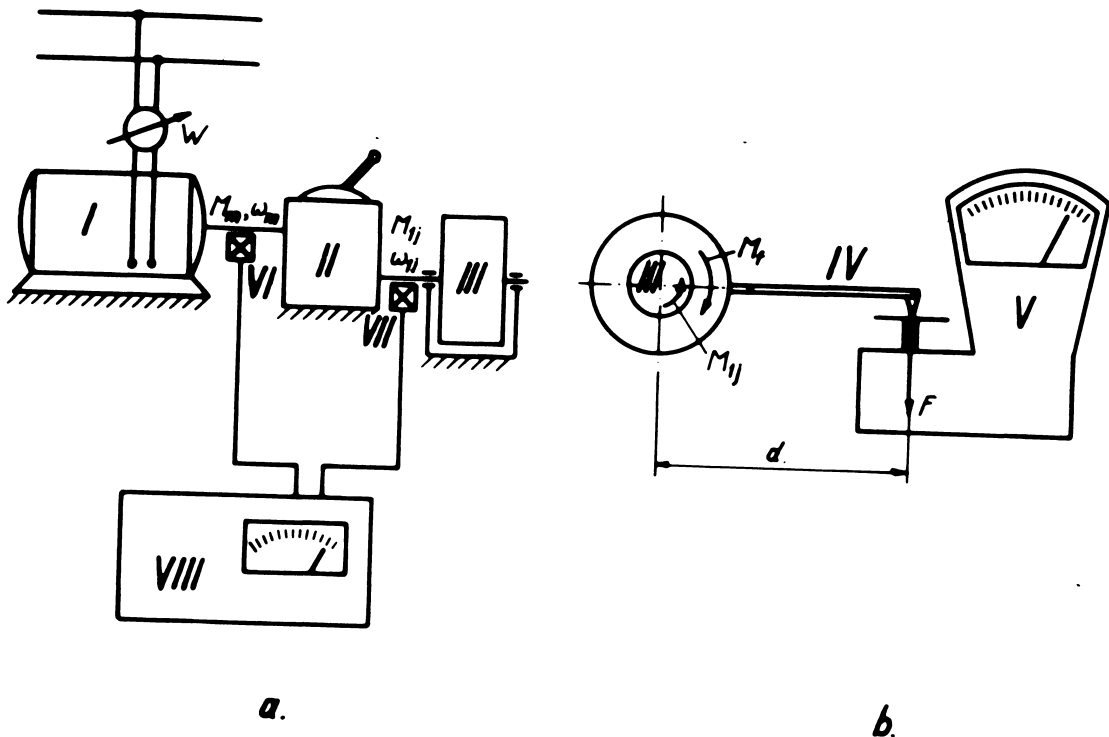


Fig. 4.7.

de viteze III; pe arborele condus al cutiei de viteze se află o frână electromagnetică III, prevăzută cu dispozitiv de măsurare a momentului de frânare. În vedere axială, frâna electromagnetică este reprezentată schematic în fig. 4.7.b. În principiu, ea este o mașină electrică rotativă la care atât rotorul cât și statorul se pot rota liber în jurul axului mașinii. De statorul frânei se fixează pîrghia IV și căreia capăt spăsă pe platanul cînterului V; caștanul acestuia este etalonat în unități de moment [N.m]. Funcționarea frânei este următoarea: rotorul frânei este întrenat în treapta de viteză j cu viteza unghiulară ω_{1j} de către arborele condus al cutiei de viteze, cu momentul M_{1j} . Din interacțiunea cîmpului electromagnetic rotitor al rotorului cu cîmpul electromagnetic al statorului care este și el alimentat cu curent electric, apare un moment M_f , momentul de frânare, care trebuie să rotească statorul în sens invers față de rotor. În felul acesta, pîrghia IV apără cu o forță $F = M_f/d$ pe platanul cînterului. Aceasta măsoară de fapt forță F dar, cum s-a arătat, indică pe caștan direct momentul de frânare M_f , în conformitate cu relația de mai sus. La rîndul lui, momentul de frânare M_f este egal în mărimi cu momentul M_{1j} care întrenă rotorul. Stîndul mai este prevăzut

cu traductorii de turăție inductivi VI și VII conectați la turometrul electronic VII, cu care se măsoară, respectiv, vitezele unghiulare ω_m și ω_{lj} . De asemenea, pentru măsurarea puterii electrice P_e absorbite de motor de la rețea, este montat wattmetrul W.

Rendamentul cutiei de viteze, într-o treaptă de viteză j , este, în conformitate cu relația (4.41),

$$\gamma_{cvj} = \frac{M_{lj} \omega_{lj}}{M_m \omega_m}, \quad (4.41')$$

în care M_m este momentul motor dezvoltat de motorul electric. În expresia (4.41') produsul $M_m \omega_m$ reprezintă de fapt puterea la arborele motorului, $P_m = M_m \omega_m$. Ea se determină din relația

$$P_m = P_e \gamma_m, \quad (4.41'')$$

unde γ_m este rendamentul motorului electric, care figurează în mod obligatoriu printre datele de catalog ale acestuia. Tinând seama de cele de mai sus, expresia (4.41') a rendamentului devine

$$\gamma_{cvj} = \frac{M_f \omega_{lj}}{P_e \gamma_m}. \quad (4.41''')$$

Mersul determinărilor experimentale este următorul:

- Se cuplează treapta de viteze j la cutia de viteze.
- Se regleză viteză unghiulară a motorului ω_m , la valoarea minimă, care se citește la turometrul VIII.
- Se citesc valorile corespunzătoare ω_{lj} la turometrul VIII, M_f la cîntarul V și P_e la wattmetrul W.
- Se calculează γ_{cvj} cu formula (4.41''') și se obține astfel un punct al caracteristicii $\gamma_{cvj} = \gamma_{cvj}(\omega_m)$.
- Se procedează similar pentru valori tot mai mari ale lui ω_m , pînă la acoperirea întregului domeniu de valori ale lui ω_m care interesează.
- Se trasează caracteristica rendamentului cutiei de viteze în treapta j de viteză, $\gamma_{cvj} = \gamma_{cvj}(\omega_m)$.

Între două trepte de viteză ale cutiei de viteze, viteză unghiulară se regleză continuu prin intermediul variatorului de turăție. Rendamentul variatorului de turăție depinde de viteză unghiulară de intrare ω_{lj} și de raportul de transmisie i :

$$\gamma_{vj} = \gamma_{vj}(\omega_{lj}, i). \quad (4.42)$$

El se determină cu același stand experimental din fig.4.7, în care,

în locul cutiei de viteze se montează variatorul de turătie. În cursul determinărilor experimentale, prima operațiune, similară cuplării treptei de viteze j la cutia de viteze, va fi stabilirea unui anumit raport de transmisie i la variator. Determinările se efectuează, după metodica expusă, pentru valori crescătoare ale raportului de transmisie, pînă la epuizarea totală a întregii plaje de reglare a raportului de transmisie al variatorului. Se obține astfel o familie de curbe $\eta_{vj} = \eta_{vj}(\omega_{1j})$, avînd ca parametru de familie raportul de transmisie i.

Momentul și viteza unghiulară la arborele condus al variatorului de turătie sînt (fig.4.6)

$$M_{2j} \omega_{2j} = \eta_{vj}(\omega_{1j}, i) M_{1j} \omega_{1j} \quad (4.43)$$

în care

$$i = \frac{\omega_{1j}}{\omega_{2j}} \quad (4.44)$$

In relația (4.43), viteza unghiulară ω_{2j} se măsoară cu un turometru electronic ca în fig. 4.7, iar momentul M_{2j} , cu o frînă electromagnetică, de asemenea, ca în fig.4.7.

Pe arborele condus al variatorului, beneficiind de o viteză unghiulară reglabilă în trepte, iar între trepte reglabilă continuu, se află montată mașina de lucru (fig.4.6) care crează cuplul rezistent de moment M_r și volantul prin a cărui prezență se limitează gradul de neuniformitate al mișcării.

Rândamentul transmisiei agregatului de mașini este

$$\eta = \frac{E_c}{L} \quad (4.45)$$

în care E_c este energia cinetică transmisa mașinii de lucru și volantului pe perioada accelerării pînă la viteza unghiulară de regim, iar L este lucrul mecanic efectuat de motorul electric în acest scop.

Energia cinetică are expresia

$$E_c = \sum_{j=1}^n M_{2j} \theta_{2j} - M_r \sum_{j=1}^n \theta_{2j} \quad (4.46)$$

în care θ_{2j} este unghiul parcurs de mașina de lucru și de volant pe parcursul mișcării în treapta j de viteză, iar n este numărul treptelor cutiei de viteze.

În ecuația (4.43) rezultă

$$M_{2j} = \eta_{vj}(\omega_{1j}, i) \frac{M_{1j} \omega_{1j}}{\omega_{2j}} \quad (4.47)$$

Scriind teorema energiei cinetice pentru mișcarea mașinii de lucru și volantului între treptele de viteză $j-1$ și j , se obține

$$J \frac{\omega_{2j}^2}{2} - E_{cj-1} = (M_{2j} - M_r) \theta_{2j} . \quad (4.48)$$

unde J este momentul de inerție al volantului, momentul de inerție redus al mașinii de lucru fiind în general neglijabil față de cel al volantului.

Din ecuația (4.48) rezultă

$$\omega_{2j} = \sqrt{\frac{2(M_{2j} - M_r)}{J} \theta_{2j} + \frac{2E_{cj-1}}{J}} . \quad (4.49)$$

Tinând seama de relațiile (4.44), (4.47) și (4.49) energia cinetică (4.46) devine

$$E_c = \sum_{j=1}^n \eta_{vj} \left(\omega_{1j} \cdot \sqrt{\frac{\omega_{1j}}{\frac{2(M_{2j} - M_r)}{J} \theta_{2j} + \frac{2E_{cj-1}}{J}}} \right) \cdot \frac{\frac{M_{1j} \omega_{1j}}{\sqrt{\frac{2(M_{2j} - M_r)}{J} \theta_{2j} + \frac{2E_{cj-1}}{J}}}}{\theta_{2j} - M_r \sum_{j=1}^n \theta_{2j}} . \quad (4.50)$$

Lucrul mecanic efectuat de motorul electric este

$$L = M_N \theta_1 = M_N \omega_N t^x , \quad (4.51)$$

unde θ_1 este unghiul de rotație al arborelui motorului electric pe perioada accelerării mașinii de lucru, iar t^x este durata accelerării.

Tinând seama de relațiile (4.41), (4.50) și (4.51), randamentul mecanic al transmisiei agregatului de mașini, în conformitate cu expresia (4.45), capătă forma

$$\eta = \frac{\sum_{j=1}^n \eta_{ovj} \eta_{vj} \left[\omega_{1j} \cdot \sqrt{\frac{\omega_{1j}}{\frac{2(M_{2j} - M_r)}{J} \theta_{2j} + \frac{2E_{cj-1}}{J}}} \right]}{t^x} \cdot \frac{1}{\sqrt{\frac{2(L_{2j} - M_r)}{J} \theta_{2j} + \frac{2E_{cj-1}}{J}}} - \frac{M_r}{M_N \omega_N t^x} \sum_{j=1}^n \theta_{2j} \quad (4.52)$$

Unghiul θ_{2j} parcurs de mașina de lucru în treapta de viteză j , care intervine în expresia de mai sus a randamentului se determină cu ajutorul unui turometru electronic înregistrator; el furnizează o înregistrare pe care se poate număra numărul n_j de rotații făcute de arborele mașinii de lucru pe intervalul de timp cît a durat mișcarea în treapta de viteză j , astfel încât, evident, $\theta_{2j} = 2\pi n_j$ [rad].

Se consideră acum un agregat de mașini având schema de calcul din fig.4.8.

Motorul electric I acționează direct mașina de lucru II și volantul III cu momentul de inerție J_1 , făcă de care momentul de inerție redus al mașinii de lucru și al motorului electric sunt neglijabile. Volantul III, prin intermediul unei cupluri cu slunecare (hidraulică sau electromagnetică) IV, antrenează în mișcare de rotație un al doilea volant V, cu momentul de inerție J_2 . Prin cuplarea cuplei cu slunecare, al doilea volant este accelerat pînă cînd viteza lui unghiulară devine egală cu cea a primului volant. În momentul egalării vitezelor unghiulare, cupla se decouplează. Atunci cînd viteza unghiulară a volantului III scade sub cea a volantului V, cupla se couplează automat și volantul V restituie astfel energia sa cinetică sistemului principal, pînă la reegrilarea vitezelor unghiulare cînd cupla se decouplează din nou.

Prin urmare, cupla se couplează automat atît cînd $\omega_1 > \omega_2$, cît și cînd $\omega_1 < \omega_2$, adică ori de câte ori apare o viteza unghiulară relativă între semicuple, indiferent de sensul ei. Astfel volantul V funcționează ca recuperator de energie cinetică. În acest agregat de mașini, în afară de arbori care sunt rigizi, singurul element special al transmisiiei este cupla cu slunecare, plasată între cei doi volanți. Rândamentul transmisiiei în acest caz este

$$\eta = \frac{\Delta E_{c_2}}{\Delta E_{c_1}}, \quad (4.53)$$

unde ΔE_{c_2} este creșterea energiei cinetice a celui de al doilea volant, iar ΔE_{c_1} este energia cinetică consumată de primul volant pentru accelerarea volantului al doilea.

Creșterea energiei cinetice a volantului al doilea este

$$\Delta E_{c_2} = J_2 \frac{\omega_3^2 - \omega_2^2}{2}, \quad (4.54)$$

în care ω_2 este viteza unghiulară a acestui volant în momentul cuplării cuplei cu slunecare, iar ω_3 este viteza unghiulară comună pentru ambii volanți, în momentul egalării vitezelor unghiulare.

Energia cinetică consumată de primul volant este

$$\Delta E_{c_1} = J_1 \frac{\omega_1^2 - \omega_3^2}{2}. \quad (4.55)$$

unde ω_1 este viteza unghiulară a primului volant în momentul cuplării couplei.

Scriind teorema conservării momentului cinetic din momentul cuplării pînă în momentul decuplării couplei cu alunecare, se obține

$$J_1 \omega_1 + J_2 \omega_2 = (J_1 + J_2) \omega_3. \quad (4.56)$$

de unde rezultă

$$\omega_3 = \frac{J_1 \omega_1 + J_2 \omega_2}{J_1 + J_2}. \quad (4.57)$$

Tinînd seama de relațiile (4.54), (4.55) și (4.57), randamentul (4.53) capătă expresia:

$$\eta = \frac{J_2 (J_1 \omega_1 + J_2 \omega_2)^2 - J_2 \omega_2^2 (J_1 + J_2)^2}{J_1 \omega_1^2 (J_1 + J_2)^2 - J_1 (J_1 \omega_1 + J_2 \omega_2)^2}. \quad (4.58)$$

In cazul particular în care cei doi volanți au același moment de inertie ($J_1 = J_2$), iar volantul al doilea se află în repaus în momentul cuplării couplei ($\omega_2=0$), din formula (4.58) rezultă $\eta = 0,33$.

Randamentul mecanic global al agregatului de mașini se obține înmulțind randamentul η al transmisiei dat de formula (4.58), cu randamentul mașinii de lucru.

In încheiere se consideră agregatul de mașini cu schema de calcul din fig.4.9, în care I este motorul electric de acționare funcționînd în regim nominal, II este cutia de viteze, III este o cuplă cu alunecare hidraulică sau electromagnetică, IV este volantul cu moment de inertie foarte mare J, față de care momentul de inertie redus al mașinii de lucru V este neglijabil.

Randamentul couplei cu alunecare atunci cînd în cutia de viteze este cuplată treapta de viteză j și cupla funcționează cu alunecare pînă la egalarea vitezelor unghiulare ω_{1j} și ω_{2j} ale semicuplelor, este

$$\eta_{caj} = \frac{E_{c_{2j}}}{L_{1j}}. \quad (4.59)$$

unde $E_{c_{2j}}$ este energia cinetică furnizată volantului și mașinii de lucru în treapta de viteză j, din momentul cuplării couplei, pînă în momentul egalării vitezelor unghiulare ale semicuplelor, iar L_{1j} este lucrul mecanic efectuat de semicupla conducătoare în același interval.

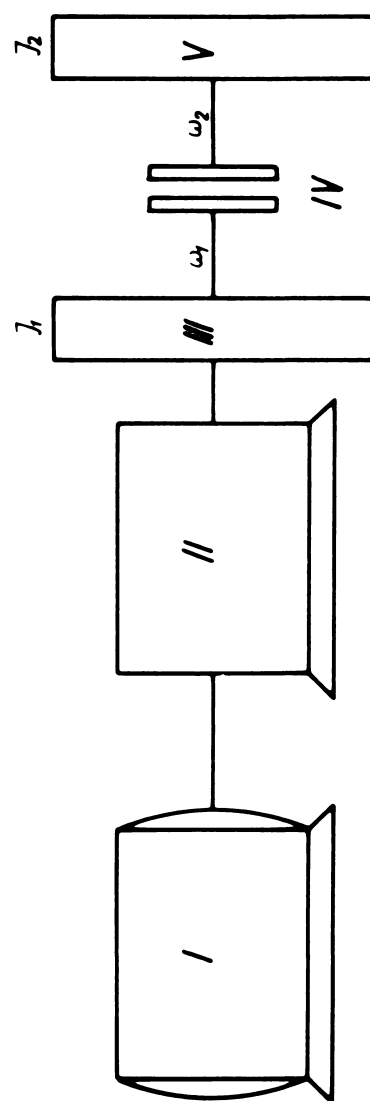


Fig. 4.8.

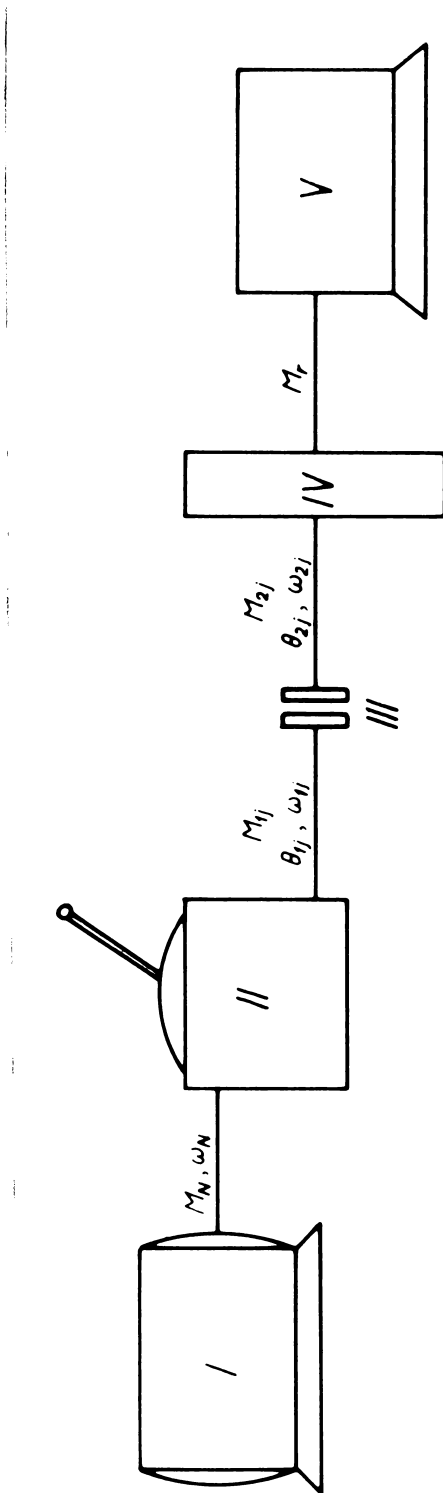


Fig. 4.9.

de timp.

Dacă M_{1j} și M_{2j} sunt momentele la arborii cuplei în treapta de viteză j , iar θ_{1j} și θ_{2j} sunt unghiurile de rotație ale semicuplelor (fig.4.9) în treapta de viteză j pînă la egalarea vitezelor unghiulare, randamentul (4.59) capătă expresia

$$\eta_{caj} = \frac{M_{2j} \theta_{2j}}{M_{1j} \theta_{1j}}. \quad (4.60)$$

In fiecare treaptă de viteză j , semicupla conductionoare se rotește cu viteza unghiulară constantă ω_{1j} , astfel încît unghiul θ_{1j} este

$$\theta_{1j} = \omega_{1j} t_j. \quad (4.61)$$

în care t_j este intervalul de timp dintre momentul cuplului treptei de viteză j și momentul egalării vitezelor unghiulare ale semicuplelor, adică intervalul de timp cît în cuplă se produce alunecarea. Pentru determinarea lui se scrie teorema momentului cinetic pentru mișcarea volantului și mașinii de lucru în timpul alunecării cuplei:

$$J \frac{d\omega_{2j}}{dt} = M_{2j} - M_r. \quad (4.62)$$

unde $\omega_{2j} = \omega_{2j}(t)$ este viteza unghiulară a semicuplei conduse, iar $M_r = M_r(\omega_{2j})$ este cuplul momentului rezistent al mașinii de lucru (fig.4.9).

Printre agregatele de mașini la care momentul rezistent al mașinii de lucru este funcție de viteza unghiulară se amintesc instalațiile de ventilație, suflantele de aer de la cuptoarele din industria metalurgică, injectoarele rotative din focarele *cazaneelor* de aburi care funcționează cu combustibil lichid, exhuastoarele pentru fum, pompele centrifuge, compresoarele rotative, centrifugile, instalațiile de propulsie cu elice ale navelor de suprafată, submarinelor și avioanelor, macaralele și toate instalațiile de ridicat, mașinile filatoare etc.

Cuplul M_j transmis de cuplă (fig.4.9) este funcție de alunecarea $\Delta\omega_j = \omega_{1j} - \omega_{2j}$ a cuplei. Din relația (4.62) rezultă

$$t_j = J \int_{\omega_{1,j-1}}^{\omega_{1j}} \frac{d\omega_{2j}}{M_{2j}(\Delta\omega_j) - M_r(\omega_{2j})}. \quad (4.63)$$

Tinînd seama de relațiile (4.61) și (4.63) randamentul (4.60) ca-

pătă formă:

$$\eta_{ca,j} = \frac{\int_{\omega_{1,j-1}}^{\omega_{1j}} \frac{\omega_{2j} d\omega_{2j}}{M_{2j}(\Delta\omega_j) - k_r(\omega_{2j})}}{\int_{\omega_j}^{\omega_{1,j-1}} \frac{d\omega_{2j}}{M_{2j}(\Delta\omega_j) - k_r(\omega_{2j})}} \quad (4.64)$$

Dependența $M_{2j} = M_{2j}(\Delta\omega_j)$ se determină tot cu standul din fig.4.7, în care, în locul cutiei de viteze se montează cupla cu alunecare. De asemenea, se fac și următoarele modificări: în locul platanului și cintarului V se introduce un traductor de forță piezoelectric, conectat la o punte tensometrică; de la turometrul electronic VIII, semnalele corespunzătoare vitezelor unghiulare ω_{1j} și ω_{2j} ale arborilor couplei, se trimit la un înregistrator multicanal, la care se trimite și semnalul corespondent momentului M_{2j} de la puntea tensiomerică. În acest mod se obține înregistrarea simultană a mărimilor ω_{1j} , ω_{2j} și M_{2j} , pe bază căreia se poate trasa curba $M_{2j} = M_{2j}(\Delta\omega_j) = M_{2j}(\omega_{1j} - \omega_{2j})$.

Energia cinetică totală cheltuită pentru accelerarea volantului și a mașinii de lucru pînă la vîțea unghiulară de regim este

$$E_{c1} = \frac{J}{2} \sum_{j=1}^n \frac{(\omega_{1j}^2 - \omega_{2,j-1}^2)}{\eta_{caj} \eta_{cvj}}, \quad (4.65)$$

unde n este numărul treptelor de vîțea ale cutiei de viteze, iar η_{cvj} este randamentul cutiei de viteze în treapta j de vîțea.

Energia cinetică a volantului și mașinii de lucru la atingerea vitezei unghiulare de regim este

$$E_{c2} = \frac{J \omega_{ln}^2}{2}. \quad (4.66)$$

Randamentul global al transmiterii energiei cinetice de la motorul electric la mașina de lucru are expresia

$$\gamma = \frac{E_{c2}}{E_{c1}} = \frac{\omega_{ln}^2}{\sum_{j=1}^n \frac{\eta_{caj} \eta_{cvj}}{\frac{1}{2} (\omega_{1j}^2 - \omega_{2,j-1}^2)}}. \quad (4.67)$$

După cum se observă, problema determinării randamentului mecanic în cazul agregatelor de mașini cu structură complexă, comportă calcule destul de laborioase.

CAP.5. DETERMINARI EXPERIMENTALE SI PRILUCRAREA PE CALCULATORUL
NUMERIC A DATELOR EXPERIMENTALE

§ 5.1. Descrierea instalației industriale de la Intreprinderea I.M.A.I.A. din Timișoara pe care au fost efectuate determinările experimentale. În vederea verificării pe cale experimentală a unor dintrre rezultatele obținute prin calcule teoretice în capitolele precedente, au fost întreprinse determinări experimentale în cadrul Întreprinderii pentru Mecanizarea Agriculturii și Industriei Alimentare (I.M.A.I.A.) din Timișoara.

Această întreprindere produce printre altele, variatoare de turatie hidraulice care, însăntă de a fi expediate la beneficiari sunt supuse unor încercări dinamice foarte variate care se pot realiza pe un stand de probă având aspectul din fotografie prezentată în fig.5.1.

Acest stand de probă pentru variatoarele hidraulice a fost conceput și realizat în cadrul Întreprinderii I.M.A.I.A. și, completat cu aparatele de măsură și înregistrare corespunzătoare problemelor urmărite în cadrul prezentei teze de doctorat, a constituit instalația industrială pe care au fost efectuate determinările experimentale.

Părțile componente ale standului de probă al variatoarelor hidraulice se pot urmări în fig.5.2, unde s-a făcut o schită explicativă în care s-a menținut amplasarea reală a elementelor componente din fotografie din fig.5.1.

Semnificația numerotării din fig.5.2 este următoarea:

1 - Este un motor electric asincron, cu rotorul în scurtcircuit, tip L100N4, executat de Fabrica de motoare electrice Pitești, care are puterea nominală de 3 kW la o turatie nominală de 1420 rot/min.

2 - Pentru controlul puterii electrice absorbite de motor de la rețeaua de alimentare cu energie electrică, standul de probă este dotat cu wattmetrul 2 produs de Fabrica de aparate electrice de măsură Timișoara, de tip D4, care are scala etalonată direct în kW, de la 0 la 4 kW. Având în vedere răndamentul extrem de ridicat al motoarelor electrice (96 - 98%), se poate admite practic că puterea mecanică la arborelă motorului electric este egală cu puterea electrică absorbită de motor de la rețea.

3,4,5 - Pe axul motorului electric se află o șeibă de curea 3, care prin intermediul curelei de transmisie 4, transmite mișcarea de la motor la arborele de intrare în variatorul de turatie 6, prin intermediul unei șeabe de curea 5, identice cu cea de pe axul motorului; în

acest fel, raportul de transmitere al miscării de la motorul electric la variatorul de turatie se menține 1:1.

6 - Este un variator de turatie hidraulic, tip 3, fabricat la Intreprinderea pentru Mecanizarea Agriculturii și Industriei Alimentare, din Timișoara. În esență, construcția acestui tip de variator de turatie constă în următoarele: pe abrorele de intrare în variator se află dispusă o pompă de ulei rotativă de tipul cu pistoane radiale, care trimite ulei sub presiune la o turbină montată pe arborele de ieșire din variator. Tot acest ansamblu se află introdus într-o casă de fontă turnată și prevăzută cu arhipioare de răcire a uleiului.

Reglarea raportului de transmisie al variatorului se face prin intermediul unui ventil dispus în conductă de legătură dintre pompă și turbină, care obturează mai mult sau mai puțin această conductă, deci modifică debitul de ulei. Comanda acestui ventil se face cu ajutorul unui volan (în fotografie din fig.5.1 nu se vede volanul fiind pe partea cealaltă a varistorului) plasat în afara carcasei. Evident, sistemul funcționează în circuit închis, fără consum de ulei, deoarece uleiul revine de la turbină înapoi la pompă.

7,8 - Cuplat direct cu arborele de ieșire al variatorului de turatie prin intermediul cuplei 7 se află un generator electric de curent continuu, 8, cu excitație în paralel, fabricat la Intreprinderea de Mașini Electrice București, tip C4 44, care antrenat în mișcare de rotație la o turatie de 1300 rot/min, generează un curent de 31 A la o tensiune de 110 V.

9,10 - Pentru controlul regimului de funcționare al generatorului electric, standul de probă este prevăzut cu ampermetrul 9, tip M11 produs la Intreprinderile de Aparate Electrice de Măsură Timișoara, cu domeniul de măsură 0-25 A și cu voltmetrul 10, fabricat la Uzina Electromagnetică București, tip M53, cu domeniul 0-250 V.

După cum se știe, puterea electrică la bornele unui generator electric de curent continuu are expresia

$$P = UI, \quad (5.1)$$

unde U este tensiunea la borne, iar I este curentul în circuitul de sarcină al generatorului.

Din același considerent al randamentului deosebit de ridicat al mașinilor electrice rotative, și în acest caz se poate considera că puterea electrică realizată de generatorul electric (formula (5.1)) este egală cu puterea mecanică necesară antrenării generatorului.

11,12 - Ca sarcină pentru generatorul electric se folosesc grupuri de rezistențe fixe și variabile 11. Comutatoarele pentru conexiunea rezistențelor fixe și cursoarele rezistențelor variabile (re-

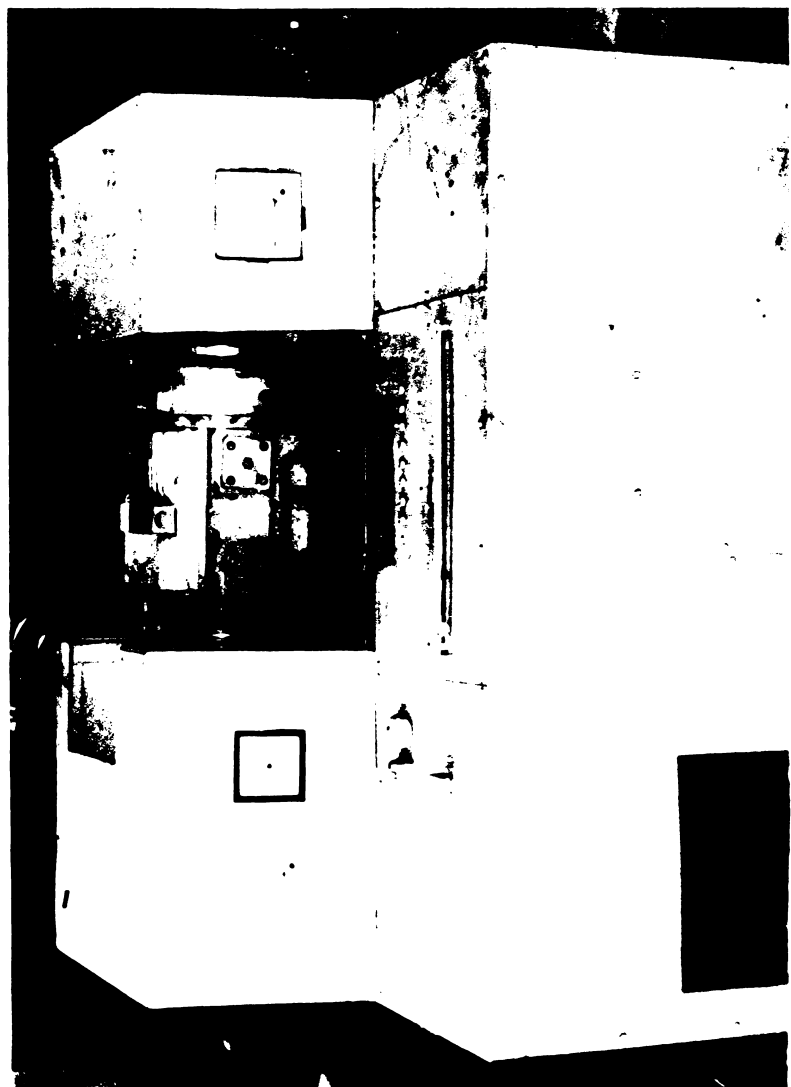


Fig.5.1.

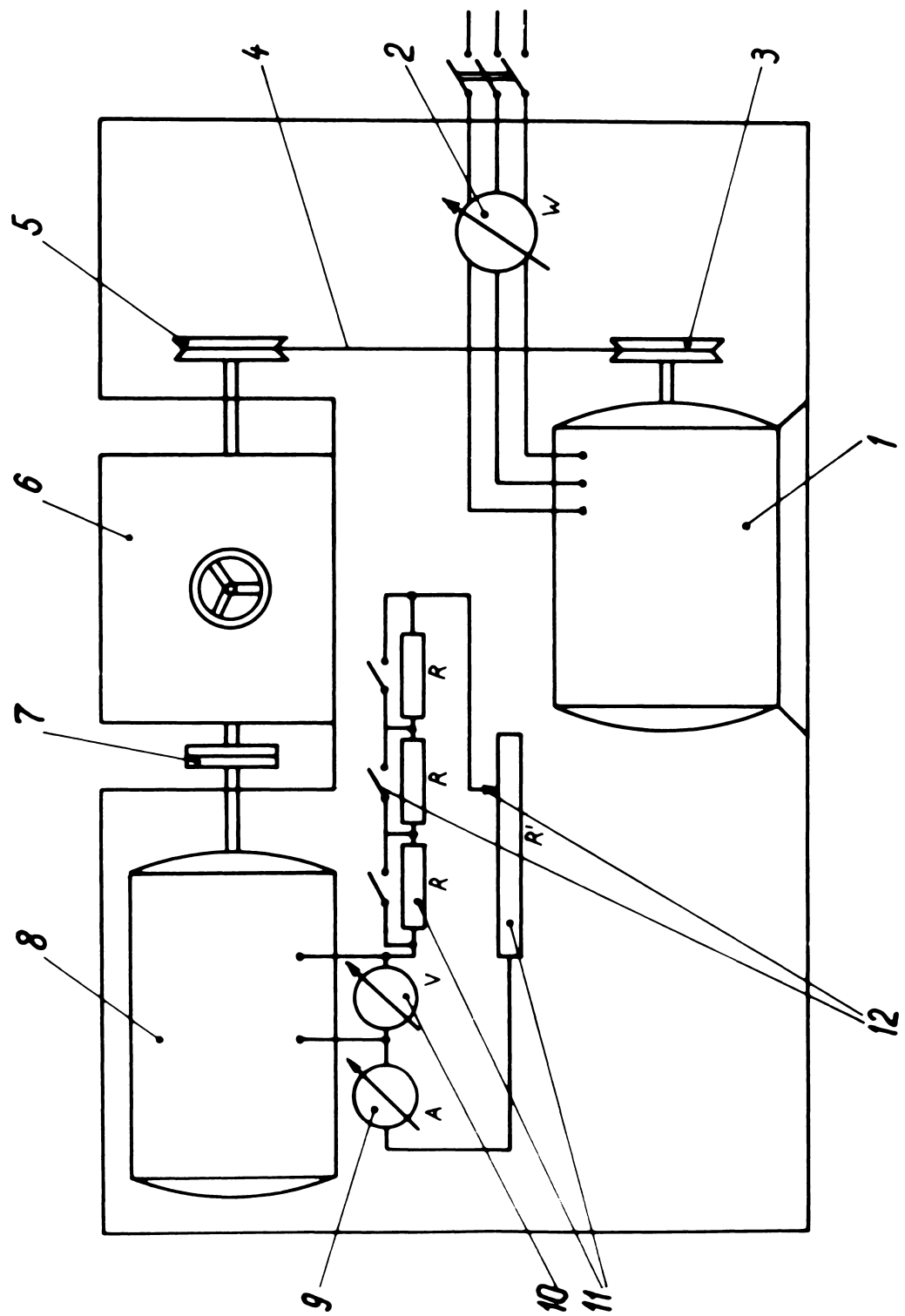


Fig. 5.2.

o state) se află dispuse pe panoul de comandă al standului 12.

Modificând în trepte sau continuu rezistența de sarcină a generatorului electric se modifică puterea electrică debitată de acesta și, în consecință, puterea mecanică absorbită pentru antrenarea în mișcare de rotație.

Este usor de observat că acest stand de probă al variatoarelor de turăție hidraulice este un agregat de mașini. Într-adevăr, elementele sale componente principale sunt un motor electric, care, prin intermediul unei transmisiuni cu variator de turăție, antrenează o "mașină de lucru" constituită aici de generatorul electric cu rezistențele sale de sarcină. Modificând aceste rezistențe s-a văzut că se modifică puterea mecanică cerută de generator pentru antrenare de la arborele de ieșire al variatorului. Această putere este egală cu produsul dintre viteza unghiulară a arborelui condus al variatorului și momentul pe care trebuie să-l învingă variatorul pentru a roti generatorul electric, adică tocmai ceea ce pînă acum s-a numit momentul rezistent al mașinii de lucru.

In concluzie, standul de probă al variatoarelor de turăție este un agregat de mașini cu variator de turăție la care raportul de transmisie se reglează manual în timp, după legea dorită $i = i(t)$ și cu o mașină de lucru care crează un moment rezistent, de asemenea reglabil în timp după o anumită lege, $M_r = M_r(t)$.

Datorită gamei deosebite de variație de regimuri de mișcare pe care le poate realiza, această instalație industrială, completată cu aparatelor de măsură și înregistrare din dotarea Laboratorului de Vibrații al Catedrei de Mecanică și Rezistență Materialelor, a oferit condiții optime pentru efectuarea determinărilor experimentale care se descriu în paragraful următor.

§ 5.2. Prezentarea măsurătorilor și înregistrărilor experimentale, efectuate pe instalația industrială. Determinările experimentale care au fost efectuate se grupează în două teme experimentale care în continuare vor fi denumite, pentru simplitate, Tema I și Tema II. În formularea celor două teme experimentale s-a avut în vedere ca ele să ofere posibilitatea verificării pe cale experimentală a unor probleme tratate în partea teoretică a tezei.

Tema I a fost stabilită în legătură cu ecuația diferențială a mișcării agregatului de mașini cu variator de turăție (4.9) din § 4.1:

$$(J_1 i^2 + J_2) \ddot{\theta}_2 + J_1 i i \dot{\theta}_2 = i M_m - M_r . \quad (5.2)$$

In această ecuație diferențială, funcția necunoscută este $\dot{\theta}_2 = \omega_2 -$

viteza unghiulară a arborelui condus al variatorului de turătie. În afară de aceasta, în ecuație mai intervin ca mărimi variabile: raportul de transmisie $i = \frac{\omega_1}{\omega_2}$, ($\omega_1 = i\omega_2$ fiind viteza unghiulară a arborelui conducător al variatorului de turătie), care este o funcție cunoscută de timp, $i = i(t)$; momentul motor M_m al motorului electric care este o funcție cunoscută de viteza unghiulară ω_1 , $M_m = M_m(\omega_1)$, exprimată prin caracteristica sa mecanică; momentul rezistent al mașinii de lucru, M_r , care este o funcție cunoscută de timp, $M_r = M_r(t)$. Tinând seama de aceste observații, ecuația (5.2), scrisă într-o formă mai sugestivă, are aspectul

$$\left\{ J_1 [i(t)]^2 + J_2 \right\} \frac{d\omega_2(t)}{dt} + J_1 i(t) \frac{di(t)}{dt} \omega_2(t) = \\ = i(t) M_m [i(t) \cdot \omega_2(t)] - M_r(t). \quad (5.3)$$

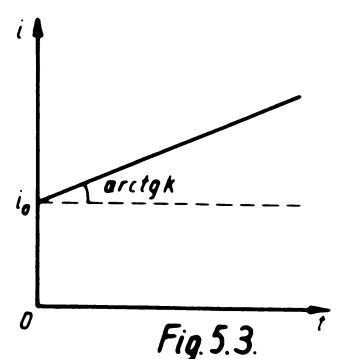
Forma (5.3) a ecuației diferențiale a mișcării agregatului de mașini cu variator scoate în evidență faptul că dificultățile ce vor apărea la integrarea ei, depind de gradul de complexitate al funcțiilor amintite mai sus, $i(t)$, $M_m[i(t) \cdot \omega_2(t)]$, $M_r(t)$. De aceea, la alegerea care s-a făcut pentru aceste trei funcții s-a avut în vedere ca prin introducerea lor în ecuația (5.3), aceasta să mai poată fi integrată analitic exact și totodată, setul de funcții alese să corespundă unei situații plauzibile din punct de vedere practic, adică să poată fi realizabilă experimental pe instalația industrială.

In conformitate cu considerentele de mai sus, cele trei funcții s-au ales după cum urmează:

Pentru raportul de transmisie s-a luat o legătură liniară

$$i(t) = i_0 + kt, \quad (5.4)$$

în care i_0 este valoarea inițială a raportului de transmisie, iar k este panta (fig.5.3).



Se precizează că la tipul de variator hidraulic care a fost folosit, reglarea raportului de transmisie se face manual prin rotirea unui volan și valoarea raportului de transmisie realizat este proporțională cu unghiu de rotație al volanului. De aceea, chiar și pentru realizarea legii liniare de reglare a raportului de transmisie, a fost necesar ca variatorul de turătie să fie manevrat de un operator cu experiență îndelungată în deservirea standului de pro-

bă, care a fost în măsură să rotească suficient de uniform volanul de comandă al variatorului. În condițiile de reglare manuală a raportului de transmisie arătate, realizarea unei legi de reglare a raportului de transmisie mai complicate decât cea liniară este, desigur, pusă sub semnul întrebării.

Momentul rezistent s-a luat constant, lucru care s-a obținut foarte simplu pe standul de probă, lăsînt nemodificată rezistența de sarcină a generatorului electric la o anumită valoare. Dacă se atașează indicele "0" valorilor initiale (de la începutul determinării experimentale) și indicele "f" valorilor finale (de la sfîrșitul determinării experimentale) ale mărimilor care intervin, atunci valoarea constantă a momentului rezistent s-a determinat, de exemplu, pe baza valorilor finale

$$M_r = \frac{U_f I_f}{\omega_{2f}}, \quad (5.5)$$

în care semnificația notațiilor a fost deja precizată.

Pentru momentul motorului electric, dependența $M_m(\omega_1) = M_m[i(t) \cdot \omega_2(t)]$ care nu este altceva decât caracteristica mecanică a motorului, fiind vorba de un motor electric asincron cu care este dotat standul

de probă, s-a luat caracteristica mecanică statică (fig. 5.4) a cărei porțiuni de lucru A-B s-au liniarizat (linie-punct în fig. 5.4) sub forma

$$M_m(\omega_1) = \alpha - \beta(\omega_1 - \omega_{1k}), \quad (5.6)$$

în care α și β sunt constante pozitive a căror semnificație se vede în fig. 5.4, iar

ω_{1k} este viteza unghiulară critică a motorului electric (fig. 5.4).

In acest fel, ecuația diferențială (5.3) capătă forma

$$\begin{aligned} & [J_1(i_0+kt)^2 + J_2] \dot{\omega}_2 + J_1(i_0+kt) k \omega_2 = \\ & = (i_0+kt) \left\{ \alpha - \beta [(i_0+kt) \omega_2 - \omega_{1k}] \right\} - M_r. \end{aligned} \quad (5.7)$$

După cum se observă, este o ecuație diferențială de ordinul întîi în raport cu ω_2 , liniară, neomogenă, cu coeficienți variabili, care însă, pentru condiția initială $t=0, \omega_2 = \omega_{20}$, admite soluția analitică exactă de forma [28]

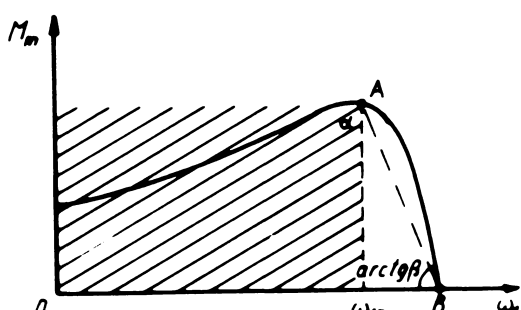


Fig. 5.4.

$$\omega_2 = \frac{e}{\sqrt{J_1(i_0+kt)^2 + J_2}} \left\{ \begin{array}{l} \int_0^t \frac{\beta(i_0+kt)^2 dt}{J_1(i_0+kt)^2 + J_2} \\ \omega_{20} + \int_0^t \frac{[(\alpha + \beta \omega_{1k})(i_0+kt) - M_r]}{\sqrt{J_1(i_0+kt)^2 + J_2}} dt \\ \int_0^t \frac{\beta(i_0+kt)^2 dt}{J_1(i_0+kt)^2 + J_2} \\ \hline + J_2 \end{array} \right\}. \quad (5.8)$$

In sfirșit, acum se poate formula tema I experimentală și anume, aceasta a constat în măsurarea vitezei unghiulare ω_2 a arborelui con dus al variatorului de turăție atinsă în cinci regimuri de mișcare ale standului de probă, corespunzătoare la cinci legi liniare de reglare a raportului de transmisie și la cinci valori constante ale momentului rezistent. Pe de altă parte, aceste valori se pot calcula și cu formula teoretică (5.8), astfel încât devine posibilă compararea rezultatelor teoretice cu cele experimentale.

O primă operațiune experimentală care a fost necesară pentru rezolvarea temei I experimentale a fost ridicarea caracteristicii mecanice a motorului electric pentru a putea apoi să fie liniarizată în conformitate cu expresia (5.6). Trasarea caracteristicii mecanice s-a făcut "punct cu punct" și anume, au fost determinate experimental cinci puncte ale caracteristicii, ceea ce a fost suficient, avind în vedere că și în realitate, porțiunea de lucru AB (fig.5.4) a caracteristicii mecanice este aproape liniară.

Pentru ridicarea caracteristicii mecanice a motorului electric s-au folosit ca aparate de măsură wattmetrul 2 de pe panoul standului de probă și un stroboscop (fig.5.5) de tip N 2601, fabricat la Intreprinderea de Aparate Electronice și de Măsură Industriale București. Puterea indicată de wattmetru s-a luat ca putere mecanică la arborele motorului electric, iar cu stroboscopul s-a măsurat turăția arborelui motorului cu metoda obișnuită a obținerii unei imagini staționare a unui reper optic tracat pe șaiba de curea 5, care, așa cum s-a arătat, are aceeași turăție ca arborele motorului. Stroboscopul de tipul menționat are un aparat indicator pe care se poate citi frecvența în Hz a fenomenului analizat, care în cazul de față are semnificația de rotații pe secundă ale arborelui motorului. Rezultatele acestor măsură-

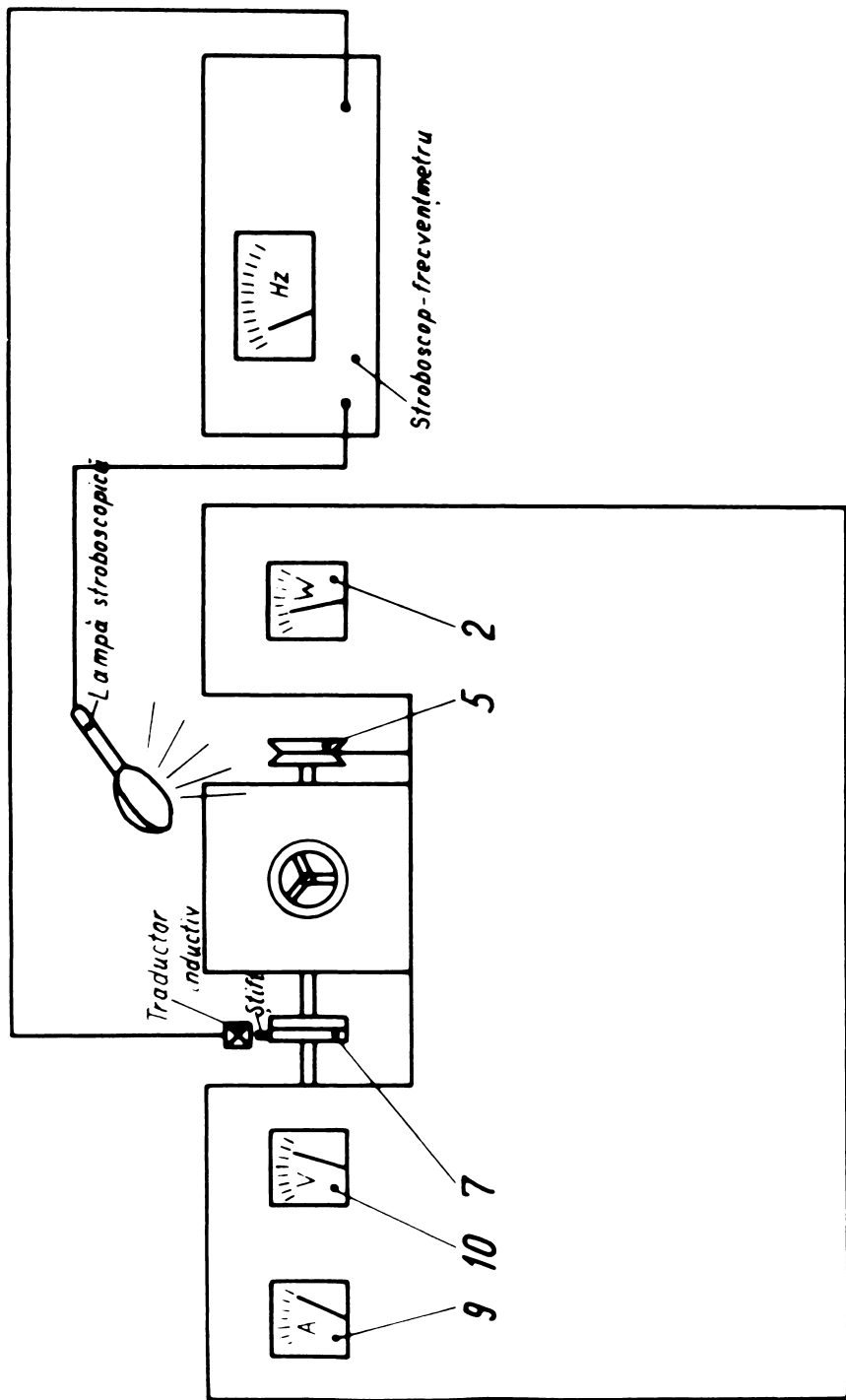


Fig.5.5.

tori pînă la trasarea efectivă a caracteristicii mecanice a motorului electric, se vor prezenta în paragraful următor.

Următoarea problemă care s-a pus în cadrul temei I a fost determinarea experimentală a raportului de transmisie al variatorului de turăție. Pentru aceasta a fost necesar să se măsoare atît turăția arborelui conducător cît și a celui condus ai variatorului.

Pentru măsurarea turăției arborelui conducător s-a menținut metoda stroboscopică, aplicată șaibei 5 de pe arborele conducător al variatorului de turăție (fig.5.5).

Pentru măsurarea turăției arborelui condus al variatorului de turăție s-a folosit capacitatea stroboscopului N 2601 de a funcționa și în regim de frecvențmetru. Astfel, dacă la intrare i se aplică un semnal periodic, atunci printr-o simplă acționare a unui comutator de pe panoul aparatului, acesta trece din regim de stroboscop, în regim de frecvențmetru și aparatul lui indicator arată frecvența în Hz a fenomenului. În acest scop, pe cupla 7 de pe arborele condus al variatorului (fig.5.5) s-a montat un știft de otel (un șurub M3), iar lîngă cuplă, un traductor inductiv de tip IWB 202 produs de firma R.F.T. din R.D.Germania, astfel încît atunci cînd cupla se rotește, știftul să treacă la o distanță minimă prin fața traductorului. Traductorul, la rîndul său, a fost conectat la intrarea stroboscopului lucrînd ca frecvențmetru. La fiecare rotație completă a cuplei, știftul trece o dată prin fața traductorului și determină apariția la acesta a unui impuls de tensiune electrică care este trimis la frecvențmetru și este astfel numărat.

In sfîrșit, ordinea efectivă de desfășurare a operațiunilor experimentale în cadrul temei I a fost următoarea:

1 - S-a pornit motorul electric și în felul acesta întreaga instalație s-a pus în mișcare de rotație.

2 - S-a stabilit cu ajutorul comutatoarelor 12 (fig.5.2) o anumită sarcină pentru generatorul de curent continuu, care va rămîne constantă pe parcursul fiecărei determinări experimentale.

3 - S-a pus volanul de comandă al variatorului de turăție într-o poziție corespunzătoare unei valori cît mai mici a raportului de transmisie, care va constitui valoarea inițială i_0 a acestuia (formula (5.4)).

4 - Pentru determinarea valorii inițiale a raportului de transmisie, cu montajul din fig.5.5 se măsoară frecvența f_{10} a rotațiilor arborelui conducător al variatorului de turăție și frecvența f_{20} a rotațiilor arborelui condus, astfel încît,

$$i_0 = \frac{\omega_{10}}{\omega_{20}} = \frac{f_{10}}{f_{20}} . \quad (5.9)$$

5 - Se rotește uniform volanul de comandă al variatorului de turăție în sensul creșterii raportului de transmisie pînă la valoarea maximă permisă de variator și se cronometrează timpul t^* cătă durată operației de reglare. În acest fel s-a obținut o reglare după o lege liniară a raportului de transmisie, într-o perioadă de timp cunoscută t^* .

6 - Cu același montaj de aparatelor din fig.5.5 și cu același procedeu se măsoară valoarea finală i_f a raportului de transmisie prin intermediul frecvențelor de rotație f_{1f} și f_{2f} ale celor doi arbori ai variatorului de turăție:

$$i_f = \frac{\omega_{1f}}{\omega_{2f}} = \frac{f_{1f}}{f_{2f}} . \quad (5.10)$$

7 - Cu ajutorul ampermetrului 9 și voltmetrului 10 de pe panoul standului de probă (fig.5.5) se măsoară curentul I_f și tensiunea U_f din circuitul de sarcină al generatorului electric, necesare pentru calculul valorii momentului rezistent în conformitate cu formula (5.5).

Cu această succesiune de operații s-au făcut cinci determinări experimentale pentru cinci legi liniare de reglare ale raportului de transmisie și cinci valori constante ale momentului rezistent, ale căror rezultate se vor prezenta în paragraful următor.

Temea II-a experimentală s-a formulat în legătură cu § 4.3 din partea teoretică a tezei, privind comportarea variatorului de turăție ca un sistem de urmărire automată în cadrul unui agregat de mașini. Se reamintește că în paragraful respectiv, în legătură cu condițiile de mișcare ale agregatului de mașini, s-au făcut următoarele presupuneri:

- Raportul de transmisie al variatorului de turăție se reglează după o lege liniară

$$i = a + bt . \quad (5.11)$$

Modul de realizare experimentală și de măsurare a legii de reglare a raportului de transmisie este același cu cel expus în cadrul temei I experimentale, astfel încât

$$a = \frac{f_{10}}{f_{20}} , \quad (5.12)$$

$$i_f = \frac{f_{1f}}{f_{2f}} . \quad (5.13)$$

- Momentul motor s-a presupus constant. Valoarea lui s-a determinat experimental pe baza valorii finale a puterii motorului,

citite la wattmetrul 2 de pe panoul standului de probă (fig.5.6) și a vitezei unghiulare finale a arborelui motorului, ω_{lf} , determinate stroboscopice

$$M_m = \frac{P_f}{\omega_{lf}} = \frac{P_f}{2\pi f_{lf}} . \quad (5.14)$$

- Momentul rezistent este o funcție liniară de poziția θ_2 a arborelui mașinii de lucru

$$M_r = p + q\theta_2 . \quad (5.15)$$

După cum a rezultat din studiul teoretic din § 4.3, unghiul θ_2 fiind mărimea de ieșire din "sistemul de urmărire automată" cu funcție de transfer constantă, trebuie să fie de aceeași formă cu mărimea de intrare care este raportul de transmisie (fig.4.5) și care este o funcție liniară de timp. Așadar și θ_2 este tot o funcție liniară de timp puțin "ondulată" de către eroarea dinamică a sistemului de urmărire automată (fig.4.3). Făcând abstracție de eroarea dinamică, care în cazul unui variator de calitate este oricum foarte mică, rezultă pentru θ_2 o lege liniară de variație în timp, de forma

$$\theta_2 = \theta_{20} + r t . \quad (5.16)$$

Introducind expresia (5.16) în expresia (5.15), momentul rezistent capătă, de asemenea, o lege liniară de variație în timp,

$$M_r = M_{ro} + \lambda t , \quad (5.17)$$

în care $M_{ro} = p + q\theta_{20}$, iar $\lambda = q r$.

Pe cale experimentală, valoarea inițială M_{ro} a momentului rezistent s-a realizat conectând în circuitul de sarcină al generatorului electric un grup de rezistențe fixe R (fig.5.2), iar componenta liniară λt a momentului rezistent s-a obținut prin deplasarea uniformă a cursorului de-a lungul rezistenței variabile R' (fig.5.2).

Cu aceste precizări, se poate formula tema a II-a experimentală care a constat în realizarea a cinci regimuri de mișcare ale agregatului de mașini pentru cinci legi liniare de reglare ale raportului de transmisie și cinci legi liniare ale momentului rezistent și înregistrarea celor cinci legi de mișcare ale arborelui condus al variatorului de turăție, în vederea comparării lor cu legile de mișcare ce se pot trasa pe baza formulei (4.39) obținute pe cale teoretică în § 4.3.

În scopul realizării acestor deziderate experimentale, s-a menținut în întregime montajul de aparate de măsură de la tema I experimentală, care s-a completat cu un aparat înregistrator pe bandă de

hirtie de tip TSS-101, produs de firma R.F.T. din R.D.Germană (fig. 5.6). Succesiunea de impulsuri corespunzătoare rotației arborelui condus al variatorului, de la traductorul inductiv merge la stroboscopul lucrind ca frecvențmetru unde se determină frecvența rotației acestui arbore, iar de la stroboscop, ajunge la aparatul înregistrator care le înregistrează pe o bandă de hirtie.

Aspectul înregistrării se poate vedea în fig.5.7 în care se prezintă un fragment de înregistrare. Fiecare impuls de pe înregistrare corespunde la o rotație completă a arborelui condus al variatorului de turăție. Cunoscind viteza de deplasare $u = 50 \text{ mm/s}$ a hirtiei la înregistrare, rezultă că numărind n impulsuri de-a lungul a 50 mm de înregistrare, se poate determina viteza unghiulară instantanea a arborelui condus în secundă respectivă.

$$\omega_2 = 2\pi n \quad [\text{rad/s}] \quad (5.18)$$

sau, numărind numărul total N de impulsuri de pe parcursul întregii înregistrări, se poate afla unghiul total θ_{2f} parcurs de arborele condus al variatorului de turăție în timpul căt a durat înregistrarea:

$$\theta_{2f} = 2\pi N \quad [\text{rad}] \quad (5.19)$$

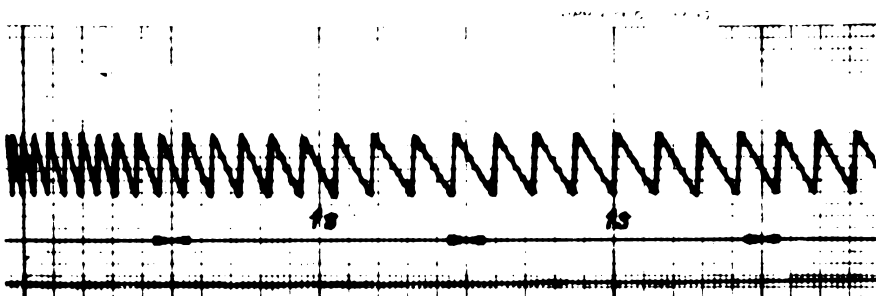


Fig.5.7.

Nu s-au reprodus aici în întregime cele cinci înregistrări, deoarece fiecare din ele are o lungime de cîțiva metri.

Succesiunea operațiunilor experimentale în cadrul temei a III-a a fost următoarea:

1. Se porneste aggregatul de mașini și se conectează în circuitul de sarcină al generatorului electric un grup de rezistențe fixe R (fig. 5.2) cărora le corespunde valoarea inițială M_{ro} a momentului rezistent [formula (5.17)], iar cursorul rezistenței variabile R' (fig.5.2) se pune în poziția în care $R'=0$.

In aceste condiții inițiale se măsoară cu volanul de comandă al variatorului pus în poziția de raport de transmisie minim, așa cum s-a arătat la tema I, frecvențele de rotație f_{10} și f_{20} ale celor doi arbori ai variatorului de turăție cu care se determină valoarea ini-

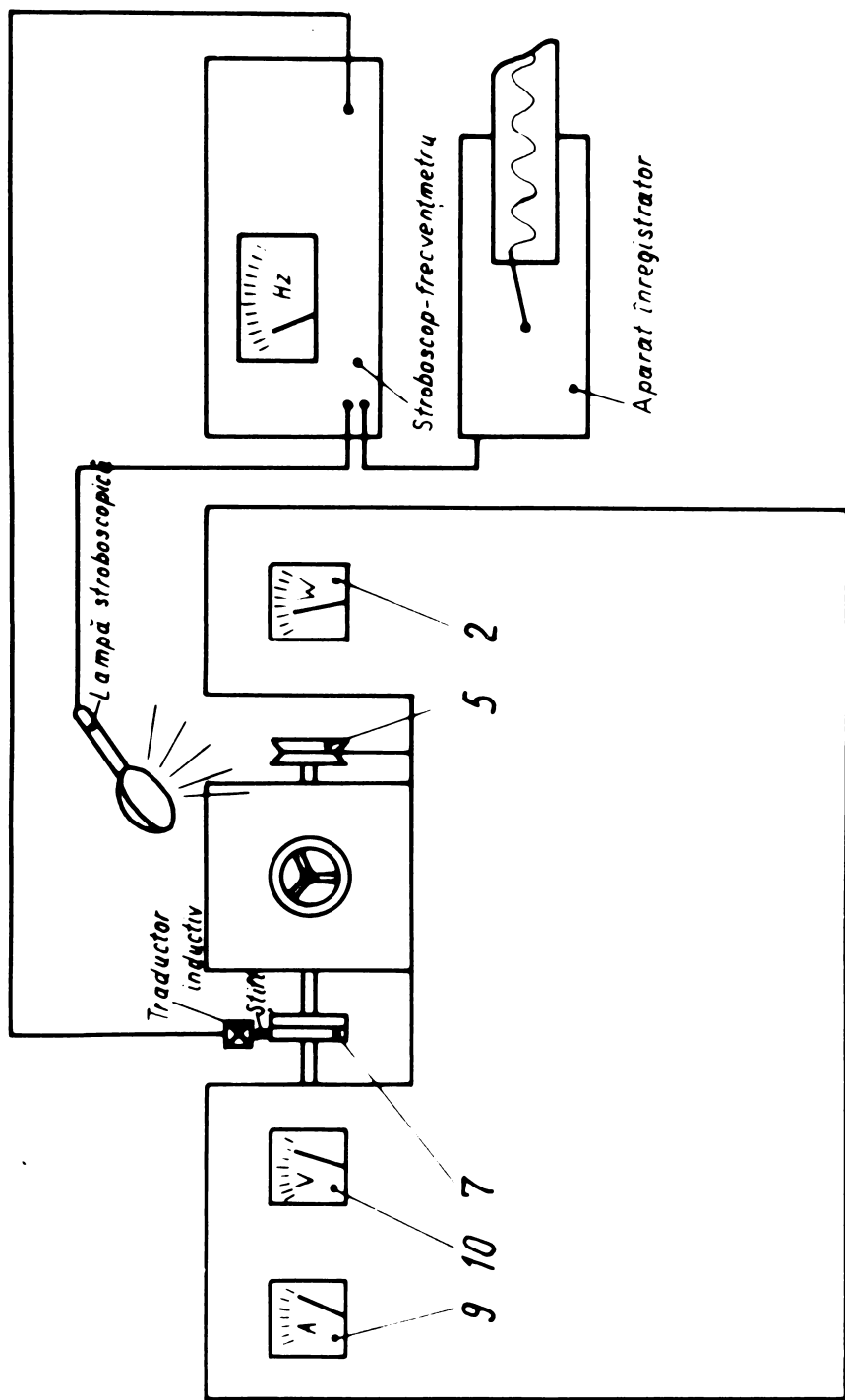


Fig.5.6.

țială "a" a raportului de transmisie cu formula (5.12). Se măsoară, de asemenea valorile inițiale I_0 și U_0 ale curentului, respectiv tensiunii din circuitul de sarcină al generatorului electric cu ajutorul ampermetrului 9 și voltmetrului 10 (fig.5.6) în vederea determinării valorii inițiale a momentului rezistent din expresia (5.15):

$$P = \frac{U_0 I_0}{\omega_{20}} . \quad (5.20)$$

2. Simultan se începe și se efectuează reglarea liniară a raportului de transmisie al varistorului de turatie, reglarea liniară a rezistenței de sarcină R' , și înregistrarea pentru determinarea turatiei arborelui condus al varistorului. Aceste operațiuni se opresc tot simultan în momentul în care fie volanul de comandă al varistorului, fie cursorul rezistenței variabile de sarcină ajung la limita domeniului de reglare.

3. În situația finală de funcționare în care agregatul a ajuns în urma procesului de reglare de la punctul 2, se măsoară valorile finale f_{1f} , f_{2f} ale frecvențelor de rotație ale arborilor varistorului de turatie, cu care se determină raportul de transmisie final cu formula (5.13) și valorile finale I_f și U_f ale curentului și tensiunii din circuitul de sarcină al generatorului, pentru determinarea momentului rezistent final:

$$M_{R_f} = \frac{U_f I_f}{\omega_{2f}} . \quad (5.21)$$

Tot acum se mai măsoară și valorile finale ale puterii motorului P_f și a frecvenței de rotație a arborelui motorului electric f_{1f} , cu care se determină momentul motor cu formula (5.14).

În acest mod s-au făcut cinci determinări experimentale, ale căror rezultate se vor erăta în paragraful următor.

§ 5.3. Prezentarea rezultatelor determinărilor experimentale. O primă operațiune de calcul care a fost întreprinsă, fiind necesară pentru ambele teme experimentale, a fost determinarea momentelor de inerție J_1 și J_2 ale elementelor instalației aflate în mișcare de rotație, reduse la cei doi arbori ai varistorului de turatie. Pe baza dimensiunilor geometrice ale acestor elemente au rezultat valorile: $J_1 = - 6,6766 \cdot 10^{-2} \text{ kg.m}^2$ și $J_2 = 3,7456 \cdot 10^{-1} \text{ kg.m}^2$.

Rezultatele experimentale obținute în cadrul primei teme experimentale sunt următoarele:

În primul rînd, pentru ridicarea caracteristicii mecanice a motorului electric, așa cum s-a arătat în § 5.2, au fost create cinci regimuri de funcționare, în care au fost măsurate puterea P_1 și frecven-

ță de rotație a arborelui motorului, f_1 . Valorile obținute se prezintă în primele cinci linii ale tabelului 5.1. Valorile din linia

Tabelul 5.1

Nr.	P ₁ [kW]	f ₁ [rot.s ⁻¹]
1	4	23
2	3,7	23,2
3	3,1	23,8
4	2,65	24
5	1,65	24,4
6	3	23,7
7	0	25

Tabelul 5.2

Nr.	M _m [N.m]	ω ₁ [rad.s ⁻¹]
1	27,6791	144,5133
2	25,3825	145,7699
3	20,7303	149,5398
4	17,5734	150,7964
5	10,7625	153,3097
6	20,1462	148,9115
7	0	157,0796

care corespund regimului nominal al motorului electric și s-au obținut pe baza datelor specificate pe plăcuță indicatoare a motorului. Valorile din linia șaptea corespund regimului ideal de sincronism; motorul avind o turăție nominală de 1420 rot/min, rezultă că are o înășurare statorică cu două perechi de poli ($p=2$) și deci are turăție de sincronism de $\frac{3000}{p} = \frac{3000}{2} = 1500$ rot/min la care corespunde o frecvență de rotație $f_1 = 25$ rot.s⁻¹.

Cu datele din tabelul 5.1 s-au calculat coordonatele M_m, ω₁ a șapte puncte (Tabelul 5.2) ale portiunii de lucru a caracteristicii mecanice a motorului electric, care au fost reprezentate grafic și numerotate în fig.5.8. Apoi, printre punctele astfel obținute a fost trasată caracteristica mecanică a motorului (linie continuă) și linierizată (linie întreaptă).

Pentru portiunea de lucru liniarizată a caracteristicii mecanice a motorului electric, din fig.5.8 rezultă ecuația

$$M_m = 27,69 - 1,834 (\omega_1 - 144,4) . \quad (5.22)$$

Comparând ecuația (5.22) cu ecuația literală (5.6) a caracteristicii mecanice a motorului, pentru coeficienții α și β rezultă valoările $\alpha = 27,69$ N.m, $\beta = 1,834$ N.m.s.rad⁻¹, iar pentru ω_{lk}, valoarea $\omega_{lk} = 144,4$ rad.s⁻¹. În continuare, în calculele din cadrul temei I experimentale, caracteristica mecanică a motorului electric va interveni numai prin intermediul lui α, β și ω_{lk}.

Rezultatele experimentale propriu-zise ale celor cinci determinări efectuate la tema I sunt prezentate în tabelul 5.3.

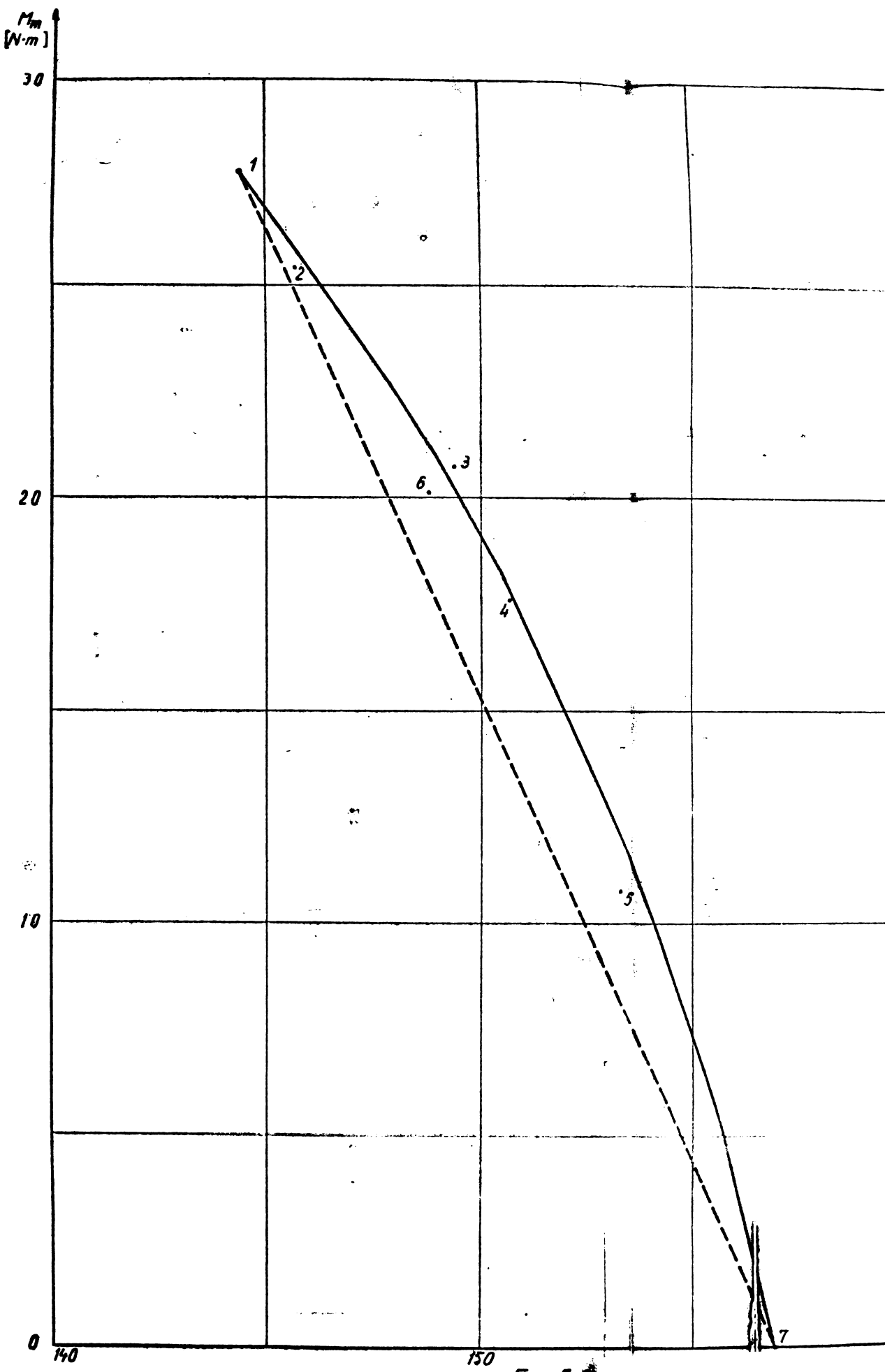


Fig. 5.8

Tabelul 5.3

Nr. det.	f_{10} [rot.s ⁻¹]	f_{20} [rot.s ⁻¹]	t^* [s]	f_{1f} [rot.s ⁻¹]	f_{2f} [rot.s ⁻¹]	U_f [V]	I_f [A]
	1	2	3	4	5	6	7
1	48,5	37,4	78	13,7	10	0	0
2	24,4	18	37	25	9,8	34	7,8
3	24	30,6	53	25	9,8	9	1,7
4	23,8	30	64	25	9,8	9	2,6
5	22,5	15,7	72	25	9,8	33	7,6

In coloanele 1 și 2 ale tabelului 5.3 s-au trecut valorile inițiale ale frecvențelor de rotație ale celor doi arbori ai variatorului de turăție; cu ajutorul lor s-au calculat vitezele unghiulare inițiale ale arborilor variatorului care figurează în coloanele 1 și 2 ale tabelului 5.4, iar în baza lor, valorile inițiale i_0 ale raportului de transmisie al variatorului [formula (5.9)], trecute în coloana 3 a aceluiasi tabel.

In coloanele 4 și 5 ale tabelului 5.3 sunt valorile finale ale frecvențelor de rotație ale arborilor variatorului de turăție, cărora corespund vitezele unghiulare finale din coloanele 4 și 5 ale tabelului 5.4 și valorile finale i_f ale raportului de transmisie al variatorului [formula (5.10)] din coloana 6.

Tabelul 5.4

Nr. det.	ω_{10} [rad.s ⁻¹]	ω_{20} [rad.s ⁻¹]	i_0	ω_{1f} [rad.s ⁻¹]
	[rad.s ⁻¹]	[rad.s ⁻¹]		[rad.s ⁻¹]
1	304,7345	234,9911	1,2968	86,0796
2	153,3097	113,0973	1,3555	157,0800
3	150,7964	192,2655	0,7843	157,0800
4	149,5398	188,4956	0,7933	157,0800
5	141,3717	98,6460	1,4331	157,0800

ω_{2f} [rad.s ⁻¹]	i_f	k [s ⁻¹]	M_f [N.m]
[rad.s ⁻¹]		[s ⁻¹]	[N.m]
62,8318	1,370	9,3846.10 ⁻⁴	0
61,5752	2,551	323,1081.10 ⁻⁴	4,2208
61,5752	2,551	333,3396.10 ⁻⁴	0,2485
61,5752	2,551	274,6406.10 ⁻⁴	0,3800
61,5752	2,551	155,2639.10 ⁻⁴	4,0731

In coloana 3 a tabelului 5.3 s-au trecut duratele de timp t^* ale

determinările experimentale din tema I. Pe baza lor și a formulei (5.4) s-au determinat pantele k ale legilor liniare de reglare a rapoartelor de transmisie.

$$k = \frac{i_f - i_0}{t} , \quad (5.23)$$

care s-au trecut în coloana 7 a tabelului 5.4.

În sfîrșit, cu valorile tensiunii și curentului din circuitul de sarcină al generatorului electric din coloanele 6 și 7 ale tabelului 5.3, în baza formulei (5.5), s-au calculat valorile momentului rezistență care au fost trecute în coloana 8 a tabelului 5.4.

Așa cum s-a arătat în § 5.2, valorile finale ale vitezei unghiulare a arborelui condus al variatorului de turăție, obținute în urma unui proces de reglare liniară a raportului de transmisie (coloana 5 din tabelul 5.4) se pot calcula și cu formula (5.8) obținută pe cale teoretică. Astfel, pentru prima determinare experimentală, viteză unghiulară a arborelui condus al variatorului, la momentul $t^* = 78$ s la care s-a terminat această determinare, în conformitate cu formula (5.8), are valoarea :

$$\omega_{2f} = \frac{234,9911 + \left\{ \begin{array}{l} \int_0^{78} \frac{1,834(1,2968 + 9,3846 \cdot 10^{-4} t)^2 dt}{6,6766 \cdot 10^{-2}(1,2968 + 9,3846 \cdot 10^{-4} t)^2 + 3,7456 \cdot 10^{-1}} \\ \sqrt{6,6766 \cdot 10^{-2}(1,2968 + 9,3846 \cdot 10^{-4} t)^2 + 3,7456 \cdot 10^{-1}} \\ \int_0^{78} \frac{[(26,79 + 1,834 \cdot 144,4)(1,2968 + 9,3846 \cdot 10^{-4} t) - 0]}{\sqrt{6,6766 \cdot 10^{-2}(1,2968 + 9,3846 \cdot 10^{-4} t)^2 + 3,7456 \cdot 10^{-1}}} dt \end{array} \right\}}{\int_0^{78} \frac{1,834(1,2968 + 9,3846 \cdot 10^{-4} t)^2 dt}{6,6766 \cdot 10^{-2}(1,2968 + 9,3846 \cdot 10^{-4} t)^2 + 3,7456 \cdot 10^{-1}} + 3,7456 \cdot 10^{-1}} dt} . \quad (5.24)$$

Valorile finale ale vitezelor unghiulare ale arborelui condus al variatorului de turăție, în toate cele cinci determinări efectuate în cadrul temei I experimentale au expresii de forma (5.24). După cum se observă, calculele sunt deosebit de dificile, astfel încât efectuarea lor este posibilă numai pe un calculator electronic de mare

capacitate. În paragrafele următoare se va arăta modul în care au fost întocmite schemele logice și programele de calcul în limbaj FORTRAN și se vor prezenta rezultatele obținute prin calcul electronic.

Rezultatele experimentale obținute în urma măsurătorilor și înregistărilor din cadrul temei II experimentale sunt prezentate în tabelul 5.5.

În coloanele 1 și 2 ale tabelului 5.5 s-au trecut frecvențele inițiale de rotație ale celor doi arbori ai variatorului de turăție în baza cărora s-au calculat vitezele unghiulare inițiale ale arborilor care figurează în coloanele 1 și 2 ale tabelului 5.6 și valorile inițiale "a" ale raportului de transmisie al variatorului de turăție din coloana 3 a aceluiași tabel, cu formula (5.12).

În mod analog, în coloanele 5, 6 ale tabelului 5.5 s-au trecut

Tabelul 5.5

Nr. det.	f_{10} [rot.s ⁻¹]	f_{20} [rot.s ⁻¹]	U_o [V]	I_o [A]	f_{1f} [rot.s ⁻¹]	f_{2f} [rot.s ⁻¹]
1	24	31	2	5,4	25	9
2	24,4	12,7	8	1,3	25	9
3	23	9,5	7	1,9	25	9
4	23,2	8,4	6	1,7	25	8,8
5	23,8	19,8	14	1,1	25	9

U_f [V]	I_f [A]	P_f [kW]	θ_{2f} [rad]	t^R [s]
56	7,8	2,65	5975,3093	39,3
65	10,9	1,65	4750,0082	40,5
50	11,6	4	3323,8051	36,1
44	12,1	3,7	2437,8759	26,2
99	6,9	3,1	3298,6723	16,9

frecvențele de rotație ale arborilor variatorului de turăție de la sfîrșitul determinărilor, cu care s-au calculat vitezelor unghiulare respective și, cu formula (5.13), rapoartele de transmisie finale din coloanele 4, 5, 6 ale tabelului 5.6.

În coloanele 3 și 4 ale tabelului 5.5 sunt valorile inițiale ale tensiunii și curentului din circuitul de sarcină al generatorului electric, cu ajutorul cărora se determină valoarea inițială a momentului rezistent cu formula (5.20). Valorile obținute sunt trecute în coloana 9 a tabelului 5.6.

În mod analog, în coloanele 7 și 8 ale tabelului 5.5 figurează

Tabelul 5.6

Ex. det.	ω_{10} [rad.s ⁻¹]	ω_{20} [rad.s ⁻¹]	a	ω_H [rad.s ⁻¹]	ω_{2f} [rad.s ⁻¹]	i _f
1	150,7964	194,7787	0,7742	157,0796	56,5487	2,7777
2	153,3097	79,7964	1,9212	157,0796	56,5487	2,7777
3	144,5133	59,6903	2,4210	157,0796	56,5487	2,7777
4	145,7699	52,7787	2,7619	157,0796	55,2920	2,8409
5	149,5398	124,4071	1,2020	157,0796	56,5487	2,7777
b	M _{rf} [N.m]	p [N.m]	q [N.m.rad ⁻¹]	M _m [N.m]	Funcția de trans- fer	
5,09796.10 ⁻²	7,7243195	0,0041072253	1,2602146.10 ⁻³	16,8704	11776,756	
2,11481.10 ⁻²	12,529024	0,1303317	2,5794943.10 ⁻³	10,5042	4025,593	
0,98809.10 ⁻²	10,256646	0,2228168	3,0187778.10 ⁻³	25,4648	8417,291	
0,30153.10 ⁻²	9,6286794	0,1932598	3,8704265.10 ⁻³	23,5549	6084,912	
9,32367.10 ⁻²	12,079853	0,1237872	3,6245085.10 ⁻³	19,7352	4693,369	

valorile finale ale tensiunii și curentului din circuitul de sarcină, cu care, în baza formulei (5.21), s-au calculat valorile finale ale momentului rezistent, care s-au trecut în coloana 8 a tabelului 5.6.

In coloana 9 a tabelului 5.5 sunt valorile finale ale puterii motorului electric cu care s-au calculat, în conformitate cu formula (5.14), valorile momentului motor din coloana 11 a tabelului 5.6.

In ultimele două coloane 10 și 11 ale tabelului 5.5 sunt date rezultatele înregistrărilor efectuate în cele cinci determinări experimentale. In coloana 10 sunt unghurile totale parcuse de arborele condus al variatorului de turăție, calculate cu formula (5.19); in coloana 11 sunt duratele în timp ale înregistrărilor determinate cunoscind baza de timp a înregistrărilor (50 mm înregistrare — 1 s, fig.5.7).

Cunoscind valoarea inițială p a momentului rezistent (coloana 9, tabelul 5.6) și valoarea finală a acestuia M_{rf} (coloana 8, tabelul 5.6), precum și unghiu total parcurs de arborele mașinii de lucru θ_{2f} (coloana 10, tabelul 5.5), în baza formulei (5.15) s-au determinat pantele legilor liniare de variație ale momentelor rezistente,

$$q = \frac{M_{rf} - p}{\theta_{2f}}, \quad (5.25)$$

care s-au trecut în coloana 10 a tabelului 5.6.

In sfîrșit, în coloana 12 a tabelului 5.6 s-au trecut valorile funcției de transfer a variatorului de turăție, $\frac{M_m}{z + 6^2/4}$.

(§ 4.3), determinate pe baza datelor din cele cinci încercări experimentale.

In vederea comparării rezultatelor experimentale cu rezultatele teoretice obținute în § 4.3 s-a trecut la trasarea grafică a legilor de mișcare $\theta_2 = \theta_2(t)$ ale arborelui condus al variatorului de turatie în conformitate cu expresia (4.39), pentru cele cinci determinări experimentale. Pe graficele care vor trebui să aibă aspectul din fig. 4.3 s-au reprezentat apoi legile de mișcare obținute prin prelucrarea înregistrărilor experimentale, scotindu-se în evidență punctul obținut experimental, corespunzător momentului final al fiecărei determinări, de coordonate t^* (coloana 11, tabelul 5.5) și θ_{2f} (coloana 10, tabelul 5.5). Acest punct, va trebui să se afle în vecinătatea curbei $\theta_2(t)$ teoretice sau, în cazul ideal, chiar pe curbă.

Pentru prima determinare experimentală, legea de mișcare a arborelui condus al variatorului de turatie, în conformitate cu formula (4.39), are expresia

$$\theta_2(t) = \sqrt{\left\{ \frac{\frac{0,0041072253}{1,2602146 \cdot 10^{-3}} - 16,8704}{\frac{0,7742}{1,2602146 \cdot 10^{-3}}} + \right.} \\ \left. + (5,09796 \cdot 10^{-2})^2 \frac{6,6766 \cdot 10^{-2}}{6,6766 \cdot 10^{-2}} \right] \cos \left(\frac{1}{5,09796 \cdot 10^{-2}} \right. \\ \left. \cdot \sqrt{\frac{1,2602146 \cdot 10^{-3}}{6,6766 \cdot 10^{-2}}} \arg \operatorname{sh} \sqrt{\frac{6,6766 \cdot 10^{-2}}{0,37456}} 0,7742 \right) - \\ - 5,097 \cdot 96 \cdot 10^{-2} \sqrt{\frac{0,37456 + 6,6766 \cdot 10^{-2} (0,7742)^2}{1,2602146 \cdot 10^{-3}}} \\ \cdot \left[\frac{194,7787}{5,09796 \cdot 10^{-2}} - 16,8704 \frac{1}{\frac{1}{1,2602146 \cdot 10^{-3}} + (5,09796 \cdot 10^{-2})^2} \right. \\ \left. \cdot 6,6766 \cdot 10^{-2} \right] \sin \left(\frac{1}{5,09796 \cdot 10^{-2}} \sqrt{\frac{1,2602146 \cdot 10^{-3}}{6,6766 \cdot 10^{-2}}} \right. \\ \left. \cdot \arg \operatorname{sh} \frac{6,6766 \cdot 10^{-2}}{0,37456} 0,7742 \right)^2 +$$

$$\begin{aligned}
 & + \left\{ \frac{0,0041072253}{1,2602146 \cdot 10^{-3}} - 16,8704 \frac{0,7742}{1,2602146 \cdot 10^{-3}} \right. \\
 & \left. + \frac{(5,09796 \cdot 10^{-2})^2 6,6766 \cdot 10^{-2}}{+} \right] \sin \left(\frac{1}{5,09796 \cdot 10^{-2}} \cdot \right. \\
 & \left. \cdot \sqrt{\frac{1,2602146 \cdot 10^{-3}}{6,6766 \cdot 10^{-2}}} \arg \operatorname{sh} \sqrt{\frac{6,6766 \cdot 10^{-2}}{0,37456}} 0,7742 \right) + \\
 & + 5,09796 \cdot 10^{-2} \sqrt{\frac{0,37456 + 6,6766 \cdot 10^{-2}(0,7742)^2}{1,2602146 \cdot 10^{-3}}} \\
 & \cdot \left[\frac{194,7787}{5,09796 \cdot 10^{-2}} - 16,8704 \frac{1}{1,2602146 \cdot 10^{-3} + (5,09796 \cdot 10^{-2})^2} \right. \\
 & \left. \cdot 6,6766 \cdot 10^{-2} \right] \cos \left(\frac{1}{5,09796 \cdot 10^{-2}} \sqrt{\frac{1,2602146 \cdot 10^{-3}}{6,6766 \cdot 10^{-2}}} \right. \\
 & \left. \cdot \arg \operatorname{sh} \sqrt{\frac{6,6766 \cdot 10^{-2}}{0,37456}} 0,7742 \right)^2 \sin \left\{ \frac{1}{5,09796 \cdot 10^{-2}} \right. \\
 & \left. \cdot \sqrt{\frac{1,2602146 \cdot 10^{-3}}{6,6766 \cdot 10^{-2}}} \arg \operatorname{sh} \sqrt{\frac{6,6766 \cdot 10^{-2}}{0,37456}} (0,7742 + \right. \\
 & \left. + 5,09796 \cdot 10^{-2} t) + \operatorname{arc} \operatorname{tg} \frac{0,041072253}{1,2602146 \cdot 10^{-3}} - 16,8704 \cdot \right. \\
 & \left. \frac{0,041072253}{1,2602146 \cdot 10^{-3}} - 16,8704 \cdot \right. \\
 & \left. \cdot \frac{0,7742}{1,2602146 \cdot 10^{-3} + (5,09796 \cdot 10^{-2})^2 6,6766 \cdot 10^{-2}} \right] \cos \left(\right. \\
 & \left. \cdot \frac{0,7742}{1,2602146 \cdot 10^{-3} + (5,09796 \cdot 10^{-2})^2 6,6766 \cdot 10^{-2}} \right] \sin \left(\right. \\
 & \left. \left(\frac{1}{5,09796 \cdot 10^{-2}} \sqrt{\frac{1,2602146 \cdot 10^{-3}}{6,6766 \cdot 10^{-2}}} \arg \operatorname{sh} \sqrt{\frac{6,6766 \cdot 10^{-2}}{0,37456}} \right. \right. \\
 & \left. \left. + \frac{1}{5,09796 \cdot 10^{-2}} \sqrt{\frac{1,2602146 \cdot 10^{-3}}{6,6766 \cdot 10^{-2}}} \arg \operatorname{sh} \sqrt{\frac{6,6766 \cdot 10^{-2}}{0,37456}} \right) \right)
 \end{aligned}$$

- 17c -

$$\frac{\cdot 0,7742 - 5,09796 \cdot 10^{-2} \sqrt{0,37456 + 6,6766 \cdot 10^{-2} (0,7742)^2}}{1,2602146 \cdot 10^{-3}}.$$

$$\frac{\cdot 0,7742 + 5,09796 \cdot 10^{-2} \sqrt{0,37456 + 6,6766 \cdot 10^{-2} (0,7742)^2}}{1,2602146 \cdot 10^{-3}}.$$

$$\frac{\cdot \frac{194,7787}{5,09796 \cdot 10^{-2}} - 16,8704}{1,2602146 \cdot 10^{-3} + (5,09796 \cdot 10^{-2})^2}.$$

$$\frac{\cdot \frac{194,7787}{5,09796 \cdot 10^{-2}} - 16,8704}{1,2602146 \cdot 10^{-3} + (5,09796 \cdot 10^{-2})^2}.$$

$$\left[\frac{1}{5,09796 \cdot 10^{-2}} \sqrt{\frac{1,2602146 \cdot 10^{-3}}{6,6766 \cdot 10^{-2}}} \right] \sin \left(\frac{1}{5,09796 \cdot 10^{-2}} \sqrt{\frac{1,2602146 \cdot 10^{-3}}{6,6766 \cdot 10^{-2}}} \right).$$

$$\left[\frac{1}{5,09796 \cdot 10^{-2}} \sqrt{\frac{1,2602146 \cdot 10^{-3}}{6,6766 \cdot 10^{-2}}} \right] \cos \left(\frac{1}{5,09796 \cdot 10^{-2}} \sqrt{\frac{1,2602146 \cdot 10^{-3}}{6,6766 \cdot 10^{-2}}} \right).$$

$$\left. \begin{aligned} & \cdot \arg \operatorname{sh} \sqrt{\frac{6,6766 \cdot 10^{-2}}{0,37456}} 0,7742 \\ & \cdot \arg \operatorname{sh} \sqrt{\frac{6,6766 \cdot 10^{-2}}{0,37456}} 0,7742 \end{aligned} \right\} - \frac{0,0041072253}{1,2602146 \cdot 10^{-3}} + \\ & + (0,7742 + 5,09796 \cdot 10^{-2} t) \frac{16,8704}{1,2602146 \cdot 10^{-3} + (5,09796 \cdot 10^{-2})^2}. \end{math>$$

$$\cdot 6,6766 \cdot 10^{-2} \quad (5.26)$$

Pentru toate cele cinci determinări din tema II-a experimentală, legile de mișcare ale arborelui condus al variatorului de turatie au expresii analoge cu (5.26). După cum se observă, calculele necesare pentru tabelarea acestor legi de mișcare în vederea reprezentării grafice sunt extrem de complicate și de voluminoase încit efectuarea lor a fost posibilă numai pe un calculator de mare capacitate, pe baza schemelor logice și a programelor FORTRAN prezентate în paragraful următor.

§ 5.4. Intocmirea schemelor logice și a programelor FORTRAN pentru prelucrarea pe calculator a rezultatelor determinărilor experimentale. Pentru tema I experimentală, așa cum s-a arătat în paragraful precedent, s-a pus problema calculului integralelor definite (5.8), care pentru fiecare din cele cinci determinări experi-

mentale, au un aspect concret de forma (5.24). Datorită complexității ei deosebite, problema a fost abordată în două etape.

In prima etapă a fost calculată integrala

$$C_1 = \int_0^t \frac{\beta(i_0 + kt)^2 dt}{J_1(i_0 + kt)^2 + J_2} . \quad (5.27)$$

care intervine de două ori în relația (5.8).

In urma efectuării primei etape de calcul, expresia (5.8) capătă forma

$$\omega_2 = \frac{-C_1}{\sqrt{J_1(i_0 + kt)^2 + J_2}} \left\{ \omega_{20} + \int_0^t \frac{[(\alpha + \beta \omega_{1k})(i_0 + kt) - M_r] e^{C_1}}{\sqrt{J_1(i_0 + kt) + J_2}} dt \right\} . \quad (5.28)$$

In a doua etapă a fost calculată integrala

$$C_2 = \int_0^t \frac{[(\alpha + \beta \omega_{1k})(i_0 + kt) - M_r] e^{C_1}}{\sqrt{J_1(i_0 + kt) + J_2}} dt \quad (5.29)$$

care intervine în expresia (5.28).

După efectuarea celei de a două etape, calculele care au mai rămas în expresia (5.28) au putut fi făcute cu calculatorul electronic de mică capacitate "Texas Instruments SR 50".

Pentru calculul integralelor C_1 și C_2 s-a aplicat metoda Simpson de calcul numeric al integralelor definite [240].

Poarte pe scurt, această metodă permite calculul integralelor de formă

$$C = \int_a^b f(t) dt. \quad (5.30)$$

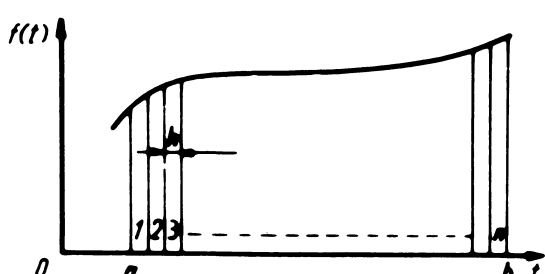


Fig.5.9.

In acest scop, intervalul de integrare $[a, b]$ se împarte într-un număr par, n , de subintervale (fig.5.9), având fiecare lățimea

$$h = \frac{b - a}{n}. \quad (5.31)$$

Evident, calculul este cu atât mai precis cu cît numărul n de subintervale este mai mare.

In conformitate cu metoda Simpson, valoarea integralei (5.30)

este dată de formula

$$C = \frac{h}{3} [f(a) + f(b) + S_4 + S_2], \quad (5.32)$$

în care S_4 și S_2 sunt niște sume având expresiile

$$S_4 = 4[f(a+h) + f(a+3h) + \dots + f(b-h)], \quad (5.33)$$

$$S_2 = 2[f(a+2h) + f(a+4h) + \dots + f(b-2h)]. \quad (5.34)$$

Pentru transpunerea pe calculator a acestei metode s-a întocmit schema logică (ordinograma) din fig.5.10.

Semnificația etapelor de calcul din schema logică din fig.5.10 este următoarea:

1 - Calculatorul ia cunoștință de programul de calcul și îl introduce în memorie.

2 - Calculatorul citește de pe cartelele de date limitele a , b ale intervalului de integrare și numărul n de subintervale în care se imparte acesta. Pentru a asigura o precizie foarte bună a calculului, s-a luat $n = 100$.

3 - Se calculează lățimea unui subinterval (formula (5.31)).

4 - Etapele 4-8 corespund calculării sumei S_4 după expresia (5.33). În etapa 4 se atribuie variabilei t valoarea $t=a+h$ de la sfîrșitul primului subinterval, iar sumei S_4 , valoarea sa inițială nulă, $S_4 = 0$.

5 - Se calculează valorile lui $f(t)$ pentru $t = a+h, t = a+3h, \dots$ și se adună la valoarea obținută anterior pentru S_4 , așa cum prevede expresia (5.33).

6 - Se majorează valoarea variabilei t cu două subintervale și se obțin astfel pentru t valorile $a+h, a+3h, \dots$ corespunzătoare subintervalelor impare așa cum sint necesare în formula (5.33).

7,8 - Calculatorul cercetează dacă variabila t mai este încă mai mică decât valoarea $b-h$ corespunzătoare ultimului subinterval al intervalului de integrare. Dacă răspunsul este "da", înseamnă că mai sunt de calculat termeni ai sumei S_4 și atunci reia etapele 5, 6, 7 în care se calculează acești termeni. Dacă răspunsul este "nu", rezultă că s-au calculat toți termenii sumei S_4 și trece la etapa 8 în care se face înmulțirea cu 4 așa cum cere expresia (5.33), și cu aceasta suma S_4 este complet calculată.

9-13 - În aceste etape, în mod absolut analog ca în etapele 4-8, calculatorul calculează suma S_2 .

14 - În această etapă, calculatorul calculează valorile $f(a)$ și

$f(b)$ și, cu ajutorul sumelor S_4 și S_2 deja determinate, calculează valoarea integralei după formula (5.32).

15 - În primul calculatorul tipărește valoarea C a integralei.

16 - Se oprește calculul.

În baza schemei logice din fig.5.10, au fost întocmite cinci programe FORTRAN pentru calculul celor cinci integrale C_{11} , ($i=1,2,\dots,5$) și încă cinci programe pentru calculul integralelor C_{12} , ($i=1,2,\dots,5$) de forma (5.27), respectiv (5.29), pentru cele cinci determinări experimentale de la tema I experimentală.

Programul pentru calculul integralei C_{11} este dat în fig.5.11 și este o transpunere fidelă în limbaj FORTRAN a schemei logice din fig.5.10, încât nu sunt necesare comentarii suplimentare. Programele pentru calculul celorlalte integrale au o structură analogă cu cea din fig.5.11 și de aceea nu au mai fost reproduse în teză.

Pentru tema II experimentală, apărutul calculatorului electronic s-a dovedit indispensabil la tabelarea legii de mișcare a arborelui condus al variatorului, având expresia literală (4.39) și expresii concrete de forma (5.26).

Pentru tabelarea funcțiilor $\theta_2 = \theta_2(t)$ s-a întocmit schema logică din fig.5.12.

Successivitatea etapelor de calcul din schema logică din fig.5.12 este următoarea:

1 - Marchează pregătirea calculatorului pentru efectuarea calculului cerut de program.

2 - În vederea asigurării unei reprezentări grafice foarte precise a legii de mișcare $\theta_2(t)$, au fost calculate valorile funcției la îndată variabila t cu pas de 0,1 secunde. În etapa 2 a schemei logice, se atribuie lui t prima valoare, adică $t = 0,1$ s.

3 - În această etapă calculatorul calculează valoarea funcției $\theta_2(t)$ pentru valoarea dată a variabilei, adică efectuează un calcul de forma expresiei (5.26).

4 - Se tipărește la imprimantă atât valoarea variabilei t, cât și valoarea corespunzătoare a funcției $\theta_2(t)$.

5 - Variabila t capătă valoarea imediat următoare, obținută prin adăugarea pasului de 0,1 s.

6,7 - În etapa 6, calculatorul cercetează dacă variabila t este încă sub valoarea t^* la care s-a terminat determinarea experimentală și la care trebuie deci opriță tabelarea legii de mișcare. Dacă răspunsul este "da" rezultă că mai trebuie continuat calculul și, în consecință, se reiau etapele 3-6. Dacă răspunsul este "nu"

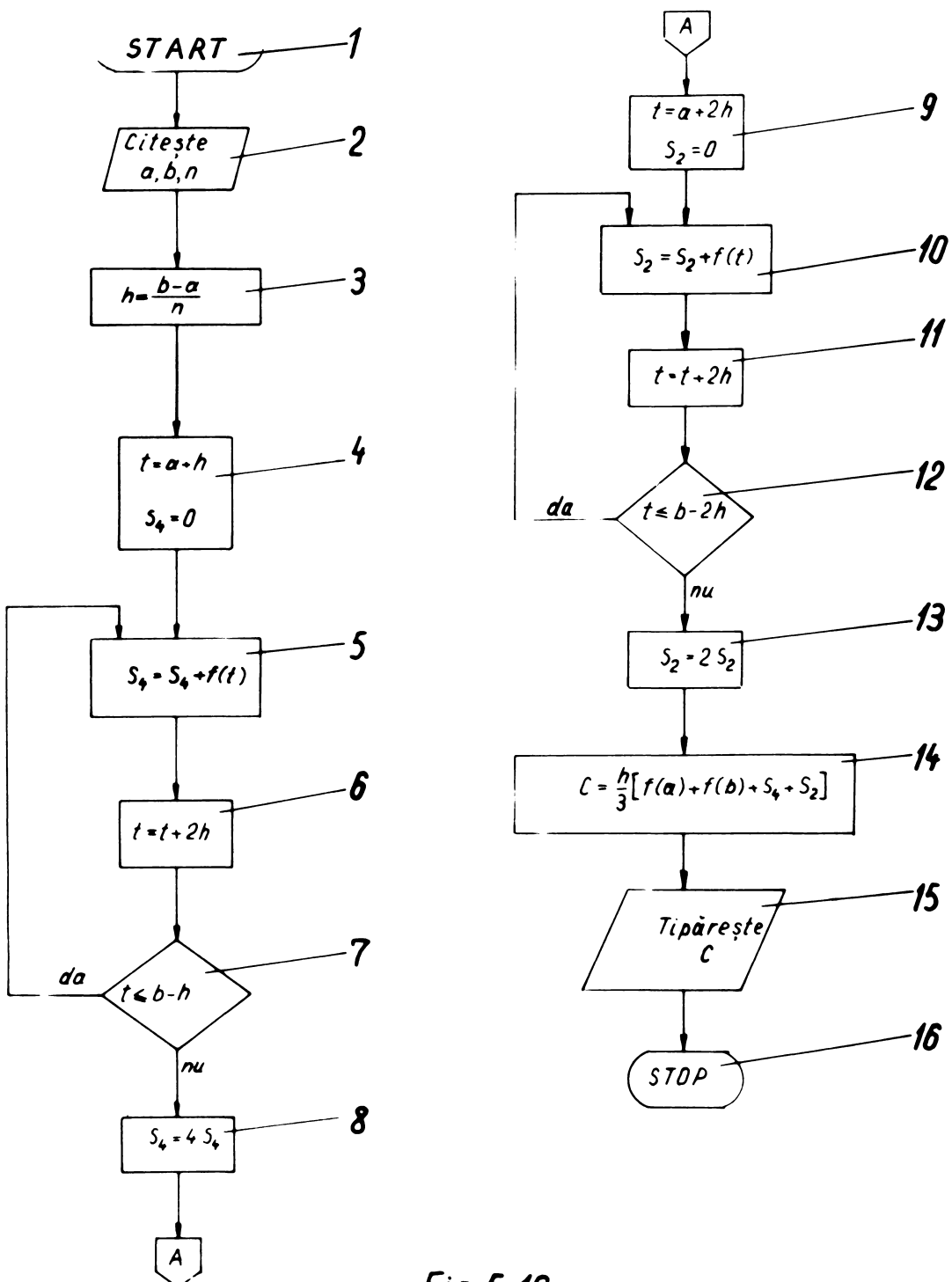


Fig. 5.10.

FORTRAN		IPT CENTRUL DE CALCUL				PAGINA
PROGRAM:	Chiriac Adrian	LUCRAREA	DATA			
1	708 INTEGRAL, AN: P2.00, PN: CHIRIAC					
2	COMPILE FORTRAN					
3	CALCULUL INTEGRALUI C11.					
4	READ(10,5),A,B,N,K					
5	FORMAT(2,F10.3,2,1/5)					
6	H=(B-A)/N					
7	T=A+H					
8	S=0.0					
9	S=S+T*(1.2968+0.00093866*T)*X2/(0.066766*(1.2968+0.00093846*					
10	*X*T)*X2+0.37456)					
11	T=T+2*XH					
12	I=F(T-B+2*XH)2,2,3					
13	S=G*54					
14	T=A+2*XH					
15	S2=0.0					
16	S2=S2+T*(1.2968+0.00093866*T)*X2/(0.066766*(1.2968+0.00093846*					
17	*X*T)*X2+0.37456)					
18	T=T+2*XH					
19	I=F(T-B+2*XH)4,4,5					
20	S2=S2+52					
21	C11=4*(1.834*(1.2968+0.00093866*A)*X2/(0.066766*(1.2968+0.00093846*					
22	*X*A)*X2+0.37456)+1.834*(1.2968+0.00093866*B)*X2/(0.066766*(1.2968+					
23	+0.00093866*X*B)*X2+0.37456)+54+52)/3					
24	WRT(108,5)C11					
25	FORMAT(10X,?C11=?,,E20.?)					
26	I=F(K)7,T,B					
27	S1BP					
28	END					
29	LINK					
30	RUN AD:0,0					
31	0.001 78.0 100. 1					
32	E87					

IPI CENTRUL DE CALCUL

PROGRAM: Tabelarea functiei $\theta_1(t)$ pentru prima inregistrare	LUCRAREA	DATA	PAGINA
PROGRAMATOR: Chiriac Adrian		30.01	22/5
FRONTIERE:			IDENTIFICAR CARTELEI: 60
<pre> 788 TABFUNCT,AN:P200,PN:CHIRIAC COMPILE,FORTAN TABELAREA LUI, A=0.7T, PENTRU PRIMA, INREGISTRARE 0.0, 1, I=1,3,93,1 T=7/10.0 TETA=-14.86,-1.825*51N(2.69493,4,1)*ALOG((0.423,19.88*(0.,77.62+0.,05.09786*T), *+50RT((0.,4221988*(0.,77.62+0.,0509796*T))*W2,1))-0.,513,19.61)-33.8,-16.435 *+192.64158*T 1, WRITE(108,2)T,TETA 2, FORMAT(15X,,T=2,F4.,1,5X,,TETA=,"E20.,8) STOP END LINK RUN AD:0,0 END </pre>			

Fig. 5.13.

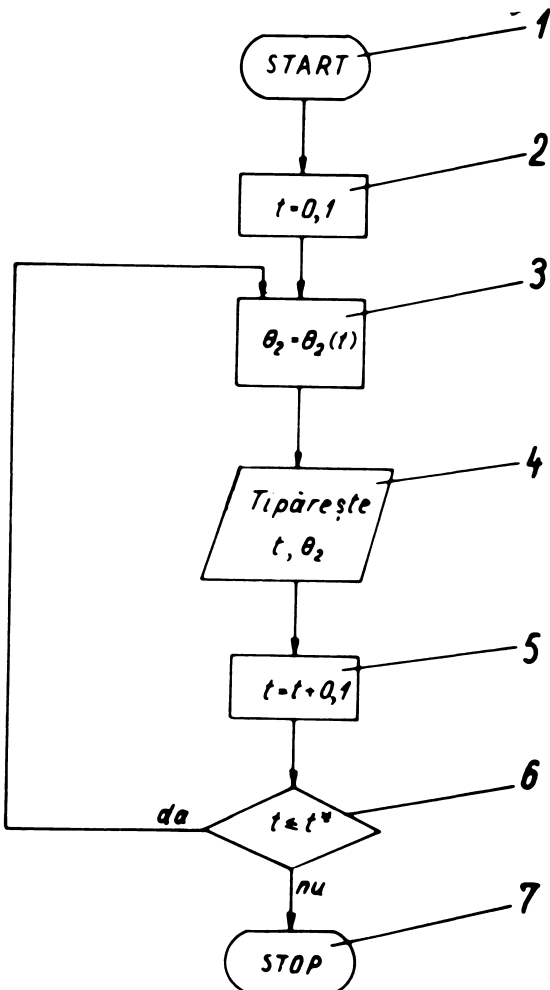


Fig.5.12.

înseamnă că au fost calculate toate valorile funcției prevăzute de program și se dă comanda 7 de incetare a calculului.

Pe baza schemei logice din fig.5.12, au fost întocmite programele pentru tabelarea lui $\theta_2(t)$ corespunzătoare celor cinci determinări din tema II experimentală.

Pentru prima determinare experimentală, de exemplu, programul rezultat este prezentat în fig.5.13. Nici aici nu sunt necesare comentarii suplimentare fiindcă și acest program reprezintă o transpunere exactă în limbaj FORTRAN a schemei logice din fig.5.12.

Programele FORTRAN pentru tabelarea celorlalte legi de mișcare $\theta_2(t)$ din celelalte determinări experimentale au o structură analogă cu cea a programului din fig.5.13.

§ 5.5. Presentarea rezultatelor obținute pe calculatorul electronic și compararea rezultatelor experimentale cu cele teoretice. Programele FORTRAN întocmite aşa cum s-a arătat în paragraful precedent, au fost rulate pe calculatorul de mare capacitate "FELIX C-256" aflat în dotarea Centrului de Calcul Electronic al Institutului politehnic Timișoara.

Pentru tema I experimentală, listingurile furnizate de calculator în urma calculării integralelor C_{11} ($i=1,2,\dots,5$) sunt prezente în anexele 1-5 ale tezei, iar cele pentru integralele C_{12} ($i=1,2,\dots,5$) sunt date în anexele 6-10.

În vederea comparării rezultatelor teoretice cu cele experimentale, acestea au fost centralizate în tabelul 5.7.

Tabelul 5.7

Nr. detrm.	C_{11}	C_{12}	ω_{2f} -teoretic [rad/s]	ω_{2f} -experim. [rad/s]	ϵ [%]
1	504,8896	42430,79	78,689845	62,8318	20,15
2	406,8804	26151,85	80,548018	61,5752	23,55
3	459,1741	32593,48	88,814437	61,5752	30,67
4	377,3716	26868,83	74,368187	61,5752	17,20
5	790,2776	50434,96	77,669747	61,5752	20,72

În coloanele 1 și 2 ale tabelului au fost trecute valorile integralelor C_{11} și C_{12} , preluate din listingurile obținute de la calculator (anexele 1-10). În coloana 3 sunt valorile vitezei unghiulare finale ω_{2f} a arborelui condus al variatorului, calculate cu formula teoretică (5.8). În coloana 4 sunt valorile experimentale ale lui ω_{2f} , care au fost preluate din coloana 5 a tabelului 5.4. În coloana 5 a tabelului 5.7 sunt erorile relative care apar între rezultatele experimentale și cele teoretice.

După cum se observă, erorile relative, la prima vedere, sunt destul de mari. Apariția acestor erori este însă explicabilă prin faptul că variatorul de turăție pe care s-a efectuat încercările experimentale, nu se pot încadra în condițiile de variator carecum idealizat, pentru care s-a stabilit ecuația diferențială (4.9), având soluția (5.8).

Se reamintește că la stabilirea ecuației diferențiale a mișcării agregatului de mașini cu variator de turăție, (4.9), a trebuit să se admită că variatorul are randamentul egal cu unitatea și că nu prezintă nici un fel de alunecări cinematice între elementele ca-

re transmit mișcarea.

Dacă în privința randamentului, variatorul din standul de probă este destul de aproape de variatorul ideal, în schimb, în privința alunecărilor cinematice, diferența este importantă, datorită faptului că este un variator hidraulic. Mișcarea se transmite de la elementul conducerător la cel condus prin intermediul unui agent fluid (ulei), proces care, desigur, este însotit de alunecare cinematică. Din acest motiv, între rezultatele experimentale și cele teoretice care corespund variatorului idealizat, apar diferențele ce se pot constata în tabelul 5.7. În plus, se observă că erorile care apar au un caracter sistematic, în sensul că toate vitezele unghiulare teoretice au valori mai mari decât cele determinate experimental. Si acest aspect se explică tot pe baza alunecărilor cinematice din variatorul hidraulic, al cărui element condus nu poate atinge viteză unghiulară calculată teoretic, pentru un variator de turatie fără alunecare. Cu aceste precizări asupra sursei erorilor care au apărut, se apreciază că rezultatele experimentale concordă într-o măsură satisfăcătoare cu cele teoretice.

Pentru tema a II-a experimentală, listingurile obținute de la calculator se prezintă în anexele 11-15. Acestea cuprind legea de mișcare $\theta_2(t)$ a elementului condus al variatorului, tabelată cu un pas al variabilei de 0,1 s, pentru cele cinci determinări experimentale. Tabelări s-au făcut pentru valori ale timpului cuprinse între zero și t^* , adică pentru intervale de timp pe parcursul căror au fost efectuate înregistrările experimentale respective. În baza acestor date, în figurile 5.14 - 5.18, au fost trase legile de mișcare calculate teoretic cu expresia (4.39), corespunzătoare celor cinci regimuri de mișcare realizate experimental. Apoi, pe fiecare diagramă s-a reprezentat și legea de mișcare obținută prin prelucrarea înregistrării experimentale corespunzătoare, punindu-se în evidență punctul final de coordonate $E(t^*, \theta_{2f})$.

Rezultatele prelucrării înregistrărilor experimentale se prezintă în tabelul 5.8.

Tabelul 5.8

t [s]	θ_2 - experim. [rad]				
	Inreg.1	Inreg.2	Inreg.3	Inreg.4	Inreg.5
1	150,8	144,5	150,8	150,8	213,6
2	361,8	295,9	279,9	234,8	439,5
3	569,5	455,7	399,8	319,7	663,3
4	769,6	611,8	519,4	399,6	881,1
5	979,5	767,6	639,4	489,5	1086,0
6	1169,7	927,8	739,6	569,4	1298,8
7	1369,3	1079,7	849,4	655,3	1510,5

Tabelul 5.8 (continuare)

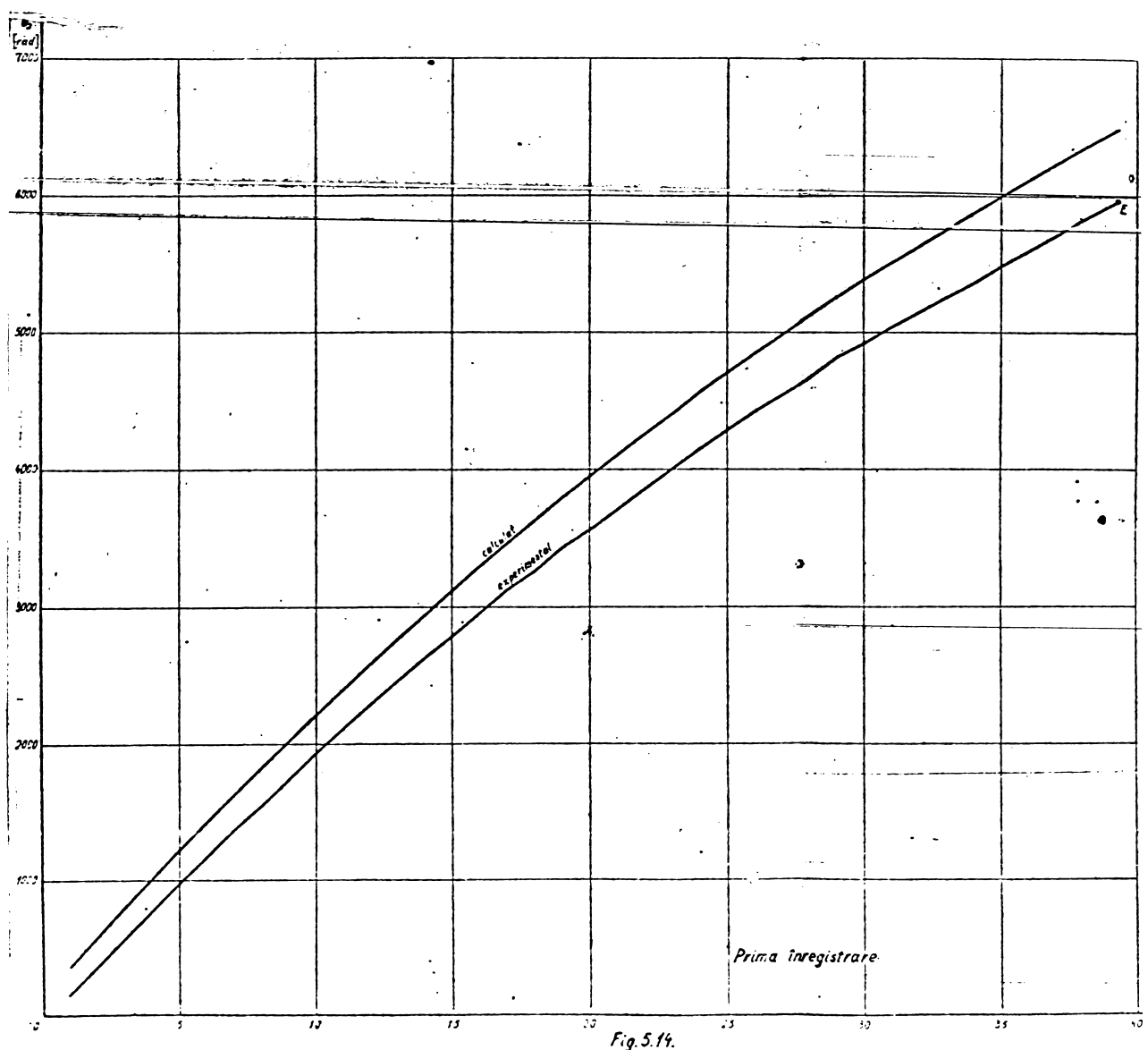
t [s]	θ_2 -experim. [rad]				
	Inreg.1	Inreg.2	Inreg.3	Inreg.4	Inreg.5
8	1549,4	1223,5	959,5	741,2	1700,3
9	1743,1	1367,6	1049,5	821,2	1888,1
10	1939,0	1519,4	1159,4	904,1	2077,9
11	2118,9	1655,6	1259,6	994,0	2260,7
12	2298,8	1799,5	1349,3	1083,9	2447,5
13	2478,9	1927,7	1439,1	1168,8	2621,4
14	2638,4	1687,6	1539,2	1253,7	2797,2
15	2798,6	2203,4	1619,3	1350,6	2970,0
16	2968,5	2331,4	1699,1	1438,6	3129,9
16,9	-	-	-	-	3298,7
17	3138,4	2459,5	1789,4	1532,5	
18	3268,6	2579,3	1869,1	1624,4	
19	3438,3	2719,4	1959,0	1728,3	
20	3578,2	2839,3	2043,8	1818,2	
21	3728,3	2959,5	2108,9	1908,1	
22	3872,1	3063,2	2186,7	2011,2	
23	4018,0	3167,2	2269,9	2107,9	
24	4167,8	3279,4	2348,8	2209,8	
25	4297,8	3383,1	2422,6	2322,7	
26	4437,6	3491,3	2488,7	2417,6	
26,2	-	-	-	2437,9	
27	4557,7	3599,1	2558,7		
28	4677,8	3687,2	2642,5		
29	4837,6	3799,0	2718,6		
30	4937,5	3879,2	2798,4		
31	5047,8	3979,0	2888,5		
32	5157,4	4059,3	2970,6		
33	5277,2	41310,0	3058,5		
34	5377,3	4218,9	3142,2		
35	5497,3	4298,8	3228,4		
36	5617,5	4390,9	3308,3		
36,1	-	-	3323,8		
37	5717,1	4478,7			
38	5847,1	4558,9			
39	5943,0	4658,6			
39,3	5975,3	-			
40		4726,8			
40,5		4750,1			

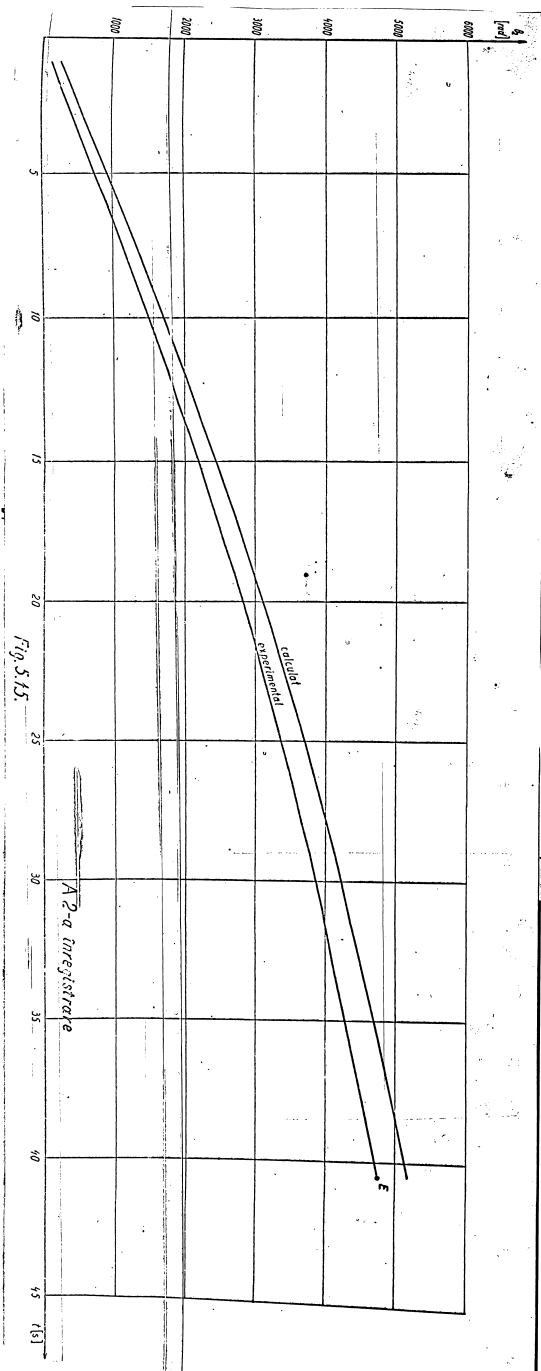
In toate diagramele, "punctul final experimental" E are o pozitie destul de apropiata de curba legii de miscare trasata teoretic.

Pentru compararea cantitativa a rezultatelor teoretice si experimentale s-a intocmit tabelul 5.9.

Tabelul 5.9

Nr. determin.	θ_{2f} -experim. [rad]	θ_{2f} -teoretic [rad]	ε [%]
1	5975,3093	6499,4023	8,07
2	4750,0882	5199,3826	8,64
3	3323,8051	3599,3730	7,65
4	2437,8759	2603,1013	6,35
5	3298,6723	3499,1580	5,73
	1	2	3





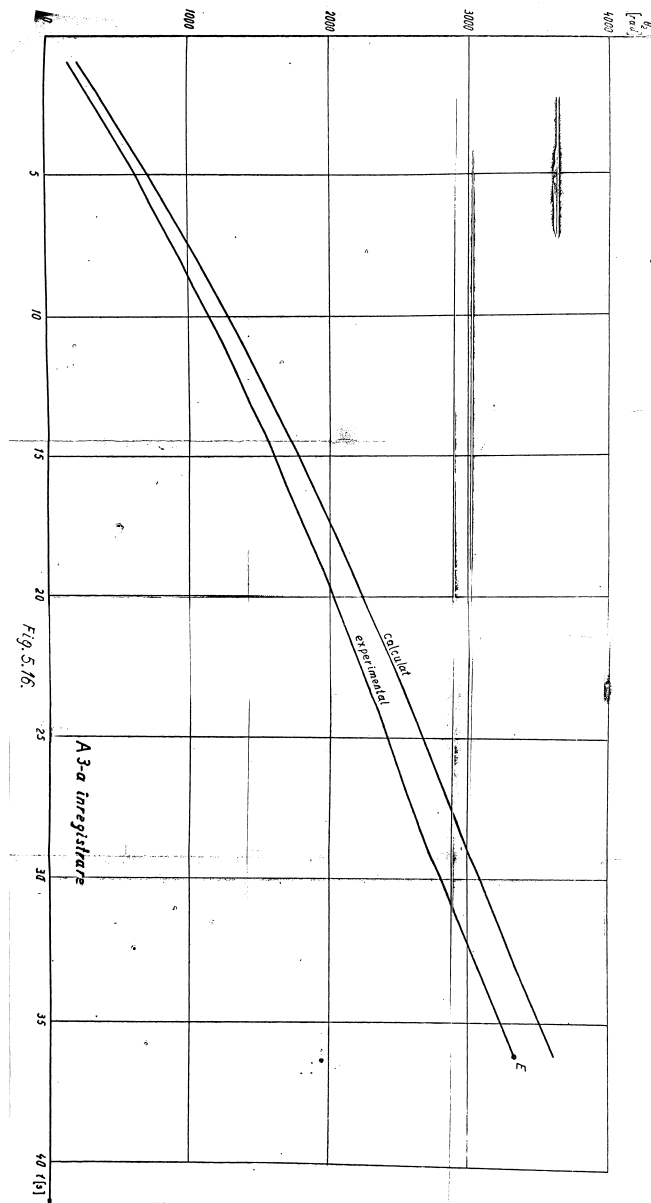


Fig. 5.16.

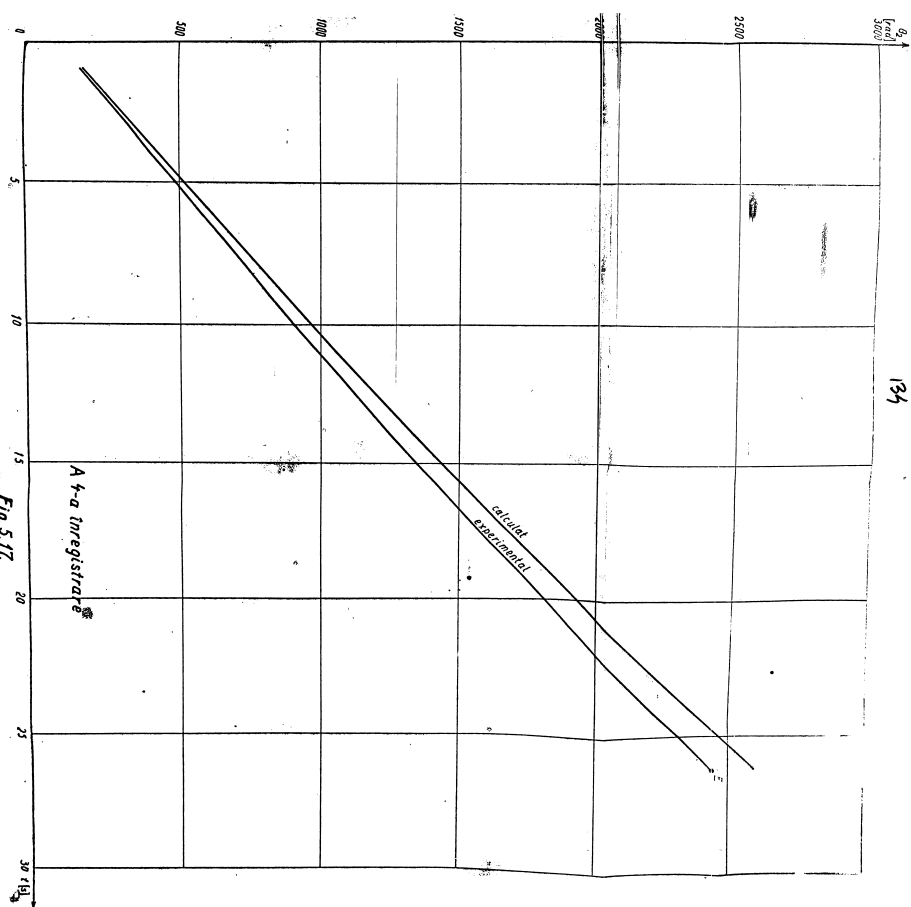


Fig. 5.17.

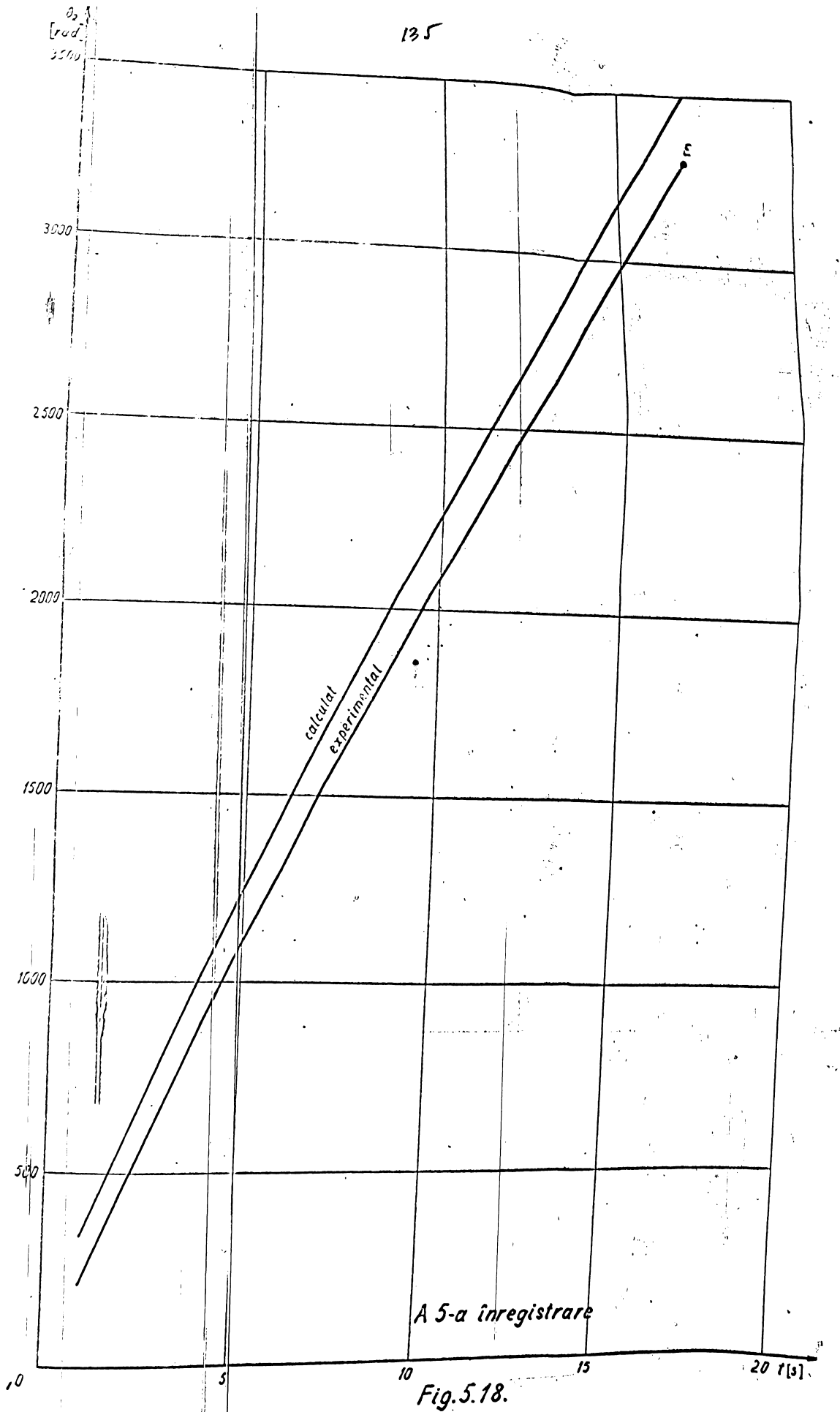


Fig. 5.18.

In coloana 1 a tabelului au fost trecute valorile finale ale unghiului θ_2 de rotație al arborelui condus al variatorului, determinate experimental (tabelul 5,5, coloana 10).

In coloana 2, sunt valorile calculate teoretic ale unghiului θ_2 final, care apar ca ultime valori in listingurile din anexele 11 - 15.

In coloana 3 s-a trecut eroarea relativă.

Dupa cum se observă, și aici apar diferențe între rezultatele experimentale și cele teoretice. Sursa acestor diferențe este, desigur, cea semnalată la tema I experimentală și anume, faptul că variatorul hidraulic prezintă alunecări cinematice de care calculul teoretic nu poate sănătă. De aceea, erorile au un caracter sistematic: toate valorile experimentale ale unghiului θ_{2f} au rezultat mai mici decât cele teoretice (tabelul 5.9). Explicația acestui aspect provine tot de la alunecările cinematice din variatorul de turăție; datorită acestora, s-a văzut că arborele condus al variatorului realizează o viteza unghiulară mai mică decât cea calculată teoretic astfel încât și unghiul θ_{2f} parcurs la sfârșitul unui interval de timp, rezultă mai mic decât cel determinat teoretic.

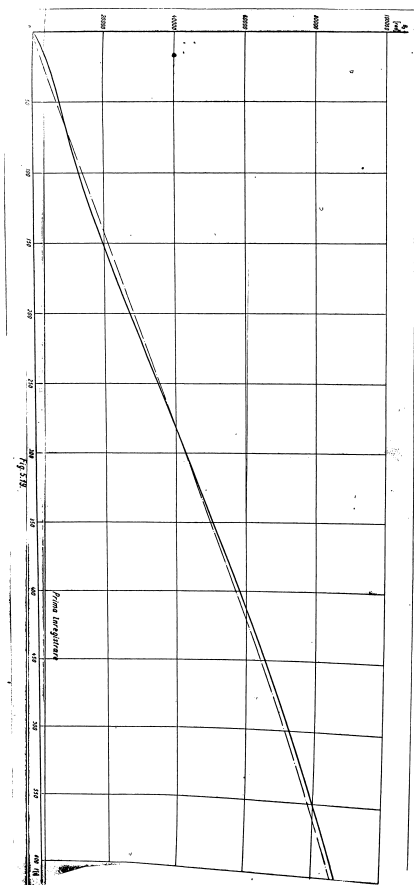
O deficiență a diagramele din figurile 5.14 - 5.18 este faptul că din ele nu rezultă caracterul vibratoriu al legii de mișcare $\theta_2(t)$, așa cum a fost constatat în § 4.3 (fig. 4.3). Explicația constă în aceea că "perioada" mișcării vibratorii este considerabil mai mare decât tot intervalul de timp pe care s-au făcut reprezentările grafice, astfel încât ceea ce apare în diagrame reprezintă numai o "semiperioadă" a mișcării sau chiar mai puțin. Excepție face diagrama din figura 5.18 corespunzătoare celei de a cincea determinări experimentale pe care se poate distinge circa o "perioadă" a mișcării. La această determinare experimentală, operatorul de la standul de probă al variatoarelor a realizat cea mai mare pantă a legii liniare de reglare a raportului de transmisie (tabelul 5.6, coloana 7) la care se mai putea conta pe o liniaritate satisfăcătoare a acestei legi. Prin urmare, pentru ca natura vibratorie a legii de mișcare să iasă bine în evidență pe diagramele mișcărilor, ar fi necesar fie ca reglarea raportului de transmisie să se facă extrem de rapid (ceea ce nu este posibil pe cale manuală cu asigurarea simultană a caracterului liniar al legii de reglare), fie ca determinările experimentale să se extindă pe durată mai multor minute. Reprezentările grafice sunt făcute pe intervale de timp egale cu duratele determinărilor experimentale, care, din motive constructive ale instalației experimentale, nu pot de-

păși cîteva zeci de secunde.

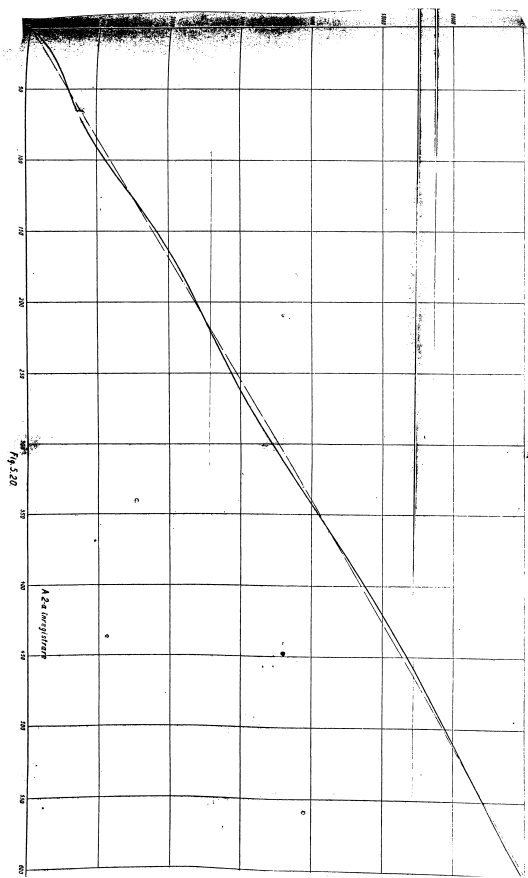
Pentru eliminarea acestei deficiențe, s-a recurs la reprezentarea grafică a legilor de mișcare $\theta_2(t)$ pe parcursul unor intervale de timp de 10 minute, pentru toate determinările experimentale.

In acest scop au fost întocmite cinci noi programe FORTRAN obținute prin modificarea programelor din fig.5.13, astfel încît să se prelungească timpul de tabelare al funcțiilor $\theta_2(t)$ pînă la 10 minute, cu majorarea corespunzătoare a pasului variabilei, de la 0,1 s la 1 s. Programele rezultate au aceeași structură ca și cele din fig.5.13, ea încît nu s-a considerat necesar să mai fie reproduse aici.

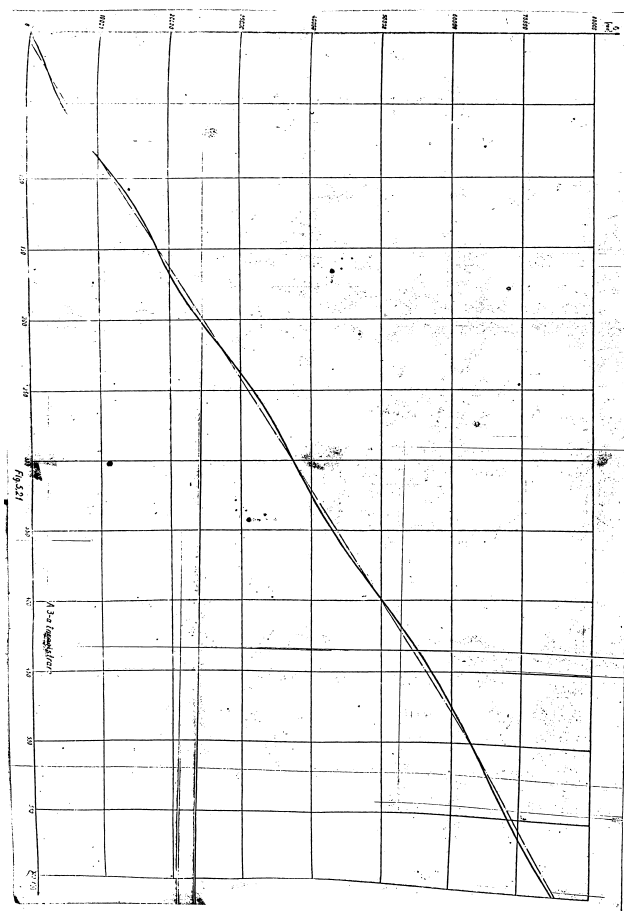
Listingurile furnizate de calculator în urma rulării acestor programe sint prezentate în anexele 16 - 20, iar reprezentările grafice corespunzătoare se află în figurile 5.19 - 5.23 . Din aceste figuri reiese clar caracterul vibratoriu al legii de mișcare $\theta_2(t)$ a arborelui condus al variatorului, așa cum este definit de expresia (4.39). De asemenea, se mai observă faptul că, deși are amplitudine constantă, mișcarea nu este periodică, avînd o "perioadă" crescătoare în timp. Așa dar, mișcarea arborelui condus al variatorului se prezintă ca o vibrație modulată în frecvență după o lege complexă [expresia (4.39)] .



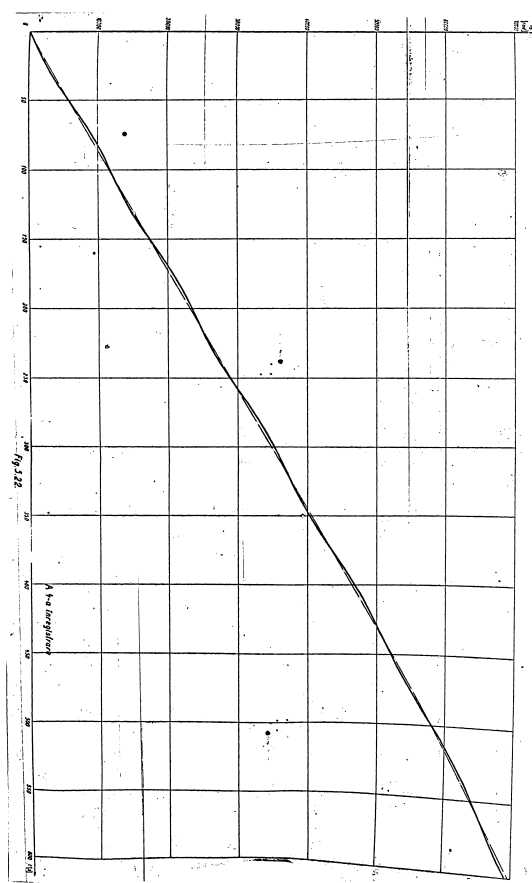
- 138 -



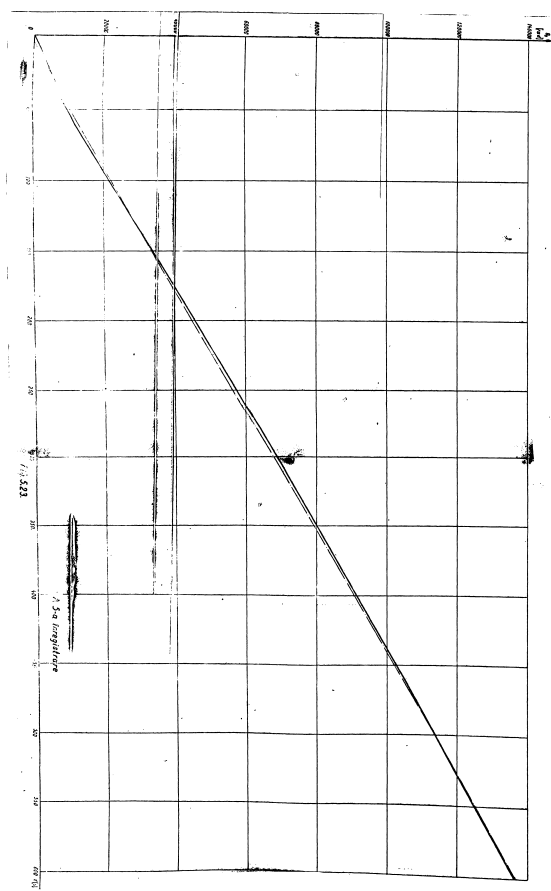
- 159 -



- 10 -



- 14 -



CAP.6. C O N C L U Z I I

După cum s-a subliniat în capitolul introductiv, documentele programatice ale Partidului Comunist Român pun în fața cercetării științifice, a ingineriei tehnologice, sarcini de foarte mare importanță pentru progresul tehnico-științific în deceniul 1981-1990. De aceea, în încheiere se vor prezenta în mod sintetic problemele cele mai esențiale care au fost formulate în cadrul tezei și prin a căror soluționare s-au adus contribuții la studiul dinamicii agregatelor de mașini.

1. În § 2.1 s-a abordat problema deosebit de importantă și totodată foarte controversată în literatura de specialitate, a alegării caracteristicii mecanice a motorului electric de acționare. În orice studiu al dinamicii unui agregat de mașini, motorul electric trebuie luat în considerare prin intermediul caracteristicii lui mecanice. Așa cum s-a arătat în paragraful respectiv, exprimarea caracteristicii mecanice a motorului se poate face însă în moduri diverse, mai mult sau mai puțin precise. Totuși, în lucrările de specialitate se disting trei orientări mai importante în această privință: a) motorul electric se consideră ca o sursă ideală de energie, adică dispune de putere infinită și poate furniza un moment motor constant, indiferent de fenomenele dinamice care au loc în agregatul de mașini; b) pentru descrierea comportării motorului electric, se folosește caracteristica mecanică statică, denumită "statică" întrucât nu cuprinde influența proceselor electromagnetice tranzitorii din motor; c) se folosește caracteristica mecanică "dinamică" a motorului electric care exprimă și fenomenele electromagnetice tranzitorii din motor. Desigur că cea de a treia modalitate de considerare a motorului electric este cea mai completă, dar comportă și cele mai mari dificultăți de calcul. Totuși, nu trebuie sănătă să ideea că un studiu corect al dinamicii unui agregat de mașini se poate face numai prin considerarea caracteristicii mecanice dinamice a motorului; de la caz la caz, se pot obține re-

sultate foarte bune și cu primele două maniere de a exprima proprietățile motorului. În această situație se pune problema de a alege în fiecare caz acel tip de caracteristică mecanică a motorului, care să conducă la rezultate corecte pentru studiul întreprins. Contribuția originală adusă în teză constă în sesizarea acestei probleme și rezolvarea ei completă; așa cum s-a văzut în § 2.1, au fost delimitate domeniile de aplicabilitate ale fiecărui tip de caracteristică mecanică și totodată, au fost evaluate și erorile care apar prin folosirea altor caracteristici mecanice decât cea dinamică. La soluționarea problemei s-a folosit coeficientul de dinamicitate al mișcării, acesta caracterizând în modul cel mai complet comportarea dinamică a agregatului, deoarece în expresia lui intervin absolut toți parametrii, atât mecanici cât și electrici, ai agregatului de mașini.

2. În § 2.2 se deduce o nouă formulă pentru determinarea accelerării unghiulare maxime a unui agregat de mașini aflat în mișcare stationară și, în baza ei, o nouă formulă pentru coeficientul de dinamicitate al mișcării agregatului.

Ambele formule sunt aproximative însă au calitatea de a fi foarte simple și prin aceasta, devin utile în calculele inginerării de proiectare preliminară a elementelor agregatelor de mașini. Ceea ce este interesant de remarcat este faptul că formula pentru accelerarea unghiulară maximă atrage atenția că accelerarea unghiulară maximă și deci și cuplul inertial maxim din agregat sunt proporționale cu pătratul vitezei unghiulare medii a agregatului. O astfel de dependență a solicitărilor de natură inertială de pătratul vitezei unghiulare trebuie cu atât mai mult avută în vedere la proiectarea elementelor agregatelor de mașini moderne care funcționează cu viteze tot mai mari.

3. În § 2.3 se elaborează o metodă originală de integrare grafico-numerică a ecuației de mișcare, pentru o clasă foarte largă de agregate de mașini, la care motorul de acționare este de tip asincron, iar mașina de lucru funcționează după o diagramă de sarcină periodică în raport cu unghiul de rotație al agregatului. Concret, metoda este aplicabilă la următoarele tipuri de agregate de mașini industriale: toate mașinile industriale cu transmisie prin manivele, masele vibrante, dispozitivele de înțoarcere a profilelor la lăminăre, ghilogenele și fcarfecile industriale, instalațiile de basculare, melanjoarele, cuptoarele Martin basculante, mașinile de indoit table și profile lamineate, presele cu excentric, mașinile de forjat, pompele cu pis-

ton, compresoarele cu piston, elevatoarele miniere la care greutatea cablului suspendat nu este contrasechilibrată, elevatoarele miniere (mașinile de extractie) cu tamburul de înfăsurare a cablului de diametru de înfăsurare variabil, excavatoarele cu acționare electrică, pompele de extractie petrolifere cu balansier. Caracterul grafic al metodei provine de la împărțirea perioadei diagramei de sarcină în subintervale egale, iar celiuneric constă în deducerea unei formule de recurență care permite calculul vitezei unghiulare de la sfîrșitul unui subinterval cu ajutorul vitezei unghiulare de la sfîrșitul subintervalului precedent.

4. În § 2.4, pentru agregatele de mașini acționate cumotoare electrice de curent continuu cu excitare independentă – tipul de motor de curent continuu cel mai utilizat – se abordează problema considerării sau neglijării fenomenelor electromagnetice tranzistorii din motorul electric. În lucrările de specialitate, se constată că fiecare autor, în funcție de profunzimea studiului efectuat, se situează pe una din pozițiile de a lăua în considerare sau de a neglija aceste fenomene. Problema considerării sau neglijării proceselor electromagnetice tranzistorii din motor este o "dilemă" nerezolvată în literatura de specialitate și are implicații importante deoarece, în unele cazuri, considerarea acestor procese se dovedește a fi inutilă și aduce cu sine numai complicarea considerabilă a calculelor, iar în alte cazuri, neglijarea acestor procese conduce la rezultate foarte depărtate de fenomenele reale ce au loc în agregatul de mașini. Contribuția originală care se aduce în teză constă și de data aceasta în se-sizarea problemei și în rezolvarea ei pînă la capăt, prin elaborarea unui criteriu care în lucrare a fost denumit criteriul " α ", în baza căruia se poate stabili cu certitudine necesitatea considerării sau neglijării fenomenelor electromagnetice din motorul electric. La stabilirea criteriului s-a pornit atât de la ecuația de mișcare a agregatului cît și de la ecuația proceselor electromagnetice din motorul electric; ambele ecuații diferențiale fiind liniare, au fost obținute cu metoda operațională. Aplicarea criteriului " α " este cunoscută deoarece criteriul se prezintă atât sub formă analitică cît și grafică.

Criteriul este aplicabil următoarelor agregate de mașini industriale care se încadrează în ipotezele în care a fost stabilită instalațiile de acționare electrică principale ale laminoarelor,

vehiculele cu tractiune electrică, mașinile de rectificat, defibratoarele din industria hîrtiei, mașinile de broșat, instalațiile de foraj rotative, morile cu bile, mașinile de șuruit din industria pielăriei, malexoarele, mașinile de dărâcît din industria textilă.

5. Paragraful 2.5 tratează dinamica unui agregat de mașini cu cuplă elastică. Aspectele mai deosebite ale acestei probleme provin din prezența între motorul electric și mașina de lucru a unei couple care prezintă atât proprietăți de amortizare de natură viscoasă, cît mai ales, proprietăți elastice neliniare. De asemenea și aproximarea caracteristicii mecanice a motorului electric printr-un arc de parabolă dă un caracter aparte problemei. Pentru integrarea ecuațiilor diferențiale destul de dificile la care s-a ajuns, s-a aplicat metoda variației constanțelor, combinată cu metoda eproximațiilor succeseive.

6. În capitolul 3 consacrat dinamicii agregatelor de mașini cu volanți se elaborează cinci metode analitice sau grafo-analitice de determinare a momentului de inertie al volantului, în cinci situații diferite prin tipul motorului electric de acționare, tipul transmisiei dintre motor și mașina de lucru, aspectul diagramei de sarcină a mașinii de lucru, gradul de neuniformitate al mișcării, faptul că momentul de inertie redus al agregatului este constant sau variabil. Dintre aceste metode se remarcă cea prezentată în § 3.4, elaborată pentru cazul unui agregat de mașini cu masa redusă variabilă și anume, funcție de poziția agregatului; este o metodă grafo-analitică, obținută prin sinteza a două metode clasice de calcul a volantului elaborate de I.I.Artobolevskij și anume metode diagramei energie cinetică – masă redusă și metoda forței excedentare. Ambele aceste metode de calcul al volantului sunt metode grafo-analitice. De la metoda diagramei energetice s-au împrumutat unele elemente de calcul analitic, iar de la metoda forței excedentare s-a luat procedeul grafic. Contribuția adusă în acest paragraf este elaborarea, pe această cale, a unei metode complete de calcul a volantului. Formula finală (3.65) la care se ajunge, prin neglijarea termenului al doilea din ea, și găsește confirmarea în formula (3.68), cunoscută în Teoria mecanismelor. De asemenea, o altă contribuție originală în acest paragraf este construirea și soluțarea curbei lucrului mecanic excedentar ($L_m - L_r$) ca funcție de poziția s (fig.3.17e). Se remarcă, de asemenea și metoda din § 3.5, referitoare tot la

un agregat de mașini cu moment de inertie redus variabil, la care pe lîngă determinarea momentului de inertie al volantului se procedează și la alegerea puterii motorului electric de acționare.

7. Capitolul 4 tratează probleme ale agregatelor de mașini cu variator de turăție. Așa cum s-a arătat, studiul dinamicii acestui tip de agregate de mașini întîmpină importante dificultăți datorită prezenței variatorului, care prin raportul său de transmisie funcție de timp, constituie o legătură neolonomă.

O contribuție deosebită aduce § 4.3 în care, în anumite condiții, se pune în evidență comportarea variatorului ca un sistem de urmărire automată în cadrul agregatului de mașini. Pentru a se ajunge la acest rezultat se integrează analitic exact ecuația diferențială a mișcării agregatului de mașini cu variator în condițiile precizate la paragraful respectiv și, în soluția găsită, se pun în evidență elementele specifice ale variatorului ca sistem de urmărire automată și anume, funcția de transfer, eroarea statică și eroarea dinamică.

8. Dintre contribuțiiile aduse din punct de vedere experimental, în capitolul 5 se remarcă realizarea unor scheme de aparate care au permis măsurarea și înregistrarea parametrilor unor regimuri complexe de mișcare create pe o instalație industrială, care din punct de vedere al dinamicii mașinilor, este un agregat de mașini cu variator de turăție. De asemenea, au fost concepute schemele logice și programele FORTRAN cu care au fost prelucrate pe calculatorul electronic datele experimentale.

BIBLIOGRAFIЯ

1. Nicolae Ceausescu, Revoluția tehnico-stiintifică și progresul tehnic, Editura politică, București, 1980.
2. x x x Programul-directivă de cercetare științifică, dezvoltare tehnologică și de introducere a progresului tehnic în perioada 1981-1990 și direcțiile principale pînă în anul 2000, București, Editura politică, 1980.
3. Abramov, B.M., Približenij metod issledovanija dviženija mehanizmov s učetom sil trenija. Trudy Instituta Mašinovedenija, Seminar po Teorii Mašin i Mekanizmov, 1949, Vypusk 22.
4. Abramov, B.M., Dinamičeskoe issledovanie mehanizmov. Trudy Instituta Mašinovedenija, Seminar po Teorii Mašin i Mekanizmov, 1951, Vypusk 41.
5. Agranovskaja, E.A., Blehman, I.I., Ob ocenke rezonansnyh amplitud kolebanij pri vybege sistem so mnogimi stepenjami svobody. Dinamika mašin, Sbornik statej, Izdatel'stvo "Nauka", Moskva, 1969, p.7-10.
6. Arhangelskij, G.V., K dinamike avtomatičeskoj inercionnoj perečeli. Mašinovedenie, 1972, No.1, p.45-50.
7. Ajzerman, M.A., Introducere în dinamica reglării automate a motoarelor. I.D.T., București, 1958.
8. Ajzerman, M.A., Absolutnaja ustojčivost' reguliruemyh sistem. Izdatel'stvo Akademij Nauk SSSR, Moskva, 1963.
9. Ajzerman, M.A., Teoriya avtomatičeskogo regulirovaniya. Izdatel'stvo "Nauka", Moskva, 1966.
10. Akimenko, A.P., Golubencev, A.N., O dinamike zamknutnyh sistem. Teoriya Mekanizmov i Mašin, 1971, Vypusk 10, p.47-51.
11. Altšul', B.A., O vzajmodejstvii kolebatelnoj sistemy s istočnikom energii pri naličii vnutrennego trenija. Trudy Moskovskogo Instituta Inženerov Železnodorozhного Transporta, Voprosy Prikladnoj Mekaniki, 1967, Vypusk 236, p.103-106.

12. Andreev, V.P., Sabinin, Ju.A., Osnovy elektroprivoda. Gosenergoizdat, Moskva, Leningrad, 1963.
13. Andrušević, Ju.M., Dinamika razgona v stankah s podel'nym privodom. Izvestija Vyssik Učebnih Zavedenij, Mašinostroenie, 1961, No.3.
14. Angot, A., Complemente de matematici. Editura Tehnică, Bucureşti, 1966.
15. Antovil', A.M., Ob učete poter' na trenie pri privedenij mass i sil. Trudy Instituta Mašinovedenija, Seminar po Teorii mašin i mehanizmov, 1952, Tom 67.
16. Artobolevskij, I.I., O nekotoryh formah urevnenij dviženija mašinogo agregata. Doklady Akademij Nauk SSSR, 1951, Tom LXXVII, No.6.
17. Artobolevskij, I.I., Ob ustojčivosti rezima ustanovivšegosja dviženija mašin. Doklady Akademii Nauk SSSR, 1952, Tom LXXXVII, No.1.
18. Artobolevskij, I.I., K voprosu o režime dviženija mašiny. Izvestija Akademii Nauk SSSR, Otdelenie Tehničeskikh Nauk, 1952, No.12.
19. Artobolevskij, I.I., Dinamičeskij koeficient neravnomernosti hoda mašiny. Doklady Akademii Nauk SSSR, 1952, Tom LXXXVII, No.3, p.349-352.
20. Artobolevskij, I.I., Teoria mecanismelor și a mașinilor. Editura Tehnică, Bucureşti, 1955.
21. Artobolevskij, I.I., Osnovnye problemy sovremennoj dinamiki mašin. Trudy Instituta Mašinovedenija, Seminar po Teorii Mašin i Mehanizmov, 1961, Vypusk 83-84.
22. Artobolevskij, I.I., Teoriya mehanizmov. Izdatel'stvo "Nauka", Moskva, 1967.
23. Artobolevskij, I.I., Abramov, B.M., K zadače o dviženii mašin pod dejstvijem zadannyh sil. Izvestija Akademii Nauk SSSR, Otdelenie Tehničeskikh Nauk, 1948, No.10 .
24. Artobolevskij, I.I., Bessonov, A.I., Ob urevnenija dviženija ploskogo mehanizma s peremennoj massoju. Izvestija Akademii Nauk SSSR, Otdelenie Tehničeskikh Nauk, Mehanika i Mašinostroenie, 1962, No.2, p.92-95.
25. Artobolevskij, I.I., Loščinin, V.S., Marakterističeskij kriterij asimptotičeski ustojčivogo predel'nogo režima dviženija mašinnogo agregata. Doklady Akademii Nauk SSSR, 1969, Tom 186, No.2, p.279-282.
26. Artobolevskij, I.I., Loščinin, V.S., Iteracionnyj process dlja

- výčislenija karakterističeskogo kriterija periodičeskogo predel'nogo režima dviženija mašinnogo agregata. Doklady Akademii Nauk SSSR, 1969, Tom 186, №.2; p.529-532.
27. Artobolevskij, I.I., Loschinin, V.S., Novyj metod výčislenija i issledovanija uglovogo uskorenija zmena privedenija mašinnogo agregata. Mašinovedenie, 1972, №.6, p.6-10.
28. Artobolevskij, I.I., Zinov'ev, V.A., Umnov, N.V., Uravnenija dviženija mašinnogo agregata s variatorom. Doklady Akademii Nauk SSSR, 1967, Tom 173, №.5, p.1017-1020.
29. Artobolevskij, I.I., Zinov'ev, V.A., Umnov, N.V., Sintez mehaničeskoj sistemy s variatorom po zadannom dviženiju odnogo iz zven'ev. Doklady Akademii Nauk SSSR, 1967, Tom 174, №.3, p.531-533.
30. Artobolevskij, I.I., Zinov'ev, V.A., Umnov, N.V., Nekotorye zadaci sinteza mehaničeskikh sistem s variatorom. Mekhanika Mašin, 1969, Vypusk 19-20, p.54-61.
31. Artobolevskij, I.I., Zinov'ev, V.A., Umnov, N.V., Dinamika mehaničeskoj sistemy s variatorom. Dinamika mašin, Teoriya mašin i mehanizmov, Sbornik statej, Izdatel'stvo "Mašinostroenie", Moskva, 1969, p.17-24.
32. Babakov, I.M., Teoriya kolebanij. Izdatel'stvo "Nauka", Moskva, 1968.
33. Babički, V.I., Borovkov, B.A., Inercionnoe vozbušdenie vibrou-darthyh režimov s učetom ogranicennoj moščnosti privoda. Mašinovedenie, 1977, №.2, p.18-22.
34. Bakšis, A.K., Regul'skis, K.M., K sintezi peredatočnyh mehanizmov, optimal'nyh po bystrodejstviju. Sovremennye problemy teorii mašin i mehanizmov, Sbornik statej, Izdatel'stvo "Nauka", Moskva, 1965, p.264-269.
35. Balasubramanian, R., Prediction of Jump Resonance in Systems Containing Certain Multidimensional Nonlinearities. Proceedings of the Institution of Electrical Engineers. Electronics, Power, Control and Science, 1968, Vol.115, №.9, p.1369-1372.

36. Bapat, P.N., Frequency Response of Induction Motors under Forced Oscillations. Proceedings of the Institution of Electrical Engineers. Electronics, Power, Control and Science, 1970, Vol.117, No.3, p.561-566.
37. Baranov, G.G., K voprosu o privedenii mass i sil s učetom poter' na trenie. Trudy Instituta Mašinovedenija, Seminar po Teorii Mašin i Mehanizmov, 1951, Tom XIII, Vypusk 47, p.46-51.
38. Barnacle, H.E., Walker, G.E., Mechanics of Machines, Vol.1, Vol. 2. Pergamon Press, Oxford, London, Edinburg, New York, Paris, Frankfurt, 1965.
39. Barzukov, O.P., Bigarmoničeskie kolebanija linejnoj sistemy, obuslovlennye vrăščeniem neuravnovesennogo rotora. Izvestija Akademii Nauk SSSR, Mehanika Tverdogo Tela, 1974, No.4, p.27-34.
40. Bašta, J., A New Method of "Unequal Areas" for Determination of Dynamic Stability in an Energetic System. Acta Technica ČSAV, 1969, No.3, p.283-294.
41. Bat', M.I., Ob ustanovivšemsja režime raboty monogozvennogo mehanizma pri silah, zavisjačih ot skorosti i položenija zvena privedenija. Trudy Instituta Mašinovedenija, Seminar po Teorii Mašin i Mehanizmov, 1950, Tom IX, Vypusk 34, p. 53-66.
42. Bat', M.I., Uravnenija dvijenija ploskogo steržnevogo mehanizma s uprugim promežutočnym zvenom. Trudy Instituta Mašinovedenija, Seminar po Teorii Mašin i Mehanizmov, 1952, Vypusk 44.
43. Bat', M.I., K voprosu o rasčeta mahovika. Trudy Instituta Mašinovedenija, Seminar po Teorii Mašin i Mehanizmov, 1945, Tom XIV, Vypusk 55, p.5-19.
44. Beck, C.D., Rhudy, R.G., Plugging an Induction Motor. IEEE Transactions on Industry and General Applications, 1970, Vol. IGA-6, No.1, p.10-18.
45. Bellman, R., Perturbation Methods Applied to Nonlinear Dynamics. Transactions of the American Society of Mechanical Engineers, Journal of Applied Mechanics, 1955, Vol.22, No.4, p.500-502.
46. Bellman, R., Dinamičeskoe programmirovaniye. Izdatel'stvo Inostrannoj Literatury, Moskva, 1960.

47. Bellman, R.E., Dreyfus, S.E., Programarea dinamică aplicată. Editura Tehnică, Bucureşti, 1967.
48. Bessonov, A.P., K obščemu issledovaniju uravnenija dviženija mašinnogo agregata. Trudy Instituta Mašinovedenija, Seminar po Teorii Mašin i Mehanizmov, 1958, Tom XVIII, Vypusk 7o, p.68-86.
49. Bessonov, A.P., Issledovanie dviženija vibromehanizma so slaboj pružinoj kak sistemy s dvumja stepenjami svobody. Trudy Instituta Mašinovedenija, Seminar po Teorii Mašin i Mehanizmov, 1958, Vypusk 69.
50. Bessonov, A.P., Metody fazovej ploskosti i issledovanie dviženija mašin. Trudy Instituta Mašinovedenija, Seminar po Teorii Mašin i Mehanizmov, 1962, Vypusk 89-90.
51. Bessonov, A.P., Uravnenie dviženija ploskogo mehanizma s peremennoj massoj v forme énergij. Teoriya Mašin i Mehanizmov, 1962, Vypusk 92-93.
52. Bessonov, A.P., O ravnovesii mehanizmov s peremannoj massoj zven'ev. Sovremennye problemy teorii mašin i mehanizmov, Sbornik statej', Izdatel'stvo "Nauka", Moskva, 1965, p.234-239.
53. Bessonov, A.P., Osnovy dinamiki mehanizmov s peremannoj massoj zven'ev. Izdatel'stvo "Nauka", Moskva, 1967.
54. Birger, H.M., Nekotorye matematiceskie metody rešenija inženernyh zadači. Oborongiz, Moskva, 1956.
55. Bishop, R.E., Johnson, D.C., The Mechanics of Vibrations. University Press, Cambridge, 1960.
56. Blehman, I.I., Samosinhronizacija vibratorov nekotoryh vibračionnyh mašin. Inženernyj Sbornik, 1953, Tom XVI, p. 49-72.
57. Blehman, I.I., Vrasčenie neuravnovešennogo rotora, obuslavlennogo garmoničeskimi kolebanijami ego sil. Izvestija Akademii Nauk, SSSR, Otdelenie Tehničeskikh Nauk, 1954, No.8.
58. Blehman, I.I., Ob ustojčivosti periodičeskikh rešenij kvazilinejnyh avtonomnyh sistem so mnogimi stepenjami svobody. Doklady Akademii Nauk SSSR, 1957, Tom 112, No.2, p.183-186.
59. Blehman, I.I., O samosinhronizaciji mehaničeskikh vibratorov. Izvestija Akademii Nauk SSSR, Otdelenie Tehničeskikh Nauk, 1958, No.6.

60. Blehman, I.I., Dinamika privoda vibracionnyh mašin so mnogimi sinhronymi vibratorami. Izvestia Akademii Nauk SSSR, Otdelenie Tehničeskikh Nauk, 1960, No.1.
61. Blehman, I.I., Sinhronizacia dinamičeskikh sistem. Izdatel'stvo "Nauka", Moskva, 1971.
62. Bobrov, V.I., O modelirovanií real'nyh ekspluatacionnyh režimov pri ispytanií mehanizmov zamknutym sposobom. Teoriya Mehanizmov i Mašin, 1966, Vypusk 2, p.120-127.
63. Bogdanov, N.I., Lomakin, V.P., K sintezu elektromehaničeskikh sistem s zadannym koefficientom dinamičnosti. Izvestija Vysših Učebnih Zavedenij, Elektromekhanika, 1969, No.6, p.655-659.
64. Bogoljubov, N.N., Mitropolskij, Ju, A., Asimptotičeskie metody v teorii nelinejnyh kolebanij. Izdatel'stvo "Nauka", Moskva, 1974.
65. Bol'sakov, V.I., O matematičeskem opisanii i nekotoryh osobennostjah raboty zamknutnyh mehaničeskikh sistem. Trudy Dnepropetrovskogo Instituta Černoj Metalurgii, Dinamika Metallurgičeskikh Mašin, 1969, t.XXI, p.13-17.
66. Bol'sakov, V.I., Vzajmodejstvie parcial'nyh sistem s uprugimi zvijazjami pri kolebanijah i osčeta stepeni ih svjaznosti. Teoriya Mehanizmov i Mašin, 1969, Vypusk 7, p.66-69.
67. Bosenko, N.K., Oparin, V.N., Hrisanov, V.I., Perehodnye processy v elektromehaničeskoj sisteme s asinhronnym dvigatelym s fazovym rotorom. Dinamika krupnyh mašin, Sbornik statej, Izdatel'stvo "Mašinostroenie", Moskva, 1969, p.113-118.
68. Boțan, N.V., Cum se aleg motoarele electrice ale mecanismelor industriale. Editura Tehnică, Bucureşti, 1963.
69. Boțan, N.V., Bazele calculului acŃionărilor electrice. Editura Tehnică, Bucureşti, 1970.
70. Boțan, N.V., Alegerea motoarelor electrice pentru acŃionarea mecanismelor și mașinilor industriale. Editura Tehnică, Bucureşti, 1972.
71. Boțan, N.V., Reglarea vitezei sistemelor de acŃionare electrică. Editura Tehnică, Bucureşti, 1974.
72. Boțan, N.V., Comanda sistemelor de acŃionare electrică. Edi-

- tura Tehnică, Bucureşti, 1977.
73. Boțan, N.V., Coman, L.S.L., Acționarea electrică a macaralelor și podurilor rulante. Editura Tehnică, Bucureşti, 1968.
74. Boțan, N.V., Saal, C., Acționarea electrică a mecanismelor cu volant. Editura Tehnică, Bucureşti, 1967.
75. Brașovan, M., Contribuțiuni cu privire la dimensionarea motorului de acționare și a volantului la instalații care produc încărcări sub formă de șocuri repetitive. Dizertație, Timișoara, 1961.
76. Brașovan, M., Seraciu, F., Metode noi de proiectare a acționărilor electrice. Editura Academiei, Bucureşti, 1968.
77. Brașovan, M., Seraciu, F., Bogoevici, N., Acționări electrice. Probleme și aplicații industriale. Editura Tehnică, Bucureşti, 1963.
78. Bugajewski, E., Asupra determinării momentului redus. Studii și cercetări de Mecanică Aplicată, 1961, N.1.
79. Bušnev, L.P., Rusihin, V.I., Dinamika centrobēžnogo tolkateļja. Izvestija Vysshih Učebnih Zavedenij, Mašinostroenie, 1967, No.2, p.8-11.
80. Busdugan, Gh., Măsurarea vibrațiilor mecanice. Editura Tehnică, Bucureşti, 1964.
81. Bykovskij, M.L., K voprosu o dinamike mašin s elektroprivodom. Trudy Instituta Mašinovedenija, Seminar po Teorii Mašin i Mehanizmov, 1958, Tom XVIII, Vypusk 71, p.43-59.
82. Čehnovič, L.I., Neustonovisiesja dinamičeskie processy v mehaničeskoj sisteme s elektriceskim privodom. Voprosy Teorii i Rasceta Podemno-Transportnyh Mašin, 1957, Kniga 43, p.75-83.
83. Čehnovič, L.I., Vynuzdennye krutil'nye kolebanija v mašinnom agregate s električeskim privodom. Trudy tret'ego sovesčenija po osnovnym problemam teorii mašin i mehanizmov, Dinamika mašin, Masgiz, Moskva, 1963, p.38-47.
84. Čemus, I., Hamata, V., The Pulsating Torque Influence on the Pulling-into-step Transient Stability Limits of Synchronous Motor. Acta Technica ČSAV, 1969, No.4, p.419-444.
85. Čemus, J., Hamata, V., The Pulsating Torque Influence on the

Pulling-into-step Transient Stability Limits of Synchronous Motor. Acta Tehnica ČSÁV, 1969, No.5, p.588-609.

86. Černjavskaja, A.V., K dinamike razgona mašinoogo agregata s variatorom. Mašinovedenie, 1972, №.4, p.19-23.
87. Chiriac, A., Asupra ecuației de mișcare a unui agregat de mașini cu variator. Comunicările conferinței "Vibrății în construcția de mașini", vol.I, Timișoara, 1957, p.87-92.
88. Chiriac, A., O evaluare a coeficientului de dinamicitate a funcționării unui agregat de mașini. Comunicările Conferinței "Vibrății în construcția de mașini", vol.III, Timișoara, 1975, p.659-662.
89. Chiriac, A., Un criteriu al legăturii dintre procesele mecanice și electrice dintr-un agregat de mașini. Lucrările simpozionului de mecanisme și transmisii mecanice, Vol.2, Reșița, 1976, p.512-518.
90. Chiriac, A., Le choix de la caractéristique mécanique du moteur pour l'étude de la dynamique d'un agrégat. Bul.St. și Tehnic al Institut. polit. Timișoara, seria Matematică-Fizică-Mecanică, 1977, Tom 22(36), Fasc.2, p.380-382.
91. Chiriac, A., Influența caracteristicii mecanice a motorului asupra preciziei studiului dinamicii unui agregat. Lucrările tehnico-științifice ale sesiunii de comunicări "Cîntarea României", volumul Vibrății mecanice, Timișoara, 1977, p.195-201.
92. Chiriac, A., Comportarea variatorului ca un sistem de urmărire automată într-un agregat de mașini. Lucrările tehnico-științifice ale sesiunii de comunicări "Cîntarea României", volumul Mecanisme, organe de mașini și material rulant, Timisoara, 1977, p.45-49.
93. Chiriac, A., Determinarea momentului de inertie al volantului unui agregat de mașini în cazul unui moment rezistent funcție periodică de poziție. Lucrările Conferinței "Vibrății în construcția de mașini", Vol.I, Timișoara, 1978, p.181-188.
94. Chiriac, A., O metodă aproximativă grafo-numerică de rezolvare a ecuației de mișcare a unui agregat de mașini. Lucrările Conferinței "Vibrății în construcția de mașini", vol.I, Timișoara, 1978, p.189-193.

95. Chiriac, A., Determinarea legii de reglare a raportului de transmisie al variatorului într-un agregat de mașini, în cazul unei diagrame de sarcină liniare. Lucrările Conferinței "Vibrării în construcția de mașini", vol.II, Timișoara, 1980, p.
96. Chiriac, A., Determinarea randamentului mecanic al transmisiei din unele tipuri de agregate de mașini cu volant. Lucrările Conferinței "Vibrării în construcția de mașini", vol.II, Timișoara, 1980, p.
97. Chiriac, A., Groșanu, I., Asupra regimurilor staționare din vecinătatea rezonanței ale unui agregat de mașini cu mecanism bielă-manivelă. Comunicările Conferinței "Vibrării în construcția de mașini", vol.I, Timișoara, 1975, p.93-98.
98. Crandall, S.H., Dynamics of Mechanical and Electromechanical Systems. Mc. Graw Hill Book Company, New York, St. Louis, San Francisco, Toronto, London, Sydney, 1968.
99. Cunningham, W.J., Analyse non linéaire. Dunod, Paris, 1963.
- loc.Dancea, I., Programarea calculatoarelor numerice pentru rezolvarea problemelor cu caracter tehnic și de cercetare științifică. Editura Dacia, Cluj, 1973.
- loc.Davydov, B.L., Skorodomov, B.A., Statika i dinamika mašin v tipičnyh režimah ekspluatacii. Izdatel'stvo "Mašinostroenie", Moskva, 1967.
- loc.Denman, H.H., An Approximate Linearization Technique for Nonlinear Oscillations. Transactions of the American Society of Mechanical Engineers, Series E, Journal of Applied Mechanics, 1969, vol.36, No.2, p.358-360.
- loc.Dimentberg, M.F., Kolebanija i ustojčivost' nelinejnoj sistemy vibrator-dvigatel', nahodjascejsja pod dejstviem slučajnyh vozmuščenij. Trudy V međunarodnoj konferencij po nelinejnyh kolebanijam, Kiev, 1969, Tom 3, Izdanje Instituta Matematiki Akademii Nauk USSR, Kiev, 1970, p.274-279.
- loc.Dimentberg, M.F., Frolov, K.V., Effekt Zommerfel'da v sisteme so slučajno izmenjujućejsja sobstvennoj časotoj. Doklady Akademii Nauk SSSR, 1966, Tom 171, No.6, p.1293-1296.
- loc.Dincă, F., Teodosiu, C., Vibrării neliniare și aleatoare.

- Editura Academiei RSR, Bucureşti, 1969.
106. Dižečko, N.N., Analitičeskoe rešenie uravnenija dvizhenija mašinnogo agregata. Izvestija Vyssih Učebnih Zavedenij, Mašinostroenie, 1959, No.9, p.3-6.
107. Dmitriev, B.N., Umnjaškin, V.A., Issledovanie dinamiki mašinno-go agregata peremennoj struktury. Izvestia Vyssih Učebnih Zavedenij, Mašinostroenie, 1975, No.8, p.17-21.
108. Dobroslevskij, V.L., Vejc, V.L., K rešeniju uravnenija dvizhenija mašiny pri silah zavisjačih ot skorosti i položenija zvena privedenija. Teoriya Mašin i Mekhanismov, 1962, Vypusk 92-93, p.88-95.
109. Dordea, T., Mașini electrice. Editura didactică și pedagogică, Bucureşti, 1970.
110. Dorn, W.S., Mc Craken, D.D., Metode numerice cu programe în FORTRAN IV, Editura Tehnică, Bucureşti, 1976.
111. Dornig, A., Transients in Simple Undamped Oscillators under Inertial Disturbances. Transactions of the American Society of Mechanical Engineers, Series E, Journal of Applied Mechanics, 1959, Vol. 26, No.2, p.217-223.
112. Drăgulescu, D., Gligor, Ir., Chiriac, A., Strat, Gh., Determinarea nivelului de vibrații la motoare electrice asincrone pe standul de încercare al întreprinderii "Electromotor" Timișoara. Lucrările simpozionului de mecanisme și transmisii mecanice, Vol.2, Reșița, 1976, p.572-575.
113. Drăgulescu, D., Gligor, Ir., Chiriac, A., Uroșu, D., Étude sur le niveau des vibrations à quelques-uns des types des moteurs électriques asynchrones. Bul. St. și Tehnic al Inst. polit. Timișoara, Seria Mecanică, 1978, Tom 26 (37), Fasc. 2, p.194-197.
114. Drăgulescu, D., Gligor, Ir., Strat, Gh., Chiriac, A., Asupra nivelului de vibrații la unele tipuri de motoare electrice asincrone. Lucrările simpozionului de mecanisme și transmisii mecanice, Vol.2, Reșița, 1976, p. 576-579.
115. Drăgulescu, D., Gligor, Ir., Strat, Gh., Chiriac, A., Suciu, C., Unele considerații asupra nivelului de vibrații la seturi de motoare electrice produse de întreprinderea "Electromotor" Timișoara. Lucrările simpozionu-

- lui de mecanisme și transmisii mecanice, vol.2, Reșița, 1976, p. 562-571.
116. Drogovoz, A.M., Lihovid, P.I., O podrobc parametrov linejnoj dinamičeskoj sistemy obspečivajuščih zadannuju stepen' ustojčivosti. Mašinovedenie, 1971, No.6, p.3-5.
117. Dubrovskij, V.A., Silvestrov, E.E., Issledovanie na analogovyh ustrojstvah nestacionarnyh processov v vibraционnoj sisteme s linejnymi izmeneniem massy vo vremeni. Dinamika mašin, Sbornik statej, Izdatel'stvo "Nauka", Moskva, 1969, p.113-116.
118. Ergin, E.I., Transient Response of a Nonlinear System by a Biliniar Approximation Method. Transactions of the American Society of Mechanical Engineers, Journal of Applied Mechanics, 1956, Vol.23, No.3, p.635-641.
119. Ermakov, N.G., Dvuhdvigatel'nyj elektroprivod s uprugimi svjazjami. Izvestija Vyssih Učebnih Zavedenij, Elektromehanika, 1969, No.9, p.982-985.
120. Pihtenholt, G.M., Curs de calcul diferențial și integral. Editura Tehnică, București, vol.I, 1963, vol.II, 1964, vol.III, 1965.
121. Filer, Z.E., Kolebanija mehaničeskoj sistemy s predvaritel'no nagružennymi uprugimi svjazjami sovmestno s dvigatelem. Dinamika i Pročnost' Mašin ,1969, Vypusk 10, p.85-94.
122. Filippov, A.P., Kolebanija mehaničeskikh sistem. Izdatel'stvo "Naukova Dumka", Kiev, 1965.
123. Filippov, A.P., Nestacionarne kolebanija mehaničeskikh sistem. Izdatel'stvo "Naukova Dumka", Kiev, 1966.
124. Frolov, K.V., Ob avtokolebanijah s učetom svojstv istočnika energij. Izvestija Akademii Nauk SSSR, Otdele Tekničeskikh Nauk, Mekhanika i Mašinostroenie, 1962, No.1, p.83-86.
125. Frolov, K.V., O modelirovaniu rezonansnyh svojstv nekotoryh avtonomnyh nelinejnyh kolebatel'nyh sistem. Trudy meždunarodnogo simpoziuma po nelinejnym kolebanijam, Kiev, 1961, T III, Izdatel'stvo Akademii Nauk USSR, Kiev, 1963, p.498-513.
126. Frolov, K.V., Dimentberg, M.F., Ob ustojčivosti kolebatel'nyh režimov vibromasin pri slučajnom izmene-

- nii sobstvennoj častoty i ograničennoj močnosti vozbušdenija. Dinamika mašin, Sbornik statej, Izdatel'stvo "Nauka", Moskva, 1969, p. 259-262.
127. Freeman, E.A., Ahbolt, K.H., Design of Optimal Linear Control Systems with Quadratic Performance Indices. Proceedings of the Institution of Electrical Engineers. Electronics, Power, Control and Science, 1968, Vol.115, No.9, p.1373-1374.
128. Gabos, Z., Mangeron, D., Stan, I., Fundamentele mecaniciei. Editura Academiei RSR, Bucureşti, 1962.
129. Gaponov, V.S., Kirkač, N.F., K vývodu uravnenija sinteza dlja linejnoj dinamičeskoj sistemy s ogranicennym vozbušdeniem, rabotajusčej v perehodnom režime. Dinamika i Pročnost' Mašin, 1971, Vypusk 12, p. 102-106.
130. Gardner, M.P., Berns, F.L., Perehodnye processy v linejnyh sistemah s osredotočennymi postojannymi. Fizmatgiz, Moskva, 1961.
131. Gedanajte, E.A., Ragul'skis, K.M., Samosinhronnaja transformacija dvizhenij. Trudy V međunarodnoj konferencij po nelinejnym kolebanijam, Kiev, 1969, Izdanie Instituta Matematiki Akademii Nauk USSR, Tom 3, Kiev, 1970, p.220-226.
132. Gevodjan, T.A., Kiselev, L.T., Pribory dlja izmerenija i registracii kolebanii. Mašgiz, Moskva, 1962.
133. Gil'debrand, A.D., Kazak, S.A., Kirpičnikov, V.K., Leviško, O.A., Mazzeva, G.M., Metody matematičeskogo modelirovaniya perehodnyh processov v diskretnyh mehaničeskikh systemah. Dinamika krupnyh mašin, Sbornik statej, Izdatel'stvo "Mašinostroenie", Moskva, 1969, p.5-12.
134. Glad'ko, B.N., Opredelenie dinamičeskikh nagruzok v kanate lifta, oborudovannogo dvigatelym postojanogo toka posledovatel'nogo vozbušdenija. Izvestija Vysshih Učebnih Zavedenij, Mašinostroenie, 1970, No.11, p.110-115.
135. Gliger, Tr., Drăgulescu, D., Chiriac, A., Strat, Gh., Suciu, C., Studiul fiabilității motoarelor electrice produse de întreprinderea "Electromotor" Timișoara. Lucrările simpozionului de mecanisme și trans-

smisii mecanice, Vol.6, Rešita, 1976, p.1542-1549.

- 136.Godevannik, B.V., Synchronizacija vibratorev pri prodolnyh kolebanija pogruzaemoj v grunt oboločki. Mašinovedenie, 1972, No.2, p.3-9.
- 137.Goldwin, G.L., Merrill, E.F., Oscillatory Torques during Synchronous Motor Starting. I.E.E.E. Transactions on Industry and General Applications, 1970, Vol.IGA-6, No.3, p.258-265.
- 138.Goloskokov, V.G., K voprosu o nestacionarnyh kolebanijah mehaničeskikh sistem. Dinamika i Pročnost' Mašin, 1967, Vypusk 6, p.3-9.
- 139.Goloskokov, V.G., Filippov, A.P., Nestacionarnye kolebanija mehaničeskikh sistem. Izdatel'stvo "Naukova Dumka", Kiev, 1966.
- 140.Golovan, A.T., Actionarea electrică. Bazele teoretice. Editura Energetică de Stat, Bucureşti, 1953.
- 141.Golubencev, A.N., Dinamika perehodnyh processov v mašinakh so mnogimi massami. Mašgiz, Moskva, Kiev, 1959.
- 142.Golubencev, A.N., Lihovid, P.I., Dinamika mašin s uprugimi zvenami i friкционnoj maftoj. Dinamika krupnyh mašin, Sbornik statej, Izdatel'stvo "Mašinostroenie", Moskva, 1969, p.66-74.
- 143.Golubencev, A.N., Lihovid, P.I., Ob odnoj zadache optimizacii perehodnyh processov dlja nekotoryh mehaničeskikh sistem. Dinamika i Pročnost' Mašin, 1971, Vypusk 12, p.90-95.
- 144.Gortinskij, V.V., Ob uslovijah vresčenija inercionnogo raspredelitelja mel'ničnyh rasseyev. Trudy Instituta Mašinovedenija, Seminar po Teorii Mašin i Mekhanizmov, 1959, Vypusk 72.
- 145.Grincevič, V.K., Sobol, I.M., Stathnikov, R.B., Ob odnom metode poiska optimal'nyh parametrov kolebatel'noj sistemy. Mašinovedenie, 1971, No.1, p.18-22.
- 146.Groşanu, I., Asupra mişcării unui vibrator simplu rezemat pe limitator. Bul.St. și Tehnic al Institutului Polit. Timișoara, Seria Nouă, 1967, Tom 12 (26), Fasc.2, p.359-367.
- 147.Groşanu, I., Contribuții privind studiul mișcărilor staționare și nestacionare ale sistemelor mecanice acționate cu motoare electrice. Dizertație, Timișoara, 1970.

148. Groșanu, I., Studiul regimurilor staționare apropiate de rezonanță ale unui vibrator inertial. Bul. St. și Tehnic al Institut. Polit. Timișoara, Seria Matematică-Fizică-Mecanică Teoretică și Aplicată, 1972, Tomul 17(31), Fascicola 1, p.75-80.
149. Groșanu, I., Asupra stabilității regimurilor staționare ale unor mașini. Bul. St. și Tehnic al Institut. Polit. Timișoara, Seria Matematică-Fizică-Mecanică Teoretică și Aplicată, 1972, Tomul 17 (31), Fascicola 2, p. 157-161.
150. Groșanu, I., Influența transmisiei neliniere în dinamica agregatelor. Bul. St. și Tehnic al Institut. Polit. Timișoara, Seria Matematică-Fizică-Mecanică Teoretică și Aplicată, 1973, Tomul 18(32), Fascicola 1, p.75-79.
151. Groșanu, I., Dinamica unui agregat cu moment de inerție variabil. Construcția de mașini, 1974, nr.5-6, p.266-269.
152. Groșanu, I., Regimurile staționare ale unor agregate acționate de motoare electrice. Bul. St. și Tehnic al Inst. Polit. Timisoara, Seria Matematică-Fizică-Mecanică Teoretică și Aplicată, 1974, Tomul 19(33), Fascicola 1, p.81-86.
153. Groșanu, I., Contributions to the Analysis of Steady-states of a Vibrator Used for Pile Thrusting. Bul. St. și Tehnic al Inst. Polit. Timișoara, Seria Matematică-Fizică-Mecanică Teoretică și Aplicată, 1974, Tomul 19(33), Fascicola 2, p.183-186.
154. Groșanu, I., Investigations on the Influence of the Variable Reduction Ratio upon the Dynamic Behavior of Some Assemblies. Bul. St. și Tehnic al Inst. Polit. Timișoara, seria Matematică-Fizică-Mecanică Teoretică și Aplicată, 1975, Tomul 20 (34), Fascicola 2, p.143-146.
155. Groșanu, I., Chelu, P., Chiriac, A., Asupra dinamicii unei mașini miniere ținând seama de caracteristica motorului de acționare. Lucrările Conferinței "Vibrării în Construcția de mașini", vol.1, Timișoara, 1978, p.129-136.
156. Groșanu, I., Chelu, P., Chiriac, A., Considerații privind rezonanța bizarmonică a unui sistem mecanic acționat

- de un motor electric asincron. *Lucrările Conferinței "Vibrății în construcția de mașini"*, vol.II, Timișoara, 1980, p.7-12.
157. Groșanu, I., Chiriac, A., Curbe inertiale pentru un agregat cu legături rigide. Comunicare la Sesiunea Științifică a Inst. Polit. Timișoara, 1974.
158. Groșanu, I., Chiriac, A., La détermination de la bande de stabilité d'un agrégat. Bul. St. și Tehnic al Inst. Polit. Timișoara, Seria Matematică-Fizică-Mecanică Teoretică și Aplicată, 1974, Tom 19 (33), Fasc. 2, p.193-195.
159. Groșanu, I., Chiriac, A., O stacionarnyh režimah vblizi rezonansu inercial'nogo vibratora privodimogo v dejstvie asinhronnym elektrosvigateliem. Bul. Inst. Polit. din Iași, Secția IV, Mecanică Tehnică, 1975, Tomul XVI (XXV), Fasc. 1-2, p.7-12.
160. Groșanu, I., Chiriac, A., L'étude des régimes stationnaires de mouvement d'un système vibrant avec deux degrés de liberté. Works of the Second IFTOMM International Symposium, Volume I-2, Bucharest, 1977, p.289-296.
161. Groșanu, I., Chiriac, A., La dynamique d'un agregat des machines avec un couplage élastique non linéaire. Bul. St. și Tehnic al Inst. Polit. Timișoara, Seria Matematică-Fizică-Mecanică Teoretică și Aplicată, 1977, Tom 22(36), Fascicola 2.
162. Groșanu, I., Chiriac, A., Văduva, Gh., Considerații privind optimizarea regimului stationar al unui agregat cu legături rigide, *Lucrările Conferinței "Vibrății în construcția de mașini"*, vol.II, Timișoara, 1980, p.131-137.
163. Gruzinov, V.K., Mekanicheskoe oborudovanie domennyh cehov. Mašgiz, Moskva, Sverdlovsk, 1954.
164. Haimovici, E., Ecuații diferențiale și ecuații integrale. Editura Didactică și Pedagogică, București, 1965.
165. Hak, L.A., Rasčet krutil'nyh kolebanij složnym sistem s bol'sim treniem. Izvestija Vysshih Učebnih Zavedenij, Mašinostroenie, 1975, No.5, p.32-38.
166. Halanay, A., Introducere în teoria calitativă a ecuațiilor diferențiale. Editura Academiei RSR, București, 1963.
167. Hambruger, L., Busdugan, G., Teoria vibrățiilor și aplica-

- tiile ei în construcția de mașini. Editura Tehnică, București, 1958.
168. Harris, C.M., Crede, S.C., Socuri și vibrări. Editura Tehnică, București, vol.I,II, 1968, vol.III, 1969.
169. Hegedűs, A., Chiriac, A., Alegerea motoarelor electrice pentru acționarea vibratoarelor mecanice. Lucrările simpozionului de mecanisme și transmisii mecanice, vol.3, Reșița, 1976, p.632-639.
170. Nitrik, V.E., Vybor peredatočnoj funkcij mehanizmov iz uslovii minimizacii modulja dinamičeskikh rabot za period. Mekhanika Mašin, 1969, Vypusk 19-20, p.97-102.
171. Infante, E.F., Plant, R.H., Effect of Damping, Time Delays and Parameter Variations on the Stability of a Nonconservative System. Transactions of the American Society of Mechanical Engineers, Series E, Journal of Applied Mechanics, 1971, Vol.38, No.2, p.522-524.
172. Ioriš, Ju.I., Vibrometrija. Izmerenie vibracii i udarov. Obščaja teorija, metody i pribory. Mašgiz, Moskva, 1963.
173. Irošnikov, A.N., Grafičeskij metod dinamičeskogo issledovanija mohogozvennyh mehanizmov pri izmenenii momenta v funkcii skorosti. Vestnik Mašinostroenija, 1949, No.8.
174. Ivančenko, F.K., Issledovanie nagruzok v mehanizmakh gruzopodemnyh mašin s učetom unrugosti zven'ev. Voprosy Teorii i Rasceta Podemnogo-Transportnyh Mašin, 1957, Kniga 43, p.31-41.
175. Ivanov, V.A., Vefin, R.K., Marlekov, V.P., Smirnov, V.F., Fomin, M.V., Issledovanie perehodnyh processov v mehaničeskikh sistemah. Izvestija Vysshih Učebnih Zavedenij, Mašinostroenie, 1966, No.3, p.163-167.
176. Ivan, W.E., Application of an Equivalent Nonlinear System Approach to Dissipative Dynamical Systems. Transactions of the American Society of Mechanical Engineers, Series E, Journal of Applied Mechanics, 1969, vol.36, No.3, p.412-416.
177. Janko-Trinickij, A.A., Uravnenija perehodnyh elektromagnitnyh processov asinhronnogo dvigatelia i ih rešenija. Elektricestvo, 1951, No.3, p.18-25.
178. Janko-Trinickij, A.A., Elektromehaničeskie perehodnye processy v sinchronnyh mašinah. Elektricestvo, 1957, No.8,p.16-22.
179. Jasjulenje, I.I., O grafoanaliticeskom i grafičeskom metodah postroenija tahogramm. Izvestija Vysshih Učebnih Zavedenij, Mašinostroenie, 1959, No.5, p.25-34.

180. Jayawant, B.V., Williams, D., Dynamic Performance of Synchronous Machines in Control Systems. Proceedings of the Institution of the Electrical Engineers. Electronics, Power, Control and Science, 1970, vol. 117, No. 3, p. 609-617.
181. Jivkov, V.S., Vlijanie elektromagnitnoj inercii dvigatelja na ustojčivost' kolebanij mehaničeskoj sistemy c centrobežnym vospoditelem. Mašinovedenie, 1971, No. 4, p. 16-20.
182. Johansen, P.R., A Direct Numerical Formulation of Galerkin's Method for Nonlinear Damped Systems. Transactions of the American Society of Mechanical Engineers, Series E, Journal of Applied Mechanics, 1971, vol. 38, No. 4, p. 1023-1028.
183. Kaminskaja, D.A., Analiz vynuzdennych kolebanii mašinnogo agregata s električeskim privodom. Izvestija Vysshih Učebnih Zavedenij, Mašinostroenie, 1970, 11, p. 24-28.
184. Kaminskaja, D.A., Bronštajn, M.I., Vynuzdennye kolebanija elektromehaničeskikh sistem pod dejstvaniem vnutrennyh vozmuščajuščih sil. Teoriya Mehanizmov i Mašin, 1971, Vypusk 11, p. 36-40.
185. Kaminskaja, D.A., Dmitrenko, V.D., Rascet dinamičeskikh usilij v mašinnom agregate s električeskim privodom pri prohoždenij čerez rezonans. Izvestija Vysshih Učebnih Zavedenij, Mašinostroenie, 1973, No. 7, p. 43-46.
186. Kaminskaja, D.A., O výbere kriterija optimizacij perehodnyh processov v mašinnyh agregatov. Izvestija Vysshih Učebnih Zavedenij, Mašinostroenie, 1975, No. 6, p. 33-37.
187. Kaminskaja, D.A., Issledovanie dempfirovaniya vynuzdennych kolebanij mašinnogo agregata. Izvestija Vysshih Učebnih Zavedenij, Mašinostroenie, 1975, No. 99, p. 18-23.
188. Kaminskaja, D.A., Optimisacija perehodnyh processov v mašinnom agregate s elektroprivodom pri izmenenijah nagruzok. Teoriya Mehanizmov i Mašin, 1976, Vypusk 21, p. 28-35.
189. Karamyskin, V.V., Zamečanije o haraktere rezonansnogo dvizhenija mehaničeskoj sistemy s centrobežnym vibratorem. Vestnik Maskovskogo Universiteta, Matematika, Mekhanika, 1967, No. 1, p. 65-67.

190. Karpov, V.K., Šajdenko, A.Ja., Osobennosti issledovaniya mnogo-massovogo dinamicheskogo stenda. Dinamika mašin, Sbornik statej, Izdatel'stvo "Nauka", Moskva, 1969, p.135-145.
191. Kaspina, T.I., Nekotorye voprosy issledovaniya dinamiki silovogo elektripriveda s učetom uprugih svjazej. Izvestija Vyssih Učebnih Zavedenij, Mašinostroenie, 1968, No.11, p.67-71.
192. Kasturi, R., Doraraju, P., Relative Dynamic Stability Regions of Power Systems. I.E.E.E. Transactions on Power Apparatus and Systems, 1970, vol.PAS-89, No.5/6, p. 966-974.
193. Kazakov, V.P., K voprosu o dvizhenii mehanizma pod dejstvaniem zadanij sil. Trudy Instituta Mašinovedenija, Seminar po Teorii Mašin i Mehanizmov, 1955, Tom XIV, Vypusk 56, p.90-96.
194. Khanijo, M.K., Analysis of Starting Characteristics of Three-Phase Induction Motor. The Journal of the Institution of Engineers, Electrical Engineering Division, 1968, Volume 48, Number 12, Part EL6, p.795-808.
195. Kislicyn, S.G., K issledovaniyu ustoychivsegosja dvizhenija mašin pri silah, zavisjačih ot skorosti i položenija zvena privedenija. Trudy Instituta Mašinovedenija, Seminar po Teorii Mašin i Mehanizmov, 1955, Tom XV, Vypusk 57, p.61-78.
196. Kirkač, N.T., Gaponov, V.S., K voprosu o sinteze harakteristik uprugih muft dlja privodu. Dinamika i Pročnost' Mašin, 1970, Vypusk 11, p.127-130.
197. Kobrinskij, A.F., Nekotorye voprosy dinamiki mehanizmov s uprugimi svjazjami I. Trudy Instituta Mašinovedenija, Seminar po Teorii Mašin i Mehanizmov, 1952, Vypusk 48.
198. Kobrinskij, A.F., Nekotorye voprosy dinamiki mehanizmov s uprugimi svjazjami. II. Trudy Instituta Mašinovedenija, Seminar po Teorii Mašin i Mehanizmov, 1953, Vypusk 53.
199. Kobrinskij, A.F., Nekotorye voprosy dinamiki mehanizmov s uprugimi svjazjami III. Trudy Instituta Mašinovedenija, Seminar po Teorii Mašin i Mehanizmov, 1956, Tom XVI, Vypusk 61, p.23-50.

200. Kobrinskij, A.E., Mechanizmy s uprugimi svjesjami. Dinamika i ustojčivost'. Izdatel'stvo "Nauka", Moskva, 1964.
201. Kolčin, N.I., Issledovanija dviženija mašin metodom dinamičeskikh rabot. Trudy Instituta Mašinovedenija, Seminar po Teorii Mašin i Mechanizmov, 1956, Tom XVI, Vypusk 61, p.73-83.
202. Kolovskij, M.Z., O vlijanii vysokočastotnyh vozmuščenij na rezonansnye kolebanija v nelinejnoj sisteme. Trudy Leningradskogo Politehničeskogo Instituta, Dinamika i Pročnost' Mašin, 1963, No.226, p. 7-17.
203. Kolovskij, M.Z., O vybere zakona raspredeleñija pri liniarizaciji nelinejnyh differencial'nyh uravnenij. Trudy Leningradskogo Politehničeskogo Instituta, Dinamika i Pročnost' Mašin, 1964, No.235, p. 12-22.
204. Komarov, M.S., Teoreticheskoe opredelenie dinamičeskikh nagruzok, воспринимаемых механизмами грузоподъемных машин. Voprosy Teorii i Rasčeta Podemno-Transportnyh Mašin, 1957, Kniga 43, p.42-47.
205. Komarov, M.S., Dinamika gruzopod'emyh mašin. Mašgiz, Moskva, Kiev, 1962.
206. Kononenko, V.O., Rezonansnye svojstva centrobežnogo vibratorda. Trudy Instituta Mašinovedenija, Seminar po Teorii Mašin i Mechanizmov, Tom XVIII, Vypusk, 71, p.22-42.
207. Kononenko, V.O., Vlijanie karakteristiki dvigatelja na vibracionnuj naprijašennost' mašin. Vestnik Mašinostrojenija, 1959, No.1, p.53-56.
208. Kononenko, V.O., O rezonansnyh processah v kolebatel'noj sisteme, soderžaščej dvigatel'. Izvestija Akademii Nauk SSSR, Otdelenie Tehničeskikh Nauk, Mehanika i Mašinostroenie, 1959, No.2, p. 75-80.
209. Kononenko, V.O., Ob odnoj forme kriteriev Rausa-Gurvica. Izvestija Akademii Nauk SSSR, Otdelenie Tehničeskikh Nauk, Mehanika i Mašinostroenie, 1960, Nr.4, p.125-128.
210. Kononenko, V.O., Vzajmodejstvie parametričeskoj kolebatel'noj sistemy s istočnikom energij. Izvestija Akad.

- demii Nauk SSSR, Otdelenie Tehničeskikh Nauk, Mehanika i Mašinostroenie, 1960, No.5, p.141-146.
211. Kononenko, V.O., Vynuždennye kolebanija sistemy s istočnikom energij v slučajah maloj nelinejnosti. Izvestija Akademii Nauk SSSR, Otdelenie Tehničeskikh Nauk, Mehanika i Mašinostroenie, 1960, No.6, p.80-85.
212. Kononenko, V.O., Vzajmodejstvie avtokolebatel'noj sistemy s istočnikom energij. Izvestija Akademii Nauk SSSR, Otdelenie Tehničeskikh Nauk, Mehanika i Mašinostroenie, 1961, No.2, p.50-54.
213. Kononenko, V.O., Nekotorye avtonomnye zadaci teorii nelinejnyh kolebanii. Trudy meždunarodnogo simpoziuma po nelinejnym kolebanijam, Kiev, 1961, T.III, Izdatel'stvo Akademii Nauk USSR, Kiev, 1963, p.151-179.
214. Kononenko, V.O., O svojstvah dvuh nelinejnyh kolebatel'nyh sistem. Trudy tret'ego sovesčanija po osnovnym problemam teorii mašin i mehanizmov, Dinamika mašin, Mašgiz, Moskva, 1963, p.79-92.
215. Kononenko, V.O., Kolebatel'nye sistemy s ogranicennym vozbuždeniem. Izdatel'stvo "Nauka", Moskva, 1964.
216. Kononenko, V.O., Frolov, K.V., O vzajmodejstvii nelinejnoj kolebatel'noj sistemy s istočnikom energij. Izvestija Akademii Nauk SSSR, Otdelenie Tehničeskikh Nauk, Mehanika i Mašinostroenie, 1961, No.5, p.69-76.
217. Kononenko, V.O., Frolov, K.V., O rezonansnyh svojstvah parametričeskoj kolebatel'noj sistemy, Izvestija Akademii Nauk SSSR, Otdelenie Tehničeskikh Nauk, Mehanika i Mašinostroenie, 1962, No.3, p.73-80.
218. Kononenko, V.O., Korabl'ov, S.S., Pro kolivanija vala s diskami pri vrahuvanni odernenogo zv'jazku dviguna s kolivanoju sistemoju. Prikladna Mehanika, 1960, Tom VI, v.2, p.129-137.
219. Konstantinov, M.S., Genova, P.I., Konstantinov, M.M., O primene-
nie nekotoryh analitičeskikh metodov v nelinejnoj
dinamike mašin. Mašinovedenie, 1972, No.3, p.3-10.
220. Korablev, S.S., Ob osobennostjach rezonansnyh kolebanii dvuh me-
haničeskikh sistem. Izvestija Akademii Nauk SSSR,
Otdelenie Tehničeskikh Nauk, Mehanika i Mašinostro-
enie, 1959, No.6, p.137-140.
221. Korostelev, L.V., Približennyj metod opredelenija dvizenija stanka

- s asinhronnym elektrodvigatelem i podbor mahovika k nemu. Trudy Instituta Mašinovedenija, Seminar po Teorii Mašin i Mechanizmov, 1959, Vypusk 76.
222. Koselev, O.S., Grafo-analiticeskij sposob rešenija nekotoryh uravnenija dviženija. Izvestija Vyssih Učebnih Zavedenij, Mašinostroenie, 1975, No.4, p.56-59.
223. Kosticyn, V.T., Ob odnom grafičeskom rešenii zadač dviženija tela peremennoj massy. Trudy Instituta Mašinovedenija, Seminar po Teorii Mašin i Mechanizmov, 1956, Tom XV, Vypusk 60, p.45-51.
224. Kovylin, Ju.Ja., O rasčete mahovika po metodu prof. N.I. Merca-lova i prof. K.E.Reriha. Izvestija Vyssih Učebnih Zavedenij, Mašinostroenie, 1960, No.10, p.24-30.
225. Kožesník, Ja., Dinamika mašin, Mašgis, Moskva, 1960.
226. Kožesník, Ja., Mehanika vraščajuščih električeskih mašin. Gosenergoisdat, Moskva, Leningrad, 1962.
227. Koževnikov, S.N., Opredelenie dejstvitel'nyh nagruzok v linii peredač tjaželyh mašin. Trudy Instituta Mašinovedenija, Seminar po Teorii Mašin i Mechanizmov, 1953, Vypusk 51.
228. Koževnikov, S.N., Dinamika mašin s uprugimi zven'jami, Izdatel'stvo Akademii Nauk USSR, Kiev, 1961.
229. Koževnikov, S.N., Problemy dinamiki mašin. Mašinovedenie, 1971, No.3, p.3-10.
230. Koževnikov, S.N., Bol'sakov, V.I., Issledovanie na elektronnoj modeli dinamiki elektromehaničeskoj sistemy privoda uširitel'nogo stana. Teoriya Mechanizmov i Mašin, 1966, Vypusk 1, p.10-18.
231. Koževnikov, S.N., Bol'sakov, V.I., Vzajmodejstvie uprugih mehaničeskih sistem staniny i privoda mašiny pri nagruženii. Teoriya Mechanizmov i Mašin, 1971, Vypusk 10, p.3-8.
232. Koževnikov, S.N., Čehnovič, L.I., Mehanizmy s zadannym otnositel'nym dviženiem podvišnyh zven'ev. Trudy Instituta Mašinovedenija, Seminar po Teorii Mašin i Mechanizmov, 1955, Tom XIV, Vypusk 56, p.59-89.
233. Koževnikov, S.N., Skicko, P.Ja., Lenskij, A.N., Bol'sakov, V.I., Leepa, I.I., Opyt issledovaniya dinamiki glavnih privodov prokatnyh stanov s učetom uprugih svjazej i zazorov. Trudy Dnepropetrovskogo Instituta Černoj Metallurgii, Dinamika Metallurgičeskikh Mašin, 1969,

t.XXI, p.5-13.

- 234.Koževnikov, S.N., Šurga, V.I., Issledovanie sistemy s elektro-dinamiceskoj i uprugoj svjasjami pri garmoničeskoj vozbuždenii. Teorija Mehanizmov i Mašin, 1972, Vypusk 12, p.132-141.
- 235.Krakowski, M., Integral Formule for Response of Linear Systems to Sinusoidal Excitation. Archiwum Elektrotechniki, 1971, Tom XX, Zeszyt 2, p.433-441.
- 236.Krasnošapka, V.A., Dinamika mašinnogo agregata s učetom nelinejnosti momenta sil trenija. Mašinovedenie, 1973, No.4, p.36-41.
- 237.Krasnošapka, V.A., Jarovaja, E.A., Issledovanie dinamiki mašinnogo agregata s učetom sil nelinejnogo trenija. Teorija Mehanizmov i Mašin, 1971, Vypusk 10, p.37-47.
- 238.Kremenštajn, L.I., K opredeleniju zakona dviženija mašinnogo agregata pri silah, zavisjaščih ot položenija i skorosti. Prikladnaja Mehanika, 1956, T.2, Vypusk 4, p.451-455.
- 239.Kremenštajn, L.I., K opredeleniju zakona dviženija mašinu i momenta inercii mahovika pri silah i massah ,zavisjaščih ot položenija, skorosti i vremeni. Prikladnaja Mehanika, 1958, T.4, Vypusk 2, p.192-196.
- 240.Krîlov, A.N., Lecții de calcule prin aproximații. Editura Tehnică, București, 1957.
- 241.Krjukov, B.I., Dinamika vibracionnyh mašin rezonansnogo tipa. Izdatel'stvo "Naukova Dumka", Kiev, 1967.
- 242.Kudinov, V.A., Dinamica mașinilor unelte. Editura Tehnică, București, 1970.
- 243.Kulešov, V.S., Lukinov, A.P., Primenenie samotormosjašcejsja mehaničeskoj peredaci. Izvestija Vysshih Učebnih Zavedenij, Mašinostroenie, 1976, No.4, p.41-45.
- 244.Labkovskij, B.A., Dinamika variatora s paralelogramnym impulsatorom. Izvestija Vysshih Učebnih Zavedenij, Mašinostroenie, 1968, No.3, p.12-18.
- 245.Larin, V.P., Naumenko, K.I., Suncev, V.N., O stabilizacii dinamicheskikh sistem. Trudy V meždunarodnoj konferencij po nelinejnym kolebanijam, 1969, Tom 3, Izdatnie Instituta Matematiki Akademii Nauk USSR, Kiev, 1970, p.409-413.

246. Lebedev, S.P., Perekhodnye processy v elektromehaničeskoj transmisii. Izvestija Vyssih Učebnih Zavedenij, Elektromehanika, 1960, No.4.
247. Lebedev, S.P., Novozilov, F.A., O racionál'nom tipe elektromehaničeskikh peredaci. Izvestija Vyssih Učebnih Zavedenij, Elektromehanika, 1969, No.9, p.986-990.
248. Levintov, S.D., Rascet nagruzočnyh diagramm elektroprivoda so staticeskim momentom i momentom inercii, zavisjačimi ot puti. Izvestija Vyssih Učebnih Zavedenij, Elektromehanika, 1962, No.4, p.429-436.
249. Lihovid, P.I., Ob optimizacii perekhodnyh processov v mašinah s uprugimi zven'jami. Teoriya Mehanizmov i Mašin, 1971, Vypusk 11, p.15-21.
250. Liščinskij, L.Ju., Vybor elementov i rascet parametrov sistemy regulirovaniya s besstupenčatoj mehaničeskoj peredaci. Mašinovedenie, 1966, No.1, p.41-50.
251. Litvin, F.L., K issledovaniju ustrojivivšegosja dvizhenija mašinnogo agregata s uprugim valom privedenija pri silah, zavisjačih ot skorosti i položenija zven'ev. Trudy Instituta Mašinovedenija, Seminar po Teorii Mašin i Mehanizmov, 1958, Tom XVII, Vypusk 68, p.20-28.
252. Litvin, L.M., Dinamika rezonansnyh vibromasin, imejusčih ekscentrikovyj privod s uprugim nelinejnym satunom. Dinamika i Pročnost' Mašin, 1971, Vypusk 12, p.107-111.
253. Lobusov, V.M., Opredelenie neravnomernosti hoda avtomatičeskoj peredaci. Izvestija Vyssih Učebnyh Zavedenij, Mašinostroenie, 1966, No.1, p.28 - 34.
254. Lobusov, V.M., Opredelenie rasčetnyh harakteristik variatora s uprugim mahovikom po predel'nym znachenijam uglovoj skorosti vedomogo zvena. Izvestija Vyssih Učebnyh Zavedenij, Mašinostroenie, 1966, No.8, p.34-39.
255. Lobusov, V.M., Opredelenie neravnomernosti hoda variatora s uprugim mahovikom. Izvestija Vyssih Učebnyh Zavedenij, Mašinostroenie, 1967, No.5, p.12-15.

256. Lobusov, V.M., Rascet variatora s uprugim elementom. Masinovenie, 1967, No.3, p.51-54.
257. Lobusov, V.M., Rascet avtomatičeskogo variatora s učetom mehaničeskoy harakteristiki elektrodvigatela. Dinamika mašin, Teorija mašin i mehanizmov, Sbornik statej, Izdatel'stvo "Masinostroenie", Moskva, 1969, p.221-225.
258. Lobusov, V.M., Opredelenie rascetnyh harakteristik variatora s makhovikom s učetom mass vseh zven'ev. Mehanika Mašin, 1970, Vypusk 23-24, p.56-61.
259. Lomakin, V.P., Kaminskaja, D.A., Makarov, A.V., Ljubčenko, L.P., Analitičeskoe issledovanie dinamičeskikh harakteristik privoda poverota ekskavatora. Izvesija Vysshih Učebnih Zavedenij, Mašinostroenie, 1965, No.9, p.113-118.
260. Loščinin, V.S., Ob otyskanii periodičeskogo predel'nogo režima dvizhenija mašinnogo agregata. Trudy Instituta Mašinovedenija, Seminar po Teorii Mašin i Mehanizmov, 1962, Vypusk 91.
261. Loščinin, V.S., Predel'nye dinamičeskie reakcii na os'rotora i ih ocenki. Dinamika mašin, Sbornik statej, Izdatel'stvo "Nauka", Moskva, 1969, p.167-178.
262. Loščinin, V.S., Ob ocenkah uglovoj skorosti dvizhenija zvena privedenija mašinnogo agregata. Dinamika mašin, Teorija mašin i mehanizmov, Sbornik statej, Izdatel'stvo "Masinostroenie", Moskva, 1969, p.226-235.
263. Loščinin, V.S., O porjadkakh vzajmnoj blizosti energetičeskikh režimov dvizhenija mešinnogo agregata. Mašinovedenie, 1973, No.5, p.41-47.
264. L'vović, A.Ju., Mehaničeskie kolebanija, vospbuždaemye elektrodvigatelem. Vestnik Leningradskogo Universiteta, Matematika, Mehanika, Astronomija, 1968, No.7, Vypusk 2, p.95-100.
265. Mădărescu, L., Rădulescu, C., Chiriac, A., Aspecte ale comportării dinamice a modulului de orientare din structura robotilor industriali. Lucrările Simpozionului "Mecanisme și Transmisii Mecanice", Vol.1, Timișoara, 1980, p.145-152.
266. Maezawa, S., Superharmonic Resonance in Piecewise-Linear System. Acta Tehnica CSAV, 1967, No.1, p.1-12.

267. Makarov, A.V., Issledovanie sposobov ograničenija dinamičeskikh nagrusok v mehanizme poverota eksavatorov s pomoč'ju elektronnyh modeliruju-ščih mašin. Dinamika i Pročnost' Mašin, 1968, Vypusk 8, p.120-125.
268. Mäkelt, H., Die Dynamik des Antriebs mechanischer Pressen. Werkstatttechnik und Maschinenbau, 1953, 43(8), p.356-359.
269. Mal'cev, V.F., Dinamika zaklinivanija rolikov mehanizmov svobodnogo hoda. Trudy tret'ego soveščanija po osnovnym problemam teorii mašin i mehanizmov, Dinamika mašin, Mašgiz, Moskva, 1963, p.268-279.
270. Mal'cev, V.F., Arhangelskij, G.V., Dinamika mašinnyh agregatov s mehanizmami svobodnogo hoda. Dinamika mašin, Sbornik statej, Izdatel'stvo "Nauka", Moskva, 1974, p.116-121.
271. Mangeron, D.I., Mécanique non linéaire. Sur les systèmes oscillatoires non linéaires. Buletinul Politehnicii din Iași, 1946, Vol.1, p.62-66.
272. Markšajtis, D.Č., Ragul'skis, K.M., Optimizacija peredatočnyh svjasej v odnoj elektromehaničeskoj sisteme. Naučnye Trudy Vyssih Učebnyh Zavedenij Litovskoj SSR, Vibrotehnika, 1968, 1(3), p.115-119.
273. Markšajtis, D.Č., Ragul'skis, K.M., Voprosy dinamiki odnoj dvuhmassovoj elektromehaničeskoj sistem. Naučnye Trudy Vyssih Učebnyh Zavedenij Litovskoj SSR, Vibrotehnika, 1968, 2(4), p.163-166.
274. Mezet, R., Mécanique vibratoire. Dunod, Paris, 1966.
275. Menjalov, A.I., Rezonansnye režimy nelinejnoj sistemy vibrator-dvigatel' s dvumja stepenjami svobody, nahodjačejsja pod dejstviem slučajnyh vospomněníj. Izvestija Akademii Nauk SSSR, Mehanika Tverdogo Tela, 1974, No.4, p.20-26.
276. Mercalov, N.I., Dinamika mehanizmov. T.1, Mašgiz, Moskva, 1950.
277. Keškis, Ju.A., Pocjus, Z.I., Ragul'skis, K.M., Dinamika sistemy "dvigatel'-magnitnyj baraban". Naučnye Trudy Vyssih Učebnyh Zavedenij Litovskoj SSR, Vibrotehnika, 1971, 2(15), p.173-176.
278. Milkov, M.I., Issledovanie ustionovivšegosja režima dvizhenija

- agregata pri uprugoj svjazi među dvigatelim i rabećoj mašin. Dinamika mašin, Teorija mašin i mehanizmov, Sbornik statej, Izdatel'stvo "Mašinostrojenie", Moskva, 1969, p.236-245.
279. Minorsky, N., Nonlinear Oscillations. D.Van Nostrand Company Inc., Toronto, New York, London, 1962.
280. Mitropolskij, Ju.A., Metod usrednenija v nelinejnoj mehanike. Izdatel'stvo "Naukova Dumka", Kiev, 1970.
281. Mitropolskij, Ju.A., Lykova, D.B., Integral'nye monoobrazija v nelinejnoj mehanike. Izdatel'stvo "Nauka", Moskva, 1973.
282. Mojsseev, N.N., Asimptotičeskie metody nelinejnoj mehaniki. Izdatel'stvo "Nauka", Moskva, 1969.
283. Morozov, D.P., Borcov, Ju.A., Obobščenaja metodika issledovanija perehodnyh processov v shemah elektroprivoda. Elektricestvo, 1957, No.7, p.19-24.
284. Moszynski, K., Metode numerice de rezolvare a ecuațiilor diferențiale ordinare. Editura Tehnică, București, 1973.
285. Mučenek, K.Ja., Rumiancev, D.D., Sandler, B.I., Dinamika kulač-kogo-cevočnogo privoda s periodičeski ostanovlivayemoj ulitoj. Mekhanika Mašin, 1970, Vypusk 25-26, p.19-25.
286. Musa, S.A., Nonlinear Oscillations in Systems with Restricted Non-linearities. Transactions of the American Society of Mechanical Engineers, Series E, Journal of Applied Mechanics, 1969, Vol.36, No.2, p.360-362.
287. Mušinskaia, A., O periodičeskikh resenijah nekotoroj nelinejnoj sistemy s dvumja stepenjami svobody. Revue Roumaine des Sciences Techniques. Serie de Mécanique Appliquée, 1967. Tom 12, Nr.6, p.1309-1315.
288. Nasanova, L.S., Uravnenija dviženija mašinnogo agregata. Izvijeta Vyssih Učebnih Zavedenij, Mašinostroenie, 1975, No.4, p.52-55.
289. Nebesnov, V.I., Kovalenko, I.I., O režimah raboty agregata pri dviženii vedomogo zvena po optimal'nому puti. Dinamika mašin, Sbornik statej, Izdatel'stvo "Nauka", Moskva, 1969, p.206-212.
290. Nebesnov, V.I., Solohin, Ju.G., K issledovaniju na EVM perehodnyh dviženij složnyh aggregatev. Dinamika mašin, Teorija mašin i mehanizmov, Sbornik statej, Izda-

- 174 -
tel'stvo "Masinostroenie", Moskva, 1969, p.246-
252.
291. Nejmark, Ju.I., Dinamika negolonomnyh sistem. Izdatel'stvo "Nauka", Moskva, 1967.
295. Niculescu, S., Initiere in FORTRAN. Editura Tehnică, Bucuresti, 1972.
293. Nelson, R.H., Lipo, T.A., Krause, P.C., Stability Analysis of a Symmetrical Induction Machine. I.E.E.E. Transactions on Power Apparatus and Systems, 1969, Vol. PAS-88, No.11, p.1710-1717.
294. Nicolescu, E., Răduț, C., Mașini electrice fabricate în R.P.R. Editura Tehnică, Bucuresti, 1965.
292. Nejmark, Ju.I., Metod točecnyh otobraženij v teorii nelinejnyh kolebanij. Izdatel'stvo "Nauka", Moskva, 1972.
296. Ol'son, G., Dinamičeskie analogii. Gosudarstvennoe Izdatel'stvo Inostrannoj Literatury, Moskva, 1947.
297. Orurk, I.A., Novye metody sinteza linejnyh nekotoryh nelinejnyh dinamičeskikh sistem. Izdatel'stvo "Nauka", Moskva, Leningrad, 1965.
298. Pai, M.A., Power System Transient Stability Regions Using Peov's Method. I.E.E.E. Transactions on Power Apparatus and Systems, 1970, Vol.PAS-89, No.5/6, p.788-794.
299. Palej, M.B., Nekotorye osobennosti dinamiki glavnogo privoda frezernogo stanka. Stanki i Instrument, 1960, No.1, p.2-10.
300. Panovko, Ja.G., Sposob prijamoj linjarizacii v nelinejnyh zadachah teorii uprugih kolebanij. Inženernyj sbornik, 1952, Tom XIII, p.113-122.
301. Panovko, Ja.G., Vnutrenoe trenie pri kolebanijah uprugih sistem. Fizmatgiz, Moskva, 1960.
302. Panovko, Ja.G., Elements of the Applied Theory of Elastic Vibration. Mir Publications, Moscow, 1971.
303. Panovko, Ja.G., Vvedenie v teoriju mehaničeskikh kolebanij. Izdatel'stvo "Nauka", Moskva, 1971.
304. Panovko, Ja.G., Osnovy prikladnoj teorii kolebanij i udara. Izdatel'stvo "Masinostroenie", Leningrad, 1976.
305. Panovko, Ja.G., Gubanova, I.I., Ustojočivosti i kolebanija uprugih sistem. Izdatel'stvo "Nauka", Moskwa, 1967.
306. Pencov, V.M., Perehod čerez rezonnans nelinejnoj odnomassevoj sistemy s poligarmoničeskim vozbuždeniem. Dinamika i Pročnost' Mašin, 1967, Vypusk 6, p.59-65.

307. Pesat, V.F., Loboda, V.M., K issledovaniju mehanizmov s pere-mennym peredatočnym otnošeniem v kinematiceskih cepjah, vključajuščih uprugie zven'ja. Trudy Dnepopetrovskogo Instituta Černoj Metallurgii, Dinamika Metallurgiceskikh Mašin, 1969, t.XXXI, p.31-34.
308. Petrov, L.M., Issledovanie dinamičeskikh svojstv vibracionnogo Avtomatika i Telemehanika, 1969, No.6, p.197-201.
309. Pinčuk, I.S., Perehodnye processy v asinhronnyh dvigateljakh pri periodičeskoj nagruzke. Električestvo, 1957, No.99 p.27-30.
310. Blăcișteanu, I., Mecanică analitică și vectorială. Editura Tehnică, Bucureşti, 1958.
311. Pontrjagin, L.S., Boltjanskij, V.G., Matematičeskaja teorija optimal'nyh processov. Fizmatgiz, Moskwa, 1961.
312. Popov, V.K., Osnovy elektroprivoda. Gosenergoizdat, Leningrad, Moskva, 1951.
313. Presnjakov, V.K., Filer, Z.E., Perehod čerez rezonans kolebatel'noj sistemy sovmestno s dvigatelem. Mehanička Mašin, 1969, Vypusk 15-16, p.145-152.
314. Presnjakov, V.K., Filer, Z.E., Kolebanija mehaničeskoj sistemy, rassmatrivaemoj sovmestno s dvigatelem. Dinamika i Pročnost' Mašin, 1971, Vypusk 12, p.82-89.
315. Prusty, S., Optimised and Mean-Integral Delta Method for 2-Machine Transient-Stability Problem. Proceedings of the Institution of Electrical Engineers. Electronics, Power, Control and Science, 1970, Vol.117, No.3, p.567-572.
316. Pust, L., Vlijanie svojstv istočnika peremennoj sily na kolebanija mehaničeskoj sistemy. Aplikace Matematiky, 1958, Sv.3, Č.6, p.428-450.
317. Pust, L., Perehod čerez oblast' rezonansa v kolebatel'nyh mehaničeskih sistemah s učetom vlijanija vibratora. Trudy meždunarodnogo simpoziuma po nelinejnym kolebenijam, Kiev, 1961, T.III, Izdatel'stvo Akademii Nauk USSR, Kiev, 1963, p.396-408.
318. Račinac, N.F., Dzjuba, V.I., Dinamika kulačkovyh mehanizmov s žestkim central'nym tolkatelem. Izvestija Vysshih Učebnih Zavedenij, Mašinostroenie, 1976, No.6,

p.183-185.

- 319.Račinec, N.F., Stoljarčuk, V.F., K rasčetu momentov inercii mahovikov mašin, oborudovannyh asinhronnym dvi-gatelem. Izvestija Vyšších Učebnih Zavedenij, Mašinostroenie, 1965, No.9, p.16-21.
- 320.Račinec, N.F., Stoljarčuk, V.F., Opredelenie momenta inercii mahovika mašiny, imajuščej dvigatel' postojannogo toka. Teoriya Mehanizmov i Mašin, 1966, Vypusk 2, p.71-75.
- 321.Ragul'skis, K.M., Svojstvennye odnočastotnye kolebaniya mehanizmov okolo položenija statičeskogo ravnovesija. Trudy Akademii Nauk Lit. SSR, ser.B, 1960, No.3.
- 322.Ragul'skis, K.M., K dinamike mašin s elektroprivodom. Trudy Akademii Nauk Lit.SSR, ser.B, 1960, No.3..
- 323,Ragul'skis, K.M., Dinamika vrasčatel'nyh dvizhenij mehanizmov, vznikajushčih ot vibracii stojki. Teoriya Mašin i Mehanizmov, 1963, Vypusk 96.
- 324.Ragul'skis, K.M., Periodičeskie i perehodnye dvizhenija mehanizmov, vznikajushchie ot vibracii stojki. Teoriya Mašin i Mehanizmov, 1963, Vypusk 97.
- 325.Rakita, V.S., Elektroprivod s peremennoj massoj. Elektricestvo, 1950, No.8.
- 326.Rand, R.H., Nonlinear Normal Modes in Two-Degree-of-Freedom Systems. Transactions of the Amerikan Society of Mechanical Engineers, Series E, Journal of Applied Mechanics, 1971, Vol.98, No.2, p.561-563.
- 327.Rastrigin, L.A., Nekotorye osobennosti nestacionarnogo dvize-nija gibkogo vala s dvigatelym kak avtonomnoj systemy vblizi kritičeskoj skorosti. Izvestija Akademii Nauk, SSSR, Otdelenie Tehničeskikh Nauk, Mehanika i Mašinostroenie, 1959, No.5, p.84-89.
- 328.Rejssig, R., Sansone, G., Konti, R., Kachestvennaja teoriya nelinejnyh differencial'nyh uravnenij. Izdatel'stvo Inostrannoj Literatury, Moskva, 1974.
- 329.Rivin, E.I., Dinamika privoda stankov. Izdatel'stvo "Maši-nostroenie", Moskva, 1966.
- 330.Rižik, I.M., Gradstein, I.S., Tabele de integrale, sume, serii și produse. Editura Tehnică, București, 1955.
- 331.Rogačev, V.M., Ob ustojočivosti mnogočastotnyh kolebanii slož-

- nyh nelinejnyh sistem. Izvestija Vyssih Učebnih Zavedenij, Mašinostroenie, 1976, No5, p.26-29.
332. Rossion, M., La comande électrique des engins de levage. ACEC Revue, 1971, No.2, p.3-12.
333. Rosculeț, M., Analiză matematică. Editura Didactică și Pedagogică, București, Vol.I, 1967, Vol.II, 1968.
334. Rubinštajn, Ju.E., Genzelev, S.M., Skorkin, N.V., Issledovanie perehodnyh processov v metallurgičeskikh mašin s učetom mehaničeskoj harakteristiki dvigatelia i uprugosti detalej privoda. Dinamika krupnyh mašin, Sbornik statej, Izdatel'stvo "Mašinostroenie", Moskva, 1969, p.252-256.
335. Rudakov, V.V., Maşini electrice amplificatoare în sistemele automate. Editura Tehnică, Bucureşti, 1963.
336. Rudakov, V.V., Raschet i modelirovanie avtomatizirovannyh elektroprivodov. Izdatel'stvo "Nauka", Moskva, Leningrad, 1965.
337. Šehvic, E.I., Šlykov, F.M., Metody inženernogo dinamičeskogo rascēta agregatov mašin-avtomatov s poverotnymi mehanizmami, osnovанные на obobščennom matematicheskom modelirovaniil. Dinamika mašin, Sbornik statej, Izdatel'stvo "Nauka", Moskva, 1969, p.267-277.
338. Šejnin, I.S., O zaštita izmenenija oborotov pri pusko mašin s asinhronnym dvigatelem. Issledovanie po dinamike sooruzhenij i rascheta konstrukcij na uprugom osnovanii, Sbornik statej, Gosstroizdat, Moskva, 1961.
339. Semenov, M.V., Analiz častnogo slučaja ustanovivšegosja periodičeskogo dvizhenija mehanizmov. Trudy Instituta Mašinostroyeniya, Seminar po Teorii Mašin i Mehanizmov, 1955, Tom XV, Vypusk 57, p.27-37.
340. Silag, Gh., Mecanică. Vibratii mecanice. Editura Didactică și Pedagogică, Bucureşti, 1968.
341. Silag, Gh., O nouă metodă de studiu a sistemelor vibroperecutante liniare cu un grad de libertate și o cuplă percutantă. Bul. St. și Tehnic al Inst. Polit. Timișoara, Seria Matematică-Fizică-Mecanică Teoretică și Aplicații, 1971, Tomul 16(30), Fascicola 1, p.55-64.
342. Silag, Gh., Sisteme dinamice cu interacțiuni percutante. Bul. St. și Tehnic al Inst. Polit. Timișoara, Seria Matematică-Fizică-Mecanică Teoretică și Aplicață, Tomul 18(32) Fascicola 2, p.155-159.

- 343.Silas, Gh., Studiul regimurilor staționare ale unui vibrator cu caracteristică elastică neliniară. Bul.St. și Tehn. al Inst.Polit.Timișoara, Seria Matematică-Fizică - Mecanică Teoretică și Aplicată, 1973, Tomul 18(32), Fascicola 2, p.161-165.
- 344.Silas, Gh., Brîndeu, L., Stabilitatea mișcărilor periodice ale unui sistem vibropercutant cu două grade de libertate. Bul.St. și Tehnic al Inst.Polit.Timișoara, Seria Matematică-Fizică-Mecanică Teoretică și Aplicată, 1970, Fascicola 2, p.167-172.
- 345.Silas, Gh., Brîndeu, L., Studiul mișcărilor vibropercutante ale unei mase libere între doi limitatori cu excitare cinematică. Bul.St. și Tehnic al Inst.Polit.Timișoara, Seria Matematică-Fizică-Mecanică Teoretică și Aplicată, 1971, Tomul 16(30), Fascicola 2, p.225-231.
- 346.Silas, Gh., Brîndeu, L., Studiul mișcării sistemelor vibropercutante cu ajutorul ecuațiilor lui Lagrange. Bul.St. și Tehnic al Inst.Polit.Timișoara, Seria Matematică-Fizică-Mecanică Teoretică și Aplicată, 1972, Tomul 17(31), Fascicola 2, p.141-150.
- 347.Silas, Gh., Brîndeu, L., Folosirea ecuațiilor lui Lagrange la studiul mișcărilor periodice ale sistemelor vibropercutante. Bul.St. și Tehnic al Inst.Polit.Timișoara, Seria Matematică-Fizică-Mecanică Teoretică și Aplicată, 1973, Tomul 18(32), Fascicola 1, p.45-52.
- 348.Silas, Gh., Brîndeu, L., Mișcările periodice ale unui vibrator rezemat pe un limitator rigid. Bul.St. și Tehnic al Inst.Polit.Timișoara, Seria Matematică-Fizică-Mecanică Teoretică și Aplicată, 1973, Tomul 18(32), Fascicola 2, p.168-174.
- 349.Silas, Gh., Brîndeu, L., Asupra folosirii variabilei complexe în studiul mișcării sistemelor vibropercutante. Bul.St. și Tehnic al Inst. Polit.Timișoara, Seria Matematică-Fizică-Mecanică Teoretică și Aplicată, 1975, Tomul 20(34), Fascicola 2, p.141-142.
- 350.Silas, Gh., Brîndeu, L., Bacria, V., Studiul mișcărilor periodice amortizate ale unui vibrator limitat elastic. Bul.St. și Tehnic al Inst.Polit.Timișoara, Seria Matematică-Fizică-Mecanică Teoretică și Aplicată, 1973, Tomul 18(32), Fascicola 2, p.175-181.
- 351.Silas, Gh., Brîndeu, L., Hegedüs, A., Mișcări periodice cu cico-

- niri ale vibratorului liber. Bul.St. și Tehnic al Inst.Polit.Timisoara, Serie Nouă, 1967, Tomul 12 (26), Fasc.1, p.27-35.
- 352.Silas, Gh., Hegedüs, A., Contribuții privind studiul mișcărilor periodice optime ale sistemelor vibropercutante cu un grad de libertate. Bul.St. și Tehnic al Inst. Polit. Timișoara, Seria Matematică-Fizică-Mecanică Teoretică și Aplicată, 1971, Tomul 16(30), Fascicola 1, p.79-93.
- 353.Silas, Gh., Hegedüs, A., Toader, M., Asupra unor mișcări vibropercutante optime. Bul.St. și Tehnic al Inst.Polit. Timișoara, Seria Matematică-Fizică-Mecanică Teoretică și Aplicată, 1973, Tomul 13(32), Fascicola 1, p.57-67.
- 354.Silas, Gh., Groșanu, I., Oscilațiile unui sistem mecanic acționat de un motor electric având puterea limitată. Bul. St. și Tehnic al Inst.Polit.Timisoara, Seria Matematică-Fizică-Mecanică Teoretică și Aplicată, 1970, Tomul 15(29), Fascicola 2, p.173-178.
- 355.Silas, Gh., Groșanu, I., Studiul mișcărilor staționare ale unui sistem autonom cu trei grade de libertate. Bul.St. și Tehnic al Inst. Polit. Timișoara, Seria Matematică-Fizică-Mecanică Teoretică și Aplicată, 1971, Fascicola 2, p.233-240.
- 356.Silas, Gh., Groșanu, I., Bogoevici, N., Contribuții la studiul regimurilor staționare ale unui sistem mecanic cu excitație inertială acționat de un motor electric. Bul.St. și Tehnic al Inst.Polit.Timisoara, Seria Matematică-Fizică-Mecanică Teoretică și Aplicată, 1971, Tomul 16(30), Fascicola 1, p.65-77.
- 357.Silas, Gh., Groșanu, I., Nichita, I., Asupra mișcărilor nestationare ale unui sistem mecanic acționat inertial. Bul.St. și Tehnic al Inst.Polit.Timisoara, Serie Nouă, 1967, Tom 12(26), Fesc.2, p.379-386.
- 358.Silas,Gh., Groșanu, I., Păunescu, M., Nichita, I., Gligor, Tr., Stabilirea adâncimii maxime de înfigere a pilotilor introdusi prin vibropercuție. Bul.St. și Tehnic al Inst.Polit.Timisoara, Serie Nouă, 1964, Tom 9(23), Volum special, p.21-27.
- 359.Silas, Gh., Nichita, I., Groșanu, I., Dinamica ridicării sarcinii la un pod rulant. Bul.St. și Tehnic al Inst.Polit. Timișoara, Seria Matematică-Fizică-Mecanică Teoretică și Aplicată, 1972, Tomul 17(31), p.61-67.

360. Silag, Gh., Păunescu, M., Groșanu, I., Brîndeu, L., Contribuții la studiul și proiectarea maginilor vibropercutante folosite la înfigerea piloților. Bul. St. și Tehnic al Inst. Polit. Timișoara, Serie Nouă, 1962, Tom 7(21), Fasc. 2, p. 413-429.
361. Škičko, P. Ja., Lepeš, I. I., Dinamika glavnih linij nepreryvno-zagotovočnyh stanov. Trudy Dnepropetrovskogo Instituta Černoj Metallurgii, Dinamika Metallurgičeskikh Mašin, 1969, t. XXI, p. 49-57.
362. Skuridin, M. A., Opredelenie dviženija mehanizma po uravneniju kinetičeskoj energii pri zadaniî sil funkcijami skorosti i vremeni. Trudy Instituta Mašinovedenija, Seminar po Teorii Mašin i Mehанизmov, 1951, Tom XII, Vypusk 15, p. 5-23.
363. Šlykov, F. M., Električeskoe modelirovanie dinamiki privoda mehanizma s privedennym peremennym momentom inercii. Izvestija Vysshih Učebnih Zavedenij, Elektromehanika, 1962, No. 6, p. 602-610.
364. Smith, J. W., Automatic Closed Loop Variable Speed Drives. Electrical Review, 1969, Volume 185, No. 19, p. 679-683.
365. Smoleanski, M. L., Tabele de integrale nedefinite. Editura Tehnică, Bucureşti, 1972.
366. Sokolov, M. M., Masandilov, L. B., Šinjaskij, A. V., Issledovanie elektromagnitnyh perehodnyh processov v asinhronnyh dvigateljakh. Električestvo, 1965, No. 2, p. 40-45.
367. Sokolovskij, V. I., Držagin, O. P., Analitičeskij metod rešenija uravnenija dviženija mašiny. Dinamika krupnyh mašin, Sbornik statej, Izdatel'stvo "Mašinostroenie", Moskva, 1969, p. 22-33.
368. Spivakovskij, A. D., Gončarovič, I. F., Vukolov, E. A., Issledovanie dinamiki vibracionnyh pitatelej-grohotov s dvigatelem ograničennoj moščnosti pod nagruzkoj. Dinamika mašin, Sbornik statej, Izdatel'stvo "Nauka", Moskva, 1969, p. 239-247.
369. Šrajman, V. M., Grafičeskij i grafoanalitičeskij metod rešenija uravnenij dviženija mašinnogog agregata. Izvestija Vysshih Učebnih Zavedenij, Mašinostroenie, 1970, No. 9, p. 51-53.
370. Stančev, E., Dinamika stacionarnyh režimov raboty mašinnogo agregata s elastičnoj svjaz'ju silovoj i rabočej mašin. Dinamika mašin, Teorija mašin i mehanizmov, Sbor-

- nik statej, Izdatel'stvo "Mašinostroenie", Moskva, 1969, p.365-376.
371. Stejnvol'f, L.I., Karaban, V.N., O rasčeta vynuzdennych krutil'nyh kolebanij na ECVM. Dinamika i Pročnost' Mašin, 1969, Vypusk 10, p.80-84.
372. Steward, D.F., Wall, E.T., A Matrix Transformation for the Direct Generation of Liapunov State Functions. Acta Technica ČSAV, 1969, No.6, p.667-682.
373. Stoljarčuk, V.F., Glad'o, B.M., Issledovanie dinamiki razgona mašin, oborudovannyh dvigateljami postojanogotoka nezavisimogo vozbuždenija. Izvestija Vyšších Učebnih Zavedeníj, Mašinostroenie, 1970, No.9, p.36-40.
374. Stoljarčuk, V.F., Račinec, N.F., Glad'o, B.M., Issledovanie dviženija i dinamiki mašin oborudovannyh elektroprivodom. Izdatel'stvo Lvovskogo Universiteta, Lvov, 1972.
375. Strelkov, S.P., Vvedenie v teoriyu kolebanij. Izdatel'stvo "Nauka", Moskva, 1964.
376. Suhih, R.D., Družinin, Ju.A., Korovkevič, V.B., Suhih, V.D., Sintez inercionnyh mehaničeskikh vozбудitelej negarmoničeskikh kolebanij. Izvestija Vyšších Učebnih Zavedeníj, Mašinostroenie, 1976, No.5, p.76-81.
377. Suhih, R.D., Družinin, Ju.A., Vadužev, V.G., Proektirovaniye inercionnyh mehaničeskikh vozбудitelej kolebanij. Izvestija Vyšších Učebnih Zavedeníj, Mašinostroenie, 1976, No.1, p.42-46.
378. Sabac, I., Matematici speciale. Editura Didactică și Pedagogică, Bucureşti, Vol.I, 1964, Vol.II.1965.
379. Tabără, V., Calculul puterii motcarelor electrice pentru acționarea preselor mecanice cu excentric. Construcția de Magini, 1972, nr.4, p.187-191.
380. Tihonov, A.N., Sistemy differencial'nyh uravnenii, soderžašcie malye parametry pri projzvodnyh. Matematičeskiy Sbornik, 1962, T31(73), No.3, p.575-586.
381. Tkačenko, A.S., Čerevick, Ju.I., Issledovanie neravnomernosti dviženija mehanizma privoda kleti stana holodnoj prokatki trub i izyskanie putej ee poniženija. Teoriya Mehanizmov i Mašin, 1969, Vypusk 7, p. 17-23.

- 382.Tka čenke, A.S., Čerovik, Ju.I., Nekotorye voprosy dinamiki perehodnogo processa stanov holodnoj prekatki tub. Teoriya Mehanizmov i Mašin, 1971, Vypusk 10, p. 8-15.
- 383.Trockij, V.A., Neobhodimye uslovija v variacionnyh zadačah optimizacii processov upravlenija. Trudy Leningradskogo Politehničeskogo Instituta, Dinamika i Pročnost' Mašin, 1963, No.226, p.44-61.
- 384.Umnjaškin, V.A., Dinamika inercionnogo transformatora krutjaščego momenta s centrobežno-inercionnym akkumuljatorom energii. Izvestija Vysshih Učebnih Zavedenij, Mašinostroenie, 1966, No.4, p.63-68.
- 385.Umnov, N.V., Sintez mehaničeskoj sistemy s variatorom, optimal'noj po bystrodejstviju. Mašinovedenie, 1966, No. 6, p.47-53.
- 386.Umnov, N.V., Grafičeskij metod rešenija zadači dinamiki mehanizmov s variatorom. Mašinovedenie, 1967, No.2, p. 33-40.
- 387.Usmanov, H.G., Issledovanie perehodnogo processa centrobēžnogo tolkadelja ryčažnogo tipa. Mašinovedenie, 1971, No.2, p.32-38.
- 388.Usmanov, H.G., Dinamika centrobēžnogo tolkadelja s rolikami. Mašinovedenie, 1972, No.2, p.16-20.
- 389.Usmanov, H.G., Dviženie centrobēžnogo tolkadelja s mjagkoj posadkoj. Mašinovedenie, 1972, No.5, p.17-22.
- 390.Vâlcovici,V., Bălan, St., Voinea, R., Mecanică teoretică. Editura Tehnică, Bucureşti, 1966.
- 391.Vasilieva, A.B., O differencial'nyh uravnenijah, soderžaščih malye parametry. Matematičeskij Sbornik, 1952, T31(73), No.3, p.587-644.
- 392.Vatolin, V.V., Optimal'nye zakony dviženija rabočevo organa mašiny pri peremennom momente sопrotivlenija. Izvestija Vysshih Učebnih Zavedenij, Mašinostroenie, 1969, No.4, p.75-78.
- 393.Vejc, V.L., Dinamika stanočnyh privodov s samotormozjaščimisja čerjačnymi peredačami. Stanki i Instrument, 1957, No.5, p.19-20.
- 394.Vejc, V.L., Dinamika stanočnogo privoda pri vrezanii i vyhode instrumenta. Stanki i Instrument, 1964, No.1, p.15-21.
- 395.Vejc, V.L., Dinamičeskij rasčet stanočnyh zažimnyh ustrojstv s è-

- lektroprivodom. Stanki i Instrument, 1965, No.10, p.1-5.
396. Vejc, V.L., Metod ocenki v issledovanii dvizhenija mašinnogo agregata s uprugimi zvenjami. Mehanika Mašin, 1967, Vypusk 7-8, p.98-110.
397. Vejc, V.L., Dinamika mašinnyh agregatov. Izdatel'stvo "Mašinostroenie", Leningrad, 1969.
398. Vejc, V.L., Andruševič, Ju.M., Osnovy inženernyh metodov ^{priyvodev} rascheta v dinamike stanočnyh. Kuibyshevskij Politehnicheskiy Institut, Sbornik Naučnyh Trudov, Mehanika, Kuibyshevskoe Knizhnoe Izdatel'stvo, Kuibyshev, 1967, p.126-131.
399. Vejc, V.L., Dobroslavskij, V.L., Raschet stanočnyh privodov pri periodičeskoy nagruzke. Stanki i Instrument, 1961, No.3, p.20-25.
400. Vejc, L.V., Dobroslavskij, V.L., Nekotorye voprosy dinamiki mašin s elektroprivodom. Trudy Instituta Mašinovedeniya, Seminar po Teorii Mašin i Mehanizmov, 1962, Vypusk 91.
401. Vejc, V.L., Dondošinskij, V.K., Čiržaev, V.I., Využdennye kolebaniya v metalorežuščih stankah. Raschet detailej i uzlov. Mašgiz, Moskva, Leningrad, 1959.
402. Vejc, V.L., Martynenko, A.M., Dinamika mašinnogo agregata s samotormozjaščejšja červjacnoj peredačej pri silah trenija, zavisjaščih ot skorosti. Mašinovedenie, 1966, No.6, p.7-15.
403. Vejc, V.L., Martynenko, A.M., Dinamika mašinnogo agregata s uprugimi zvenjami i samotormozjaščejšja peredačej. Mehanika Mašin, 1967, Vypusk 9-10, p.14-26.
404. Vejc, V.L., Martynenko, A.M., Dinamika mašinnogo agregata s uprugimi zvenjami pri učete dempfirovaniya. Mašinovedenie, 1968, No.1, p.3-11.
405. Vejc, V.L., Martynenko, A.M., Krutil'nye kolebaniya v mašinnom agregate s postojannymi momentami inercii mass pri učete gisterezisa. Mehanika Mašin, 1969, Vypusk 19-20, p.118-129.
406. Vejc, V.L., Martynenko, A.M., O dual'nosti mehaničeskikh cepej. Mašinovedenie, 1969, No.2, p.3-12.
407. Vejc, V.L., Martynenko, A.M., Dinamika mašinnogo agregata, imajušego nelinejnuyu muftu s kusočno-linejnnoj uprugoj hacteristikoj. Mehanika Mašin, 1968, Vypusk 13-14,

- p.155-173.
408. Veje, V.L., Martynenko, A.M., Dinamika stopornogo režima v mašinnom agregata s asinhronnym elektroprivodom. Mašinovedenie, 1973, No.3, p.29-35.
409. Veje, V.L., Martynenko, A.M., Šneerson, E.Z., Častotnye harakteristiki mašinnogo agregata s samotorozjazčnja mehanizmom. Mašinovedenie, 1972, No.3, p.11-17.
410. Veje, V.L., Vul'fson, I.I., Kolovskij, M.Z., Nelinejnye zadaci dinamiki mehanizmov. Trudy V međunarodnoj konferenciji po nelinejnym kolebanijam, Kiev, 1969, Tom 3, Izdanie Instituta Matematiki Akademii Nauk USSR, Kiev, 1970, p.129-138.
411. Vejvoda, D., Zametka po povodu stat'i Ladistava Pusta: Vlijanie svojstv istočnika peremennoj sily na kolebanija mehaničeskoj sistemy. Aplikace Matematiky, 1958, Sv.3, č.6, p.451-460.
412. Vejvoda, O., On the Existance and Stability of the Periodic Solutions of the Second Kind of a Certain Mechanical System. Czechoslovak Mathematical Journal, 1959, T.9 (84), No.3, p.390-415.
413. Vesenevski, S.N., Caracteristicile motoarelor utilizate in acționări electrice. Editura Tehnică, București, 1969.
414. Vilenskij, B.A., Poljakov, V.S., Vlijanie harakteristiki elektrovigatelja na rezonansnuju častotu aggregata s nelinejnom uprugoj muftoj. Mašinovedenie, 1967, No.4, p.39-42.
415. Vjatkin, G.P., Opredelenie zakona dvizenija mehaničeskogo aggregata po diagramme T, ω^2 , Trudy Instituta Mašinovedenija, Seminar po Teorii Mašin i Mehanizmov, 1959, Vypusk 76.
416. Volkov, D.P., Kaminskaja, D.A., Dinamika elektromehaničeskikh sistem ekskavatorov. Izdatel'stvo "Mašinostroenie", Moskva, 1971.
417. Vul'fson, I.I., O nekotoryh kriterijah dinamičeskogo sintesa mehanizmov preryviastogo dvizenija s učetom podatlivosti privoda. Dinamika mašin, Shornik statej, Izdatel'stvo "Nauka", Moskva, 1969, p.73-83.
418. Vul'fson, I.I., Nekotorye voprosy dinamiki mehanizmov periodičeskogo dvizenija pri parametričeskom vozbuždenij. Teoriya Mehanizmov i Mašin, 1969, Vypusk 7, p.38-47.

419. Vul'fson, I.I., Dinamičeskie rascety ciklovih mehanizmov . Izdatel'stvo "Mašinostroenie", Leningrad, 1976.
420. Willems, J.L., Improved Lyapunov Function for Transient Power-System Stability. Proceedings of the Institution of Electrical Engineers. Electronics, Power, Control and Science, 1968, Vol.115, No. 9, p.1315-1317.
421. Willems, J.L., Optimum Lyapunov Functions and Stability Regions for Multimachine Power Systems. Proceedings of the Institution of Electrical Engineers. Electronics, Power, Control and Science, 1970, Vol. 117, No.3, p.573-577.
422. Willems, J.L., The Application of Lyapunov Methods to the Computation of Transient Stability Regions for Multimachine Power Systems. I.E.E.E. Transactions on Power Apparatus and Systems, 1970, Vol.PAS-89, No.5/6, p.795-801.
423. Yu, L.V., Constant Starting Torque Control of Wound Rotor Induction Motors. I.E.E.E. Transactions on Power Apparatus and Systems, 1970, Vol.PAS-89, No.4, p.646-651.
424. Zablockij, V.P., Izjumskij, V.P., K issledovaniju dviženija mašinnogo agregata, imejuščego asinhronnyj elektrodvigatel'. Teoria Mehanizmov i Mašin, 1967, Vypusk 3, p.82-86.
425. Zagorodnjuk, V.T., Ščepetkov, S.A., Peredatočnaja funkcija ravnomomentnyh električeskikh privodov s dvumja stepenjami svobody. Izvestija Vyssik Učebnih Zavedenij , Elektromehanika, 1969, No.3, p. 303-306.
426. Zinov'ev, V.A., Issledovanie dviženija mehaničeskogo agregata energetičeskim metodom. Trudy Instituta Mašinovedenija, Seminar po Teorii Mašin i Mehanizmov, 1948, Vypusk, 15.
427. Zinov'ev, V.A., Rasčet manovyh mass pri dvižuščem momente, zavisjaščem ot skorosti. Trudy Instituta Mašinovedenija, Seminar po Teorii Mašin i Mehanizmov, 1952, Vypusk 46.

428. Zinov'ev, V.A., K voprosu o rascete mašinnyh mass po metodu I.I. Artobolevskogo. Trudy Instituta Mašinovedenija, Seminar po Teorii Mašin i Mechanizmov, 1953, Vypusk 51.
429. Zinov'ev, V.A., Odin iz sposobov dinamičeskogo issledovanija mašinnyh agregatov. Teoriya Mašin i Mechanizmov, 1963, Vypusk 96-97, p.120-126.
430. Zinov'ev, V.A., Bessonov, A.P., Osnovy dinamiki mašinnyh agregatov. Izdatel'stvo "Mašinostroenie", Moskva, 1964.

Cuprins

	pag.
CAP.1. INTRODUCERE	1
§1.1. Generalități	8
§1.2. Conținutul lucrării	
CAP.2. PROBLEME ALE DINAMICII AGREGATELOR DE MASINI, IN GENERAL	
§2.1. Alegerea caracteristicilor mecanice a motorului electric de acționare din agregatul de mașini	11
§2.2. O nouă evaluare a coeficientului de dinamicitate a funcționării unui agregat de mașini	18
§2.3. O nouă metodă aproximativă grafo-numerică de rezolvare a ecuației de mișcare a unui agregat de mașini	21
§2.4. Un criteriu grafo-analitic al legăturii dintre procesele mecanice și electrice dintr-un agregat de mașini	24
§2.5. Studiul dinamicii unui agregat de mașini cu cuplă elastică neliniară	31
CAP.3. PROBLEME ALE DINAMICII AGREGATELOR DE MASINI CU VOLANT	
§3.1. Determinarea momentului de inerție al volantului unui agregat de mașini în cazul unui moment rezistent funcție periodică de poziție	39
§3.2. O metodă analitică aproximativă de determinare a momentului de inerție al volantului unui agregat de mașini	47
§3.3. Determinarea momentului de inerție al volantului unui agregat de mașini, în cazul unei diagrame de sarcină cu portiuni armonice și portiuni constante	49
§3.4. Determinarea masei reduse a volantului unui agregat de mașini cu masa redusă variabilă	58

§3.5. Determinarea momentului de inerție al volantului în cazul unui agre- gat de mașini cu reductor de tura- ție și moment de inerție variabil	65
CAP.4. PROBLEME ALE DINAMICII AGRGATELOR DE MASINI CU VARIATOR DE TURATIE	
§4.1. Ecuația diferențială a mișcării unui a- gregat de mașini cu variator de turăție	74
§4.2. Determinarea legii de reglare a reportu- lui de transmisie al variatorului de tu- răție într-un agregat de mașini, în ca- sul unei diagrame de sarcină liniare	78
§4.3. Comportarea variatorului de turăție ca un sistem de urmărire automată într-un agregat de mașini	81
§4.4. Determinarea randamentului mecanic al unor aggregate de mașini cu structură complexă, conținând variație de tu- răție și volanți	85
CAP.5. DETERMINARI EXPERIMENTALE SI PRELUCRAREA PE CALCULATORUL NUMERIC A DATELOR EXPE- RIMENTALE	
§5.1. Descrierea instalației industriale de la Intreprinderea I.M.A.I.A. din Timișoara pe care au fost efectuate determinările experimentale	97
§5.2. Presentarea măsurătorilor și înregistră- rilor experimentale, efectuate pe insta- lația industrială	101
§5.3. Presentarea rezultatelor determinărilor experimentale	111
§5.4. Întocmirea schemelor logice și a progra- melor FORTRAN pentru prelucrarea pe cal- culator a rezultatelor determinărilor experimentale	120
§5.5. Presentarea rezultatelor obținute pe cal- culatorul electronic și compararea resul- taterelor experimentale cu cele teoretice	128

- 189 -

CAP.6. CONCLUZII
Bibliografie

pag.
143
148